

## Accionamientos de cremallera



## **Accionamientos de cremallera**

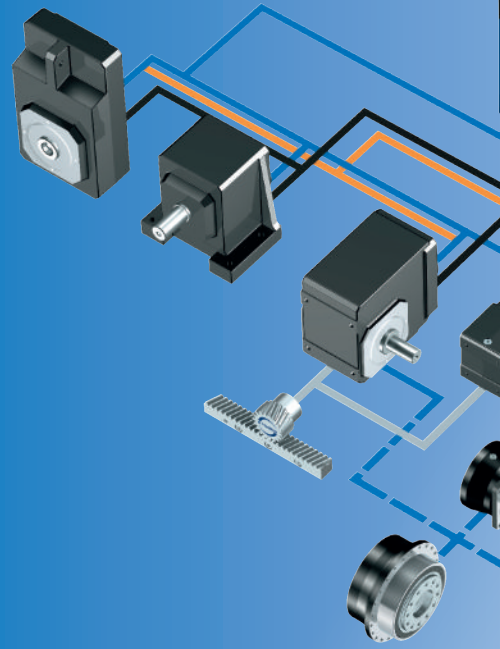
## Un socio. Todas las posibilidades.

STOBER desarrolla y produce técnicas de accionamiento excelentes desde 1934 y opera en todo el mundo con alrededor de 1000 empleados en 11 localidades. STOBER da respuesta a las necesidades de fabricantes de maquinaria de los más diferentes sectores y mercados del mundo con sistemas de accionamiento de extraordinaria precisión y eficiencia para movimientos exigentes.



"Con nuestro sistema coordinado con precisión, trabajamos con nuestros clientes para realizar el movimiento perfecto en las más diversas aplicaciones. Siempre que se requiera precisión, dinamismo y calidad, estamos a su disposición como socio de confianza".

Rainer Wegener, director ejecutivo, STÖBER Antriebstechnik



### Accionamientos de cremallera: ¡esto es lo que le espera!

De High Flexibility a High Force: con el innovador concepto de sistema para accionamientos de cremallera, STOBER ha desarrollado sistemas fáciles de usar, compactos y listos para el montaje, adaptados a todos los requisitos en cuanto a resistencia y precisión. Descubra todos los detalles de nuestros productos más destacados: la serie ZV, muy flexible y eficiente, y la serie ZTRS con campana para cojinete de apoyo, para la máxima fuerza de avance. La variedad no podría ser mayor.

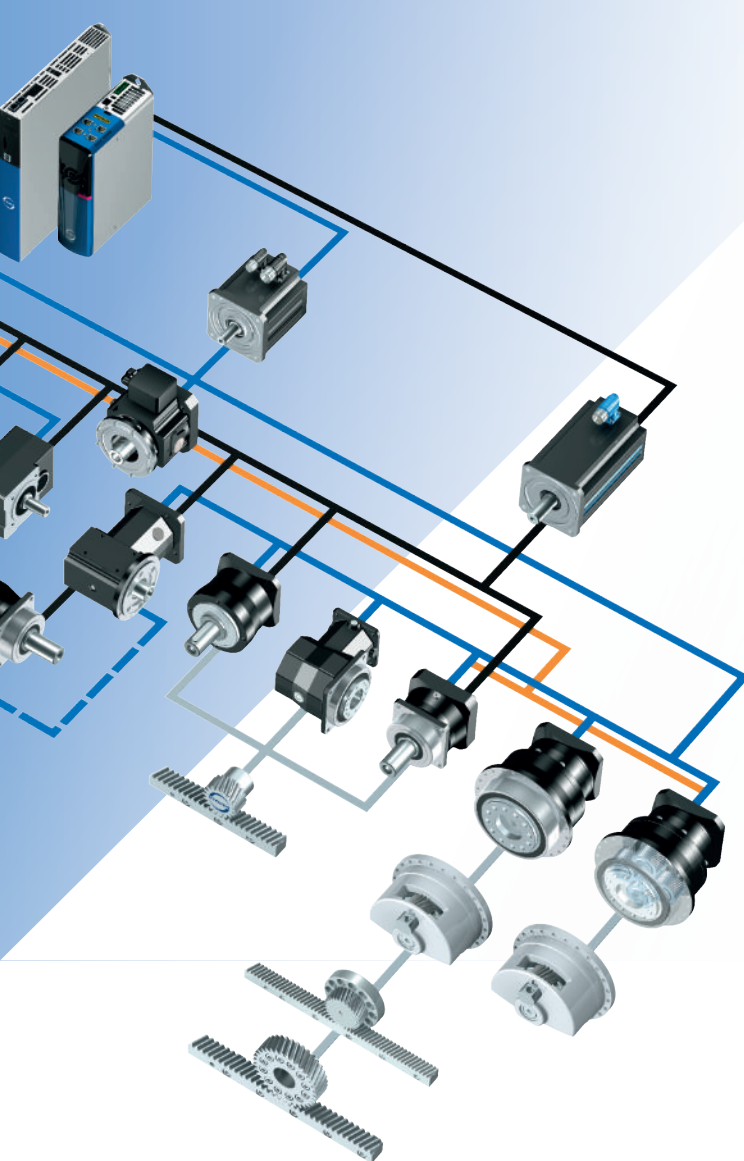
### Como en casa en un mundo exigente y en movimiento

**Reductores**

**Motorreductores**

**Motores**

**Cables y reguladores de accionamiento**



## Todo de un solo proveedor.

El sistema de accionamiento de STOBER, compuesto por reductores, motores, cables y reguladores de accionamiento, presenta una estructura modular y se puede escalar libremente, para obtener conceptos de máquina adaptados, compactos y potentes. En función de las necesidades, se puede adaptar y combinar para satisfacer sus requisitos individuales en casi todos los sectores y ámbitos de aplicación.

Comprobamos cada componente individual, así como su interacción, y asumimos la responsabilidad por toda la cadena cinemática. Lo que esto significa para usted es que puede contar con un socio, con seguridad operativa certificada y con la máxima disponibilidad de la máquina.

### ¿Necesita soluciones especiales?

Con la gran cantidad de productos únicos y las múltiples posibilidades de adaptación a cada proyecto, todo es posible. Con un enfoque integral para su tarea específica, colaboramos con usted para elaborar soluciones individuales adaptadas de forma óptima a sus requisitos. Comprometidos en la búsqueda de soluciones para brindarle nuestro apoyo en sus visiones y proyectos.

### STOBER mueve de forma integral y precisa.



"Productos versátiles, innumerables posibilidades. Su movimiento perfecto es lo que nos impulsa".

**Markus Graf, jefe de Ventas, STÖBER Antriebstechnik**



## STOBER mueve como equipo y como individuos.

Como empresa familiar, otorgamos un gran valor a las relaciones personales y a la confianza en el trato. Para nosotros, las personas ocupan un lugar central.

Nos volcamos en el bienestar de nuestros empleados y empleadas, nos identificamos con las expectativas de nuestros clientes y clientas y nos comprometemos personalmente con el éxito común.



"Los reductores, motores y reguladores de accionamiento de casi todas nuestras instalaciones son de STOBER. STOBER nos asesora en nuestros nuevos proyectos desde el primer trazo en la fase de construcción hasta la puesta en servicio. Nuestra larga colaboración está marcada por una relación abierta y sincera, en la que se respira un ambiente muy especial. El asesoramiento técnico, la asistencia..., ¡colaboración en estado puro!"

**Jürgen Leicht, gerente de Leicht Stanzautomation**



## Juntos. En todo el mundo. Con éxito.

Con la vista puesta en el futuro, STOBER asume el reto de la digitalización e invierte en soluciones integrales y en una fuerte presencia mundial de producción, distribución y servicio técnico. A finales de 2019 se fundó STOBER China. Con esta son ya 12 las filiales y 80 los socios de servicio técnico en más de 40 países de todo el mundo.

STOBER Drives  
Systems Technology  
Taicang, China.



# Índice

■	<b>1</b>	<b>Guía de selección .....</b>	<b>9</b>
■	<b>2</b>	<b>Accionamientos de cremallera ZTRSPH .....</b>	<b>13</b>
■	<b>3</b>	<b>Accionamientos de cremallera ZTRSPHQ .....</b>	<b>33</b>
■	<b>4</b>	<b>Accionamientos de cremallera ZTRSPHV.....</b>	<b>47</b>
■	<b>5</b>	<b>Accionamientos de cremallera ZTRPH.....</b>	<b>61</b>
■	<b>6</b>	<b>Accionamientos de cremallera ZTRPHV .....</b>	<b>81</b>
■	<b>7</b>	<b>Accionamientos de cremallera ZRPH .....</b>	<b>95</b>
■	<b>8</b>	<b>Accionamientos de cremallera ZVP .....</b>	<b>111</b>
■	<b>9</b>	<b>Accionamientos de cremallera ZVPE.....</b>	<b>129</b>
■	<b>10</b>	<b>Accionamientos de cremallera ZVKS .....</b>	<b>145</b>
■	<b>11</b>	<b>Accionamientos de cremallera ZVKL.....</b>	<b>163</b>
■	<b>12</b>	<b>Accionamientos de cremallera ZVK.....</b>	<b>177</b>
■	<b>13</b>	<b>Cremalleras ZS .....</b>	<b>205</b>
■	<b>14</b>	<b>Anexo .....</b>	<b>215</b>

# 1 Guía de selección

## 1.1 Accionamientos de cremallera



Capítulo del producto	ZTRSPH	ZTRSPHQ	ZTRSPHV	ZTRPH	ZTRPHV	ZRPH
Número de capítulo	[ 2 ]	[ 3 ]	[ 4 ]	[ 5 ]	[ 6 ]	[ 7 ]

### Características técnicas

$m_n$	3 – 8 mm	8 mm	5 – 8 mm	2 – 6 mm	5 – 6 mm	2 – 4 mm
$z$	15 – 32	19	15 – 20	12 – 32	16 – 19	30 – 40
$F_{f2acc}$	20 – 79 kN	124 kN	67 – 77 kN	6,5 – 67 kN	56 – 67 kN	3,1 – 16 kN
$v_{f2maxZB}$	0,2 – 4,7 m/s	0,06 – 1,1 m/s	0,21 – 0,49 m/s	0,11 – 4,7 m/s	0,2 – 0,39 m/s	0,29 – 6,7 m/s
$\Delta s$	8 – 56 µm	70 µm	15 – 56 µm	4 – 44 µm	15 – 44 µm	10 – 56 µm

Los símbolos de las fórmulas se explican en el capítulo [ 14.1 ].

### Características

Densidad de potencia	★★★★★	★★★★★	★★★★★	★★★★☆	★★★★☆	★★★☆☆
Juego lineal	★★★★★	★★★★☆	★★★★☆	★★★★★	★★★★☆	★★★★★
Categoría de precio	EEEEEE	EEEEEE	EEEEEE	EEEE	EEEE	EE
Suavidad de funcionamiento	★★★★☆	★★★★☆	★★★★☆	★★★★☆	★★★★☆	★★★★☆
Rigidez lineal	★★★★★	★★★★★	★★★★★	★★★★☆	★★★★☆	★★★☆☆
Momento de inercia	★★★★☆	★★★★☆	★★★★☆	★★★★☆	★★★★☆	★★★★☆
Leyenda	★☆☆☆☆ bueno   ★★★★★ excepcional € Economy   EEEEEE Premium					

Dentado del piñón						
Dentado helicoidal	✓	✓	✓	✓	✓	✓
Calidad del dentado	5	5	5	5	5	5
Versión del rodamiento						
Estándar	✓	✓	✓	✓	✓	✓
Reforzado				✓ (PH3-PH5)		✓ (PH3-PH5)

Accesorios						
Engranaje de fieltro	✓	✓	✓			

En el capítulo [ 13 ] encontrará las cremalleras de precisión adecuadas para nuestros accionamientos de cremallera.

# 1 Guía de selección

## 1.1 Accionamientos de cremallera



Capítulo del producto

ZVP

ZVPE

Número de capítulo

[ ▶ 8 ]

[ ▶ 9 ]

### Características técnicas

$m_n$	2 – 4 mm	2 – 3 mm
$z$	16 – 25	16 – 25
$F_{f2acc}$	1,7 – 15 kN	1,7 – 6,1 kN
$v_{f2maxZB}$	0,14 – 5,3 m/s	0,14 – 4,5 m/s
$\Delta s$	8 – 44 $\mu\text{m}$	40 – 83 $\mu\text{m}$

Los símbolos de las fórmulas se explican en el capítulo [ ▶ 14.1 ].

### Características

Densidad de potencia	★★★☆☆	★★☆☆☆
Juego lineal	★★★★★	★★☆☆☆
Categoría de precio	€€	€
Suavidad de funcionamiento	★★★★☆	★★★★☆☆
Rigidez lineal	★★★☆☆	★★☆☆☆
Momento de inercia	★★★★☆	★★★★☆
Leyenda	★★★★☆☆ bueno   ★★★★★ excepcional € Economy   €\$\$\$\$ Premium	

Dentado del piñón		
Dentado helicoidal	✓	✓
Calidad del dentado	6	6
Versión del rodamiento		
Estándar	✓	✓
Axial reforzado	✓	

En el capítulo [ ▶ 13 ] encontrará las cremalleras de precisión adecuadas para nuestros accionamientos de cremallera.

# 1 Guía de selección

## 1.1 Accionamientos de cremallera



Capítulo del producto

ZVKS

ZVKL

ZVK

Número de capítulo

[ 10]

[ 11]

[ 12]

### Características técnicas

$m_n$	2 – 4 mm	2 mm	2 – 4 mm
$z$	18 – 25	16 – 20	18 – 25
$F_{f2acc}$	3,2 – 11 kN	1,3 – 2,7 kN	2,7 – 15 kN
$v_{f2maxZ8}$	0,07 – 3 m/s	0,33 – 3,3 m/s	0,06 – 3,8 m/s
$\Delta s$	37 – 44 $\mu\text{m}$	99 – 123 $\mu\text{m}$	12 – 111 $\mu\text{m}$

Los símbolos de las fórmulas se explican en el capítulo [ 14.1].

### Características

Densidad de potencia	★★★☆☆	★★☆☆☆	★☆☆☆☆
Juego lineal	★★★☆☆	★☆☆☆☆	★★★☆☆
Categoría de precio	€€€	€	€
Suavidad de funcionamiento	★★★★☆	★★☆☆☆	★★★☆☆
Rigidez lineal	★★★☆☆	★☆☆☆☆	★☆☆☆☆
Momento de inercia	★★★★☆	★★★★☆	★★★★☆
Leyenda	★★☆☆☆ bueno   ★★★★★ excepcional € Economy   €€€€€ Premium		

### Dentado del piñón

Dentado helicoidal	✓	✓	✓
Calidad del dentado	6	6	6

En el capítulo [ 13] encontrará las cremalleras de precisión adecuadas para nuestros accionamientos de cremallera.

# 1 Guía de selección

## 1.1 Accionamientos de cremallera



Cremalleras ZS

Capítulo del producto

Número de capítulo

[[► 13](#)]

### Características técnicas

$m_n$	2 – 6 mm
$F_{f,max}$	12,6 – 83,1 kN
$F_{sv}$	8 – 192,5 kN

Los símbolos de las fórmulas se explican en el capítulo [[► 14.1](#)].

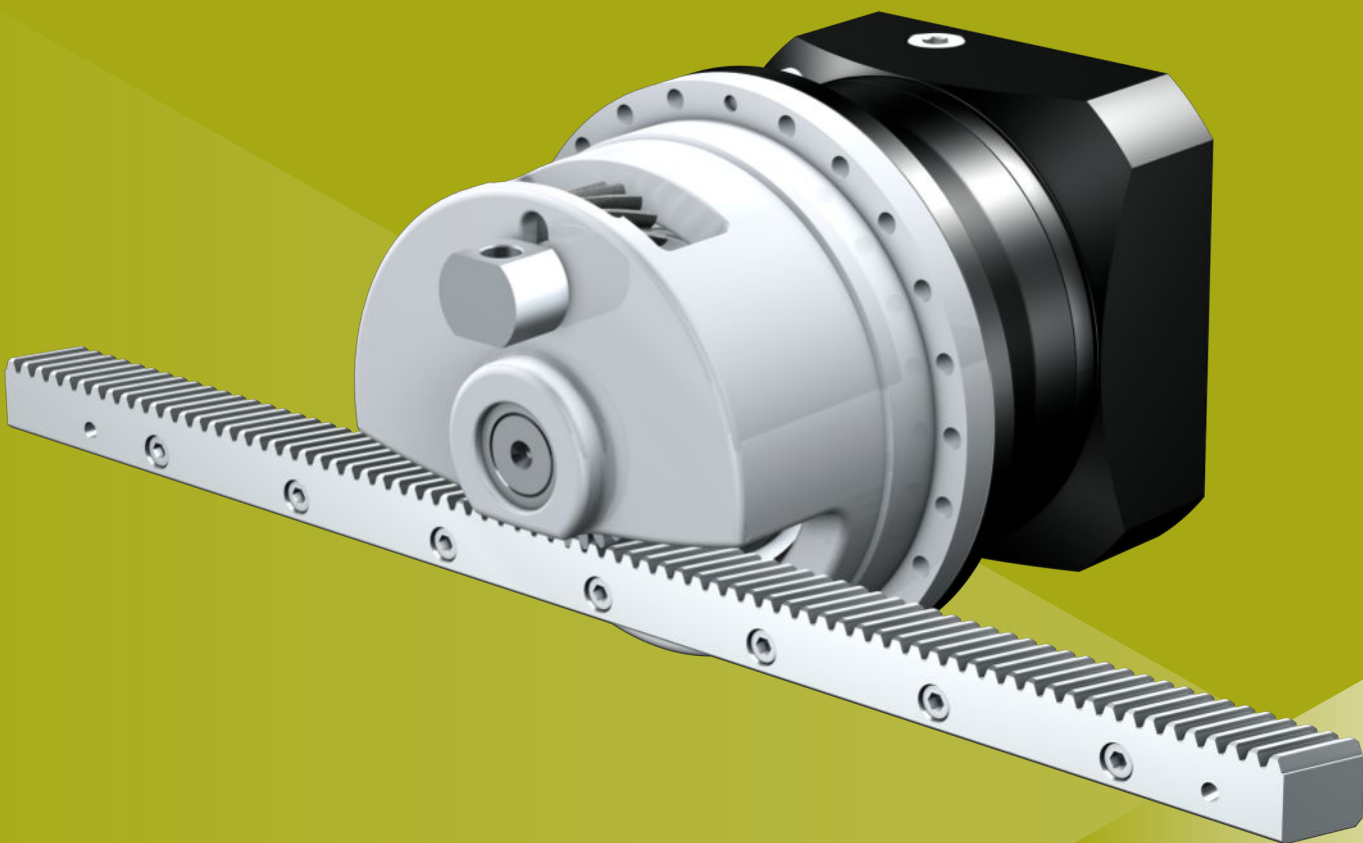
### Características

Dentado helicoidal	✓
Acero templado y revenido según especificación STOBER	✓
Endurecido y pulido	✓
Calidad del dentado 6 según DIN 3962-1	✓
Longitud 500 y 1000 mm	✓

## **2 Accionamientos de cremallera ZTRSPH**

### **Índice**

2.1	Vista general .....	14
2.2	Tablas de selección.....	15
2.3	Esquemas de dimensiones .....	20
2.4	Denominación de tipo.....	22
2.4.1	Placa de características .....	23
2.5	Descripción del producto .....	24
2.5.1	Opciones de entrada .....	24
2.5.2	Adaptador de motor con acoplamiento EasyAdapt (ME/MEL) .....	24
2.5.3	Adaptador de motor con acoplamiento FlexiAdapt (MF) .....	25
2.5.4	Cremallera .....	26
2.5.5	Condiciones de montaje.....	26
2.5.6	Lubricantes.....	26
2.5.7	Posición del acceso al tornillo de apriete.....	26
2.5.8	Otras características del producto .....	27
2.5.9	Sentido de giro .....	27
2.6	Diseño .....	27
2.6.1	Elección del accionamiento.....	28
2.6.2	Pares de vuelco admisibles en la entrada del reductor.....	30
2.6.3	Retenes radiales para ejes recomendados.....	31
2.7	Otros documentos .....	31



2

## Accionamientos de cremallera

**ZTRSPH**

### 2.1 Vista general

Reductores planetarios de precisión de alto rendimiento con campana para cojinete de apoyo

#### Características

Densidad de potencia	★★★★★
Juego lineal	★★★★★
Categoría de precio	€€€€€
Suavidad de funcionamiento	★★★★★☆
Rigidez lineal	★★★★★
Momento de inercia	★★★★★☆
Solución de accionamiento lista para el montaje	✓
Piñón, calidad del dentado 5 (DIN 3962)	✓
Dentado helicoidal	✓
Templados y pulidos	✓
Concentricidad ≤ 10 µm (opcional)	✓

Leyenda ★★★☆☆ bueno | ★★★★★ excepcional  
€ Economy | €€€€€ Premium

#### Características técnicas

$m_n$	3 – 8 mm
$z$	15 – 32
$F_{f2acc}$	20 – 79 kN
$V_{f2maxZB}$	0,2 – 4,7 m/s
$\Delta s$	8 – 56 µm

## 2.2 Tablas de selección

Los datos técnicos especificados en las tablas de selección son válidos para:

- Montaje sin tensiones
- Lubricación permanente con los lubricantes recomendados en el capítulo Cremalleras [▶ 13.5.1]
- Piñón templado, con dentado helicoidal (ascendente a la izquierda  $19^{\circ} 31' 42''$ ), calidad del dentado 5
- Alturas de instalación hasta 1000 m sobre el nivel del mar
- Temperaturas ambiente de 0 °C a 40 °C
- Sin tener en cuenta la potencia límite térmica

Posibilidad de mayores fuerzas de avance para accionamientos de cremallera con juego de giro reducido.

Todos los datos técnicos pueden encontrarse en <https://configurator.stoeber.de/en-US/>.

Los símbolos de las fórmulas se explican en el capítulo [▶ 14.1].

i	Modelo	$n_{1\max DB}$ [min <sup>-1</sup> ]	$n_{1\max ZB}$ [min <sup>-1</sup> ]	d <sub>MW</sub> [mm]	v <sub>f2maxZB</sub> [m/s]	Δs	Δs <sub>red</sub> [μm]	C <sub>lin</sub> [N/μm]	m <sub>n</sub> [mm]	z	d <sub>0</sub> [mm]	F <sub>f2N</sub> [kN]	F <sub>f2acc</sub> [kN]	F <sub>f2NOT</sub> [kN]	M <sub>2acc</sub> [Nm]
<b>ZTRS3PH7 (<math>F_{f2acc,max} = 20 \text{ kN}</math>)</b>															
4,000	ZTRS317SPH731_0040 ME	1900	4000	≤38	2,83	24	8	184	3	17	54,1	11	20	41	553
4,000	ZTRS317SPH731_0040 MEL	1900	4000	≤48	2,83	24	8	186	3	17	54,1	11	20	41	553
5,000	ZTRS317SPH731_0050 ME	2200	5000	≤38	2,83	24	8	181	3	17	54,1	12	20	41	553
5,000	ZTRS317SPH731_0050 MEL	2200	5000	≤48	2,83	24	8	182	3	17	54,1	12	20	41	553
7,000	ZTRS317SPH731_0070 ME	2500	5000	≤38	2,02	24	8	174	3	17	54,1	14	20	41	553
7,000	ZTRS317SPH731_0070 MEL	2500	5000	≤48	2,02	24	8	175	3	17	54,1	14	20	41	553
10,00	ZTRS317SPH731_0100 ME	2500	5000	≤38	1,42	24	8	163	3	17	54,1	13	20	41	553
10,00	ZTRS317SPH731_0100 MEL	2500	5000	≤48	1,42	24	8	163	3	17	54,1	13	20	41	553
16,00	ZTRS317SPH732_0160 ME	3000	6000	≤32	1,06	24	8	183	3	17	54,1	17	20	41	553
16,00	ZTRS317SPH732_0160 MEL	3000	6000	≤38	1,06	24	8	183	3	17	54,1	17	20	41	553
20,00	ZTRS317SPH732_0200 ME	3000	6000	≤32	0,85	24	8	180	3	17	54,1	17	20	41	553
20,00	ZTRS317SPH732_0200 MEL	3000	6000	≤38	0,85	24	8	180	3	17	54,1	17	20	41	553
25,00	ZTRS317SPH732_0250 ME	3500	7000	≤32	0,79	24	8	180	3	17	54,1	18	20	41	553
25,00	ZTRS317SPH732_0250 MEL	3500	7000	≤38	0,79	24	8	180	3	17	54,1	18	20	41	553
28,00	ZTRS317SPH732_0280 ME	3700	7000	≤32	0,71	24	8	182	3	17	54,1	20	20	41	553
28,00	ZTRS317SPH732_0280 MEL	3700	7000	≤38	0,71	24	8	182	3	17	54,1	20	20	41	553
35,00	ZTRS317SPH732_0350 ME	3700	7000	≤32	0,57	24	8	179	3	17	54,1	20	20	41	553
35,00	ZTRS317SPH732_0350 MEL	3700	7000	≤38	0,57	24	8	179	3	17	54,1	20	20	41	553
40,00	ZTRS317SPH732_0400 ME	3700	7000	≤32	0,50	24	8	179	3	17	54,1	20	20	41	553
40,00	ZTRS317SPH732_0400 MEL	3700	7000	≤38	0,50	24	8	179	3	17	54,1	20	20	41	553
50,00	ZTRS317SPH732_0500 ME	3700	7000	≤32	0,40	24	8	178	3	17	54,1	20	20	41	553
50,00	ZTRS317SPH732_0500 MEL	3700	7000	≤38	0,40	24	8	178	3	17	54,1	20	20	41	553
70,00	ZTRS317SPH732_0700 ME	3700	7000	≤32	0,28	24	8	173	3	17	54,1	20	20	41	553
70,00	ZTRS317SPH732_0700 MEL	3700	7000	≤38	0,28	24	8	173	3	17	54,1	20	20	41	553
100,0	ZTRS317SPH732_1000 ME	3700	7000	≤32	0,20	24	8	162	3	17	54,1	16	20	41	550
100,0	ZTRS317SPH732_1000 MEL	3700	7000	≤38	0,20	24	8	162	3	17	54,1	16	20	41	550
<b>ZTRS3PH8 (<math>F_{f2acc,max} = 28 \text{ kN}</math>)</b>															
4,000	ZTRS332SPH831_0040 ME	1400	3500	≤48	4,67	44	15	229	3	32	101,9	17	28	47	1412
4,000	ZTRS332SPH831_0040 MEL	1400	3500	≤60	4,67	44	15	235	3	32	101,9	17	28	55	1412
5,000	ZTRS332SPH831_0050 ME	1600	4000	≤48	4,27	44	15	232	3	32	101,9	22	28	55	1412
5,000	ZTRS332SPH831_0050 MEL	1600	4000	≤60	4,27	44	15	236	3	32	101,9	22	28	55	1412
7,000	ZTRS332SPH831_0070 ME	2000	4000	≤48	3,05	44	15	217	3	32	101,9	20	28	55	1412
7,000	ZTRS332SPH831_0070 MEL	2000	4000	≤60	3,05	44	15	219	3	32	101,9	20	28	55	1412
10,00	ZTRS332SPH831_0100 ME	2200	4000	≤48	2,13	44	15	195	3	32	101,9	17	27	55	1392
10,00	ZTRS332SPH831_0100 MEL	2200	4000	≤60	2,13	44	15	196	3	32	101,9	17	27	55	1392
16,00	ZTRS332SPH832_0160 ME	2500	4500	≤38	1,50	44	15	225	3	32	101,9	22	28	55	1412
16,00	ZTRS332SPH832_0160 MEL	2500	4500	≤48	1,50	44	15	226	3	32	101,9	22	28	55	1412
20,00	ZTRS332SPH832_0200 ME	2500	4500	≤38	1,20	44	15	230	3	32	101,9	25	28	55	1412
20,00	ZTRS332SPH832_0200 MEL	2500	4500	≤48	1,20	44	15	230	3	32	101,9	25	28	55	1412
25,00	ZTRS332SPH832_0250 ME	2700	5500	≤38	1,17	44	15	229	3	32	101,9	26	28	55	1412
25,00	ZTRS332SPH832_0250 MEL	2700	5500	≤48	1,17	44	15	230	3	32	101,9	26	28	55	1412
28,00	ZTRS332SPH832_0280 ME	3000	6000	≤38	1,14	44	15	223	3	32	101,9	22	28	55	1412
28,00	ZTRS332SPH832_0280 MEL	3000	6000	≤48	1,14	44	15	223	3	32	101,9	22	28	55	1412
35,00	ZTRS332SPH832_0350 ME	3000	6000	≤38	0,91	44	15	228	3	32	101,9	28	28	55	1412
35,00	ZTRS332SPH832_0350 MEL	3000	6000	≤48	0,91	44	15	228	3	32	101,9	28	28	55	1412
40,00	ZTRS332SPH832_0400 ME	3000	6000	≤38	0,80	44	15	219	3	32	101,9	22	28	55	1412
40,00	ZTRS332SPH832_0400 MEL	3000	6000	≤48	0,80	44	15	219	3	32	101,9	22	28	55	1412
50,00	ZTRS332SPH832_0500 ME	3000	6000	≤38	0,64	44	15	225	3	32	101,9	28	28	55	1412
50,00	ZTRS332SPH832_0500 MEL	3000	6000	≤48	0,64	44	15	225	3	32	101,9	28	28	55	1412

i	Modelo	$n_{1\max DB}$ [min $^{-1}$ ]	$n_{1\max ZB}$ [min $^{-1}$ ]	d <sub>MW</sub> [mm]	v <sub>f2maxZB</sub> [m/s]	$\Delta s$ [μm]	$\Delta s_{red}$ [μm]	C <sub>lin</sub> [N/μm]	m <sub>n</sub> [mm]	z	d <sub>0</sub> [mm]	F <sub>f2N</sub> [kN]	F <sub>f2acc</sub> [kN]	F <sub>f2NOT</sub> [kN]	M <sub>2acc</sub> [Nm]
<b>ZTRS3PH8 (F<sub>f2acc,max</sub> = 28 kN)</b>															
70,00	ZTRS332SPH832_0700 ME	3000	6000	≤38	0,46	44	15	214	3	32	101,9	28	28	55	1412
70,00	ZTRS332SPH832_0700 MEL	3000	6000	≤48	0,46	44	15	214	3	32	101,9	28	28	55	1412
100,0	ZTRS332SPH832_1000 ME	3000	6000	≤38	0,32	44	15	194	3	32	101,9	21	27	54	1380
100,0	ZTRS332SPH832_1000 MEL	3000	6000	≤48	0,32	44	15	194	3	32	101,9	21	27	54	1380
<b>ZTRS4PH8 (F<sub>f2acc,max</sub> = 45 kN)</b>															
4,000	ZTRS420SPH831_0040 ME	1400	3500	≤48	3,89	37	12	282	4	20	84,9	21	43	57	1820
4,000	ZTRS420SPH831_0040 MEL	1400	3500	≤60	3,89	37	12	288	4	20	84,9	21	43	70	1820
5,000	ZTRS420SPH831_0050 ME	1600	4000	≤48	3,56	37	12	285	4	20	84,9	26	45	70	1929
5,000	ZTRS420SPH831_0050 MEL	1600	4000	≤60	3,56	37	12	289	4	20	84,9	26	45	70	1929
7,000	ZTRS420SPH831_0070 ME	2000	4000	≤48	2,54	37	12	269	4	20	84,9	24	45	70	1929
7,000	ZTRS420SPH831_0070 MEL	2000	4000	≤60	2,54	37	12	271	4	20	84,9	24	45	70	1929
10,00	ZTRS420SPH831_0100 ME	2200	4000	≤48	1,78	37	12	245	4	20	84,9	20	33	66	1392
10,00	ZTRS420SPH831_0100 MEL	2200	4000	≤60	1,78	37	12	246	4	20	84,9	20	33	66	1392
16,00	ZTRS420SPH832_0160 ME	2500	4500	≤38	1,25	37	12	278	4	20	84,9	26	45	70	1929
16,00	ZTRS420SPH832_0160 MEL	2500	4500	≤48	1,25	37	12	279	4	20	84,9	26	45	70	1929
20,00	ZTRS420SPH832_0200 ME	2500	4500	≤38	1,00	37	12	283	4	20	84,9	29	45	70	1929
20,00	ZTRS420SPH832_0200 MEL	2500	4500	≤48	1,00	37	12	283	4	20	84,9	29	45	70	1929
25,00	ZTRS420SPH832_0250 ME	2700	5500	≤38	0,98	37	12	282	4	20	84,9	31	45	70	1929
25,00	ZTRS420SPH832_0250 MEL	2700	5500	≤48	0,98	37	12	283	4	20	84,9	31	45	70	1929
28,00	ZTRS420SPH832_0280 ME	3000	6000	≤38	0,95	37	12	276	4	20	84,9	26	45	70	1929
28,00	ZTRS420SPH832_0280 MEL	3000	6000	≤48	0,95	37	12	276	4	20	84,9	26	45	70	1929
35,00	ZTRS420SPH832_0350 ME	3000	6000	≤38	0,76	37	12	281	4	20	84,9	34	45	70	1929
35,00	ZTRS420SPH832_0350 MEL	3000	6000	≤48	0,76	37	12	281	4	20	84,9	34	45	70	1929
40,00	ZTRS420SPH832_0400 ME	3000	6000	≤38	0,67	37	12	271	4	20	84,9	26	45	70	1920
40,00	ZTRS420SPH832_0400 MEL	3000	6000	≤48	0,67	37	12	271	4	20	84,9	26	45	70	1920
50,00	ZTRS420SPH832_0500 ME	3000	6000	≤38	0,53	37	12	278	4	20	84,9	37	45	70	1929
50,00	ZTRS420SPH832_0500 MEL	3000	6000	≤48	0,53	37	12	278	4	20	84,9	37	45	70	1929
70,00	ZTRS420SPH832_0700 ME	3000	6000	≤38	0,38	37	12	266	4	20	84,9	33	44	70	1848
70,00	ZTRS420SPH832_0700 MEL	3000	6000	≤48	0,38	37	12	266	4	20	84,9	33	44	70	1848
100,0	ZTRS420SPH832_1000 ME	3000	6000	≤38	0,27	37	12	244	4	20	84,9	25	33	65	1380
100,0	ZTRS420SPH832_1000 MEL	3000	6000	≤48	0,27	37	12	244	4	20	84,9	25	33	65	1380
<b>ZTRS5PH8 (F<sub>f2acc,max</sub> = 49 kN)</b>															
4,000	ZTRS516SPH831_0040 ME	1400	3500	≤48	3,89	37	12	292	5	16	84,9	21	43	57	1820
4,000	ZTRS516SPH831_0040 MEL	1400	3500	≤60	3,89	37	12	299	5	16	84,9	21	43	70	1820
5,000	ZTRS516SPH831_0050 ME	1600	4000	≤48	3,56	37	12	296	5	16	84,9	26	49	70	2100
5,000	ZTRS516SPH831_0050 MEL	1600	4000	≤60	3,56	37	12	300	5	16	84,9	26	49	70	2100
7,000	ZTRS516SPH831_0070 ME	2000	4000	≤48	2,54	37	12	279	5	16	84,9	24	47	70	2000
7,000	ZTRS516SPH831_0070 MEL	2000	4000	≤60	2,54	37	12	281	5	16	84,9	24	47	70	2000
10,00	ZTRS516SPH831_0100 ME	2200	4000	≤48	1,78	37	12	253	5	16	84,9	20	33	66	1392
10,00	ZTRS516SPH831_0100 MEL	2200	4000	≤60	1,78	37	12	254	5	16	84,9	20	33	66	1392
16,00	ZTRS516SPH832_0160 ME	2500	4500	≤38	1,25	37	12	289	5	16	84,9	26	47	70	2000
16,00	ZTRS516SPH832_0160 MEL	2500	4500	≤48	1,25	37	12	289	5	16	84,9	26	47	70	2000
20,00	ZTRS516SPH832_0200 ME	2500	4500	≤38	1,00	37	12	293	5	16	84,9	29	49	70	2100
20,00	ZTRS516SPH832_0200 MEL	2500	4500	≤48	1,00	37	12	294	5	16	84,9	29	49	70	2100
25,00	ZTRS516SPH832_0250 ME	2700	5500	≤38	0,98	37	12	293	5	16	84,9	31	49	70	2100
25,00	ZTRS516SPH832_0250 MEL	2700	5500	≤48	0,98	37	12	293	5	16	84,9	31	49	70	2100
28,00	ZTRS516SPH832_0280 ME	3000	6000	≤38	0,95	37	12	286	5	16	84,9	26	47	70	2000
28,00	ZTRS516SPH832_0280 MEL	3000	6000	≤48	0,95	37	12	286	5	16	84,9	26	47	70	2000
35,00	ZTRS516SPH832_0350 ME	3000	6000	≤38	0,76	37	12	292	5	16	84,9	34	49	70	2100
35,00	ZTRS516SPH832_0350 MEL	3000	6000	≤48	0,76	37	12	292	5	16	84,9	34	49	70	2100
40,00	ZTRS516SPH832_0400 ME	3000	6000	≤38	0,67	37	12	281	5	16	84,9	26	45	70	1920
40,00	ZTRS516SPH832_0400 MEL	3000	6000	≤48	0,67	37	12	281	5	16	84,9	26	45	70	1920
50,00	ZTRS516SPH832_0500 ME	3000	6000	≤38	0,53	37	12	289	5	16	84,9	37	49	70	2100
50,00	ZTRS516SPH832_0500 MEL	3000	6000	≤48	0,53	37	12	289	5	16	84,9	37	49	70	2100
70,00	ZTRS516SPH832_0700 ME	3000	6000	≤38	0,38	37	12	275	5	16	84,9	33	44	70	1848
70,00	ZTRS516SPH832_0700 MEL	3000	6000	≤48	0,38	37	12	275	5	16	84,9	33	44	70	1848
100,0	ZTRS516SPH832_1000 ME	3000	6000	≤38	0,27	37	12	252	5	16	84,9	25	33	65	1380
100,0	ZTRS516SPH832_1000 MEL	3000	6000	≤48	0,27	37	12	252	5	16	84,9	25	33	65	1380
<b>ZTRS5PH9 (F<sub>f2acc,max</sub> = 77 kN)</b>															
12,00	ZTRS520SPH942_0120 ME	1800	3000	≤48	1,39	46	15	396	5	20	106,1	56	77	132	4075
12,00	ZTRS520SPH942_0120 MEL	1800	3000	≤60	1,39	46	15	398	5	20	106,1	56	77	154	4075
16,00	ZTRS520SPH942_0160 ME	2000	3500	≤48	1,22	46	15	395	5	20	106,1	57	77	154	4075
16,00	ZTRS520SPH942_0160 MEL	2000	3500	≤60	1,22	46	15	396	5	20	106,1	57	77	154	4075
18,00	ZTRS520SPH942_0180 ME	1800	3000	≤48	0,93	46	15	389	5	20	106,1	57	77	154	4075
18,00	ZTRS520SPH942_0180 MEL	1800	3000	≤60	0,93	46	15	390	5	20	106,1	57	77	154	4075
20,00	ZTRS520SPH942_0200 ME	2500	4000	≤48	1,11	46	15	394	5	20	106,1	57	77	154	4075

i	Modelo	$n_{1\max DB}$ [min $^{-1}$ ]	$n_{1\max ZB}$ [min $^{-1}$ ]	$d_{MW}$ [mm]	$v_{f2\max ZB}$ [m/s]	$\Delta s$ [μm]	$\Delta s_{red}$ [μm]	$C_{lin}$ [N/μm]	$m_n$ [mm]	z	$d_0$ [mm]	$F_{f2N}$ [kN]	$F_{f2acc}$ [kN]	$F_{f2NOT}$ [kN]	$M_{2acc}$ [Nm]
<b>ZTRS5PH9 (F<sub>f2acc,max</sub> = 77 kN)</b>															
20,00	ZTRS520SPH942_0200 MEL	2500	4000	≤60	1,11	46	15	395	5	20	106,1	57	77	154	4075
24,00	ZTRS520SPH942_0240 ME	2000	3500	≤48	0,81	46	15	388	5	20	106,1	57	77	154	4075
24,00	ZTRS520SPH942_0240 MEL	2000	3500	≤60	0,81	46	15	388	5	20	106,1	57	77	154	4075
28,00	ZTRS520SPH942_0280 ME	2800	4500	≤48	0,89	46	15	391	5	20	106,1	66	77	154	4075
28,00	ZTRS520SPH942_0280 MEL	2800	4500	≤60	0,89	46	15	392	5	20	106,1	66	77	154	4075
30,00	ZTRS520SPH942_0300 ME	2500	4000	≤48	0,74	46	15	388	5	20	106,1	62	77	154	4075
30,00	ZTRS520SPH942_0300 MEL	2500	4000	≤60	0,74	46	15	388	5	20	106,1	62	77	154	4075
32,00	ZTRS520SPH942_0320 ME	2800	4500	≤48	0,78	46	15	387	5	20	106,1	60	77	154	4075
32,00	ZTRS520SPH942_0320 MEL	2800	4500	≤60	0,78	46	15	388	5	20	106,1	60	77	154	4075
40,00	ZTRS520SPH942_0400 ME	2800	4500	≤48	0,63	46	15	383	5	20	106,1	60	77	154	4075
40,00	ZTRS520SPH942_0400 MEL	2800	4500	≤60	0,63	46	15	383	5	20	106,1	60	77	154	4075
42,00	ZTRS520SPH942_0420 ME	2800	4500	≤48	0,60	46	15	387	5	20	106,1	66	77	154	4075
42,00	ZTRS520SPH942_0420 MEL	2800	4500	≤60	0,60	46	15	387	5	20	106,1	66	77	154	4075
48,00	ZTRS520SPH942_0480 ME	2800	4500	≤48	0,52	46	15	385	5	20	106,1	66	77	154	4075
48,00	ZTRS520SPH942_0480 MEL	2800	4500	≤60	0,52	46	15	385	5	20	106,1	66	77	154	4075
60,00	ZTRS520SPH942_0600 ME	2800	4500	≤48	0,42	46	15	383	5	20	106,1	66	77	154	4075
60,00	ZTRS520SPH942_0600 MEL	2800	4500	≤60	0,42	46	15	383	5	20	106,1	66	77	154	4075
<b>ZTRS6PH9 (F<sub>f2acc,max</sub> = 77 kN)</b>															
12,00	ZTRS620SPH942_0120 ME	1800	3000	≤48	1,67	56	19	370	6	20	127,3	47	72	110	4600
12,00	ZTRS620SPH942_0120 MEL	1800	3000	≤60	1,67	56	19	373	6	20	127,3	47	72	145	4600
16,00	ZTRS620SPH942_0160 ME	2000	3500	≤48	1,46	56	19	368	6	20	127,3	47	77	147	4919
16,00	ZTRS620SPH942_0160 MEL	2000	3500	≤60	1,46	56	19	370	6	20	127,3	47	77	150	4919
18,00	ZTRS620SPH942_0180 ME	1800	3000	≤48	1,11	56	19	361	6	20	127,3	47	77	150	4919
18,00	ZTRS620SPH942_0180 MEL	1800	3000	≤60	1,11	56	19	362	6	20	127,3	47	77	150	4919
20,00	ZTRS620SPH942_0200 ME	2500	4000	≤48	1,33	56	19	368	6	20	127,3	47	77	150	4919
20,00	ZTRS620SPH942_0200 MEL	2500	4000	≤60	1,33	56	19	368	6	20	127,3	47	77	150	4919
24,00	ZTRS620SPH942_0240 ME	2000	3500	≤48	0,97	56	19	360	6	20	127,3	47	77	150	4919
24,00	ZTRS620SPH942_0240 MEL	2000	3500	≤60	0,97	56	19	361	6	20	127,3	47	77	150	4919
28,00	ZTRS620SPH942_0280 ME	2800	4500	≤48	1,07	56	19	364	6	20	127,3	55	77	150	4919
28,00	ZTRS620SPH942_0280 MEL	2800	4500	≤60	1,07	56	19	365	6	20	127,3	55	77	150	4919
30,00	ZTRS620SPH942_0300 ME	2500	4000	≤48	0,89	56	19	360	6	20	127,3	52	77	150	4919
30,00	ZTRS620SPH942_0300 MEL	2500	4000	≤60	0,89	56	19	360	6	20	127,3	52	77	150	4919
32,00	ZTRS620SPH942_0320 ME	2800	4500	≤48	0,94	56	19	359	6	20	127,3	50	72	145	4600
32,00	ZTRS620SPH942_0320 MEL	2800	4500	≤60	0,94	56	19	360	6	20	127,3	50	72	145	4600
40,00	ZTRS620SPH942_0400 ME	2800	4500	≤48	0,75	56	19	354	6	20	127,3	50	72	145	4600
40,00	ZTRS620SPH942_0400 MEL	2800	4500	≤60	0,75	56	19	354	6	20	127,3	50	72	145	4600
42,00	ZTRS620SPH942_0420 ME	2800	4500	≤48	0,71	56	19	359	6	20	127,3	55	77	150	4919
42,00	ZTRS620SPH942_0420 MEL	2800	4500	≤60	0,71	56	19	359	6	20	127,3	55	77	150	4919
48,00	ZTRS620SPH942_0480 ME	2800	4500	≤48	0,63	56	19	356	6	20	127,3	55	77	150	4919
48,00	ZTRS620SPH942_0480 MEL	2800	4500	≤60	0,63	56	19	356	6	20	127,3	55	77	150	4919
60,00	ZTRS620SPH942_0600 ME	2800	4500	≤48	0,50	56	19	354	6	20	127,3	55	77	150	4919
60,00	ZTRS620SPH942_0600 MEL	2800	4500	≤60	0,50	56	19	354	6	20	127,3	55	77	150	4919
<b>ZTRS8PH9 (F<sub>f2acc,max</sub> = 79 kN)</b>															
12,00	ZTRS815SPH942_0120 ME	1800	3000	≤48	1,67	56	19	389	8	15	127,3	47	72	110	4600
12,00	ZTRS815SPH942_0120 MEL	1800	3000	≤60	1,67	56	19	391	8	15	127,3	47	72	145	4600
16,00	ZTRS815SPH942_0160 ME	2000	3500	≤48	1,46	56	19	386	8	15	127,3	47	79	147	5000
16,00	ZTRS815SPH942_0160 MEL	2000	3500	≤60	1,46	56	19	388	8	15	127,3	47	79	150	5000
18,00	ZTRS815SPH942_0180 ME	1800	3000	≤48	1,11	56	19	378	8	15	127,3	47	79	150	5000
18,00	ZTRS815SPH942_0180 MEL	1800	3000	≤60	1,11	56	19	379	8	15	127,3	47	79	150	5000
20,00	ZTRS815SPH942_0200 ME	2500	4000	≤48	1,33	56	19	385	8	15	127,3	47	79	150	5000
20,00	ZTRS815SPH942_0200 MEL	2500	4000	≤60	1,33	56	19	386	8	15	127,3	47	79	150	5000
24,00	ZTRS815SPH942_0240 ME	2000	3500	≤48	0,97	56	19	377	8	15	127,3	47	79	150	5000
24,00	ZTRS815SPH942_0240 MEL	2000	3500	≤60	0,97	56	19	378	8	15	127,3	47	79	150	5000
28,00	ZTRS815SPH942_0280 ME	2800	4500	≤48	1,07	56	19	382	8	15	127,3	55	79	150	5000
28,00	ZTRS815SPH942_0280 MEL	2800	4500	≤60	1,07	56	19	382	8	15	127,3	55	79	150	5000
30,00	ZTRS815SPH942_0300 ME	2500	4000	≤48	0,89	56	19	377	8	15	127,3	52	79	150	5000
30,00	ZTRS815SPH942_0300 MEL	2500	4000	≤60	0,89	56	19	377	8	15	127,3	52	79	150	5000
32,00	ZTRS815SPH942_0320 ME	2800	4500	≤48	0,94	56	19	376	8	15	127,3	50	72	145	4600
32,00	ZTRS815SPH942_0320 MEL	2800	4500	≤60	0,94	56	19	377	8	15	127,3	50	72	145	4600
40,00	ZTRS815SPH942_0400 ME	2800	4500	≤48	0,75	56	19	371	8	15	127,3	50	72	145	4600
40,00	ZTRS815SPH942_0400 MEL	2800	4500	≤60	0,75	56	19	371	8	15	127,3	50	72	145	4600
42,00	ZTRS815SPH942_0420 ME	2800	4500	≤48	0,71	56	19	375	8	15	127,3	55	79	150	5000
42,00	ZTRS815SPH942_0420 MEL	2800	4500	≤60	0,71	56	19	376	8	15	127,3	55	79	150	5000
48,00	ZTRS815SPH942_0480 ME	2800	4500	≤48	0,63	56	19	373	8	15	127,3	55	79	150	5000
48,00	ZTRS815SPH942_0480 MEL	2800	4500	≤60	0,63	56	19	373	8	15	127,3	55	79	150	5000

i	Modelo	$n_{1\max DB}$ [min $^{-1}$ ]	$n_{1\max ZB}$ [min $^{-1}$ ]	d <sub>MW</sub> [mm]	v <sub>f2maxZB</sub> [m/s]	$\Delta s$ [μm]	$\Delta s_{red}$ [μm]	C <sub>lin</sub> [N/μm]	m <sub>n</sub> [mm]	z	d <sub>0</sub> [mm]	F <sub>f2N</sub> [kN]	F <sub>f2acc</sub> [kN]	F <sub>f2NOT</sub> [kN]	M <sub>2acc</sub> [Nm]
<b>ZTRS8PH9 (F<sub>f2acc,max</sub> = 79 kN)</b>															
60,00	ZTRS815SPH942_0600 ME	2800	4500	≤48	0,50	56	19	371	8	15	127,3	55	79	150	5000
60,00	ZTRS815SPH942_0600 MEL	2800	4500	≤60	0,50	56	19	371	8	15	127,3	55	79	150	5000



## 2.3 Esquemas de dimensiones

Este capítulo contiene la información sobre las dimensiones de los accionamientos de cremallera con adaptadores de motor.

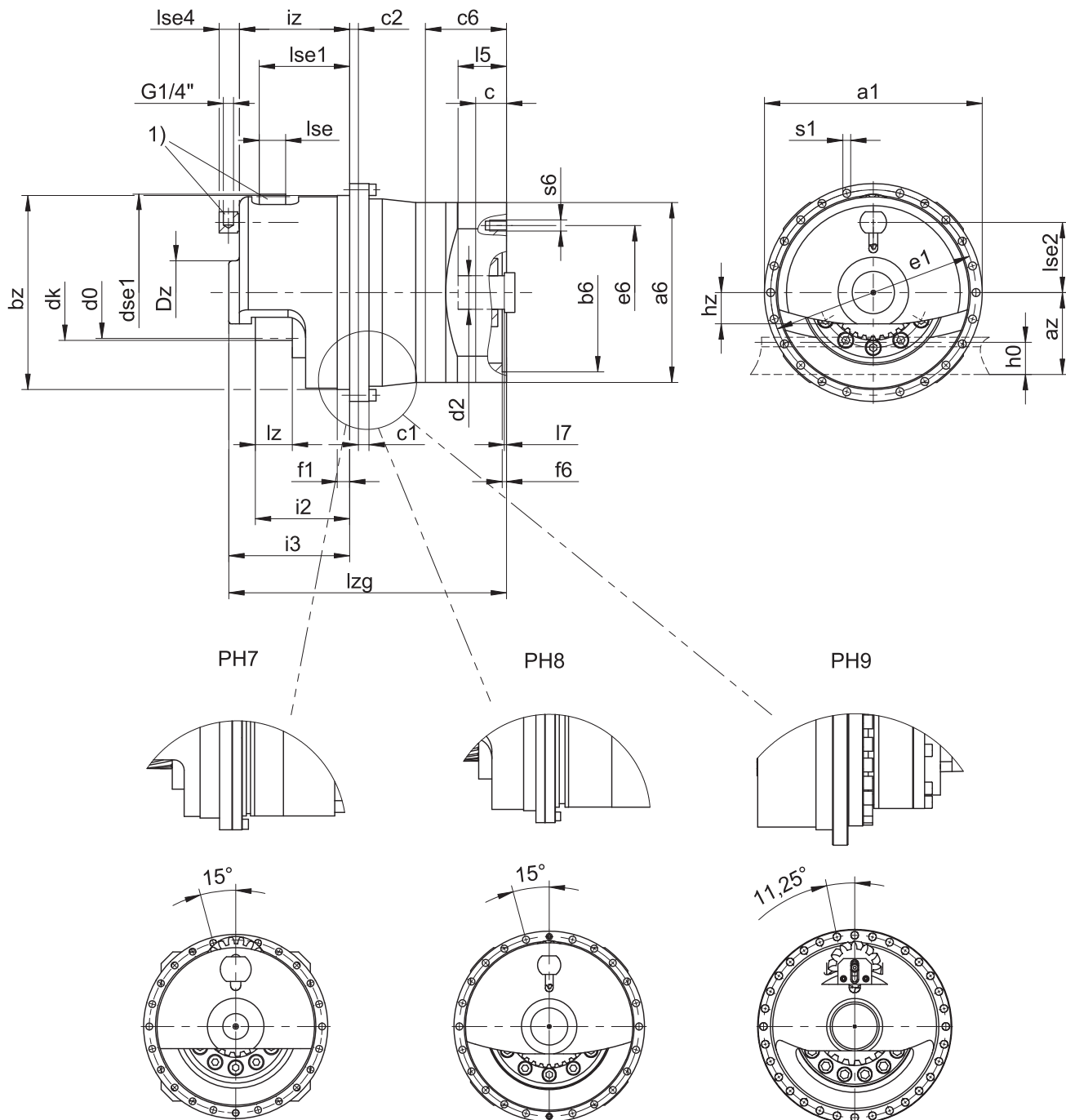
La medida  $az$  en las tablas de dimensiones es válida para cremalleras STOBER. En general se aplica lo siguiente:  $az = \frac{1}{2} d_0 + h_0 + x * m_n$

Piñón del accionamiento de cremallera con dentado helicoidal (ascendente a la izquierda  $19^{\circ} 31' 42''$ ). La calidad del dentado del piñón es 5.

Las tolerancias de fundición o bien la suma de las tolerancias individuales pueden provocar que las medidas sobrepasen las especificaciones de ISO 2768-mK.

Nos reservamos el derecho de realizar cambios en las dimensiones en pro del desarrollo tecnológico.

Los modelos 3D de nuestros accionamientos estándar se pueden descargar en <https://configurator.stober.de/en-US/>.



1) Engranaje de fielto para lubricación (opcional)

**Medidas salida**

Modelo	mn	$\varnothing a1$	az	$\varnothing bz$	c1	c2	d0	dk	dse1	Dz	$\varnothing e1$	f1	i2	i3	iz	h0	hz	lz	lse	lse1	lse2	lse4	$\varnothing s1$	x
ZTRS317SPH7_	3	179	53,06	156 <sub>h7</sub>	10	12	54,11	60,1	63,6	55	168	19,0	78,5	99,5	89,5	26	21,5	32,5	25	75,2	55,7	23,0	6,6	0,0
ZTRS332SPH8_	3	247	76,93	220 <sub>h7</sub>	12	10	101,86	107,9	63,6	72	233	14,0	107,0	137,0	125,0	26	35,5	42,0	30	102,6	79,5	23,0	9,0	0,0
ZTRS420SPH8_	4	247	77,44	220 <sub>h7</sub>	12	10	84,88	92,8	62,8	72	233	14,0	110,0	137,0	125,0	35	35,5	45,0	30	98,6	68,9	23,0	9,0	0,0
ZTRS516SPH8_	5	247	76,44	220 <sub>h7</sub>	12	10	84,88	94,8	78,6	72	233	14,5	120,0	147,0	135,0	34	35,5	55,0	30	109,6	76,5	23,0	9,0	0,0
ZTRS520SPH9_	5	346	87,05	300 <sub>h7</sub>	18	18	106,10	116,1	78,6	100	325	21,5	137,0	179,0	171,0	34	45,0	55,0	30	131,1	87,1	—	13,5	0,0
ZTRS620SPH9_	6	346	106,66	300 <sub>h7</sub>	18	18	127,32	139,3	94,2	100	325	21,5	147,0	189,0	181,0	43	43,5	65,0	30	131,1	104,8	—	13,5	0,0
ZTRS815SPH9_	8	346	136,66	300 <sub>h7</sub>	18	18	127,32	147,3	160,0	110	325	21,5	162,0	204,7	196,5	71	55,0	80,0	65	162,0	137,7	5,5	13,5	0,3

**Ejemplos de medidas de conexión del motor + longitud total**

Modelo	$\varnothing b6$	$\varnothing e6$	$\varnothing d2max$	I5	$\square a6$	c	c6	f6	I7	l <sub>zg</sub>	s6
ZTRS3_PH731_ME	130 <sup>H7</sup>	165	38	61	150	26	66,0	5,5	4,5	234,5	M10
ZTRS3_PH732_ME	110 <sup>H7</sup>	130	32	51	120	24	54,0	4,0	4,5	272,5	M8
ZTRS3_PH831_ME	180 <sup>H7</sup>	215	48	83	204	35	80,5	5,5	8,5	315,0	M12
ZTRS4_PH831_ME	180 <sup>H7</sup>	215	48	83	204	35	80,5	5,5	8,5	315,0	M12
ZTRS5_PH831_ME	180 <sup>H7</sup>	215	48	83	204	35	80,5	5,5	8,5	325,0	M12
ZTRS3_PH832_ME	130 <sup>H7</sup>	165	38	61	150	26	66,0	5,5	4,5	360,0	M10
ZTRS4_PH832_ME	130 <sup>H7</sup>	165	38	61	150	26	66,0	5,5	4,5	360,0	M10
ZTRS5_PH832_ME	130 <sup>H7</sup>	165	38	61	150	26	66,0	5,5	4,5	370,0	M10
ZTRS5_PH942_ME	180 <sup>H7</sup>	215	48	83	204	35	80,5	5,5	8,5	465,5	M12
ZTRS6_PH942_ME	180 <sup>H7</sup>	215	48	83	204	35	80,5	5,5	8,5	475,5	M12
ZTRS8_PH942_ME	180 <sup>H7</sup>	215	48	83	204	35	80,5	5,5	8,5	491,2	M12

La tabla de arriba contiene ejemplos de medidas de la conexión del motor para el adaptador de motor ME.

**Tenga en cuenta que las medidas c6, I5 y l<sub>zg</sub> se alargan correspondientemente cuando se alarga la medida c.**

Encontrará otras medidas de conexión del motor para los adaptadores de motor ME, MEL y MF en el STO-BER Configurator en <https://configurator.stoeber.de/en-US/>. Allí podrá descargar directamente un modelo 3D de su accionamiento.

## 2.4 Denominación de tipo

Este capítulo contiene información sobre la denominación de tipo y las opciones pertinentes.

Los datos de pedido que no forman parte de la denominación de tipo se incluyen al final del capítulo.

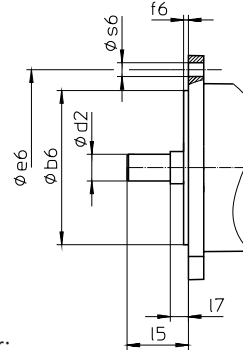
### Código de ejemplo

Z	TRS	3	17	S	PH	7	3	1	S	F	S	S	0050	ME
---	-----	---	----	---	----	---	---	---	---	---	---	---	------	----

### Explicación

Código	Denominación	Versión
Z	Tipo	Accionamiento de cremallera
TRS	Versión	Piñón abridado atornillado con campana para cojinetes de apoyo
3	Módulo estándar	$m_n = 3 \text{ mm}$ (ejemplo)
17	Número de dientes	$z = 17$ (ejemplo)
S	Dentado	con dentado helicoidal (ascendente a la izquierda $19^\circ 31' 42''$ )
SF		con dentado helicoidal (ascendente a la izquierda $19^\circ 31' 42''$ )
		con engranaje de fieltro para lubricación
PH	Tipo	Reductor planetario
7	Tamaño	7 (ejemplo)
3	Generación	Generación 3
4		Generación 4
1	Etapas	1 etapa
2		2 etapas
S	Carcasa	Estándar
F	Eje	Eje con brida
S	Rodamiento	Apoyo estándar
V		Apoyo reforzado (PH3 – PH5)
S	Juego de giro	Estándar
R		Reducido
0050	Número característico de reducción ( $i \times 10$ )	$i = 5$ (ejemplo)
ME	Adaptador de motor	Adaptador de motor con acoplamiento EasyAdapt
MEL		Adaptador de motor con acoplamiento EasyAdapt para motores grandes
MF		Adaptador de motor con acoplamiento FlexiAdapt
MB <sup>1</sup>		Adaptador de motor ServoStop con freno

Para completar la denominación de tipo, indique también la siguiente información al hacer el pedido:



- Tipo de motor o dimensiones del motor:

Para elegir la conexión de motor adecuada, seleccione su motor o las dimensiones de la conexión del motor en el STOBER Configurator en <https://configurator.stoeber.de/en-US/>.

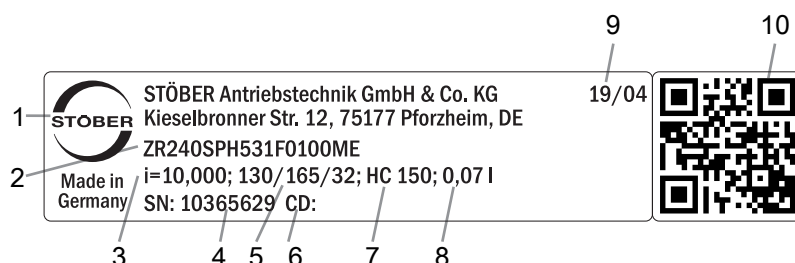
- Para la posición de la cremallera, véase el capítulo [▶ 2.5.7]
  - Para los retenes radiales para ejes de NBR o FKM en la salida (opcional), véase el capítulo [▶ 2.6.3]
  - Concentricidad  $\leq 10 \mu\text{m}$  (opcional)
  - Con modo de inversión del eje de salida de  $\pm 20^\circ$  hasta  $\pm 90^\circ$  y montaje horizontal, bajo petición
  - Sellado doble para adaptador de motor (opcional)
  - Llave de vaso para el montaje del motor en el reductor mediante el adaptador de motor ME/MEL/MF (opcional)

Este catálogo de productos incluye toda la información relacionada con los accionamientos de cremallera con adaptador de motor.

Encontrará todas las opciones de entrada disponibles bajo petición en el capítulo [▶ 2.5.1](#).

#### 2.4.1 Placa de características

En la siguiente figura se explica a modo de ejemplo la placa de características de un reductor.



Código	Denominación
1	Denominación del fabricante
2	Denominación de tipo
3	Transmisión del reductor
4	Número de serie del reductor
5	Medida del adaptador de motor (diámetro del borde de ajuste/círculo de agujeros/eje del motor)
6	Datos específicos del cliente
7	Especificación del lubricante
8	Cantidad de llenado de lubricante
9	Fecha de fabricación (año/semana)
10	Código QR (enlace a la información de producto)

#### **2.4.1.1 Documentos aplicables**

Puede ver o descargar los documentos aplicables para el producto introduciendo el número de serie que aparece en la placa de características del producto en la siguiente dirección de Internet:

<https://id.stober.com>

Alternativamente, con un dispositivo móvil adecuado puede escanear el código QR de la placa de características del producto y de este modo acceder a los documentos aplicables.

## 2.5 Descripción del producto

### 2.5.1 Opciones de entrada

Este capítulo incluye todas las opciones de entrada disponibles:

Adaptador de motor



Servomotor síncrono EZ



Entrada ortogonal KX con adaptador de motor MF



Entrada ortogonal K con adaptador de motor ME



Adaptador de motor MB



N.º de id. del catálogo de productos 443137\_es

N.º de id. del catálogo de productos 443286\_en

Bajo petición

Bajo petición

Bajo petición

Puede encontrar los catálogos de productos correspondientes en <http://www.stoeber.de/es/downloads/>

Introduzca el n.º de id. del catálogo de productos en el campo Termine di ricercaérmino de búsqueda.

### 2.5.2 Adaptador de motor con acoplamiento EasyAdapt (ME/MEL)

Este capítulo contiene la descripción del acoplamiento EasyAdapt.

#### Propiedades:

- Montaje sencillo y rápido del motor
- Acoplamiento de compresión robusto de una sola pieza con función de expansión
- Momentos de inercia mínimos para el máximo dinamismo
- Equilibrado para un funcionamiento suave y sin vibraciones, incluso con un régimen de revoluciones elevado
- Amplia selección de diámetros y longitudes del eje del motor
- Sin fallos gracias al centrado exacto del motor
- Si el juego de giro es reducido, el alojamiento del eje del motor debe estar dispuesto axialmente sin holgura



*Fig. 1: Acoplamiento EasyAdapt*

## 2.5.3 Adaptador de motor con acoplamiento FlexiAdapt (MF)

Este capítulo contiene la descripción del acoplamiento FlexiAdapt.

### Propiedades:

- Montaje sencillo y rápido del motor
- Acoplamiento de tipo fuelle robusto y soldado por láser con función de expansión
- Con compensación longitudinal térmica integrada, compensa las dilataciones lineales del eje del motor
- Eje del motor desacoplado de las fuerzas axiales
- Equilibrado para un funcionamiento suave y sin vibraciones, incluso con un régimen de revoluciones elevado
- Amplia selección de diámetros y longitudes del eje del motor
- Sin fallos gracias al centrado exacto del motor



Fig. 2: Acoplamiento FlexiAdapt

## 2.5.4 Cremallera

La cremallera empleada debe tener dentado ascendente a la derecha ( $19^{\circ} 31' 42''$ ) y no debe superarse la capacidad de carga.

Cuando utilice una cremallera de STOBER, tenga en cuenta también la planificación de proyecto en el capítulo [\[▶ 13.6\]](#).

## 2.5.5 Condiciones de montaje

Los pares de giro y fuerzas indicados en este catálogo de productos son válidos en las siguientes condiciones:

- Si se utilizan tornillos de la clase de resistencia 12.9 para fijar la carcasa del reductor en el lado de la máquina.
- Si la carcasa del reductor se adapta en el borde de ajuste øbz. La adaptación en el lado de la máquina debe ser H7.

## 2.5.6 Lubricantes

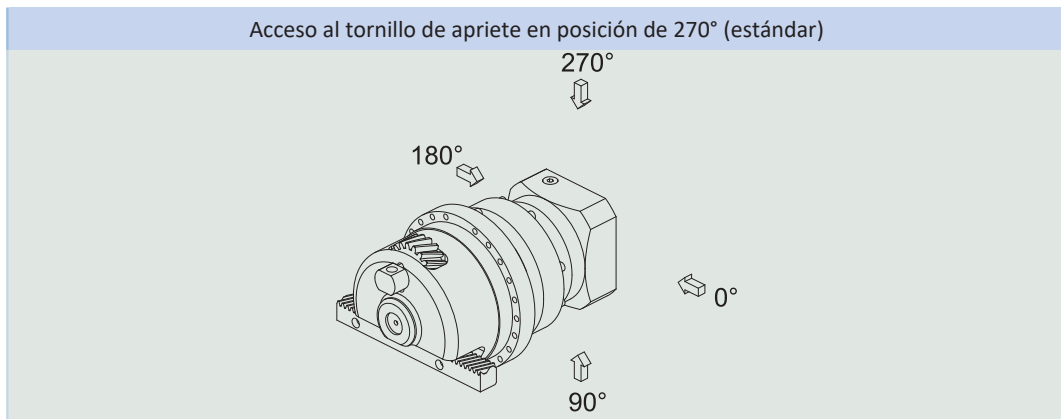
STOBER carga los reductores con la cantidad y el tipo de lubricante que se indican en la placa de características.

Lubricantes para el uso en la industria alimentaria disponibles bajo petición.

### 2.5.6.1 Lubricación del accionamiento de cremallera

Asegure una lubricación permanente con los lubricantes recomendados en el capítulo [\[▶ 13.5.1\]](#).

## 2.5.7 Posición del acceso al tornillo de apriete



El orificio de acceso al tornillo de apriete del acoplador del motor se encuentra en la versión estándar en la posición de  $270^{\circ}$ . Indique las diferencias correspondientes a su accionamiento de cremallera cuando realice el pedido.

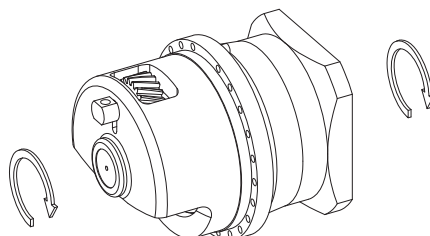
Tenga en cuenta que el orificio de acceso al tornillo de apriete del acoplador del motor también gira al girar la cremallera a otra posición.

## 2.5.8 Otras características del producto

Característica	Valor
Temperatura máx. admisible del reductor (en la superficie del reductor)	$\leq 90^{\circ}\text{C}$
Pintura	Negro RAL 9005
Directiva ATEX 2014/34/UE (opcional)	No adecuado.
Categoría de protección: <sup>2</sup>	
Reducer planetario	IP65
Piñón/Cremallera	IPXX

## 2.5.9 Sentido de giro

La entrada y la salida giran en la misma dirección.



## 2.6 Diseño

Utilice nuestro software de diseño SERVOsoft para proyectar sus accionamientos. Descargue SERVOsoft gratuitamente tras registrarse en <https://www.stoeber.de/es/servicios/informacion-servosoft/>.

Este es el método más cómodo y seguro para seleccionar el accionamiento, ya que aquí se representa y evalúa la curva completa de par de giro-régimen de revoluciones de la aplicación en la curva característica del motorreductor.

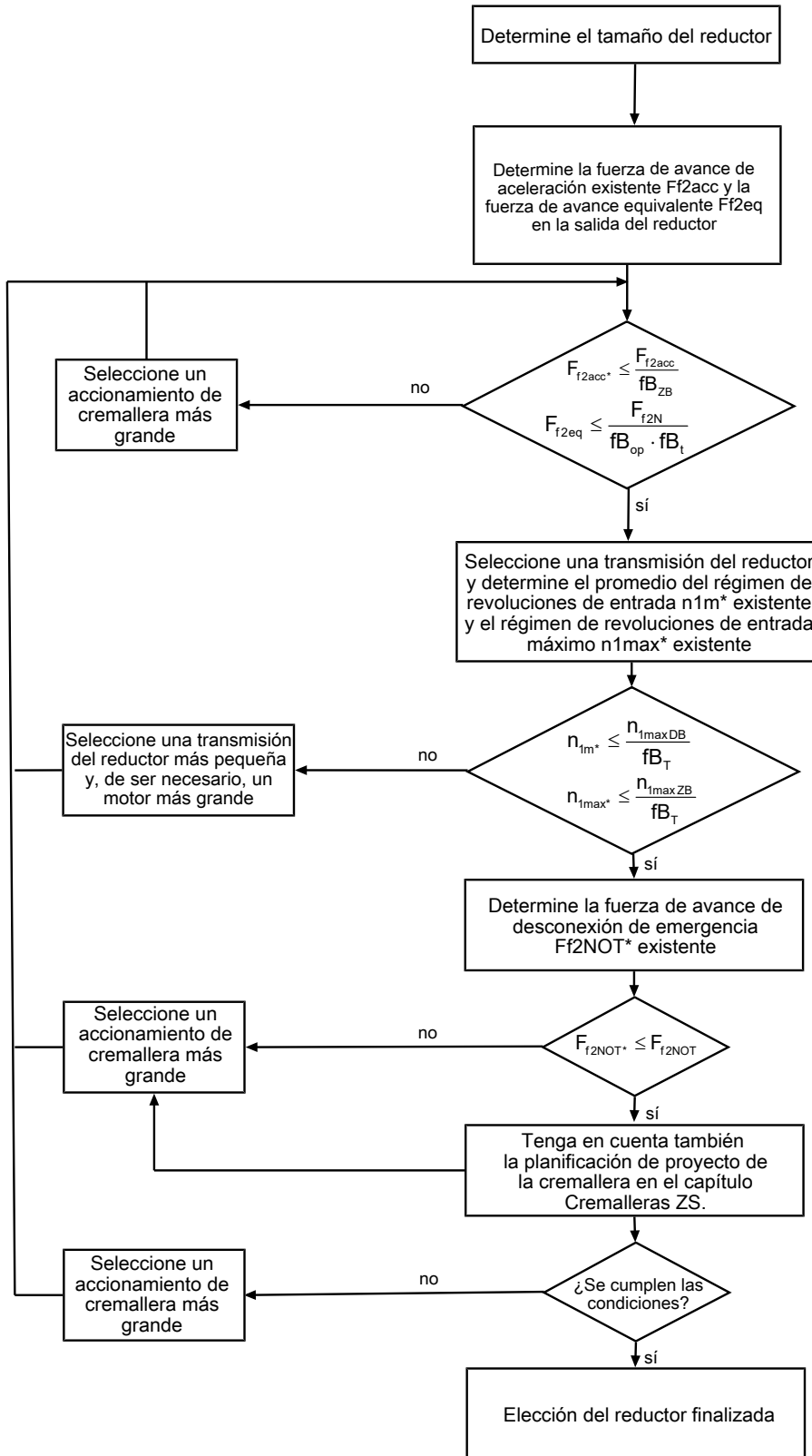
En este capítulo solo se pueden tener en consideración valores límite para puntos de trabajo concretos si la elección del accionamiento se lleva a cabo manualmente.

Los símbolos de fórmula correspondientes a los valores que están realmente presentes en la aplicación están marcados con un asterisco \*.

Los símbolos de las fórmulas se explican en el capítulo [▶ 14.1].

<sup>2</sup> tenga en cuenta la categoría de protección de todos los componentes.

## 2.6.1 Elección del accionamiento

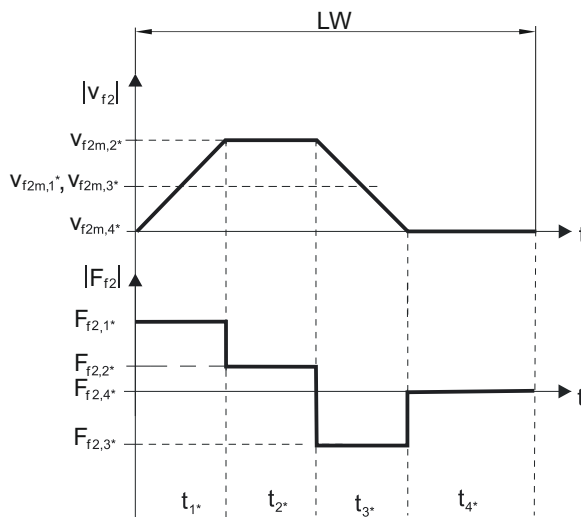


Consulte los valores para  $i$ ,  $n_{1\max DB}$ ,  $n_{1\max ZB}$ ,  $F_{f2acc}$ ,  $F_{f2N}$  y  $F_{f2NOT}$  en las tablas de selección.

Consulte los valores para  $fB_T$ ,  $fB_{op}$ ,  $fB_t$  y  $fB_{zB}$  en las tablas correspondientes de este capítulo.

### Ejemplo de servicio cíclico

Los siguientes cálculos se refieren a la representación de la potencia en la salida de acuerdo con el siguiente ejemplo:



### Cálculo de la fuerza de avance de aceleración máxima existente

$$F_{f2acc*} = m \cdot a \cdot F_L$$

### Cálculo del promedio del régimen de revoluciones de entrada existente

$$n_{fm*} = \frac{v_{f2m*} \cdot i}{d_0 \cdot \pi}$$

$$v_{f2m*} = \frac{|v_{f2m,1*}| \cdot t_{1*} + \dots + |v_{f2m,n*}| \cdot t_{n*}}{t_{1*} + \dots + t_{n*}}$$

Si  $t_{1*} + \dots + t_{3*} \geq 6$  min, determine  $v_{2m*}$  sin la pausa  $t_{4*}$ .

Consulte los valores para la transmisión del reductor i en las tablas de selección.

### Cálculo de la fuerza de avance de desconexión de emergencia existente

$$F_{f2NOT*} = m \cdot a_{NOT*} + F_L$$

### Cálculo de la fuerza de avance equivalente existente

$$F_{f2eq*} = \sqrt[3]{\frac{|v_{f2m,1*}| \cdot t_{1*} \cdot |F_{f2,1*}|^3 + \dots + |v_{f2m,n*}| \cdot t_{n*} \cdot |F_{f2,n*}|^3}{|v_{f2m,1*}| \cdot t_{1*} + \dots + |v_{f2m,n*}| \cdot t_{n*}}}$$

### Factores de servicio

Modo de servicio	$f_{B_{op}}$
Servicio continuo fijo	1,00
Servicio cíclico	1,00
Servicio cíclico con carga reversible	1,00

Tiempo de funcionamiento	$f_B$
Tiempo de funcionamiento diario $\leq 8$ h	1,00
Tiempo de funcionamiento diario $\leq 16$ h	1,15
Tiempo de funcionamiento diario $\leq 24$ h	1,20

Servicio cíclico	$f_{B_{ZB}}$
$\leq 1000$ cambios de carga/hora (LW/h)	1,00
$> 1000$ cambios de carga/hora (LW/h)	1,15

Temperatura		$f_{B_T}$
Refrigeración del motor	Temperatura ambiente	
Motor con ventilación externa	≤ 20 °C	0,9
	≤ 30 °C	1,0
	≤ 40 °C	1,15
Motor con refrigeración por convección	≤ 20 °C	1,0
	≤ 30 °C	1,1
	≤ 40 °C	1,25

**Indicaciones**

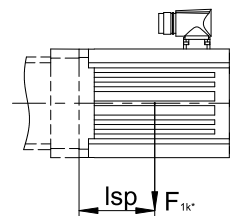
- No se debe exceder la temperatura máxima admisible del reductor (véase el capítulo Otras características del producto), ya que se podrían producir daños.
- En las situaciones de frenado con régimen de revoluciones máximo (p. ej., si se produce una caída de tensión o durante la instalación de la máquina), se deben tener en cuenta las fuerzas de avance admisibles del reductor ( $F_{f2acc}$ ,  $F_{f2NOT}$ ) que se indican en las tablas de selección.

## 2.6.2 Pares de vuelco admisibles en la entrada del reductor

Si va a montar el motor en posición horizontal, compruebe antes del montaje en un reductor STOBER que no se supere el par de vuelco admisible en la entrada del reductor. En este capítulo encontrará información al respecto.

Calcule el par de vuelco existente según sigue:

$$M_{1k*} = F_{1k*} \cdot l_{sp} \leq M_{1k}$$



Modelo	$M_{1k}$ [Nm]
PH331_ME	20
PH332_ME	10
PH431_ME	40
PH432_ME	20
PH531_ME	80
PH532_ME	40
PH731_ME	200
PH732_ME	80
PH831_ME	400
PH832_ME	200
PH942_ME	400
PH1042_ME	400

Los valores también son válidos para los adaptadores de motor MEL y MF.

## 2.6.3 Retenes radiales para ejes recomendados

Para un tiempo de conexión > 60 % y temperaturas ambiente elevadas se recomiendan retenes radiales para ejes de FKM en la salida.

Propiedades:

- Excelente resistencia a la temperatura
- Gran estabilidad química
- Muy buena resistencia al envejecimiento
- Excelente resistencia en aceites y grasas
- Uso en las industrias alimentaria, farmacéutica y de bebidas

### Seguridad contra fugas

Nuestros reductores están equipados con retenes radiales para ejes de alta calidad y verificados en cuanto a estanqueidad. Sin embargo, resulta imposible excluir por completo la posibilidad de que se produzca alguna fuga durante toda la vida útil de los reductores. Si utiliza los reductores con materiales no compatibles con los lubricantes, se deberán tomar medidas para impedir que puedan entrar en contacto directamente con el lubricante del reductor en caso de producirse una fuga.

## 2.7 Otros documentos

Encontrará más documentos relacionados con el producto en  
<http://www.stoeber.de/es/downloads/>

Introduzca el n.º de id. de la documentación en el campo Termine di ricercaérmino de búsqueda.

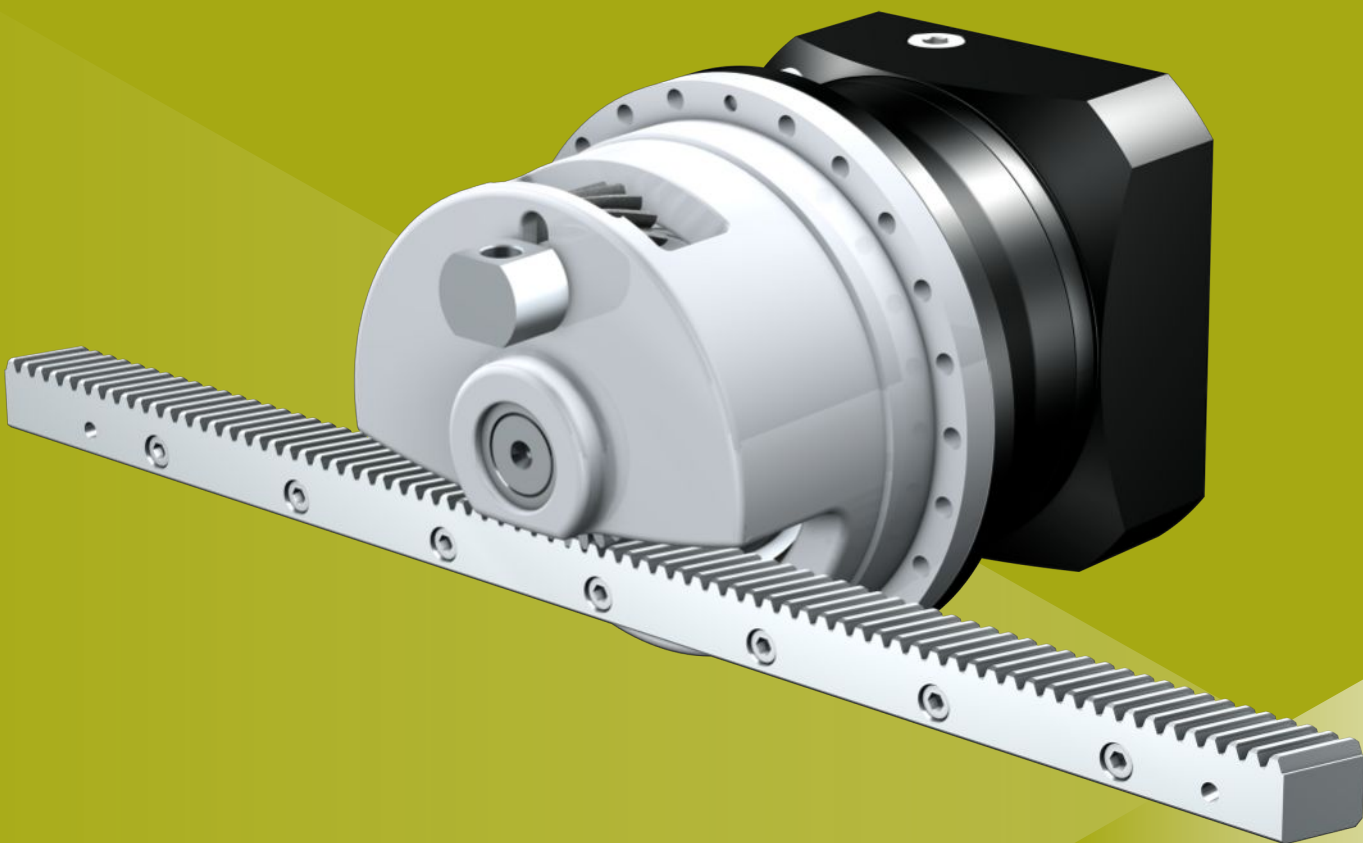
Documentación	N.º de id.
Instrucciones de operación reductores, motorreductores PH33 – PH83, PH94 – PH104	443354_es
Instrucciones de operación cremalleras	443392_es



### **3 Accionamientos de cremallera ZTRSPHQ**

#### **Índice**

3.1	Vista general .....	34
3.2	Tablas de selección.....	35
3.3	Esquemas de dimensiones .....	36
3.4	Denominación de tipo.....	37
3.4.1	Placa de características .....	39
3.5	Descripción del producto .....	39
3.5.1	Opciones de entrada .....	39
3.5.2	Adaptador de motor con acoplamiento EasyAdapt (ME/MEL) .....	40
3.5.3	Cremallera .....	40
3.5.4	Condiciones de montaje.....	40
3.5.5	Lubricantes.....	41
3.5.6	Posiciones de montaje .....	41
3.5.7	Posición del acceso al tornillo de apriete.....	41
3.5.8	Otras características del producto .....	42
3.5.9	Sentido de giro .....	42
3.6	Diseño .....	42
3.6.1	Elección del accionamiento.....	43
3.6.2	Pares de vuelco admisibles en la entrada del reductor.....	45
3.6.3	Retenes radiales para ejes recomendados.....	46
3.7	Otros documentos .....	46



### 3

## Accionamientos de cremallera

**ZTRSPHQ**

### 3.1 Vista general

Reductores planetarios de precisión Quattro-Power con campana para cojinete de apoyo

#### Características

Densidad de potencia	★★★★★
Juego lineal	★★★★★☆
Categoría de precio	€€€€€
Suavidad de funcionamiento	★★★★★☆
Rigidez lineal	★★★★★
Momento de inercia	★★★★★☆
Solución de accionamiento lista para el montaje	✓
Piñón, calidad del dentado 5 (DIN 3962)	✓
Dentado helicoidal	✓
Templados y pulidos	✓
Concentricidad ≤ 10 µm (opcional)	✓

Leyenda ★★★★★ bueno | ★★★★★ excepcional  
€ Economy | €€€€€ Premium

#### Características técnicas

$m_n$	8 mm
$z$	19
$F_{f2acc}$	124 kN
$v_{f2maxZB}$	0,06 – 1,1 m/s
$\Delta s$	70 µm

## 3.2 Tablas de selección

Los datos técnicos especificados en las tablas de selección son válidos para:

- Montaje sin tensiones
- Lubricación permanente con los lubricantes recomendados en el capítulo Cremalleras [▶ 13.5.1]
- Piñón templado, con dentado helicoidal (ascendente a la izquierda  $19^{\circ} 31' 42''$ ), calidad del dentado 5
- Alturas de instalación hasta 1000 m sobre el nivel del mar
- Temperaturas ambiente de 0 °C a 40 °C
- Sin tener en cuenta la potencia límite térmica

El resto de características técnicas se encuentran en <https://configurator.stoeber.de/en-US/>.

Los símbolos de las fórmulas se explican en el capítulo [▶ 14.1].

i	Modelo	$n_{1\max DB}$ [min <sup>-1</sup> ]	$n_{1\max ZB}$ [min <sup>-1</sup> ]	$d_{MW}$ [mm]	$v_{f2\max ZB}$ [m/s]	$\Delta s$ [μm]	$\Delta s_{red}$ [μm]	$C_{lin}$ [N/μm]	$m_n$ [mm]	z	$d_0$ [mm]	$F_{f2N}$ [kN]	$F_{f2acc}$ [kN]	$F_{f2NOT}$ [kN]	$M_{2acc}$ [Nm]
<b>ZTRS8PHQ10 (<math>F_{f2acc,max} = 124</math> kN)</b>															
24,00	ZTRS819SPHQ1042_0240 ME	1800	3000	$\leq 60$	1,06	70	—	341	8	19	161,3	65	124	240	10000
30,00	ZTRS819SPHQ1042_0300 ME	2000	3500	$\leq 60$	0,99	70	—	340	8	19	161,3	66	124	240	10000
42,00	ZTRS819SPHQ1042_0420 ME	2300	4000	$\leq 60$	0,80	70	—	339	8	19	161,3	66	124	240	10000
60,00	ZTRS819SPHQ1042_0600 ME	2500	4000	$\leq 60$	0,56	70	—	335	8	19	161,3	66	124	240	10000
96,00	ZTRS819SPHQ1043_0960 ME	2000	3500	$\leq 48$	0,31	70	—	340	8	19	161,3	66	124	240	10000
96,00	ZTRS819SPHQ1043_0960 MEL	2000	3500	$\leq 60$	0,31	70	—	340	8	19	161,3	66	124	240	10000
120,0	ZTRS819SPHQ1043_1200 ME	2000	3500	$\leq 48$	0,25	70	—	340	8	19	161,3	66	124	240	10000
120,0	ZTRS819SPHQ1043_1200 MEL	2000	3500	$\leq 60$	0,25	70	—	340	8	19	161,3	66	124	240	10000
150,0	ZTRS819SPHQ1043_1500 ME	2500	4000	$\leq 48$	0,23	70	—	340	8	19	161,3	66	124	240	10000
150,0	ZTRS819SPHQ1043_1500 MEL	2500	4000	$\leq 60$	0,23	70	—	340	8	19	161,3	66	124	240	10000
168,0	ZTRS819SPHQ1043_1680 ME	2800	4500	$\leq 48$	0,23	70	—	340	8	19	161,3	66	124	240	10000
168,0	ZTRS819SPHQ1043_1680 MEL	2800	4500	$\leq 60$	0,23	70	—	340	8	19	161,3	66	124	240	10000
210,0	ZTRS819SPHQ1043_2100 ME	2800	4500	$\leq 48$	0,18	70	—	340	8	19	161,3	66	124	240	10000
210,0	ZTRS819SPHQ1043_2100 MEL	2800	4500	$\leq 60$	0,18	70	—	340	8	19	161,3	66	124	240	10000
240,0	ZTRS819SPHQ1043_2400 ME	2800	4500	$\leq 48$	0,16	70	—	340	8	19	161,3	66	124	240	10000
240,0	ZTRS819SPHQ1043_2400 MEL	2800	4500	$\leq 60$	0,16	70	—	340	8	19	161,3	66	124	240	10000
300,0	ZTRS819SPHQ1043_3000 ME	2800	4500	$\leq 48$	0,13	70	—	340	8	19	161,3	66	124	240	10000
300,0	ZTRS819SPHQ1043_3000 MEL	2800	4500	$\leq 60$	0,13	70	—	340	8	19	161,3	66	124	240	10000
420,0	ZTRS819SPHQ1043_4200 ME	2800	4500	$\leq 48$	0,09	70	—	339	8	19	161,3	66	124	240	10000
420,0	ZTRS819SPHQ1043_4200 MEL	2800	4500	$\leq 60$	0,09	70	—	339	8	19	161,3	66	124	240	10000
600,0	ZTRS819SPHQ1043_6000 ME	2800	4500	$\leq 48$	0,06	70	—	335	8	19	161,3	66	124	240	10000
600,0	ZTRS819SPHQ1043_6000 MEL	2800	4500	$\leq 60$	0,06	70	—	335	8	19	161,3	66	124	240	10000

### 3.3 Esquemas de dimensiones

Este capítulo contiene la información sobre las dimensiones de los accionamientos de cremallera con adaptadores de motor.

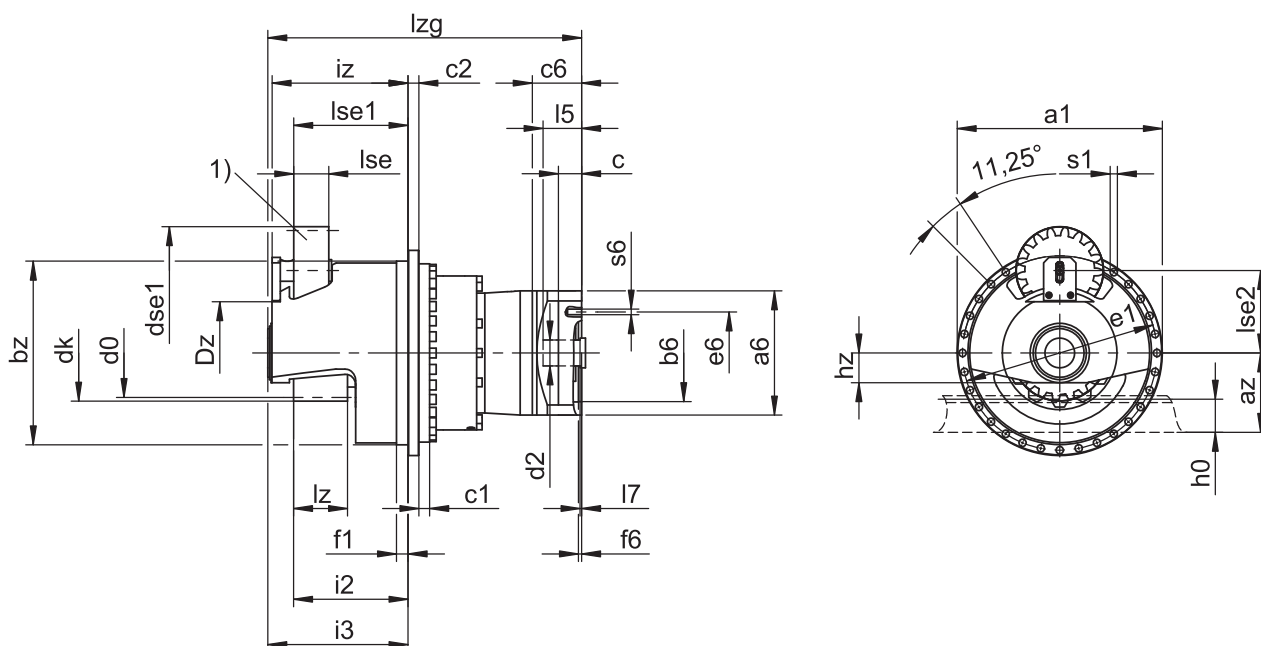
La medida az en las tablas de dimensiones es válida para cremalleras STOBER. En general se aplica lo siguiente:  $az = \frac{1}{2} d0 + h0 + x * mn$

Piñón del accionamiento de cremallera con dentado helicoidal (ascendente a la izquierda  $19^\circ 31' 42''$ ). La calidad del dentado del piñón es 5.

Las tolerancias de fundición o bien la suma de las tolerancias individuales pueden provocar que las medidas sobrepasen las especificaciones de ISO 2768-mK.

Nos reservamos el derecho de realizar cambios en las dimensiones en pro del desarrollo tecnológico.

Los modelos 3D de nuestros accionamientos estándar se pueden descargar en <https://configurator.stoeber.de/en-US/>.



1) Engranaje de fieltro para lubricación (opcional)

## Medidas salida

Modelo	mn	$\emptyset a1$	az	$\emptyset bz$	c1	c2	d0	dk	dse1	Dz	$\emptyset e1$	f1	i2	i3	iz	h0	hz	lz	lse	lse1	lse2	$\emptyset s1$	x
ZTRS819SPHQ10	8	380	151.64	340.7	20	20	161.28	177.3	160.0	110	360	21.5	212	260	251.9	71	55	100	65	211.7	152.8	13.5	0.00

#### Ejemplos de medidas de conexión del motor + longitud total

Modelo	$\varnothing b_6$	$\varnothing e_6$	$\varnothing d_{2\max}$	$l_5$	$\square a_6$	$c$	$c_6$	$f_6$	$l_7$	$l_{zg}$	$s_6$
ZTRS8_PHQ1042_ME	180 <sup>h7</sup>	215	60	85	230	43	91,5	6,0	10,5	581,5	M12
ZTRS8_PHQ1043_ME	180 <sup>h7</sup>	215	48	83	204	35	80,5	5,5	8,5	662,5	M12

La tabla de arriba contiene ejemplos de medidas de la conexión del motor para el adaptador de motor ME.

Tenga en cuenta que las medidas c6, l5 y lgz se alargan correspondientemente cuando se alarga la medida c.

Encontrará las medidas de conexión del motor para los adaptadores de motor ME y MEL en el STOBER Configurator en <https://configurator.stoeber.de/en-US/>. Allí podrá descargar directamente un modelo 3D de su accionamiento.

## 3.4 Denominación de tipo

Este capítulo contiene información sobre la denominación de tipo y las opciones pertinentes.

Los datos de pedido que no forman parte de la denominación de tipo se incluyen al final del capítulo.

### Código de ejemplo

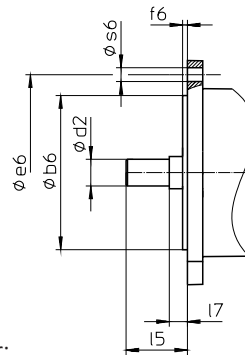
Z	TRS	8	19	S	PHQ	10	4	3	S	F	S	S	1680	ME
---	-----	---	----	---	-----	----	---	---	---	---	---	---	------	----

### Explicación

Código	Denominación	Versión
Z	Tipo	Accionamiento de cremallera
TRS	Versión	Piñón abridado atornillado con campana para cojinetes de apoyo
8	Módulo estándar	$m_n = 8 \text{ mm}$ (ejemplo)
19	Número de dientes	$z = 19$ (ejemplo)
S	Dentado	con dentado helicoidal (ascendente a la izquierda $19^\circ 31' 42''$ )
SF		con dentado helicoidal (ascendente a la izquierda $19^\circ 31' 42''$ )
		con engranaje de fieltro para lubricación
PHQ	Tipo	Reductor planetario
10	Tamaño	10 (Beispiel)
4	Generación	Generación 4
2	Etapas	2 etapas
3		3 etapas
S	Carcasa	Estándar
F	Eje	Eje con brida
S	Rodamiento	Apoyo estándar
S	Juego de giro	Estándar
1680	Número característico de reducción ( $i \times 10$ )	$i = 168$ (ejemplo)
ME	Adaptador de motor	Adaptador de motor con acoplamiento EasyAdapt
MEL		Adaptador de motor con acoplamiento EasyAdapt para motores grandes
MB <sup>1</sup>		Adaptador de motor ServoStop con freno

<sup>1</sup> Los detalles se encuentran en el catálogo de productos de reductores servo con freno ServoStop, ID 443234.

Para completar la denominación de tipo, indique también la siguiente información al hacer el pedido:



- Tipo de motor o dimensiones del motor:

Para elegir la conexión de motor adecuada, seleccione su motor o las dimensiones de la conexión del motor en el STOBER Configurator en  
<https://configurator.stoeber.de/en-US/>.

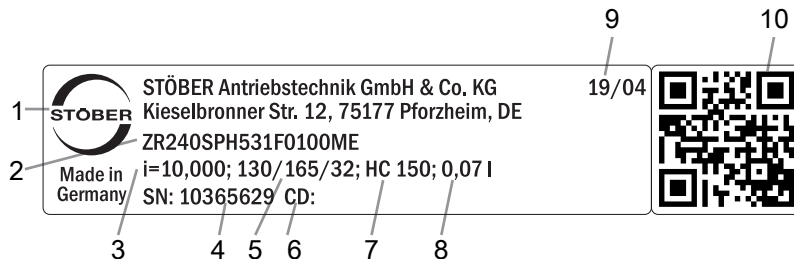
- Para la posición de montaje (reductores de 3 etapas), véase el capítulo [▶ 3.5.6]
  - Para la posición de la cremallera, véase el capítulo [▶ 3.5.7]
  - Para los retenes radiales para ejes de NBR o FKM en la salida (opcional), véase el capítulo [▶ 3.6.3]
  - Concentricidad  $\leq 10 \mu\text{m}$  (opcional)
  - Con modo de inversión del eje de salida de  $\pm 20^\circ$  hasta  $\pm 90^\circ$  y montaje horizontal, bajo petición
  - Sellado doble para adaptador de motor (opcional)
  - Llave de vaso para el montaje del motor en el reductor a través del adaptador de motor ME/MEL (opcional)

Este catálogo de productos incluye toda la información relacionada con los accionamientos de cremallera con adaptador de motor.

Encontrará todas las opciones de entrada disponibles bajo petición en el capítulo [3.5.1](#).

### 3.4.1 Placa de características

En la siguiente figura se explica a modo de ejemplo la placa de características de un reductor.



Código	Denominación
1	Denominación del fabricante
2	Denominación de tipo
3	Transmisión del reductor
4	Número de serie del reductor
5	Medida del adaptador de motor (diámetro del borde de ajuste/círculo de agujeros/eje del motor)
6	Datos específicos del cliente
7	Especificación del lubricante
8	Cantidad de llenado de lubricante
9	Fecha de fabricación (año/semana)
10	Código QR (enlace a la información de producto)

#### 3.4.1.1 Documentos aplicables

Puede ver o descargar los documentos aplicables para el producto introduciendo el número de serie que aparece en la placa de características del producto en la siguiente dirección de Internet:

<https://id.stober.com>

Alternativamente, con un dispositivo móvil adecuado puede escanear el código QR de la placa de características del producto y de este modo acceder a los documentos aplicables.

## 3.5 Descripción del producto

### 3.5.1 Opciones de entrada

Este capítulo incluye todas las opciones de entrada disponibles:

Adaptador de motor

Servomotor síncrono EZ

Entrada ortogonal K con  
adaptador de motor ME

Adaptador de motor MB



N.º de id. del catálogo de  
productos 443137\_es

N.º de id. del catálogo de  
productos 443286\_en

Bajo petición

Bajo petición

Puede encontrar los catálogos de productos correspondientes en <http://www.stoeber.de/es/downloads/>

Introduzca el n.º de id. del catálogo de productos en el campo Termine di ricercaérmino de búsqueda.

### 3.5.2 Adaptador de motor con acoplamiento EasyAdapt (ME/MEL)

Este capítulo contiene la descripción del acoplamiento EasyAdapt.

#### Propiedades:

- Montaje sencillo y rápido del motor
- Acoplamiento de compresión robusto de una sola pieza con función de expansión
- Momentos de inercia mínimos para el máximo dinamismo
- Equilibrado para un funcionamiento suave y sin vibraciones, incluso con un régimen de revoluciones elevado
- Amplia selección de diámetros y longitudes del eje del motor
- Sin fallos gracias al centrado exacto del motor
- Si el juego de giro es reducido, el alojamiento del eje del motor debe estar dispuesto axialmente sin holgura



*Fig. 1: Acoplamiento EasyAdapt*

### 3.5.3 Cremallera

La cremallera empleada debe tener dentado ascendente a la derecha ( $19^{\circ} 31' 42''$ ) y no debe superarse la capacidad de carga.

Cuando utilice una cremallera de STOBER, tenga en cuenta también la planificación de proyecto en el capítulo [▶ 13.6].

### 3.5.4 Condiciones de montaje

Los pares de giro y fuerzas indicados en este catálogo de productos son válidos en las siguientes condiciones:

- Si se utilizan tornillos de la clase de resistencia 12.9 para fijar la carcasa del reductor en el lado de la máquina.
- Si la carcasa del reductor se adapta en el borde de ajuste  $\phi b z$ . La adaptación en el lado de la máquina debe ser H7.

## 3.5.5 Lubricantes

STOBER carga los reductores con la cantidad y el tipo de lubricante que se indican en la placa de características. La cantidad de llenado y la estructura de los reductores dependen de la posición de montaje.

¡Los reductores únicamente se deben colocar en la posición de montaje para la cual están diseñados! Antes de reposicionar los reductores, es obligatorio consultar a STOBER. De lo contrario, STOBER no asumirá ninguna responsabilidad en relación con los reductores.

Lubricantes para el uso en la industria alimentaria disponibles bajo petición.

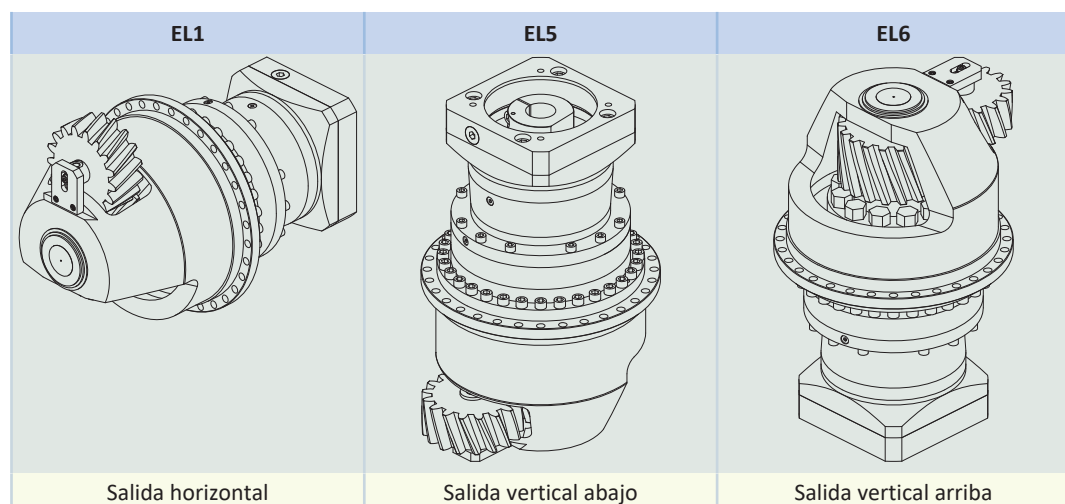
### 3.5.5.1 Lubricación del accionamiento de cremallera

Asegure una lubricación permanente con los lubricantes recomendados en el capítulo [▶ 13.5.1].

## 3.5.6 Posiciones de montaje

En la tabla siguiente se muestran las posiciones de montaje estándar.

Al realizar un pedido de reductores de 3 etapas se debe indicar la posición de montaje.



## 3.5.7 Posición del acceso al tornillo de apriete



El orificio de acceso al tornillo de apriete del acoplador del motor se encuentra en la versión estándar en la posición de 270°. Indique las diferencias correspondientes a su accionamiento de cremallera cuando realice el pedido.

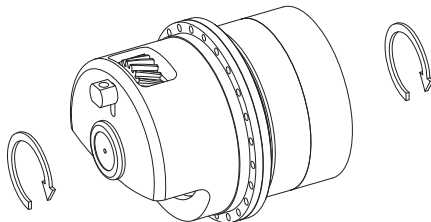
Tenga en cuenta que el orificio de acceso al tornillo de apriete del acoplador del motor también gira al girar la cremallera a otra posición.

### 3.5.8 Otras características del producto

Característica	Valor
Temperatura máx. admisible del reductor (en la superficie del reductor)	$\leq 90^{\circ}\text{C}$
Pintura	Negro RAL 9005
Directiva ATEX 2014/34/UE (opcional)	No adecuado.
Categoría de protección: <sup>2</sup>	
Reducer planetario	IP65
Piñón/Cremallera	IPXX

### 3.5.9 Sentido de giro

La entrada y la salida giran en la misma dirección.



## 3.6 Diseño

Utilice nuestro software de diseño SERVOsoft para proyectar sus accionamientos. Descargue SERVOsoft gratuitamente tras registrarse en <https://www.stoeber.de/es/servicios/informacion-servosoft/>.

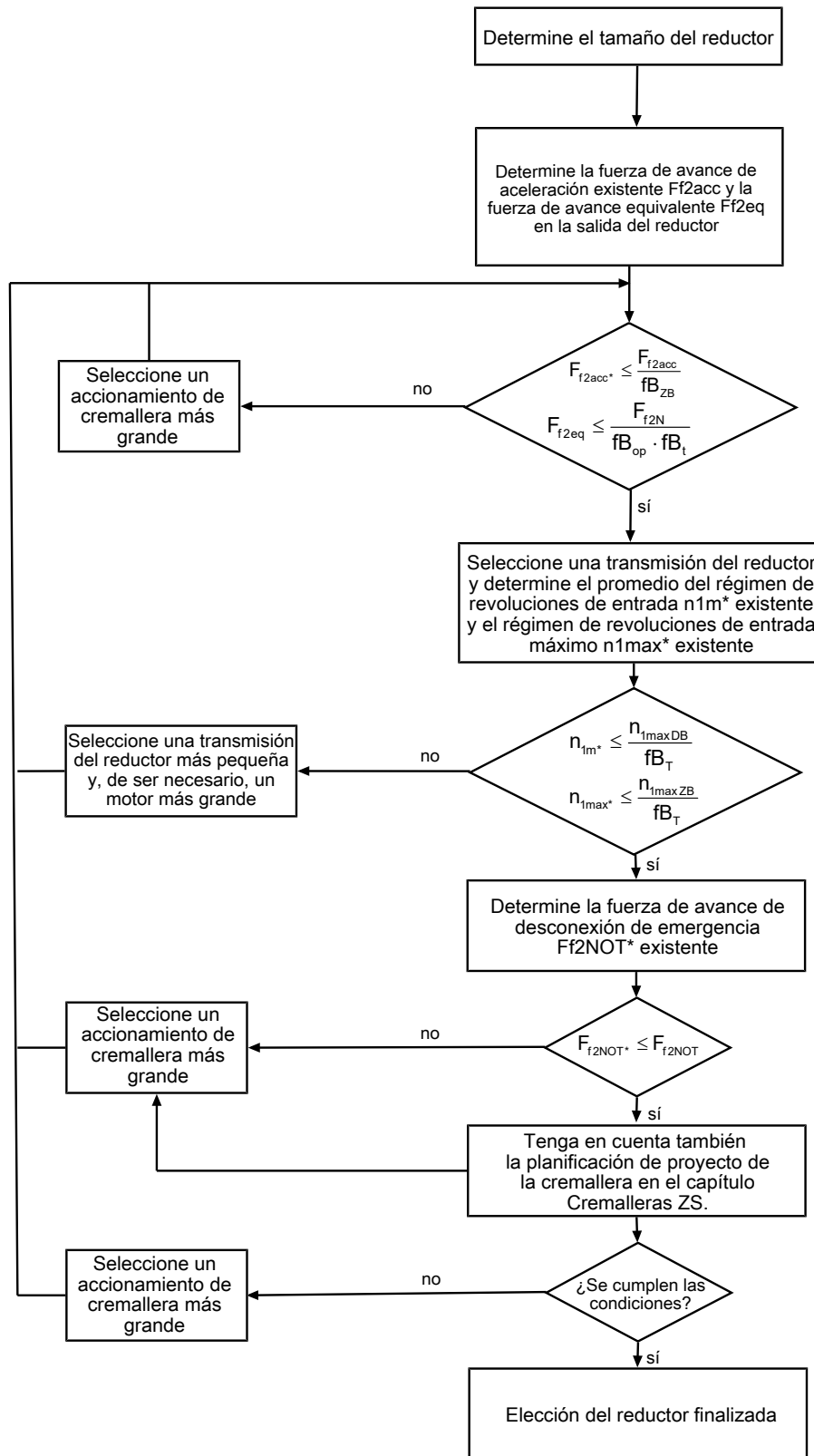
Este es el método más cómodo y seguro para seleccionar el accionamiento, ya que aquí se representa y evalúa la curva completa de par de giro-régimen de revoluciones de la aplicación en la curva característica del motorreductor.

En este capítulo solo se pueden tener en consideración valores límite para puntos de trabajo concretos si la elección del accionamiento se lleva a cabo manualmente.

Los símbolos de fórmula correspondientes a los valores que están realmente presentes en la aplicación están marcados con un asterisco \*.

Los símbolos de las fórmulas se explican en el capítulo [▶ 14.1].

### 3.6.1 Elección del accionamiento

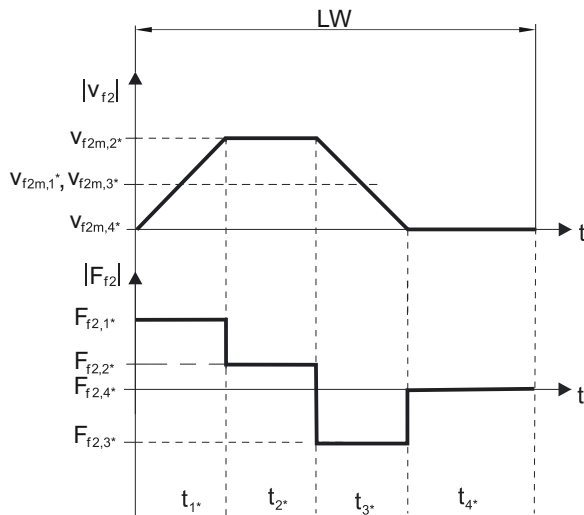


Consulte los valores para  $i$ ,  $n_{1maxDB}$ ,  $n_{1maxZB}$ ,  $F_{f2acc}$ ,  $F_{f2N}$  y  $F_{f2NOT}$  en las tablas de selección.

Consulte los valores para  $fB_T$ ,  $fB_{op}$ ,  $fB_t$  y  $fB_{ZB}$  en las tablas correspondientes de este capítulo.

### Ejemplo de servicio cíclico

Los siguientes cálculos se refieren a la representación de la potencia en la salida de acuerdo con el siguiente ejemplo:



### Cálculo de la fuerza de avance de aceleración máxima existente

$$F_{f2acc*} = m \cdot a \cdot F_L$$

### Cálculo del promedio del régimen de revoluciones de entrada existente

$$n_{fm*} = \frac{v_{f2m*} \cdot i}{d_0 \cdot \pi}$$

$$v_{f2m*} = \frac{|v_{f2m,1*}| \cdot t_{1*} + \dots + |v_{f2m,n*}| \cdot t_{n*}}{t_{1*} + \dots + t_{n*}}$$

Si  $t_{1*} + \dots + t_{3*} \geq 6$  min, determine  $v_{2m*}$  sin la pausa  $t_{4*}$ .

Consulte los valores para la transmisión del reductor i en las tablas de selección.

### Cálculo de la fuerza de avance de desconexión de emergencia existente

$$F_{f2NOT*} = m \cdot a_{NOT*} + F_L$$

### Cálculo de la fuerza de avance equivalente existente

$$F_{f2eq*} = \sqrt[3]{\frac{|v_{f2m,1*}| \cdot t_{1*} \cdot |F_{f2,1*}|^3 + \dots + |v_{f2m,n*}| \cdot t_{n*} \cdot |F_{f2,n*}|^3}{|v_{f2m,1*}| \cdot t_{1*} + \dots + |v_{f2m,n*}| \cdot t_{n*}}}$$

### Factores de servicio

Modo de servicio	$f_{B_{op}}$
Servicio continuo fijo	1,00
Servicio cíclico	1,00
Servicio cíclico con carga reversible	1,00

Tiempo de funcionamiento	$f_B$
Tiempo de funcionamiento diario $\leq 8$ h	1,00
Tiempo de funcionamiento diario $\leq 16$ h	1,15
Tiempo de funcionamiento diario $\leq 24$ h	1,20

Servicio cíclico	$f_{B_{ZB}}$
$\leq 1000$ cambios de carga/hora (LW/h)	1,00
$> 1000$ cambios de carga/hora (LW/h)	1,15

Temperatura		$f_{B_T}$
Refrigeración del motor	Temperatura ambiente	
Motor con ventilación externa	≤ 20 °C	0,9
	≤ 30 °C	1,0
	≤ 40 °C	1,15
Motor con refrigeración por convección	≤ 20 °C	1,0
	≤ 30 °C	1,1
	≤ 40 °C	1,25

**Indicaciones**

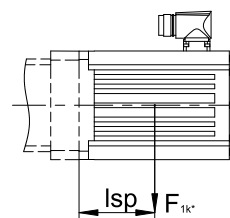
- No se debe exceder la temperatura máxima admisible del reductor (véase el capítulo Otras características del producto), ya que se podrían producir daños.
- En las situaciones de frenado con régimen de revoluciones máximo (p. ej., si se produce una caída de tensión o durante la instalación de la máquina), se deben tener en cuenta las fuerzas de avance admisibles del reductor ( $F_{f2acc}$ ,  $F_{f2NOT}$ ) que se indican en las tablas de selección.

### 3.6.2 Pares de vuelco admisibles en la entrada del reductor

Si va a montar el motor en posición horizontal, compruebe antes del montaje en un reductor STOBER que no se supere el par de vuelco admisible en la entrada del reductor. En este capítulo encontrará información al respecto.

Calcule el par de vuelco existente según sigue:

$$M_{1k*} = F_{1k*} \cdot l_{sp} \leq M_{1k}$$



Modelo	$M_{1k}$ [Nm]
PHQ431_ME	40
PHQ432_ME	20
PHQ531_ME	80
PHQ532_ME	40
PHQ731_ME	200
PHQ732_ME	80
PHQ733_ME	40
PHQ831_ME	400
PHQ832_ME	200
PHQ833_ME	80
PHQ942_ME	400
PHQ943_ME	200
PHQ1042_ME	800
PHQ1043_ME	400
PHQ1142_ME	1200
PHQ1143_ME	400
PHQ1242_ME	1800
PHQ1243_ME	800

Los valores también son válidos para los adaptadores de motor MEL y MF.

### 3.6.3 Retenes radiales para ejes recomendados

Para un tiempo de conexión > 60 % y temperaturas ambiente elevadas se recomiendan retenes radiales para ejes de FKM en la salida.

Propiedades:

- Excelente resistencia a la temperatura
- Gran estabilidad química
- Muy buena resistencia al envejecimiento
- Excelente resistencia en aceites y grasas
- Uso en las industrias alimentaria, farmacéutica y de bebidas

#### Seguridad contra fugas

Nuestros reductores están equipados con retenes radiales para ejes de alta calidad y verificados en cuanto a estanqueidad. Sin embargo, resulta imposible excluir por completo la posibilidad de que se produzca alguna fuga durante toda la vida útil de los reductores. Si utiliza los reductores con materiales no compatibles con los lubricantes, se deberán tomar medidas para impedir que puedan entrar en contacto directamente con el lubricante del reductor en caso de producirse una fuga.

## 3.7 Otros documentos

Encontrará más documentos relacionados con el producto en

<http://www.stoeber.de/es/downloads/>

Introduzca el n.º de id. de la documentación en el campo Termine di ricercaérmino de búsqueda.

Documentación	N.º de id.
Instrucciones de operación reductores, motorreductores PHQ43 – PHQ83, PHQ94 – PHQ124	443353_es
Instrucciones de operación cremalleras	443392_es

## **4 Accionamientos de cremallera ZTRSPHV**

### **Índice**

4.1	Vista general .....	48
4.2	Tablas de selección.....	49
4.3	Esquemas de dimensiones .....	50
4.4	Denominación de tipo.....	51
4.4.1	Placa de características .....	53
4.5	Descripción del producto .....	53
4.5.1	Opciones de entrada .....	53
4.5.2	Adaptador de motor con acoplamiento EasyAdapt (ME/MEL) .....	54
4.5.3	Cremallera .....	54
4.5.4	Condiciones de montaje.....	54
4.5.5	Lubricantes .....	54
4.5.6	Posición del acceso al tornillo de apriete .....	55
4.5.7	Otras características del producto .....	55
4.5.8	Sentido de giro .....	55
4.6	Diseño .....	56
4.6.1	Elección del accionamiento.....	57
4.6.2	Pares de vuelco admisibles en la entrada del reductor.....	59
4.6.3	Retenes radiales para ejes recomendados.....	59
4.7	Otros documentos .....	60



## 4

# Accionamientos de cremallera

# ZTRSPHV

## 4.1 Vista general

Reductores planetarios de precisión de alto rendimiento con campana para cojinete de apoyo

### Características

Densidad de potencia	★★★★★
Juego lineal	★★★★★☆
Categoría de precio	€€€€€
Suavidad de funcionamiento	★★★★★☆
Rigidez lineal	★★★★★
Momento de inercia	★★★★★☆
Solución de accionamiento lista para el montaje	✓
Piñón, calidad del dentado 5 (DIN 3962)	✓
Dentado helicoidal	✓
Templados y pulidos	✓
Concentricidad ≤ 10 µm (opcional)	✓

Leyenda ★★★★★ bueno | ★★★★★ excepcional  
€ Economy | €€€€€ Premium

### Características técnicas

$m_n$	5 – 8 mm
$z$	15 – 20
$F_{f2acc}$	67 – 77 kN
$V_{f2maxZB}$	0,21 – 0,49 m/s
$\Delta s$	15 – 56 µm

## 4.2 Tablas de selección

Los datos técnicos especificados en las tablas de selección son válidos para:

- Montaje sin tensiones
- Lubricación permanente con los lubricantes recomendados en el capítulo Cremalleras [► 13.5.1]
- Piñón templado, con dentado helicoidal (ascendente a la izquierda  $19^{\circ} 31' 42''$ ), calidad del dentado 5
- Alturas de instalación hasta 1000 m sobre el nivel del mar
- Temperaturas ambiente de 0 °C a 40 °C
- Sin tener en cuenta la potencia límite térmica

El resto de características técnicas se encuentran en <https://configurator.stoeber.de/en-US/>.

Los símbolos de las fórmulas se explican en el capítulo [► 14.1].

i	Modelo	$n_{1\max DB}$ [min $^{-1}$ ]	$n_{1\max ZB}$ [min $^{-1}$ ]	$d_{MW}$ [mm]	$v_{f2\max ZB}$ [m/s]	$\Delta s$ [μm]	$\Delta s_{red}$ [μm]	$C_{lin}$ [N/μm]	$m_n$ [mm]	z	$d_0$ [mm]	$F_{f2N}$ [kN]	$F_{f2acc}$ [kN]	$F_{f2NOT}$ [kN]	$M_{2acc}$ [Nm]
<b>ZTRS5PHV9 (<math>F_{f2acc,max} = 77</math> kN)</b>															
61,00	ZTRS520SPHV943_0610 ME	2500	4500	$\leq 38$	0,41	46	15	356	5	20	106,1	47	77	154	4075
61,00	ZTRS520SPHV943_0610 MEL	2500	4500	$\leq 48$	0,41	46	15	356	5	20	106,1	47	77	154	4075
91,00	ZTRS520SPHV943_0910 ME	2500	4500	$\leq 38$	0,28	46	15	355	5	20	106,1	47	77	154	4075
91,00	ZTRS520SPHV943_0910 MEL	2500	4500	$\leq 48$	0,28	46	15	355	5	20	106,1	47	77	154	4075
121,0	ZTRS520SPHV943_1210 ME	2500	4500	$\leq 38$	0,21	46	15	350	5	20	106,1	47	77	154	4075
121,0	ZTRS520SPHV943_1210 MEL	2500	4500	$\leq 48$	0,21	46	15	350	5	20	106,1	47	77	154	4075
<b>ZTRS6PHV9 (<math>F_{f2acc,max} = 67</math> kN)</b>															
61,00	ZTRS620SPHV943_0610 ME	2500	4500	$\leq 38$	0,49	56	19	322	6	20	127,3	39	67	141	4250
61,00	ZTRS620SPHV943_0610 MEL	2500	4500	$\leq 48$	0,49	56	19	322	6	20	127,3	39	67	141	4250
91,00	ZTRS620SPHV943_0910 ME	2500	4500	$\leq 38$	0,33	56	19	320	6	20	127,3	39	67	141	4250
91,00	ZTRS620SPHV943_0910 MEL	2500	4500	$\leq 48$	0,33	56	19	320	6	20	127,3	39	67	141	4250
121,0	ZTRS620SPHV943_1210 ME	2500	4500	$\leq 38$	0,25	56	19	314	6	20	127,3	39	67	141	4250
121,0	ZTRS620SPHV943_1210 MEL	2500	4500	$\leq 48$	0,25	56	19	314	6	20	127,3	39	67	141	4250
<b>ZTRS8PHV9 (<math>F_{f2acc,max} = 67</math> kN)</b>															
61,00	ZTRS815SPHV943_0610 ME	2500	4500	$\leq 38$	0,49	56	19	335	8	15	127,3	39	67	141	4250
61,00	ZTRS815SPHV943_0610 MEL	2500	4500	$\leq 48$	0,49	56	19	336	8	15	127,3	39	67	141	4250
91,00	ZTRS815SPHV943_0910 ME	2500	4500	$\leq 38$	0,33	56	19	334	8	15	127,3	39	67	141	4250
91,00	ZTRS815SPHV943_0910 MEL	2500	4500	$\leq 48$	0,33	56	19	334	8	15	127,3	39	67	141	4250
121,0	ZTRS815SPHV943_1210 ME	2500	4500	$\leq 38$	0,25	56	19	327	8	15	127,3	39	67	141	4250
121,0	ZTRS815SPHV943_1210 MEL	2500	4500	$\leq 48$	0,25	56	19	327	8	15	127,3	39	67	141	4250

## 4.3 Esquemas de dimensiones

Este capítulo contiene la información sobre las dimensiones de los accionamientos de cremallera con adaptadores de motor.

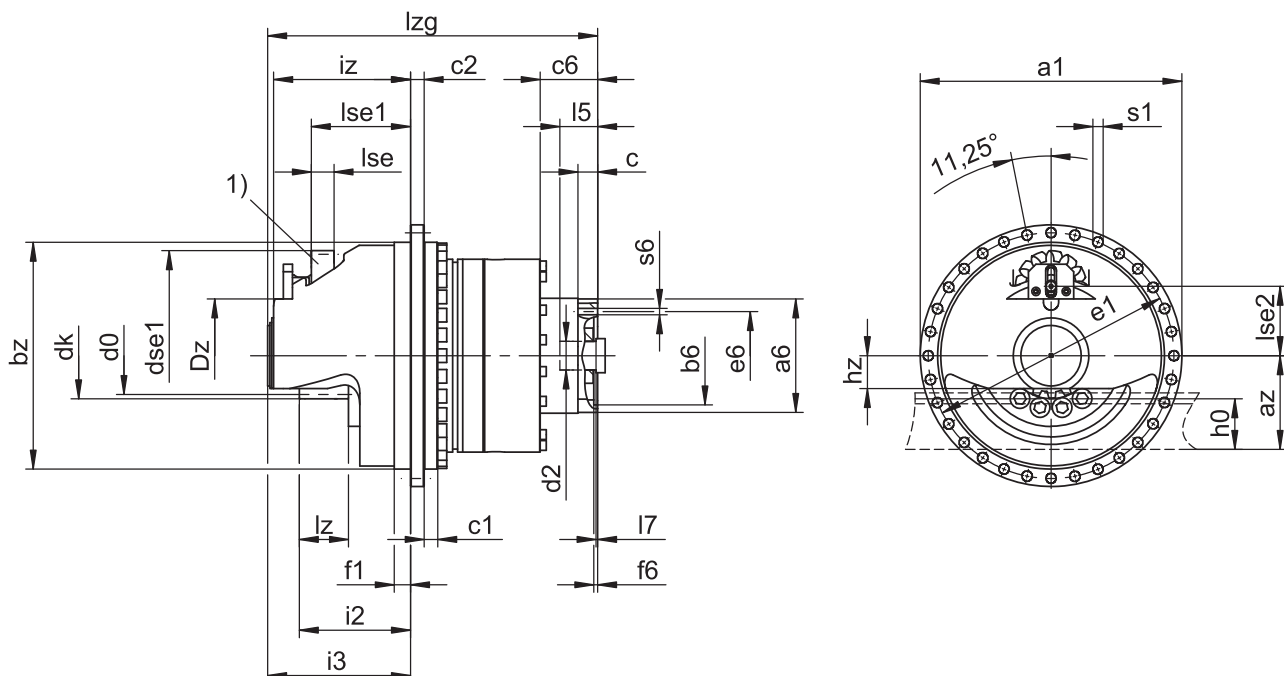
La medida  $az$  en las tablas de dimensiones es válida para cremalleras STOBER. En general se aplica lo siguiente:  $az = \frac{1}{2} d_0 + h_0 + x * m_n$

Piñón del accionamiento de cremallera con dentado helicoidal (ascendente a la izquierda  $19^{\circ} 31' 42''$ ). La calidad del dentado del piñón es 5.

Las tolerancias de fundición o bien la suma de las tolerancias individuales pueden provocar que las medidas sobrepasen las especificaciones de ISO 2768-mK.

Nos reservamos el derecho de realizar cambios en las dimensiones en pro del desarrollo tecnológico.

Los modelos 3D de nuestros accionamientos estándar se pueden descargar en <https://configurator.stoeber.de/en-US/>.



1) Engranaje de fielro para lubricación (opcional)

### Medidas salida

Modelo	$m_n$	$\varnothing a_1$	$az$	$\varnothing b_z$	$c_1$	$c_2$	$d_0$	$d_k$	$dse1$	$D_z$	$\varnothing e_1$	$f_1$	$i_2$	$i_3$	$i_z$	$h_0$	$h_z$	$l_z$	$l_{se}$	$l_{se1}$	$l_{se2}$	$\varnothing s_1$	$x$
ZTRS520SPHV9_	5	346	87,05	$300_{h7}$	18	18	106,10	116,1	78,6	100	325	21,5	137,0	179,0	171,0	34	45,0	55	30	131,1	87,1	13,5	0,0
ZTRS620SPHV9_	6	346	106,66	$300_{h7}$	18	18	127,32	139,3	94,2	100	325	21,5	147,0	189,0	181,0	43	43,5	65	30	131,1	104,8	13,5	0,0
ZTRS815SPHV9_	8	346	136,66	$300_{h7}$	18	18	127,32	147,3	160,0	110	325	21,5	162,0	204,7	196,5	71	55,0	80	65	162,0	137,7	13,5	0,3

### Ejemplos de medidas de conexión del motor + longitud total

Modelo	$\varnothing b_6$	$\varnothing e_6$	$\varnothing d_{2max}$	$l_5$	$\square a_6$	$c$	$c_6$	$f_6$	$l_7$	$l_{zg}$	$s_6$
ZTRS5_PHV9_ME	$130^{H7}$	165	38	61	150	26	66	5,5	4,5	425,0	M10
ZTRS6_PHV9_ME	$130^{H7}$	165	38	61	150	26	66	5,5	4,5	435,0	M10
ZTRS8_PHV9_ME	$130^{H7}$	165	38	61	150	26	66	5,5	4,5	450,7	M10

La tabla de arriba contiene ejemplos de medidas de la conexión del motor para el adaptador de motor ME.

Tenga en cuenta que las medidas  $c_6$ ,  $l_5$  y  $l_{zg}$  se alargan correspondientemente cuando se alarga la medida  $c$ .

Encontrará las medidas de conexión del motor para los adaptadores de motor ME y MEL en el STOBER Configurador en <https://configurator.stoeber.de/en-US/>. Allí podrá descargar directamente un modelo 3D de su accionamiento.

## 4.4 Denominación de tipo

Este capítulo contiene información sobre la denominación de tipo y las opciones pertinentes.

Los datos de pedido que no forman parte de la denominación de tipo se incluyen al final del capítulo.

### Código de ejemplo

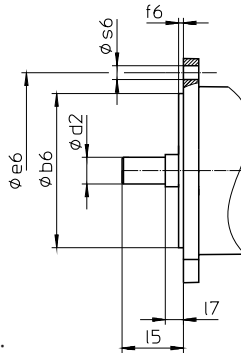
Z	TRS	6	20	S	PHV	9	4	3	S	F	S	S	0910	ME
---	-----	---	----	---	-----	---	---	---	---	---	---	---	------	----

### Explicación

Código	Denominación	Versión
Z	Tipo	Accionamiento de cremallera
TRS	Versión	Piñón abridado atornillado con campana para cojinetes de apoyo
6	Módulo estándar	$m_n = 6 \text{ mm}$ (ejemplo)
20	Número de dientes	$z = 20$ (ejemplo)
S	Dentado	con dentado helicoidal (ascendente a la izquierda $19^\circ 31' 42''$ )
SF		con dentado helicoidal (ascendente a la izquierda $19^\circ 31' 42''$ )
		con engranaje de fieltro para lubricación
PHV	Tipo	Reductor planetario
9	Tamaño	9 (ejemplo)
4	Generación	Generación 4
3	Etapas	3 etapas
S	Carcasa	Estándar
F	Eje	Eje con brida
S	Rodamiento	Apoyo estándar
S	Juego de giro	Estándar
R		Reducido (PHV9)
0910	Número característico de reducción ( $i \times 10$ )	$i = 91$ (ejemplo)
ME	Adaptador de motor	Adaptador de motor con acoplamiento EasyAdapt
MEL		Adaptador de motor con acoplamiento EasyAdapt para motores grandes
MB <sup>1</sup>		Adaptador de motor ServoStop con freno

<sup>1</sup> Los detalles se encuentran en el catálogo de productos de reductores servo con freno ServoStop, ID 443234.

Para completar la denominación de tipo, indique también la siguiente información al hacer el pedido:



- Tipo de motor o dimensiones del motor:

Para elegir la conexión de motor adecuada, seleccione su motor o las dimensiones de la conexión del motor en el STOBER Configurator en

<https://configurator.stoeber.de/en-US/>.

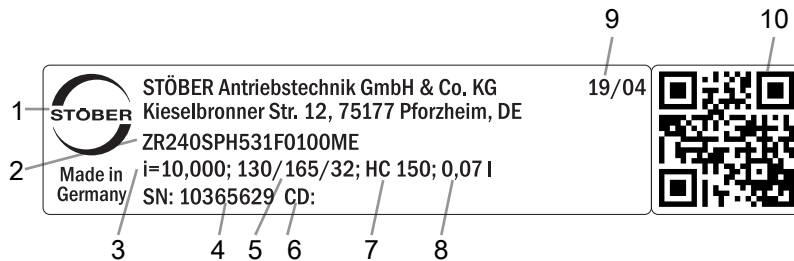
- Para la posición de la cremallera, véase el capítulo [▶ 4.5.6]
- Para los retenes radiales para ejes de NBR o FKM en la salida (opcional), véase el capítulo [▶ 4.6.3]
- Concentricidad  $\leq 10 \mu\text{m}$  (opcional)
- Con modo de inversión del eje de salida de  $\pm 20^\circ$  hasta  $\pm 90^\circ$  y montaje horizontal, bajo petición
- Sellado doble para adaptador de motor (opcional)
- Llave de vaso para el montaje del motor en el reductor a través del adaptador de motor ME/MEL (opcional)

Este catálogo de productos incluye toda la información relacionada con los accionamientos de cremallera con adaptador de motor.

Encontrará todas las opciones de entrada disponibles bajo petición en el capítulo [▶ 4.5.1].

## 4.4.1 Placa de características

En la siguiente figura se explica a modo de ejemplo la placa de características de un reductor.



Código	Denominación
1	Denominación del fabricante
2	Denominación de tipo
3	Transmisión del reductor
4	Número de serie del reductor
5	Medida del adaptador de motor (diámetro del borde de ajuste/círculo de agujeros/eje del motor)
6	Datos específicos del cliente
7	Especificación del lubricante
8	Cantidad de llenado de lubricante
9	Fecha de fabricación (año/semana)
10	Código QR (enlace a la información de producto)

### 4.4.1.1 Documentos aplicables

Puede ver o descargar los documentos aplicables para el producto introduciendo el número de serie que aparece en la placa de características del producto en la siguiente dirección de Internet:

<https://id.stober.com>

Alternativamente, con un dispositivo móvil adecuado puede escanear el código QR de la placa de características del producto y de este modo acceder a los documentos aplicables.

## 4.5 Descripción del producto

### 4.5.1 Opciones de entrada

Este capítulo incluye todas las opciones de entrada disponibles:

Adaptador de motor

Servomotor síncrono EZ



N.º de id. del catálogo de productos 443137\_es

N.º de id. del catálogo de productos 443286\_en

Puede encontrar los catálogos de productos correspondientes en <http://www.stoeber.de/es/downloads/>

Introduzca el n.º de id. del catálogo de productos en el campo Termine di ricercaérmino de búsqueda.

## 4.5.2 Adaptador de motor con acoplamiento EasyAdapt (ME/MEL)

Este capítulo contiene la descripción del acoplamiento EasyAdapt.

### Propiedades:

- Montaje sencillo y rápido del motor
- Acoplamiento de compresión robusto de una sola pieza con función de expansión
- Momentos de inercia mínimos para el máximo dinamismo
- Equilibrado para un funcionamiento suave y sin vibraciones, incluso con un régimen de revoluciones elevado
- Amplia selección de diámetros y longitudes del eje del motor
- Sin fallos gracias al centrado exacto del motor
- Si el juego de giro es reducido, el alojamiento del eje del motor debe estar dispuesto axialmente sin holgura



*Fig. 1: Acoplamiento EasyAdapt*

## 4.5.3 Cremallera

La cremallera empleada debe tener dentado ascendente a la derecha ( $19^{\circ} 31' 42''$ ) y no debe superarse la capacidad de carga.

Cuando utilice una cremallera de STOBER, tenga en cuenta también la planificación de proyecto en el capítulo [▶ 13.6].

## 4.5.4 Condiciones de montaje

Los pares de giro y fuerzas indicados en este catálogo de productos son válidos en las siguientes condiciones:

- Si se utilizan tornillos de la clase de resistencia 12.9 para fijar la carcasa del reductor en el lado de la máquina.
- Si la carcasa del reductor se adapta en el borde de ajuste  $\phi b z$ . La adaptación en el lado de la máquina debe ser H7.

## 4.5.5 Lubricantes

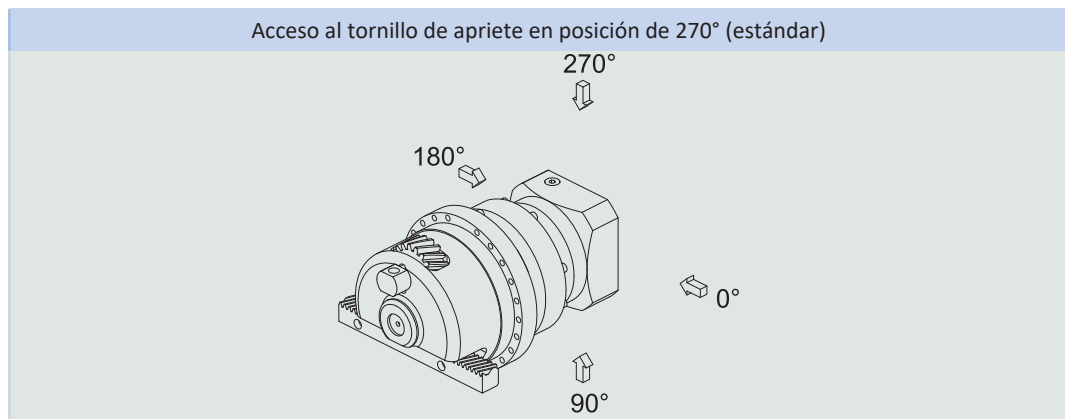
STOBER carga los reductores con la cantidad y el tipo de lubricante que se indican en la placa de características.

Lubricantes para el uso en la industria alimentaria disponibles bajo petición.

### 4.5.5.1 Lubricación del accionamiento de cremallera

Asegure una lubricación permanente con los lubricantes recomendados en el capítulo [▶ 13.5.1].

## 4.5.6 Posición del acceso al tornillo de apriete



El orificio de acceso al tornillo de apriete del acoplador del motor se encuentra en la versión estándar en la posición de 270°. Indique las diferencias correspondientes a su accionamiento de cremallera cuando realice el pedido.

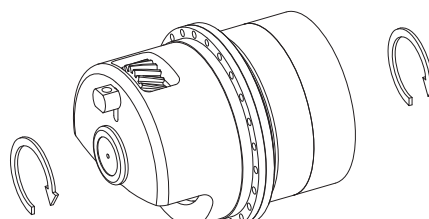
Tenga en cuenta que el orificio de acceso al tornillo de apriete del acoplador del motor también gira al girar la cremallera a otra posición.

## 4.5.7 Otras características del producto

Característica	Valor
Temperatura máx. admisible del reductor (en la superficie del reductor)	≤ 90 °C
Pintura	Negro RAL 9005
Directiva ATEX 2014/34/UE (opcional)	No adecuado.
Categoría de protección: <sup>2</sup>	
Reductor planetario	IP65
Piñón/Cremallera	IPXX

## 4.5.8 Sentido de giro

La entrada y la salida giran en la misma dirección.



<sup>2</sup> tenga en cuenta la categoría de protección de todos los componentes.

## 4.6 Diseño

Utilice nuestro software de diseño SERVOsoft para proyectar sus accionamientos. Descargue SERVOsoft gratuitamente tras registrarse en <https://www.stoeber.de/es/servicios/informacion-servosoft/>.

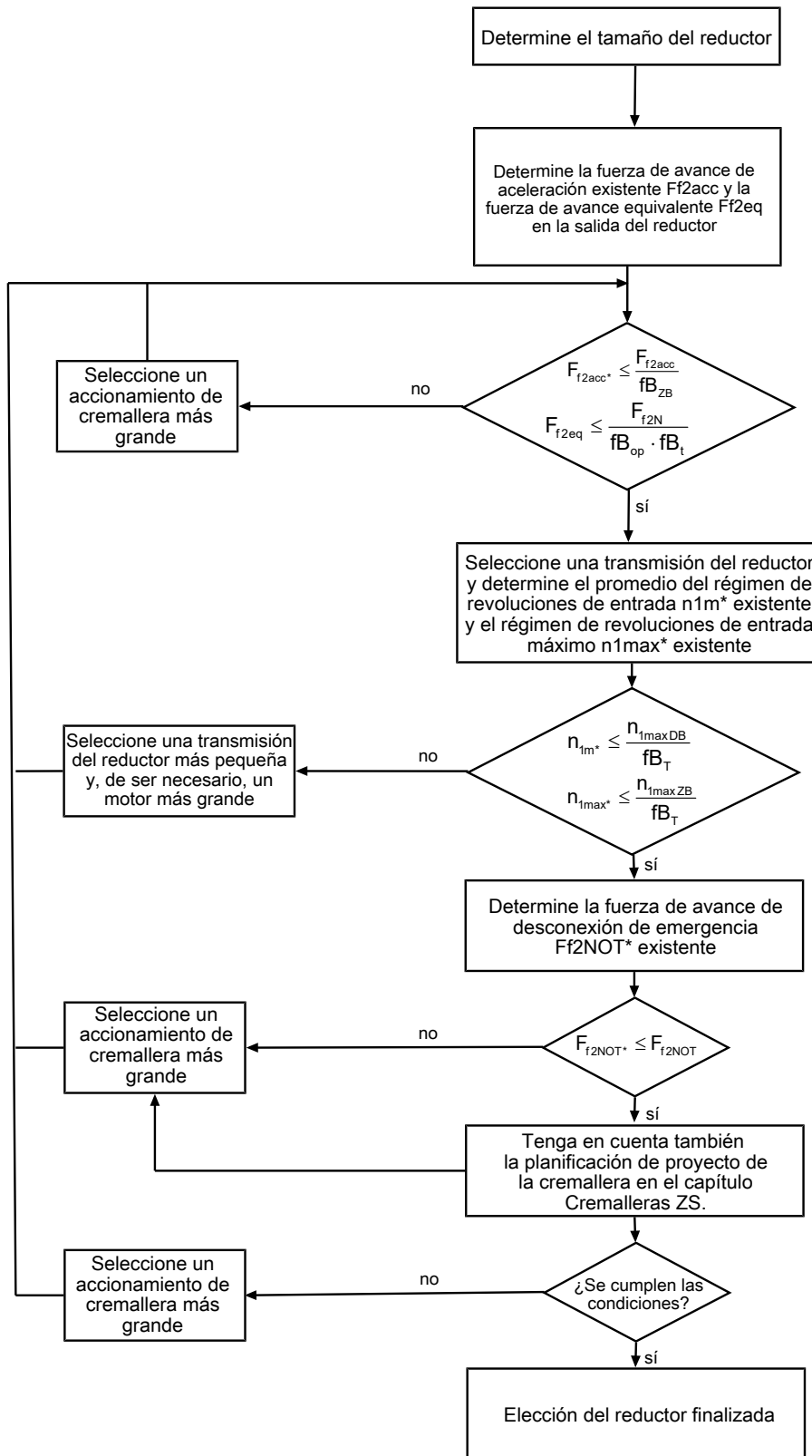
Este es el método más cómodo y seguro para seleccionar el accionamiento, ya que aquí se representa y evalúa la curva completa de par de giro-régimen de revoluciones de la aplicación en la curva característica del motorreductor.

En este capítulo solo se pueden tener en consideración valores límite para puntos de trabajo concretos si la elección del accionamiento se lleva a cabo manualmente.

Los símbolos de fórmula correspondientes a los valores que están realmente presentes en la aplicación están marcados con un asterisco \*.

Los símbolos de las fórmulas se explican en el capítulo [▶ 14.1].

## 4.6.1 Elección del accionamiento

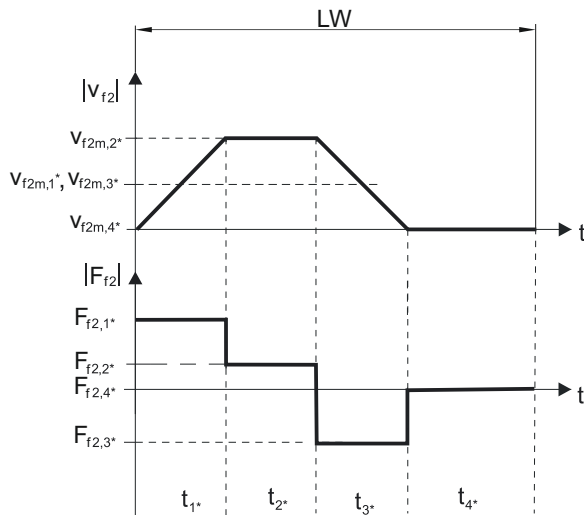


Consulte los valores para  $i$ ,  $n_{1maxDB}$ ,  $n_{1maxZB}$ ,  $F_{f2acc}$ ,  $F_{f2N}$  y  $F_{f2NOT}$  en las tablas de selección.

Consulte los valores para  $fB_T$ ,  $fB_{op}$ ,  $fB_t$  y  $fB_{ZB}$  en las tablas correspondientes de este capítulo.

### Ejemplo de servicio cíclico

Los siguientes cálculos se refieren a la representación de la potencia en la salida de acuerdo con el siguiente ejemplo:



### Cálculo de la fuerza de avance de aceleración máxima existente

$$F_{f2acc*} = m \cdot a \cdot F_L$$

### Cálculo del promedio del régimen de revoluciones de entrada existente

$$n_{fm*} = \frac{v_{f2m*} \cdot i}{d_0 \cdot \pi}$$

$$v_{f2m*} = \frac{|v_{f2m,1*}| \cdot t_{1*} + \dots + |v_{f2m,n*}| \cdot t_{n*}}{t_{1*} + \dots + t_{n*}}$$

Si  $t_{1*} + \dots + t_{3*} \geq 6$  min, determine  $v_{2m*}$  sin la pausa  $t_{4*}$ .

Consulte los valores para la transmisión del reductor i en las tablas de selección.

### Cálculo de la fuerza de avance de desconexión de emergencia existente

$$F_{f2NOT*} = m \cdot a_{NOT*} + F_L$$

### Cálculo de la fuerza de avance equivalente existente

$$F_{f2eq*} = \sqrt[3]{\frac{|v_{f2m,1*}| \cdot t_{1*} \cdot |F_{f2,1*}|^3 + \dots + |v_{f2m,n*}| \cdot t_{n*} \cdot |F_{f2,n*}|^3}{|v_{f2m,1*}| \cdot t_{1*} + \dots + |v_{f2m,n*}| \cdot t_{n*}}}$$

### Factores de servicio

Modo de servicio	$f_{B_{op}}$
Servicio continuo fijo	1,00
Servicio cíclico	1,00
Servicio cíclico con carga reversible	1,00

Tiempo de funcionamiento	$f_B$
Tiempo de funcionamiento diario $\leq 8$ h	1,00
Tiempo de funcionamiento diario $\leq 16$ h	1,15
Tiempo de funcionamiento diario $\leq 24$ h	1,20

Servicio cíclico	$f_{B_{ZB}}$
$\leq 1000$ cambios de carga/hora (LW/h)	1,00
$> 1000$ cambios de carga/hora (LW/h)	1,15

Temperatura		$f_{B_T}$
Refrigeración del motor	Temperatura ambiente	
Motor con ventilación externa	≤ 20 °C	0,9
	≤ 30 °C	1,0
	≤ 40 °C	1,15
Motor con refrigeración por convección	≤ 20 °C	1,0
	≤ 30 °C	1,1
	≤ 40 °C	1,25

#### Indicaciones

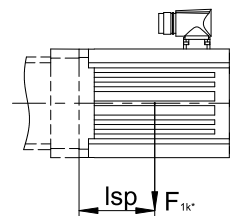
- No se debe exceder la temperatura máxima admisible del reductor (véase el capítulo Otras características del producto), ya que se podrían producir daños.
- En las situaciones de frenado con régimen de revoluciones máximo (p. ej., si se produce una caída de tensión o durante la instalación de la máquina), se deben tener en cuenta las fuerzas de avance admisibles del reductor ( $F_{f2acc}$ ,  $F_{f2NOT}$ ) que se indican en las tablas de selección.

## 4.6.2 Pares de vuelco admisibles en la entrada del reductor

Si va a montar el motor en posición horizontal, compruebe antes del montaje en un reductor STOBER que no se supere el par de vuelco admisible en la entrada del reductor. En este capítulo encontrará información al respecto.

Calcule el par de vuelco existente según sigue:

$$M_{1k*} = F_{1k*} \cdot l_{sp} \leq M_{1k}$$



Modelo	$M_{1k}$ [Nm]
PHV943_ME	200
PHV1043_ME	400

Los valores también son válidos para el adaptador de motor MEL.

## 4.6.3 Retenes radiales para ejes recomendados

Para un tiempo de conexión > 60 % y temperaturas ambiente elevadas se recomiendan retenes radiales para ejes de FKM en la salida.

Propiedades:

- Excelente resistencia a la temperatura
- Gran estabilidad química
- Muy buena resistencia al envejecimiento
- Excelente resistencia en aceites y grasas
- Uso en las industrias alimentaria, farmacéutica y de bebidas

#### Seguridad contra fugas

Nuestros reductores están equipados con retenes radiales para ejes de alta calidad y verificados en cuanto a estanqueidad. Sin embargo, resulta imposible excluir por completo la posibilidad de que se produzca alguna fuga durante toda la vida útil de los reductores. Si utiliza los reductores con materiales no compatibles con los lubricantes, se deberán tomar medidas para impedir que puedan entrar en contacto directamente con el lubricante del reductor en caso de producirse una fuga.

## 4.7 Otros documentos

Encontrará más documentos relacionados con el producto en

<http://www.stoeber.de/es/downloads/>

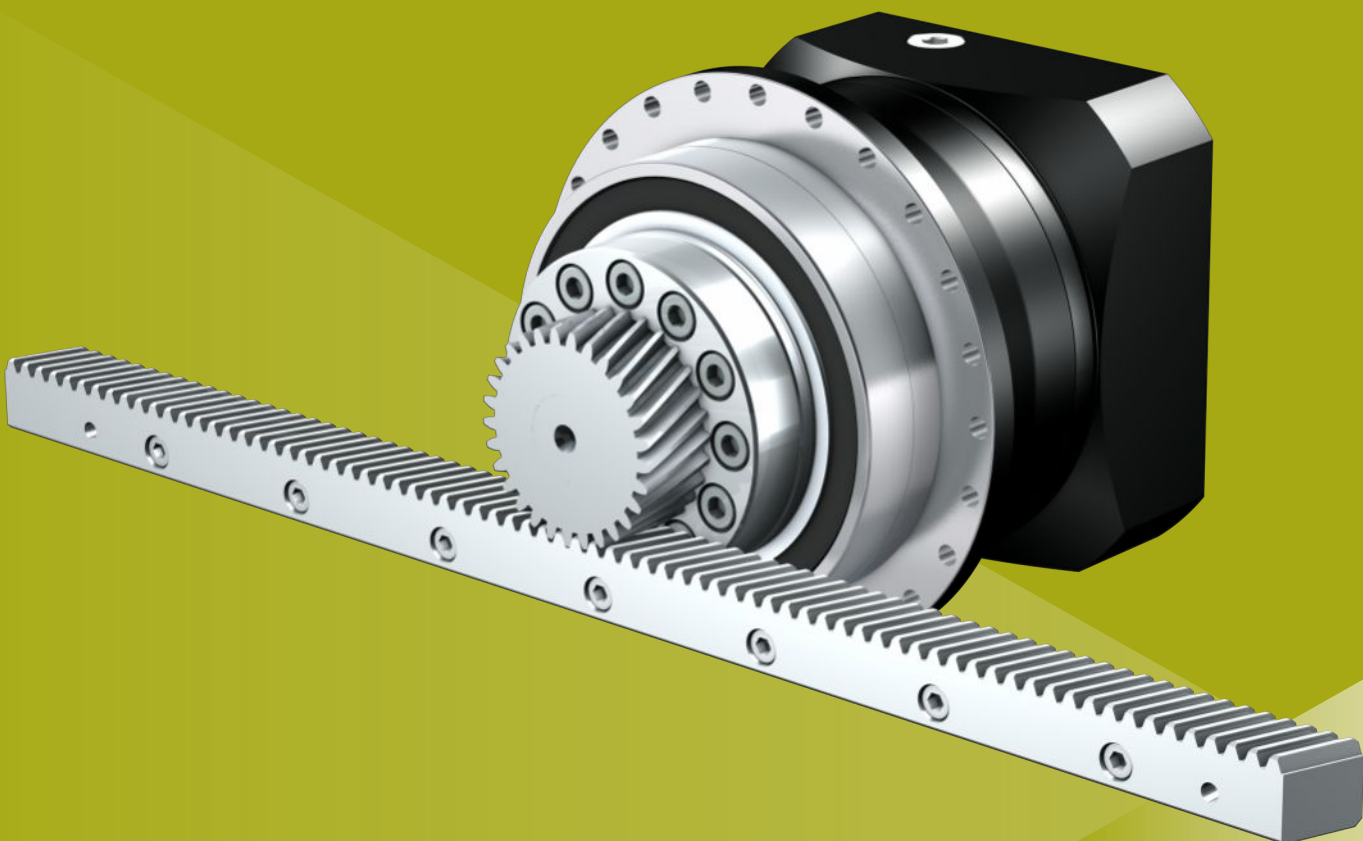
Introduzca el n.º de id. de la documentación en el campo Termine di ricercaérmino de búsqueda.

Documentación	N.º de id.
Instrucciones de operación reductores, motorreductores PHV94 – PHV104	443355_es
Instrucciones de operación cremalleras	443392_es

## **5 Accionamientos de cremallera ZTRPH**

### **Índice**

5.1	Vista general .....	62
5.2	Tablas de selección.....	63
5.3	Esquemas de dimensiones .....	70
5.4	Denominación de tipo.....	72
5.4.1	Placa de características .....	73
5.5	Descripción del producto .....	73
5.5.1	Opciones de entrada .....	73
5.5.2	Adaptador de motor con acoplamiento EasyAdapt (ME/MEL) .....	74
5.5.3	Adaptador de motor con acoplamiento FlexiAdapt (MF) .....	74
5.5.4	Cremallera .....	75
5.5.5	Condiciones de montaje.....	75
5.5.6	Lubricantes.....	75
5.5.7	Otras características del producto .....	75
5.5.8	Sentido de giro .....	75
5.6	Diseño .....	75
5.6.1	Elección del accionamiento.....	76
5.6.2	Pares de vuelco admisibles en la entrada del reductor.....	78
5.6.3	Retenes radiales para ejes recomendados.....	78
5.7	Otros documentos .....	79



## 5

# Accionamientos de cremallera

**ZTRPH**

## 5.1 Vista general

Reductores planetarios de precisión de alto rendimiento con piñón abridado atornillado

### Características

Densidad de potencia	★★★★★
Juego lineal	★★★★★
Categoría de precio	\$\$\$\$
Suavidad de funcionamiento	★★★★★
Rigidez lineal	★★★★★
Momento de inercia	★★★★★
Solución de accionamiento lista para el montaje	✓
Piñón, calidad del dentado 5 (DIN 3962)	✓
Dentado helicoidal	✓
Templados y pulidos	✓
Concentricidad ≤ 10 µm (opcional)	✓
Rodamiento de salida reforzado (PH3 – PH5)	✓ (opcional)

Leyenda ★★★★★ bueno | ★★★★★ excepcional

€ Economy | \$\$\$ Premium

### Características técnicas

$m_n$	2 – 6 mm
$z$	12 – 32
$F_{f2acc}$	6,5 – 67 kN
$v_{f2maxZB}$	0,11 – 4,7 m/s
$\Delta s$	4 – 44 µm

## 5.2 Tablas de selección

Los datos técnicos especificados en las tablas de selección son válidos para:

- Montaje sin tensiones
- Lubricación permanente con los lubricantes recomendados en el capítulo Cremalleras [▶ 13.5.1]
- Piñón templado, con dentado helicoidal (ascendente a la izquierda  $19^{\circ} 31' 42''$ ), calidad del dentado 5
- Alturas de instalación hasta 1000 m sobre el nivel del mar
- Temperaturas ambiente de 0 °C a 40 °C
- Sin tener en cuenta la potencia límite térmica

Posibilidad de fuerzas de avance mayores para accionamientos de cremallera con juego de giro reducido o con apoyo reforzado (PH3 – PH5). Todos los datos técnicos pueden encontrarse en <https://configurator.sto-eber.de/en-US/>.

Los símbolos de las fórmulas se explican en el capítulo [▶ 14.1].

i	Modelo	$n_{1\max DB}$ [min <sup>-1</sup> ]	$n_{1\max ZB}$ [min <sup>-1</sup> ]	$d_{MW}$ [mm]	$v_{f2\max ZB}$ [m/s]	$\Delta s$ [μm]	$\Delta s_{red}$ [μm]	$C_{lin}$ [N/μm]	$m_n$ [mm]	z	$d_0$ [mm]	$F_{f2N}$ [kN]	$F_{f2acc}$ [kN]	$F_{f2NOT}$ [kN]	$M_{2acc}$ [Nm]
<b>ZTR2PH4 (<math>F_{f2acc,max} = 6,7</math> kN)</b>															
4,000	ZTR212SPH431_0040 ME	2600	5000	$\leq 24$	1,67	11	4	98	2	12	25,5	2,3	6,7	11	85
4,000	ZTR212SPH431_0040 MEL	2600	5000	$\leq 32$	1,67	11	4	98	2	12	25,5	2,3	6,7	11	85
4,000	ZTR216SPH431_0040 ME	2600	5000	$\leq 24$	2,22	15	5	93	2	16	34,0	2,3	6,7	9,2	114
4,000	ZTR216SPH431_0040 MEL	2600	5000	$\leq 32$	2,22	15	5	93	2	16	34,0	2,3	6,7	9,2	114
5,000	ZTR212SPH431_0050 ME	3000	6000	$\leq 24$	1,60	11	4	98	2	12	25,5	2,4	6,7	11	85
5,000	ZTR212SPH431_0050 MEL	3000	6000	$\leq 32$	1,60	11	4	98	2	12	25,5	2,4	6,7	11	85
5,000	ZTR216SPH431_0050 ME	3000	6000	$\leq 24$	2,13	15	5	92	2	16	34,0	2,4	6,7	9,2	114
5,000	ZTR216SPH431_0050 MEL	3000	6000	$\leq 32$	2,13	15	5	92	2	16	34,0	2,4	6,7	9,2	114
7,000	ZTR212SPH431_0070 ME	3200	6000	$\leq 24$	1,14	11	4	96	2	12	25,5	2,7	6,7	11	85
7,000	ZTR212SPH431_0070 MEL	3200	6000	$\leq 32$	1,14	11	4	96	2	12	25,5	2,7	6,7	11	85
7,000	ZTR216SPH431_0070 ME	3200	6000	$\leq 24$	1,52	15	5	89	2	16	34,0	2,7	6,7	9,2	114
7,000	ZTR216SPH431_0070 MEL	3200	6000	$\leq 32$	1,52	15	5	89	2	16	34,0	2,7	6,7	9,2	114
10,00	ZTR212SPH431_0100 ME	3500	7000	$\leq 24$	0,93	11	4	90	2	12	25,5	3,1	6,7	11	85
10,00	ZTR212SPH431_0100 MEL	3500	7000	$\leq 32$	0,93	11	4	90	2	12	25,5	3,1	6,7	11	85
10,00	ZTR216SPH431_0100 ME	3500	7000	$\leq 24$	1,24	15	5	81	2	16	34,0	3,1	6,7	9,2	114
10,00	ZTR216SPH431_0100 MEL	3500	7000	$\leq 32$	1,24	15	5	81	2	16	34,0	3,1	6,7	9,2	114
16,00	ZTR212SPH432_0160 ME	4000	8000	$\leq 19$	0,67	11	4	96	2	12	25,5	3,6	6,7	11	85
16,00	ZTR212SPH432_0160 MEL	4000	8000	$\leq 24$	0,67	11	4	96	2	12	25,5	3,6	6,7	11	85
16,00	ZTR216SPH432_0160 ME	4000	8000	$\leq 19$	0,89	15	5	89	2	16	34,0	3,6	6,7	9,2	114
16,00	ZTR216SPH432_0160 MEL	4000	8000	$\leq 24$	0,89	15	5	89	2	16	34,0	3,6	6,7	9,2	114
20,00	ZTR212SPH432_0200 ME	4000	8000	$\leq 19$	0,53	11	4	96	2	12	25,5	3,9	6,7	11	85
20,00	ZTR212SPH432_0200 MEL	4000	8000	$\leq 24$	0,53	11	4	96	2	12	25,5	3,9	6,7	11	85
20,00	ZTR216SPH432_0200 ME	4000	8000	$\leq 19$	0,71	15	5	90	2	16	34,0	3,9	6,7	9,2	114
20,00	ZTR216SPH432_0200 MEL	4000	8000	$\leq 24$	0,71	15	5	90	2	16	34,0	3,9	6,7	9,2	114
25,00	ZTR212SPH432_0250 ME	4500	8000	$\leq 19$	0,43	11	4	97	2	12	25,5	4,2	6,7	11	85
25,00	ZTR212SPH432_0250 MEL	4500	8000	$\leq 24$	0,43	11	4	97	2	12	25,5	4,2	6,7	11	85
25,00	ZTR216SPH432_0250 ME	4500	8000	$\leq 19$	0,57	15	5	91	2	16	34,0	4,2	6,7	9,2	114
25,00	ZTR216SPH432_0250 MEL	4500	8000	$\leq 24$	0,57	15	5	91	2	16	34,0	4,2	6,7	9,2	114
28,00	ZTR212SPH432_0280 ME	4500	8000	$\leq 19$	0,38	11	4	96	2	12	25,5	4,2	6,7	11	85
28,00	ZTR212SPH432_0280 MEL	4500	8000	$\leq 24$	0,38	11	4	96	2	12	25,5	4,2	6,7	11	85
28,00	ZTR216SPH432_0280 ME	4500	8000	$\leq 19$	0,51	15	5	90	2	16	34,0	4,2	6,7	9,2	114
28,00	ZTR216SPH432_0280 MEL	4500	8000	$\leq 24$	0,51	15	5	90	2	16	34,0	4,2	6,7	9,2	114
35,00	ZTR212SPH432_0350 ME	4500	8000	$\leq 19$	0,31	11	4	97	2	12	25,5	4,2	6,7	11	85
35,00	ZTR212SPH432_0350 MEL	4500	8000	$\leq 24$	0,31	11	4	97	2	12	25,5	4,2	6,7	11	85
35,00	ZTR216SPH432_0350 ME	4500	8000	$\leq 19$	0,41	15	5	90	2	16	34,0	4,2	6,7	9,2	114
35,00	ZTR216SPH432_0350 MEL	4500	8000	$\leq 24$	0,41	15	5	90	2	16	34,0	4,2	6,7	9,2	114
40,00	ZTR212SPH432_0400 ME	4500	8000	$\leq 19$	0,27	11	4	96	2	12	25,5	4,2	6,7	11	85
40,00	ZTR212SPH432_0400 MEL	4500	8000	$\leq 24$	0,27	11	4	96	2	12	25,5	4,2	6,7	11	85
40,00	ZTR216SPH432_0400 ME	4500	8000	$\leq 19$	0,36	15	5	89	2	16	34,0	4,2	6,7	9,2	114
40,00	ZTR216SPH432_0400 MEL	4500	8000	$\leq 24$	0,36	15	5	89	2	16	34,0	4,2	6,7	9,2	114
50,00	ZTR212SPH432_0500 ME	4500	8000	$\leq 19$	0,21	11	4	96	2	12	25,5	4,2	6,7	11	85
50,00	ZTR212SPH432_0500 MEL	4500	8000	$\leq 24$	0,21	11	4	96	2	12	25,5	4,2	6,7	11	85
50,00	ZTR216SPH432_0500 ME	4500	8000	$\leq 19$	0,28	15	5	90	2	16	34,0	4,2	6,7	9,2	114
50,00	ZTR216SPH432_0500 MEL	4500	8000	$\leq 24$	0,28	15	5	90	2	16	34,0	4,2	6,7	9,2	114
70,00	ZTR212SPH432_0700 ME	4500	8000	$\leq 19$	0,15	11	4	94	2	12	25,5	4,2	6,7	11	85
70,00	ZTR212SPH432_0700 MEL	4500	8000	$\leq 24$	0,15	11	4	94	2	12	25,5	4,2	6,7	11	85
70,00	ZTR216SPH432_0700 ME	4500	8000	$\leq 19$	0,20	15	5	87	2	16	34,0	4,2	6,7	9,2	114
70,00	ZTR216SPH432_0700 MEL	4500	8000	$\leq 24$	0,20	15	5	87	2	16	34,0	4,2	6,7	9,2	114
100,0	ZTR212SPH432_1000 ME	4500	8000	$\leq 19$	0,11	11	4	89	2	12	25,5	4,2	6,7	11	85
100,0	ZTR212SPH432_1000 MEL	4500	8000	$\leq 24$	0,11	11	4	89	2	12	25,5	4,2	6,7	11	85

i	Modelo	$n_{1\max DB}$ [min <sup>-1</sup> ]	$n_{1\max ZB}$ [min <sup>-1</sup> ]	$d_{MW}$ [mm]	$v_{f2\max ZB}$ [m/s]	$\Delta s$ [μm]	$\Delta s_{red}$ [μm]	$C_{lin}$ [N/μm]	$m_n$ [mm]	z	$d_0$ [mm]	$F_{f2N}$ [kN]	$F_{f2acc}$ [kN]	$F_{f2NOT}$ [kN]	$M_{2acc}$ [Nm]
<b>ZTR2PH4 (<math>F_{f2acc,max} = 6,7</math> kN)</b>															
100,0	ZTR216SPH432_1000 ME	4500	8000	≤19	0,14	15	5	79	2	16	34,0	4,2	6,5	9,2	110
100,0	ZTR216SPH432_1000 MEL	4500	8000	≤24	0,14	15	5	79	2	16	34,0	4,2	6,5	9,2	110
<b>ZTR2PH5 (<math>F_{f2acc,max} = 11</math> kN)</b>															
4,000	ZTR219SPH531_0040 ME	2200	5000	≤32	2,64	18	6	94	2	19	40,3	3,3	10	15	210
4,000	ZTR219SPH531_0040 MEL	2200	5000	≤38	2,64	18	6	94	2	19	40,3	3,3	10	15	210
4,000	ZTR223SPH531_0040 ME	2200	5000	≤32	3,19	21	7	91	2	23	48,8	3,3	11	14	259
4,000	ZTR223SPH531_0040 MEL	2200	5000	≤38	3,19	21	7	91	2	23	48,8	3,3	11	14	259
5,000	ZTR219SPH531_0050 ME	2500	5500	≤32	2,32	18	6	94	2	19	40,3	3,6	10	15	210
5,000	ZTR219SPH531_0050 MEL	2500	5500	≤38	2,32	18	6	94	2	19	40,3	3,6	10	15	210
5,000	ZTR223SPH531_0050 ME	2500	5500	≤32	2,81	21	7	91	2	23	48,8	3,6	11	14	259
5,000	ZTR223SPH531_0050 MEL	2500	5500	≤38	2,81	21	7	91	2	23	48,8	3,6	11	14	259
7,000	ZTR219SPH531_0070 ME	3000	6000	≤32	1,81	18	6	92	2	19	40,3	4,0	10	15	210
7,000	ZTR219SPH531_0070 MEL	3000	6000	≤38	1,81	18	6	92	2	19	40,3	4,0	10	15	210
7,000	ZTR223SPH531_0070 ME	3000	6000	≤32	2,19	21	7	87	2	23	48,8	4,0	11	14	259
7,000	ZTR223SPH531_0070 MEL	3000	6000	≤38	2,19	21	7	87	2	23	48,8	4,0	11	14	259
10,00	ZTR219SPH531_0100 ME	3300	6500	≤32	1,37	18	6	87	2	19	40,3	4,5	10	15	210
10,00	ZTR219SPH531_0100 MEL	3300	6500	≤38	1,37	18	6	87	2	19	40,3	4,5	10	15	210
10,00	ZTR223SPH531_0100 ME	3300	6500	≤32	1,66	21	7	81	2	23	48,8	4,5	11	14	259
10,00	ZTR223SPH531_0100 MEL	3300	6500	≤38	1,66	21	7	81	2	23	48,8	4,5	11	14	259
16,00	ZTR219SPH532_0160 ME	3500	7000	≤24	0,92	18	6	93	2	19	40,3	5,3	10	15	210
16,00	ZTR219SPH532_0160 MEL	3500	7000	≤32	0,92	18	6	93	2	19	40,3	5,3	10	15	210
16,00	ZTR223SPH532_0160 ME	3500	7000	≤24	1,12	21	7	89	2	23	48,8	5,3	11	14	259
16,00	ZTR223SPH532_0160 MEL	3500	7000	≤32	1,12	21	7	89	2	23	48,8	5,3	11	14	259
20,00	ZTR219SPH532_0200 ME	3500	7000	≤24	0,74	18	6	93	2	19	40,3	5,7	10	15	210
20,00	ZTR219SPH532_0200 MEL	3500	7000	≤32	0,74	18	6	93	2	19	40,3	5,7	10	15	210
20,00	ZTR223SPH532_0200 ME	3500	7000	≤24	0,89	21	7	90	2	23	48,8	5,7	11	14	259
20,00	ZTR223SPH532_0200 MEL	3500	7000	≤32	0,89	21	7	90	2	23	48,8	5,7	11	14	259
25,00	ZTR219SPH532_0250 ME	3700	7500	≤24	0,63	18	6	93	2	19	40,3	6,1	10	15	210
25,00	ZTR219SPH532_0250 MEL	3700	7500	≤32	0,63	18	6	93	2	19	40,3	6,1	10	15	210
25,00	ZTR223SPH532_0250 ME	3700	7500	≤24	0,77	21	7	89	2	23	48,8	6,1	11	14	259
25,00	ZTR223SPH532_0250 MEL	3700	7500	≤32	0,77	21	7	89	2	23	48,8	6,1	11	14	259
28,00	ZTR219SPH532_0280 ME	4000	8000	≤24	0,60	18	6	92	2	19	40,3	6,1	10	15	210
28,00	ZTR219SPH532_0280 MEL	4000	8000	≤32	0,60	18	6	93	2	19	40,3	6,1	10	15	210
28,00	ZTR223SPH532_0280 ME	4000	8000	≤24	0,73	21	7	88	2	23	48,8	6,1	11	14	259
28,00	ZTR223SPH532_0280 MEL	4000	8000	≤32	0,73	21	7	88	2	23	48,8	6,1	11	14	259
35,00	ZTR219SPH532_0350 ME	4000	8000	≤24	0,48	18	6	93	2	19	40,3	6,1	10	15	210
35,00	ZTR219SPH532_0350 MEL	4000	8000	≤32	0,48	18	6	93	2	19	40,3	6,1	10	15	210
35,00	ZTR223SPH532_0350 ME	4000	8000	≤24	0,58	21	7	89	2	23	48,8	6,1	11	14	259
35,00	ZTR223SPH532_0350 MEL	4000	8000	≤32	0,58	21	7	89	2	23	48,8	6,1	11	14	259
40,00	ZTR219SPH532_0400 ME	4000	8000	≤24	0,42	18	6	92	2	19	40,3	6,1	10	15	210
40,00	ZTR219SPH532_0400 MEL	4000	8000	≤32	0,42	18	6	92	2	19	40,3	6,1	10	15	210
40,00	ZTR223SPH532_0400 ME	4000	8000	≤24	0,51	21	7	87	2	23	48,8	6,1	11	14	259
40,00	ZTR223SPH532_0400 MEL	4000	8000	≤32	0,51	21	7	87	2	23	48,8	6,1	11	14	259
50,00	ZTR219SPH532_0500 ME	4000	8000	≤24	0,34	18	6	92	2	19	40,3	6,1	10	15	210
50,00	ZTR219SPH532_0500 MEL	4000	8000	≤32	0,34	18	6	92	2	19	40,3	6,1	10	15	210
50,00	ZTR223SPH532_0500 ME	4000	8000	≤24	0,41	21	7	88	2	23	48,8	6,1	11	14	259
50,00	ZTR223SPH532_0500 MEL	4000	8000	≤32	0,41	21	7	88	2	23	48,8	6,1	11	14	259
70,00	ZTR219SPH532_0700 ME	4000	8000	≤24	0,24	18	6	91	2	19	40,3	6,1	10	15	210
70,00	ZTR219SPH532_0700 MEL	4000	8000	≤32	0,24	18	6	91	2	19	40,3	6,1	10	15	210
70,00	ZTR223SPH532_0700 ME	4000	8000	≤24	0,29	21	7	86	2	23	48,8	6,1	11	14	259
70,00	ZTR223SPH532_0700 MEL	4000	8000	≤32	0,29	21	7	86	2	23	48,8	6,1	11	14	259
100,0	ZTR219SPH532_1000 ME	4000	8000	≤24	0,17	18	6	86	2	19	40,3	6,1	10	15	210
100,0	ZTR219SPH532_1000 MEL	4000	8000	≤32	0,17	18	6	86	2	19	40,3	6,1	10	15	210
100,0	ZTR223SPH532_1000 ME	4000	8000	≤24	0,20	21	7	80	2	23	48,8	6,1	11	14	259
100,0	ZTR223SPH532_1000 MEL	4000	8000	≤32	0,20	21	7	80	2	23	48,8	6,1	11	14	259
<b>ZTR3PH5 (<math>F_{f2acc,max} = 9,9</math> kN)</b>															
4,000	ZTR314SPH531_0040 ME	2200	5000	≤32	2,92	19	6	88	3	14	44,6	3,3	9,9	14	221
4,000	ZTR314SPH531_0040 MEL	2200	5000	≤38	2,92	19	6	88	3	14	44,6	3,3	9,9	14	221
5,000	ZTR314SPH531_0050 ME	2500	5500	≤32	2,57	19	6	88	3	14	44,6	3,5	9,9	14	221
5,000	ZTR314SPH531_0050 MEL	2500	5500	≤38	2,57	19	6	88	3	14	44,6	3,5	9,9	14	221
7,000	ZTR314SPH531_0070 ME	3000	6000	≤32	2,00	19	6	85	3	14	44,6	3,9	9,9	14	221
7,000	ZTR314SPH531_0070 MEL	3000	6000	≤38	2,00	19	6	85	3	14	44,6	3,9	9,9	14	221
10,00	ZTR314SPH531_0100 ME	3300	6500	≤32	1,52	19	6	80	3	14	44,6	4,4	9,9	14	221
10,00	ZTR314SPH531_0100 MEL	3300	6500	≤38	1,52	19	6	80	3	14	44,6	4,4	9,9	14	221
16,00	ZTR314SPH532_0160 ME	3500	7000	≤24	1,02	19	6	87	3	14	44,6	5,2	9,9	14	221
16,00	ZTR314SPH532_0160 MEL	3500	7000	≤32	1,02	19	6	87	3	14	44,6	5,2	9,9	14	221

i	Modelo	$n_{1\max DB}$ [min <sup>-1</sup> ]	$n_{1\max ZB}$ [min <sup>-1</sup> ]	d <sub>MW</sub> [mm]	v <sub>f2maxZB</sub> [m/s]	$\Delta s$ [μm]	$\Delta s_{red}$ [μm]	C <sub>lin</sub> [N/μm]	m <sub>n</sub> [mm]	z	d <sub>0</sub> [mm]	F <sub>f2N</sub> [kN]	F <sub>f2acc</sub> [kN]	F <sub>f2NOT</sub> [kN]	M <sub>2acc</sub> [Nm]
<b>ZTR3PH5 (F<sub>f2acc,max</sub> = 9,9 kN)</b>															
20,00	ZTR314SPH532_0200 ME	3500	7000	≤24	0,82	19	6	87	3	14	44,6	5,6	9,9	14	221
20,00	ZTR314SPH532_0200 MEL	3500	7000	≤32	0,82	19	6	87	3	14	44,6	5,6	9,9	14	221
25,00	ZTR314SPH532_0250 ME	3700	7500	≤24	0,70	19	6	87	3	14	44,6	6,0	9,9	14	221
25,00	ZTR314SPH532_0250 MEL	3700	7500	≤32	0,70	19	6	87	3	14	44,6	6,0	9,9	14	221
28,00	ZTR314SPH532_0280 ME	4000	8000	≤24	0,67	19	6	86	3	14	44,6	6,0	9,9	14	221
28,00	ZTR314SPH532_0280 MEL	4000	8000	≤32	0,67	19	6	86	3	14	44,6	6,0	9,9	14	221
35,00	ZTR314SPH532_0350 ME	4000	8000	≤24	0,53	19	6	87	3	14	44,6	6,0	9,9	14	221
35,00	ZTR314SPH532_0350 MEL	4000	8000	≤32	0,53	19	6	87	3	14	44,6	6,0	9,9	14	221
40,00	ZTR314SPH532_0400 ME	4000	8000	≤24	0,47	19	6	85	3	14	44,6	6,0	9,9	14	221
40,00	ZTR314SPH532_0400 MEL	4000	8000	≤32	0,47	19	6	85	3	14	44,6	6,0	9,9	14	221
50,00	ZTR314SPH532_0500 ME	4000	8000	≤24	0,37	19	6	86	3	14	44,6	6,0	9,9	14	221
50,00	ZTR314SPH532_0500 MEL	4000	8000	≤32	0,37	19	6	86	3	14	44,6	6,0	9,9	14	221
70,00	ZTR314SPH532_0700 ME	4000	8000	≤24	0,27	19	6	84	3	14	44,6	6,0	9,9	14	221
70,00	ZTR314SPH532_0700 MEL	4000	8000	≤32	0,27	19	6	84	3	14	44,6	6,0	9,9	14	221
100,0	ZTR314SPH532_1000 ME	4000	8000	≤24	0,19	19	6	80	3	14	44,6	6,0	9,9	14	221
100,0	ZTR314SPH532_1000 MEL	4000	8000	≤32	0,19	19	6	80	3	14	44,6	6,0	9,9	14	221
<b>ZTR2PH7 (F<sub>f2acc,max</sub> = 15 kN)</b>															
4,000	ZTR223SPH731_0040 ME	1900	4000	≤38	2,56	21	7	119	2	23	48,8	8,7	15	29	356
4,000	ZTR223SPH731_0040 MEL	1900	4000	≤48	2,56	21	7	120	2	23	48,8	8,7	15	29	356
5,000	ZTR223SPH731_0050 ME	2200	5000	≤38	2,56	21	7	118	2	23	48,8	9,4	15	29	356
5,000	ZTR223SPH731_0050 MEL	2200	5000	≤48	2,56	21	7	119	2	23	48,8	9,4	15	29	356
7,000	ZTR223SPH731_0070 ME	2500	5000	≤38	1,83	21	7	116	2	23	48,8	10	15	29	356
7,000	ZTR223SPH731_0070 MEL	2500	5000	≤48	1,83	21	7	116	2	23	48,8	10	15	29	356
10,00	ZTR223SPH731_0100 ME	2500	5000	≤38	1,28	21	7	112	2	23	48,8	12	15	29	356
10,00	ZTR223SPH731_0100 MEL	2500	5000	≤48	1,28	21	7	112	2	23	48,8	12	15	29	356
16,00	ZTR223SPH732_0160 ME	3000	6000	≤32	0,96	21	7	119	2	23	48,8	14	15	29	356
16,00	ZTR223SPH732_0160 MEL	3000	6000	≤38	0,96	21	7	119	2	23	48,8	14	15	29	356
20,00	ZTR223SPH732_0200 ME	3000	6000	≤32	0,77	21	7	118	2	23	48,8	15	15	29	356
20,00	ZTR223SPH732_0200 MEL	3000	6000	≤38	0,77	21	7	118	2	23	48,8	15	15	29	356
25,00	ZTR223SPH732_0250 ME	3500	7000	≤32	0,72	21	7	118	2	23	48,8	15	15	29	356
25,00	ZTR223SPH732_0250 MEL	3500	7000	≤38	0,72	21	7	118	2	23	48,8	15	15	29	356
28,00	ZTR223SPH732_0280 ME	3700	7000	≤32	0,64	21	7	118	2	23	48,8	15	15	29	356
28,00	ZTR223SPH732_0280 MEL	3700	7000	≤38	0,64	21	7	118	2	23	48,8	15	15	29	356
35,00	ZTR223SPH732_0350 ME	3700	7000	≤32	0,51	21	7	118	2	23	48,8	15	15	29	356
35,00	ZTR223SPH732_0350 MEL	3700	7000	≤38	0,51	21	7	118	2	23	48,8	15	15	29	356
40,00	ZTR223SPH732_0400 ME	3700	7000	≤32	0,45	21	7	118	2	23	48,8	15	15	29	356
40,00	ZTR223SPH732_0400 MEL	3700	7000	≤38	0,45	21	7	118	2	23	48,8	15	15	29	356
50,00	ZTR223SPH732_0500 ME	3700	7000	≤32	0,36	21	7	117	2	23	48,8	15	15	29	356
50,00	ZTR223SPH732_0500 MEL	3700	7000	≤38	0,36	21	7	117	2	23	48,8	15	15	29	356
70,00	ZTR223SPH732_0700 ME	3700	7000	≤32	0,26	21	7	115	2	23	48,8	15	15	29	356
70,00	ZTR223SPH732_0700 MEL	3700	7000	≤38	0,26	21	7	115	2	23	48,8	15	15	29	356
100,0	ZTR223SPH732_1000 ME	3700	7000	≤32	0,18	21	7	111	2	23	48,8	15	15	29	356
100,0	ZTR223SPH732_1000 MEL	3700	7000	≤38	0,18	21	7	111	2	23	48,8	15	15	29	356
<b>ZTR3PH7 (F<sub>f2acc,max</sub> = 19 kN)</b>															
4,000	ZTR316SPH731_0040 ME	1900	4000	≤38	2,67	22	7	118	3	16	50,9	8,5	17	30	446
4,000	ZTR316SPH731_0040 MEL	1900	4000	≤48	2,67	22	7	119	3	16	50,9	8,5	17	30	446
4,000	ZTR319SPH731_0040 ME	1900	4000	≤38	3,17	26	9	115	3	19	60,5	8,5	19	26	565
4,000	ZTR319SPH731_0040 MEL	1900	4000	≤48	3,17	26	9	116	3	19	60,5	8,5	19	26	565
5,000	ZTR316SPH731_0050 ME	2200	5000	≤38	2,67	22	7	117	3	16	50,9	9,2	17	30	446
5,000	ZTR316SPH731_0050 MEL	2200	5000	≤48	2,67	22	7	118	3	16	50,9	9,2	17	30	446
5,000	ZTR319SPH731_0050 ME	2200	5000	≤38	3,17	26	9	113	3	19	60,5	9,1	19	26	565
5,000	ZTR319SPH731_0050 MEL	2200	5000	≤48	3,17	26	9	114	3	19	60,5	9,1	19	26	565
7,000	ZTR316SPH731_0070 ME	2500	5000	≤38	1,91	22	7	115	3	16	50,9	10	17	30	446
7,000	ZTR316SPH731_0070 MEL	2500	5000	≤48	1,91	22	7	115	3	16	50,9	10	17	30	446
7,000	ZTR319SPH731_0070 ME	2500	5000	≤38	2,26	26	9	110	3	19	60,5	10	19	26	565
7,000	ZTR319SPH731_0070 MEL	2500	5000	≤48	2,26	26	9	110	3	19	60,5	10	19	26	565
10,00	ZTR316SPH731_0100 ME	2500	5000	≤38	1,33	22	7	110	3	16	50,9	12	17	30	446
10,00	ZTR316SPH731_0100 MEL	2500	5000	≤48	1,33	22	7	110	3	16	50,9	12	17	30	446
10,00	ZTR319SPH731_0100 ME	2500	5000	≤38	1,58	26	9	104	3	19	60,5	12	19	26	565
10,00	ZTR319SPH731_0100 MEL	2500	5000	≤48	1,58	26	9	104	3	19	60,5	12	19	26	565
16,00	ZTR316SPH732_0160 ME	3000	6000	≤32	1,00	22	7	118	3	16	50,9	14	17	30	446
16,00	ZTR316SPH732_0160 MEL	3000	6000	≤38	1,00	22	7	118	3	16	50,9	14	17	30	446
16,00	ZTR319SPH732_0160 ME	3000	6000	≤32	1,19	26	9	114	3	19	60,5	13	19	26	565
16,00	ZTR319SPH732_0160 MEL	3000	6000	≤38	1,19	26	9	114	3	19	60,5	13	19	26	565
20,00	ZTR316SPH732_0200 ME	3000	6000	≤32	0,80	22	7	117	3	16	50,9	15	17	30	446
20,00	ZTR316SPH732_0200 MEL	3000	6000	≤38	0,80	22	7	117	3	16	50,9	15	17	30	446

i	Modelo	$n_{1\max DB}$ [min <sup>-1</sup> ]	$n_{1\max ZB}$ [min <sup>-1</sup> ]	$d_{MW}$ [mm]	$v_{f2\max ZB}$ [m/s]	$\Delta s$ [μm]	$\Delta s_{red}$ [μm]	$C_{lin}$ [N/μm]	$m_n$ [mm]	z	$d_0$ [mm]	$F_{f2N}$ [kN]	$F_{f2acc}$ [kN]	$F_{f2NOT}$ [kN]	$M_{2acc}$ [Nm]
<b>ZTR3PH7 (<math>F_{f2acc,max} = 19</math> kN)</b>															
20,00	ZTR319SPH732_0200 ME	3000	6000	≤32	0,95	26	9	113	3	19	60,5	15	19	26	565
20,00	ZTR319SPH732_0200 MEL	3000	6000	≤38	0,95	26	9	113	3	19	60,5	15	19	26	565
25,00	ZTR316SPH732_0250 ME	3500	7000	≤32	0,75	22	7	117	3	16	50,9	16	17	30	446
25,00	ZTR316SPH732_0250 MEL	3500	7000	≤38	0,75	22	7	117	3	16	50,9	16	17	30	446
25,00	ZTR319SPH732_0250 ME	3500	7000	≤32	0,89	26	9	113	3	19	60,5	16	19	26	565
25,00	ZTR319SPH732_0250 MEL	3500	7000	≤38	0,89	26	9	113	3	19	60,5	16	19	26	565
28,00	ZTR316SPH732_0280 ME	3700	7000	≤32	0,67	22	7	117	3	16	50,9	16	17	30	446
28,00	ZTR316SPH732_0280 MEL	3700	7000	≤38	0,67	22	7	117	3	16	50,9	16	17	30	446
28,00	ZTR319SPH732_0280 ME	3700	7000	≤32	0,79	26	9	114	3	19	60,5	16	19	26	565
28,00	ZTR319SPH732_0280 MEL	3700	7000	≤38	0,79	26	9	114	3	19	60,5	16	19	26	565
35,00	ZTR316SPH732_0350 ME	3700	7000	≤32	0,53	22	7	117	3	16	50,9	16	17	30	446
35,00	ZTR316SPH732_0350 MEL	3700	7000	≤38	0,53	22	7	117	3	16	50,9	16	17	30	446
35,00	ZTR319SPH732_0350 ME	3700	7000	≤32	0,63	26	9	113	3	19	60,5	16	19	26	565
35,00	ZTR319SPH732_0350 MEL	3700	7000	≤38	0,63	26	9	113	3	19	60,5	16	19	26	565
40,00	ZTR316SPH732_0400 ME	3700	7000	≤32	0,47	22	7	116	3	16	50,9	16	17	30	446
40,00	ZTR316SPH732_0400 MEL	3700	7000	≤38	0,47	22	7	116	3	16	50,9	16	17	30	446
40,00	ZTR319SPH732_0400 ME	3700	7000	≤32	0,55	26	9	113	3	19	60,5	16	19	26	565
40,00	ZTR319SPH732_0400 MEL	3700	7000	≤38	0,55	26	9	113	3	19	60,5	16	19	26	565
50,00	ZTR316SPH732_0500 ME	3700	7000	≤32	0,37	22	7	116	3	16	50,9	16	17	30	446
50,00	ZTR316SPH732_0500 MEL	3700	7000	≤38	0,37	22	7	116	3	16	50,9	16	17	30	446
50,00	ZTR319SPH732_0500 ME	3700	7000	≤32	0,44	26	9	112	3	19	60,5	16	19	26	565
50,00	ZTR319SPH732_0500 MEL	3700	7000	≤38	0,44	26	9	112	3	19	60,5	16	19	26	565
70,00	ZTR316SPH732_0700 ME	3700	7000	≤32	0,27	22	7	114	3	16	50,9	16	17	30	446
70,00	ZTR316SPH732_0700 MEL	3700	7000	≤38	0,27	22	7	114	3	16	50,9	16	17	30	446
70,00	ZTR319SPH732_0700 ME	3700	7000	≤32	0,32	26	9	109	3	19	60,5	16	19	26	565
70,00	ZTR319SPH732_0700 MEL	3700	7000	≤38	0,32	26	9	109	3	19	60,5	16	19	26	565
100,0	ZTR316SPH732_1000 ME	3700	7000	≤32	0,19	22	7	110	3	16	50,9	16	17	30	446
100,0	ZTR316SPH732_1000 MEL	3700	7000	≤38	0,19	22	7	110	3	16	50,9	16	17	30	446
100,0	ZTR319SPH732_1000 ME	3700	7000	≤32	0,22	26	9	104	3	19	60,5	14	18	26	550
100,0	ZTR319SPH732_1000 MEL	3700	7000	≤38	0,22	26	9	104	3	19	60,5	14	18	26	550
<b>ZTR4PH7 (<math>F_{f2acc,max} = 18</math> kN)</b>															
4,000	ZTR412SPH731_0040 ME	1900	4000	≤38	2,67	22	7	114	4	12	50,9	8,2	18	28	459
4,000	ZTR412SPH731_0040 MEL	1900	4000	≤48	2,67	22	7	115	4	12	50,9	8,2	18	28	459
5,000	ZTR412SPH731_0050 ME	2200	5000	≤38	2,67	22	7	113	4	12	50,9	8,8	18	28	459
5,000	ZTR412SPH731_0050 MEL	2200	5000	≤48	2,67	22	7	114	4	12	50,9	8,8	18	28	459
7,000	ZTR412SPH731_0070 ME	2500	5000	≤38	1,91	22	7	111	4	12	50,9	9,9	18	28	459
7,000	ZTR412SPH731_0070 MEL	2500	5000	≤48	1,91	22	7	111	4	12	50,9	9,9	18	28	459
10,00	ZTR412SPH731_0100 ME	2500	5000	≤38	1,33	22	7	107	4	12	50,9	11	18	28	459
10,00	ZTR412SPH731_0100 MEL	2500	5000	≤48	1,33	22	7	107	4	12	50,9	11	18	28	459
16,00	ZTR412SPH732_0160 ME	3000	6000	≤32	1,00	22	7	114	4	12	50,9	13	18	28	459
16,00	ZTR412SPH732_0160 MEL	3000	6000	≤38	1,00	22	7	114	4	12	50,9	13	18	28	459
20,00	ZTR412SPH732_0200 ME	3000	6000	≤32	0,80	22	7	113	4	12	50,9	14	18	28	459
20,00	ZTR412SPH732_0200 MEL	3000	6000	≤38	0,80	22	7	113	4	12	50,9	14	18	28	459
25,00	ZTR412SPH732_0250 ME	3500	7000	≤32	0,75	22	7	113	4	12	50,9	15	18	28	459
25,00	ZTR412SPH732_0250 MEL	3500	7000	≤38	0,75	22	7	113	4	12	50,9	15	18	28	459
28,00	ZTR412SPH732_0280 ME	3700	7000	≤32	0,67	22	7	114	4	12	50,9	15	18	28	459
28,00	ZTR412SPH732_0280 MEL	3700	7000	≤38	0,67	22	7	114	4	12	50,9	15	18	28	459
35,00	ZTR412SPH732_0350 ME	3700	7000	≤32	0,53	22	7	113	4	12	50,9	15	18	28	459
35,00	ZTR412SPH732_0350 MEL	3700	7000	≤38	0,53	22	7	113	4	12	50,9	15	18	28	459
40,00	ZTR412SPH732_0400 ME	3700	7000	≤32	0,47	22	7	113	4	12	50,9	15	18	28	459
40,00	ZTR412SPH732_0400 MEL	3700	7000	≤38	0,47	22	7	113	4	12	50,9	15	18	28	459
50,00	ZTR412SPH732_0500 ME	3700	7000	≤32	0,37	22	7	112	4	12	50,9	15	18	28	459
50,00	ZTR412SPH732_0500 MEL	3700	7000	≤38	0,37	22	7	112	4	12	50,9	15	18	28	459
70,00	ZTR412SPH732_0700 ME	3700	7000	≤32	0,27	22	7	110	4	12	50,9	15	18	28	459
70,00	ZTR412SPH732_0700 MEL	3700	7000	≤38	0,27	22	7	110	4	12	50,9	15	18	28	459
100,0	ZTR412SPH732_1000 ME	3700	7000	≤32	0,19	22	7	107	4	12	50,9	15	18	28	459
100,0	ZTR412SPH732_1000 MEL	3700	7000	≤38	0,19	22	7	107	4	12	50,9	15	18	28	459
<b>ZTR3PH8 (<math>F_{f2acc,max} = 25</math> kN)</b>															
4,000	ZTR332SPH831_0040 ME	1400	3500	≤48	4,67	44	15	184	3	32	101,9	17	25	44	1294
4,000	ZTR332SPH831_0040 MEL	1400	3500	≤60	4,67	44	15	188	3	32	101,9	17	25	44	1294
5,000	ZTR332SPH831_0050 ME	1600	4000	≤48	4,27	44	15	186	3	32	101,9	21	25	44	1294
5,000	ZTR332SPH831_0050 MEL	1600	4000	≤60	4,27	44	15	188	3	32	101,9	21	25	44	1294
7,000	ZTR332SPH831_0070 ME	2000	4000	≤48	3,05	44	15	176	3	32	101,9	20	25	44	1294
7,000	ZTR332SPH831_0070 MEL	2000	4000	≤60	3,05	44	15	177	3	32	101,9	20	25	44	1294
10,00	ZTR332SPH831_0100 ME	2200	4000	≤48	2,13	44	15	161	3	32	101,9	17	25	44	1294
10,00	ZTR332SPH831_0100 MEL	2200	4000	≤60	2,13	44	15	162	3	32	101,9	17	25	44	1294

i	Modelo	$n_{1\max DB}$ [min $^{-1}$ ]	$n_{1\max ZB}$ [min $^{-1}$ ]	d <sub>MW</sub> [mm]	v <sub>f2maxZB</sub> [m/s]	$\Delta s$ [μm]	$\Delta s_{red}$ [μm]	C <sub>lin</sub> [N/μm]	m <sub>n</sub> [mm]	z	d <sub>0</sub> [mm]	F <sub>f2N</sub> [kN]	F <sub>f2acc</sub> [kN]	F <sub>f2NOT</sub> [kN]	M <sub>2acc</sub> [Nm]
<b>ZTR3PH8 (<math>F_{f2acc,max} = 25</math> kN)</b>															
16,00	ZTR332SPH832_0160 ME	2500	4500	≤38	1,50	44	15	182	3	32	101,9	22	25	44	1294
16,00	ZTR332SPH832_0160 MEL	2500	4500	≤48	1,50	44	15	182	3	32	101,9	22	25	44	1294
20,00	ZTR332SPH832_0200 ME	2500	4500	≤38	1,20	44	15	184	3	32	101,9	25	25	44	1294
20,00	ZTR332SPH832_0200 MEL	2500	4500	≤48	1,20	44	15	185	3	32	101,9	25	25	44	1294
25,00	ZTR332SPH832_0250 ME	2700	5500	≤38	1,17	44	15	184	3	32	101,9	25	25	44	1294
25,00	ZTR332SPH832_0250 MEL	2700	5500	≤48	1,17	44	15	184	3	32	101,9	25	25	44	1294
28,00	ZTR332SPH832_0280 ME	3000	6000	≤38	1,14	44	15	180	3	32	101,9	22	25	44	1294
28,00	ZTR332SPH832_0280 MEL	3000	6000	≤48	1,14	44	15	180	3	32	101,9	22	25	44	1294
35,00	ZTR332SPH832_0350 ME	3000	6000	≤38	0,91	44	15	183	3	32	101,9	25	25	44	1294
35,00	ZTR332SPH832_0350 MEL	3000	6000	≤48	0,91	44	15	184	3	32	101,9	25	25	44	1294
40,00	ZTR332SPH832_0400 ME	3000	6000	≤38	0,80	44	15	177	3	32	101,9	22	25	44	1294
40,00	ZTR332SPH832_0400 MEL	3000	6000	≤48	0,80	44	15	177	3	32	101,9	22	25	44	1294
50,00	ZTR332SPH832_0500 ME	3000	6000	≤38	0,64	44	15	182	3	32	101,9	25	25	44	1294
50,00	ZTR332SPH832_0500 MEL	3000	6000	≤48	0,64	44	15	182	3	32	101,9	25	25	44	1294
70,00	ZTR332SPH832_0700 ME	3000	6000	≤38	0,46	44	15	174	3	32	101,9	25	25	44	1294
70,00	ZTR332SPH832_0700 MEL	3000	6000	≤48	0,46	44	15	174	3	32	101,9	25	25	44	1294
100,0	ZTR332SPH832_1000 ME	3000	6000	≤38	0,32	44	15	161	3	32	101,9	21	25	44	1294
100,0	ZTR332SPH832_1000 MEL	3000	6000	≤48	0,32	44	15	161	3	32	101,9	21	25	44	1294
<b>ZTR4PH8 (<math>F_{f2acc,max} = 36</math> kN)</b>															
4,000	ZTR417SPH831_0040 ME	1400	3500	≤48	3,31	31	10	217	4	17	72,2	20	35	55	1263
4,000	ZTR417SPH831_0040 MEL	1400	3500	≤60	3,31	31	10	220	4	17	72,2	20	35	55	1263
4,000	ZTR420SPH831_0040 ME	1400	3500	≤48	3,89	37	12	207	4	20	84,9	20	36	50	1511
4,000	ZTR420SPH831_0040 MEL	1400	3500	≤60	3,89	37	12	210	4	20	84,9	20	36	50	1511
5,000	ZTR417SPH831_0050 ME	1600	4000	≤48	3,02	31	10	218	4	17	72,2	21	35	55	1263
5,000	ZTR417SPH831_0050 MEL	1600	4000	≤60	3,02	31	10	220	4	17	72,2	21	35	55	1263
5,000	ZTR420SPH831_0050 ME	1600	4000	≤48	3,56	37	12	209	4	20	84,9	21	36	50	1511
5,000	ZTR420SPH831_0050 MEL	1600	4000	≤60	3,56	37	12	211	4	20	84,9	21	36	50	1511
7,000	ZTR417SPH831_0070 ME	2000	4000	≤48	2,16	31	10	211	4	17	72,2	24	35	55	1263
7,000	ZTR417SPH831_0070 MEL	2000	4000	≤60	2,16	31	10	212	4	17	72,2	24	35	55	1263
7,000	ZTR420SPH831_0070 ME	2000	4000	≤48	2,54	37	12	200	4	20	84,9	24	36	50	1511
7,000	ZTR420SPH831_0070 MEL	2000	4000	≤60	2,54	37	12	201	4	20	84,9	24	36	50	1511
10,00	ZTR417SPH831_0100 ME	2200	4000	≤48	1,51	31	10	200	4	17	72,2	24	35	55	1263
10,00	ZTR417SPH831_0100 MEL	2200	4000	≤60	1,51	31	10	201	4	17	72,2	24	35	55	1263
10,00	ZTR420SPH831_0100 ME	2200	4000	≤48	1,78	37	12	187	4	20	84,9	20	33	50	1392
10,00	ZTR420SPH831_0100 MEL	2200	4000	≤60	1,78	37	12	187	4	20	84,9	20	33	50	1392
16,00	ZTR417SPH832_0160 ME	2500	4500	≤38	1,06	31	10	215	4	17	72,2	30	35	55	1263
16,00	ZTR417SPH832_0160 MEL	2500	4500	≤48	1,06	31	10	216	4	17	72,2	30	35	55	1263
16,00	ZTR420SPH832_0160 ME	2500	4500	≤38	1,25	37	12	205	4	20	84,9	26	36	50	1511
16,00	ZTR420SPH832_0160 MEL	2500	4500	≤48	1,25	37	12	206	4	20	84,9	26	36	50	1511
20,00	ZTR417SPH832_0200 ME	2500	4500	≤38	0,85	31	10	217	4	17	72,2	34	35	55	1263
20,00	ZTR417SPH832_0200 MEL	2500	4500	≤48	0,85	31	10	218	4	17	72,2	34	35	55	1263
20,00	ZTR420SPH832_0200 ME	2500	4500	≤38	1,00	37	12	208	4	20	84,9	29	36	50	1511
20,00	ZTR420SPH832_0200 MEL	2500	4500	≤48	1,00	37	12	208	4	20	84,9	29	36	50	1511
25,00	ZTR417SPH832_0250 ME	2700	5500	≤38	0,83	31	10	217	4	17	72,2	35	35	55	1263
25,00	ZTR417SPH832_0250 MEL	2700	5500	≤48	0,83	31	10	217	4	17	72,2	35	35	55	1263
25,00	ZTR420SPH832_0250 ME	2700	5500	≤38	0,98	37	12	208	4	20	84,9	31	36	50	1511
25,00	ZTR420SPH832_0250 MEL	2700	5500	≤48	0,98	37	12	208	4	20	84,9	31	36	50	1511
28,00	ZTR417SPH832_0280 ME	3000	6000	≤38	0,81	31	10	214	4	17	72,2	30	35	55	1263
28,00	ZTR417SPH832_0280 MEL	3000	6000	≤48	0,81	31	10	215	4	17	72,2	30	35	55	1263
28,00	ZTR420SPH832_0280 ME	3000	6000	≤38	0,95	37	12	204	4	20	84,9	26	36	50	1511
28,00	ZTR420SPH832_0280 MEL	3000	6000	≤48	0,95	37	12	204	4	20	84,9	26	36	50	1511
35,00	ZTR417SPH832_0350 ME	3000	6000	≤38	0,65	31	10	217	4	17	72,2	35	35	55	1263
35,00	ZTR417SPH832_0350 MEL	3000	6000	≤48	0,65	31	10	217	4	17	72,2	35	35	55	1263
35,00	ZTR420SPH832_0350 ME	3000	6000	≤38	0,76	37	12	207	4	20	84,9	34	36	50	1511
35,00	ZTR420SPH832_0350 MEL	3000	6000	≤48	0,76	37	12	207	4	20	84,9	34	36	50	1511
40,00	ZTR417SPH832_0400 ME	3000	6000	≤38	0,57	31	10	212	4	17	72,2	30	35	55	1263
40,00	ZTR417SPH832_0400 MEL	3000	6000	≤48	0,57	31	10	212	4	17	72,2	30	35	55	1263
40,00	ZTR420SPH832_0400 ME	3000	6000	≤38	0,67	37	12	201	4	20	84,9	26	36	50	1511
40,00	ZTR420SPH832_0400 MEL	3000	6000	≤48	0,67	37	12	202	4	20	84,9	26	36	50	1511
50,00	ZTR417SPH832_0500 ME	3000	6000	≤38	0,45	31	10	215	4	17	72,2	35	35	55	1263
50,00	ZTR417SPH832_0500 MEL	3000	6000	≤48	0,45	31	10	215	4	17	72,2	35	35	55	1263
50,00	ZTR420SPH832_0500 ME	3000	6000	≤38	0,53	37	12	205	4	20	84,9	36	36	50	1511
50,00	ZTR420SPH832_0500 MEL	3000	6000	≤48	0,53	37	12	205	4	20	84,9	36	36	50	1511
70,00	ZTR417SPH832_0700 ME	3000	6000	≤38	0,32	31	10	210	4	17	72,2	35	35	55	1263
70,00	ZTR417SPH832_0700 MEL	3000	6000	≤48	0,32	31	10	210	4	17	72,2	35	35	55	1263
70,00	ZTR420SPH832_0700 ME	3000	6000	≤38	0,38	37	12	199	4	20	84,9	33	36	50	1511

i	Modelo	$n_{1\max DB}$ [min <sup>-1</sup> ]	$n_{1\max ZB}$ [min <sup>-1</sup> ]	d <sub>MW</sub> [mm]	v <sub>f2maxZB</sub> [m/s]	$\Delta s$ [μm]	$\Delta s_{red}$ [μm]	C <sub>lin</sub> [N/μm]	m <sub>n</sub> [mm]	z	d <sub>0</sub> [mm]	F <sub>f2N</sub> [kN]	F <sub>f2acc</sub> [kN]	F <sub>f2NOT</sub> [kN]	M <sub>2acc</sub> [Nm]
<b>ZTR4PH8 (F<sub>f2acc,max</sub> = 36 kN)</b>															
70,00	ZTR420SPH832_0700 MEL	3000	6000	≤48	0,38	37	12	199	4	20	84,9	33	36	50	1511
100,0	ZTR417SPH832_1000 ME	3000	6000	≤38	0,23	31	10	200	4	17	72,2	29	35	55	1263
100,0	ZTR417SPH832_1000 MEL	3000	6000	≤48	0,23	31	10	200	4	17	72,2	29	35	55	1263
100,0	ZTR420SPH832_1000 ME	3000	6000	≤38	0,27	37	12	186	4	20	84,9	25	33	50	1380
100,0	ZTR420SPH832_1000 MEL	3000	6000	≤48	0,27	37	12	186	4	20	84,9	25	33	50	1380
<b>ZTR5PH8 (F<sub>f2acc,max</sub> = 34 kN)</b>															
4,000	ZTR518SPH831_0040 ME	1400	3500	≤48	4,38	42	14	202	5	18	95,5	18	34	44	1621
4,000	ZTR518SPH831_0040 MEL	1400	3500	≤60	4,38	42	14	206	5	18	95,5	18	34	44	1621
5,000	ZTR518SPH831_0050 ME	1600	4000	≤48	4,00	42	14	204	5	18	95,5	20	34	44	1621
5,000	ZTR518SPH831_0050 MEL	1600	4000	≤60	4,00	42	14	207	5	18	95,5	20	34	44	1621
7,000	ZTR518SPH831_0070 ME	2000	4000	≤48	2,86	42	14	194	5	18	95,5	21	34	44	1621
7,000	ZTR518SPH831_0070 MEL	2000	4000	≤60	2,86	42	14	195	5	18	95,5	21	34	44	1621
10,00	ZTR518SPH831_0100 ME	2200	4000	≤48	2,00	42	14	178	5	18	95,5	18	29	44	1392
10,00	ZTR518SPH831_0100 MEL	2200	4000	≤60	2,00	42	14	179	5	18	95,5	18	29	44	1392
16,00	ZTR518SPH832_0160 ME	2500	4500	≤38	1,41	42	14	200	5	18	95,5	23	34	44	1621
16,00	ZTR518SPH832_0160 MEL	2500	4500	≤48	1,41	42	14	200	5	18	95,5	23	34	44	1621
20,00	ZTR518SPH832_0200 ME	2500	4500	≤38	1,13	42	14	203	5	18	95,5	26	34	44	1621
20,00	ZTR518SPH832_0200 MEL	2500	4500	≤48	1,13	42	14	203	5	18	95,5	26	34	44	1621
25,00	ZTR518SPH832_0250 ME	2700	5500	≤38	1,10	42	14	203	5	18	95,5	27	34	44	1621
25,00	ZTR518SPH832_0250 MEL	2700	5500	≤48	1,10	42	14	203	5	18	95,5	27	34	44	1621
28,00	ZTR518SPH832_0280 ME	3000	6000	≤38	1,07	42	14	198	5	18	95,5	23	34	44	1621
28,00	ZTR518SPH832_0280 MEL	3000	6000	≤48	1,07	42	14	198	5	18	95,5	23	34	44	1621
35,00	ZTR518SPH832_0350 ME	3000	6000	≤38	0,86	42	14	202	5	18	95,5	30	34	44	1621
35,00	ZTR518SPH832_0350 MEL	3000	6000	≤48	0,86	42	14	202	5	18	95,5	30	34	44	1621
40,00	ZTR518SPH832_0400 ME	3000	6000	≤38	0,75	42	14	195	5	18	95,5	23	34	44	1621
40,00	ZTR518SPH832_0400 MEL	3000	6000	≤48	0,75	42	14	195	5	18	95,5	23	34	44	1621
50,00	ZTR518SPH832_0500 ME	3000	6000	≤38	0,60	42	14	200	5	18	95,5	33	34	44	1621
50,00	ZTR518SPH832_0500 MEL	3000	6000	≤48	0,60	42	14	200	5	18	95,5	33	34	44	1621
70,00	ZTR518SPH832_0700 ME	3000	6000	≤38	0,43	42	14	192	5	18	95,5	30	34	44	1621
70,00	ZTR518SPH832_0700 MEL	3000	6000	≤48	0,43	42	14	192	5	18	95,5	30	34	44	1621
100,0	ZTR518SPH832_1000 ME	3000	6000	≤38	0,30	42	14	177	5	18	95,5	22	29	44	1380
100,0	ZTR518SPH832_1000 MEL	3000	6000	≤48	0,30	42	14	177	5	18	95,5	22	29	44	1380
<b>ZTR6PH8 (F<sub>f2acc,max</sub> = 33 kN)</b>															
4,000	ZTR615SPH831_0040 ME	1400	3500	≤48	4,38	42	14	203	6	15	95,5	18	33	44	1577
4,000	ZTR615SPH831_0040 MEL	1400	3500	≤60	4,38	42	14	207	6	15	95,5	18	33	44	1577
5,000	ZTR615SPH831_0050 ME	1600	4000	≤48	4,00	42	14	205	6	15	95,5	20	33	44	1577
5,000	ZTR615SPH831_0050 MEL	1600	4000	≤60	4,00	42	14	208	6	15	95,5	20	33	44	1577
7,000	ZTR615SPH831_0070 ME	2000	4000	≤48	2,86	42	14	195	6	15	95,5	21	33	44	1577
7,000	ZTR615SPH831_0070 MEL	2000	4000	≤60	2,86	42	14	196	6	15	95,5	21	33	44	1577
10,00	ZTR615SPH831_0100 ME	2200	4000	≤48	2,00	42	14	179	6	15	95,5	18	29	44	1392
10,00	ZTR615SPH831_0100 MEL	2200	4000	≤60	2,00	42	14	179	6	15	95,5	18	29	44	1392
16,00	ZTR615SPH832_0160 ME	2500	4500	≤38	1,41	42	14	201	6	15	95,5	23	33	44	1577
16,00	ZTR615SPH832_0160 MEL	2500	4500	≤48	1,41	42	14	201	6	15	95,5	23	33	44	1577
20,00	ZTR615SPH832_0200 ME	2500	4500	≤38	1,13	42	14	204	6	15	95,5	26	33	44	1577
20,00	ZTR615SPH832_0200 MEL	2500	4500	≤48	1,13	42	14	204	6	15	95,5	26	33	44	1577
25,00	ZTR615SPH832_0250 ME	2700	5500	≤38	1,10	42	14	203	6	15	95,5	27	33	44	1577
25,00	ZTR615SPH832_0250 MEL	2700	5500	≤48	1,10	42	14	204	6	15	95,5	27	33	44	1577
28,00	ZTR615SPH832_0280 ME	3000	6000	≤38	1,07	42	14	199	6	15	95,5	23	33	44	1577
28,00	ZTR615SPH832_0280 MEL	3000	6000	≤48	1,07	42	14	199	6	15	95,5	23	33	44	1577
35,00	ZTR615SPH832_0350 ME	3000	6000	≤38	0,86	42	14	203	6	15	95,5	30	33	44	1577
35,00	ZTR615SPH832_0350 MEL	3000	6000	≤48	0,86	42	14	203	6	15	95,5	30	33	44	1577
40,00	ZTR615SPH832_0400 ME	3000	6000	≤38	0,75	42	14	196	6	15	95,5	23	33	44	1577
40,00	ZTR615SPH832_0400 MEL	3000	6000	≤48	0,75	42	14	196	6	15	95,5	23	33	44	1577
50,00	ZTR615SPH832_0500 ME	3000	6000	≤38	0,60	42	14	201	6	15	95,5	33	33	44	1577
50,00	ZTR615SPH832_0500 MEL	3000	6000	≤48	0,60	42	14	201	6	15	95,5	33	33	44	1577
70,00	ZTR615SPH832_0700 ME	3000	6000	≤38	0,43	42	14	193	6	15	95,5	30	33	44	1577
70,00	ZTR615SPH832_0700 MEL	3000	6000	≤48	0,43	42	14	193	6	15	95,5	30	33	44	1577
100,0	ZTR615SPH832_1000 ME	3000	6000	≤38	0,30	42	14	178	6	15	95,5	22	29	44	1380
100,0	ZTR615SPH832_1000 MEL	3000	6000	≤48	0,30	42	14	178	6	15	95,5	22	29	44	1380
<b>ZTR5PH9 (F<sub>f2acc,max</sub> = 67 kN)</b>															
12,00	ZTR519SPH942_0120 ME	1800	3000	≤48	1,32	44	15	306	5	19	100,8	42	67	133	3360
12,00	ZTR519SPH942_0120 MEL	1800	3000	≤60	1,32	44	15	307	5	19	100,8	42	67	133	3360
16,00	ZTR519SPH942_0160 ME	2000	3500	≤48	1,15	44	15	305	5	19	100,8	47	67	133	3360
16,00	ZTR519SPH942_0160 MEL	2000	3500	≤60	1,15	44	15	306	5	19	100,8	47	67	133	3360
18,00	ZTR519SPH942_0180 ME	1800	3000	≤48	0,88	44	15	302	5	19	100,8	49	67	133	3360
18,00	ZTR519SPH942_0180 MEL	1800	3000	≤60	0,88	44	15	302	5	19	100,8	49	67	133	3360

i	Modelo	$n_{1\max DB}$ [min <sup>-1</sup> ]	$n_{1\max ZB}$ [min <sup>-1</sup> ]	d <sub>MW</sub> [mm]	v <sub>f2maxZB</sub> [m/s]	Δs [μm]	Δs <sub>red</sub> [μm]	C <sub>lin</sub> [N/μm]	m <sub>n</sub> [mm]	z	d <sub>0</sub> [mm]	F <sub>f2N</sub> [kN]	F <sub>f2acc</sub> [kN]	F <sub>f2NOT</sub> [kN]	M <sub>2acc</sub> [Nm]
<b>ZTR5PH9 (F<sub>f2acc,max</sub> = 67 kN)</b>															
20,00	ZTR519SPH942_0200 ME	2500	4000	≤48	1,06	44	15	305	5	19	100,8	50	67	133	3360
20,00	ZTR519SPH942_0200 MEL	2500	4000	≤60	1,06	44	15	305	5	19	100,8	50	67	133	3360
24,00	ZTR519SPH942_0240 ME	2000	3500	≤48	0,77	44	15	302	5	19	100,8	53	67	133	3360
24,00	ZTR519SPH942_0240 MEL	2000	3500	≤60	0,77	44	15	302	5	19	100,8	53	67	133	3360
28,00	ZTR519SPH942_0280 ME	2800	4500	≤48	0,85	44	15	303	5	19	100,8	54	67	133	3360
28,00	ZTR519SPH942_0280 MEL	2800	4500	≤60	0,85	44	15	304	5	19	100,8	54	67	133	3360
30,00	ZTR519SPH942_0300 ME	2500	4000	≤48	0,70	44	15	301	5	19	100,8	54	67	133	3360
30,00	ZTR519SPH942_0300 MEL	2500	4000	≤60	0,70	44	15	302	5	19	100,8	54	67	133	3360
32,00	ZTR519SPH942_0320 ME	2800	4500	≤48	0,74	44	15	301	5	19	100,8	54	67	133	3360
32,00	ZTR519SPH942_0320 MEL	2800	4500	≤60	0,74	44	15	301	5	19	100,8	54	67	133	3360
40,00	ZTR519SPH942_0400 ME	2800	4500	≤48	0,59	44	15	299	5	19	100,8	54	67	133	3360
40,00	ZTR519SPH942_0400 MEL	2800	4500	≤60	0,59	44	15	299	5	19	100,8	54	67	133	3360
42,00	ZTR519SPH942_0420 ME	2800	4500	≤48	0,57	44	15	301	5	19	100,8	54	67	133	3360
42,00	ZTR519SPH942_0420 MEL	2800	4500	≤60	0,57	44	15	301	5	19	100,8	54	67	133	3360
48,00	ZTR519SPH942_0480 ME	2800	4500	≤48	0,50	44	15	300	5	19	100,8	54	67	133	3360
48,00	ZTR519SPH942_0480 MEL	2800	4500	≤60	0,50	44	15	300	5	19	100,8	54	67	133	3360
60,00	ZTR519SPH942_0600 ME	2800	4500	≤48	0,40	44	15	299	5	19	100,8	54	67	133	3360
60,00	ZTR519SPH942_0600 MEL	2800	4500	≤60	0,40	44	15	299	5	19	100,8	54	67	133	3360
<b>ZTR6PH9 (F<sub>f2acc,max</sub> = 56 kN)</b>															
12,00	ZTR616SPH942_0120 ME	1800	3000	≤48	1,33	44	15	312	6	16	101,9	42	56	112	2844
12,00	ZTR616SPH942_0120 MEL	1800	3000	≤60	1,33	44	15	313	6	16	101,9	42	56	112	2844
16,00	ZTR616SPH942_0160 ME	2000	3500	≤48	1,17	44	15	311	6	16	101,9	46	56	112	2844
16,00	ZTR616SPH942_0160 MEL	2000	3500	≤60	1,17	44	15	312	6	16	101,9	46	56	112	2844
18,00	ZTR616SPH942_0180 ME	1800	3000	≤48	0,89	44	15	308	6	16	101,9	48	56	112	2844
18,00	ZTR616SPH942_0180 MEL	1800	3000	≤60	0,89	44	15	308	6	16	101,9	48	56	112	2844
20,00	ZTR616SPH942_0200 ME	2500	4000	≤48	1,07	44	15	311	6	16	101,9	49	56	112	2844
20,00	ZTR616SPH942_0200 MEL	2500	4000	≤60	1,07	44	15	311	6	16	101,9	49	56	112	2844
24,00	ZTR616SPH942_0240 ME	2000	3500	≤48	0,78	44	15	308	6	16	101,9	53	56	112	2844
24,00	ZTR616SPH942_0240 MEL	2000	3500	≤60	0,78	44	15	308	6	16	101,9	53	56	112	2844
28,00	ZTR616SPH942_0280 ME	2800	4500	≤48	0,86	44	15	310	6	16	101,9	53	56	112	2844
28,00	ZTR616SPH942_0280 MEL	2800	4500	≤60	0,86	44	15	310	6	16	101,9	53	56	112	2844
30,00	ZTR616SPH942_0300 ME	2500	4000	≤48	0,71	44	15	307	6	16	101,9	53	56	112	2844
30,00	ZTR616SPH942_0300 MEL	2500	4000	≤60	0,71	44	15	308	6	16	101,9	53	56	112	2844
32,00	ZTR616SPH942_0320 ME	2800	4500	≤48	0,75	44	15	307	6	16	101,9	53	56	112	2844
32,00	ZTR616SPH942_0320 MEL	2800	4500	≤60	0,75	44	15	307	6	16	101,9	53	56	112	2844
40,00	ZTR616SPH942_0400 ME	2800	4500	≤48	0,60	44	15	305	6	16	101,9	53	56	112	2844
40,00	ZTR616SPH942_0400 MEL	2800	4500	≤60	0,60	44	15	305	6	16	101,9	53	56	112	2844
42,00	ZTR616SPH942_0420 ME	2800	4500	≤48	0,57	44	15	307	6	16	101,9	53	56	112	2844
42,00	ZTR616SPH942_0420 MEL	2800	4500	≤60	0,57	44	15	307	6	16	101,9	53	56	112	2844
48,00	ZTR616SPH942_0480 ME	2800	4500	≤48	0,50	44	15	306	6	16	101,9	53	56	112	2844
48,00	ZTR616SPH942_0480 MEL	2800	4500	≤60	0,50	44	15	306	6	16	101,9	53	56	112	2844
60,00	ZTR616SPH942_0600 ME	2800	4500	≤48	0,40	44	15	305	6	16	101,9	53	56	112	2844
60,00	ZTR616SPH942_0600 MEL	2800	4500	≤60	0,40	44	15	305	6	16	101,9	53	56	112	2844

## 5.3 Esquemas de dimensiones

Este capítulo contiene la información sobre las dimensiones de los accionamientos de cremallera con adaptadores de motor.

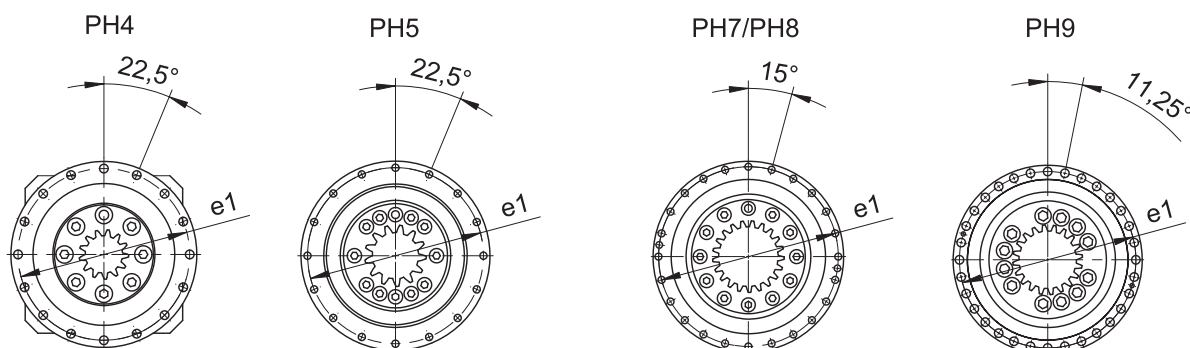
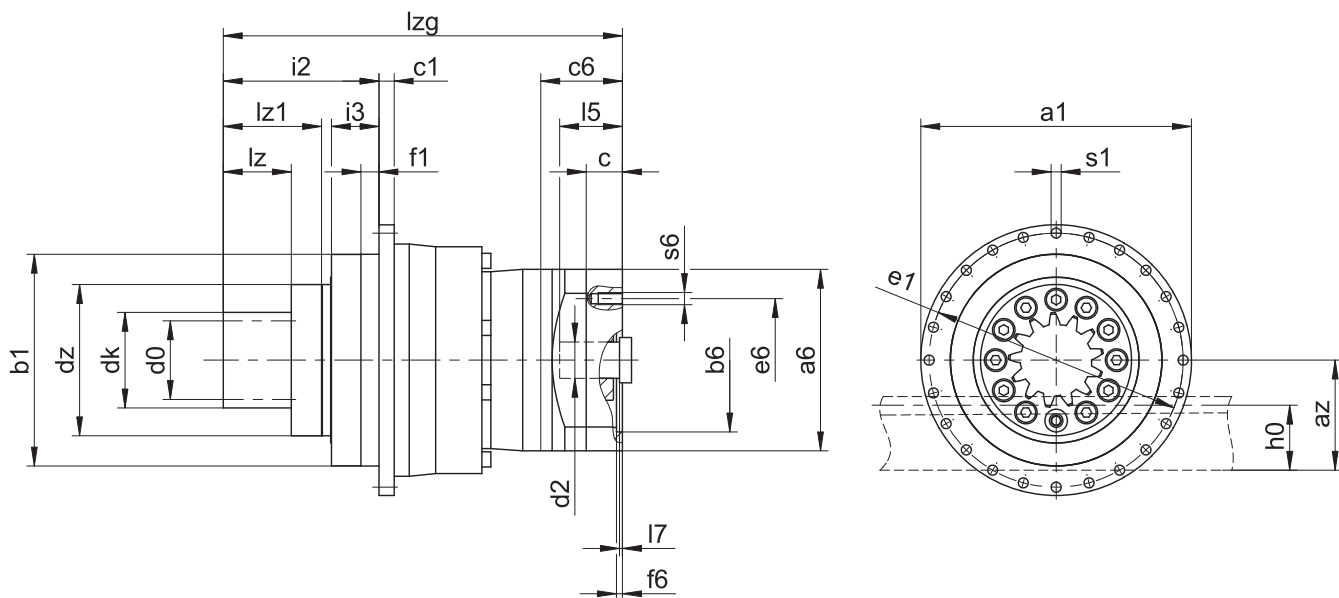
La medida  $a_z$  en las tablas de dimensiones es válida para cremalleras STOBER. En general se aplica lo siguiente:  $a_z = \frac{1}{2} d_0 + h_0 + x * m_n$

Piñón del accionamiento de cremallera con dentado helicoidal (ascendente a la izquierda  $19^{\circ} 31' 42''$ ). La calidad del dentado del piñón es 5.

Las tolerancias de fundición o bien la suma de las tolerancias individuales pueden provocar que las medidas sobrepasen las especificaciones de ISO 2768-mK.

Nos reservamos el derecho de realizar cambios en las dimensiones en pro del desarrollo tecnológico.

Los modelos 3D de nuestros accionamientos estándar se pueden descargar en <https://configurator.stober.de/en-US/>.



**Medidas salida**

Modelo	mn	$\varnothing a1$	az	$\varnothing b1$	c1	d0	dk	dz	$\varnothing e1$	f1	h0	i2	i3	lz	lz1	$\varnothing s1$	x
ZTR212SPH4_	2	118	35,73	90 <sub>h7</sub>	7	25,47	31,5	63	109	10	22	71,0	23,5	26,0	41,0	5,5	0,50
ZTR216SPH4_	2	118	38,98	90 <sub>h7</sub>	7	33,95	38,0	63	109	10	22	71,0	23,5	26,0	41,0	5,5	0,00
ZTR219SPH5_	2	145	42,16	110 <sub>h7</sub>	8	40,32	44,3	80	135	12	22	70,0	22,5	26,0	41,0	5,5	0,00
ZTR223SPH5_	2	145	46,40	110 <sub>h7</sub>	8	48,81	52,8	80	135	12	22	70,0	22,5	26,0	41,0	5,5	0,00
ZTR314SPH5_	3	145	49,18	110 <sub>h7</sub>	8	44,56	52,4	80	135	12	26	76,5	22,5	32,5	47,5	5,5	0,30
ZTR223SPH7_	2	179	46,40	140 <sub>h7</sub>	10	48,81	52,8	100	168	12	22	84,0	31,5	26,0	46,0	6,6	0,00
ZTR316SPH7_	3	179	51,46	140 <sub>h7</sub>	10	50,93	56,9	100	168	12	26	90,5	31,5	32,5	52,5	6,6	0,00
ZTR319SPH7_	3	179	56,24	140 <sub>h7</sub>	10	60,48	66,5	100	168	12	26	90,5	31,5	32,5	52,5	6,6	0,00
ZTR412SPH7_	4	179	62,46	140 <sub>h7</sub>	10	50,93	62,9	100	168	12	35	103,0	31,5	45,0	65,0	6,6	0,50
ZTR332SPH8_	3	247	76,93	200 <sub>h7</sub>	12	101,86	107,9	148	233	15	26	107,5	41,5	32,5	57,5	9,0	0,00
ZTR417SPH8_	4	247	71,08	200 <sub>h7</sub>	12	72,15	80,2	148	233	15	35	120,0	41,5	45,0	70,0	9,0	0,00
ZTR420SPH8_	4	247	77,44	200 <sub>h7</sub>	12	84,88	92,9	148	233	15	35	120,0	41,5	45,0	70,0	9,0	0,00
ZTR518SPH8_	5	247	81,75	200 <sub>h7</sub>	12	95,49	105,5	148	233	15	34	130,0	41,5	55,0	80,0	9,0	0,00
ZTR615SPH8_	6	247	90,75	200 <sub>h7</sub>	12	95,49	107,5	148	233	15	43	140,0	41,5	65,0	90,0	9,0	0,00
ZTR519SPH9_	5	300	84,40	255 <sub>h7</sub>	18	100,80	110,8	187	280	20	34	155,0	54,0	55,0	89,0	13,5	0,00
ZTR616SPH9_	6	300	93,93	255 <sub>h7</sub>	18	101,86	113,9	187	280	20	43	165,0	54,0	65,0	99,0	13,5	0,00

**Ejemplos de medidas de conexión del motor + longitud total**

Modelo	$\varnothing b6$	$\varnothing e6$	$\varnothing d2max$	l5	$\square a6$	c	c6	f6	l7	l <sub>zg</sub>	s6
ZTR2_PH431_ME	95,0 <sup>H7</sup>	115	24	41	100	21	42,5	4,0	3,5	154,5	M8
ZTR2_PH432_ME	60,0 <sup>H7</sup>	75	19	41	75	18	41,5	3,5	4,0	191,5	M5
ZTR2_PH531_ME	110,0 <sup>H7</sup>	130	32	51	120	24	54,0	4,0	4,5	173,0	M8
ZTR3_PH531_ME	110,0 <sup>H7</sup>	130	32	51	120	24	54,0	4,0	4,5	179,5	M8
ZTR2_PH532_ME	95,0 <sup>H7</sup>	115	24	41	100	21	42,5	4,0	3,5	202,0	M8
ZTR3_PH532_ME	95,0 <sup>H7</sup>	115	24	41	100	21	42,5	4,0	3,5	208,5	M8
ZTR2_PH731_ME	130,0 <sup>H7</sup>	165	38	61	150	26	66,0	5,5	4,5	207,0	M10
ZTR3_PH731_ME	130,0 <sup>H7</sup>	165	38	61	150	26	66,0	5,5	4,5	213,5	M10
ZTR4_PH731_ME	130,0 <sup>H7</sup>	165	38	61	150	26	66,0	5,5	4,5	226,0	M10
ZTR2_PH732_ME	110,0 <sup>H7</sup>	130	32	51	120	24	54,0	4,0	4,5	245,0	M8
ZTR3_PH732_ME	110,0 <sup>H7</sup>	130	32	51	120	24	54,0	4,0	4,5	251,5	M8
ZTR4_PH732_ME	110,0 <sup>H7</sup>	130	32	51	120	24	54,0	4,0	4,5	264,0	M8
ZTR3_PH831_ME	180,0 <sup>H7</sup>	215	48	83	204	35	80,5	5,5	8,5	275,5	M12
ZTR4_PH831_ME	180,0 <sup>H7</sup>	215	48	83	204	35	80,5	5,5	8,5	288,0	M12
ZTR5_PH831_ME	180,0 <sup>H7</sup>	215	48	83	204	35	80,5	5,5	8,5	298,0	M12
ZTR6_PH831_ME	180,0 <sup>H7</sup>	215	48	83	204	35	80,5	5,5	8,5	308,0	M12
ZTR3_PH832_ME	130,0 <sup>H7</sup>	165	38	61	150	26	66,0	5,5	4,5	320,5	M10
ZTR4_PH832_ME	130,0 <sup>H7</sup>	165	38	61	150	26	66,0	5,5	4,5	333,0	M10
ZTR5_PH832_ME	130,0 <sup>H7</sup>	165	38	61	150	26	66,0	5,5	4,5	343,0	M10
ZTR6_PH832_ME	130,0 <sup>H7</sup>	165	38	61	150	26	66,0	5,5	4,5	353,0	M10
ZTR5_PH942_ME	180,0 <sup>H7</sup>	215	48	83	204	35	80,5	5,5	8,5	423,5	M12
ZTR6_PH942_ME	180,0 <sup>H7</sup>	215	48	83	204	35	80,5	5,5	8,5	433,5	M12

La tabla de arriba contiene ejemplos de medidas de la conexión del motor para el adaptador de motor ME.

Tenga en cuenta que las medidas c6, l5 y l<sub>zg</sub> se alargan correspondientemente cuando se alarga la medida c.

Encontrará otras medidas de conexión del motor para los adaptadores de motor ME, MEL y MF en el STO-BER Configurator en <https://configurator.stoeber.de/en-US/>. Allí podrá descargar directamente un modelo 3D de su accionamiento.

## 5.4 Denominación de tipo

Este capítulo contiene información sobre la denominación de tipo y las opciones pertinentes.

Los datos de pedido que no forman parte de la denominación de tipo se incluyen al final del capítulo.

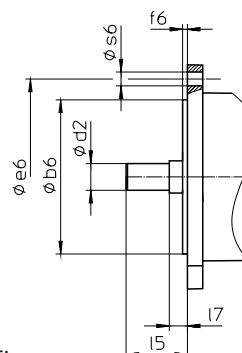
### Código de ejemplo

Z	TR	3	19	S	PH	7	3	1	S	F	S	S	0050	ME
---	----	---	----	---	----	---	---	---	---	---	---	---	------	----

### Explicación

Código	Denominación	Versión
Z	Tipo	Accionamiento de cremallera
TR	Versión	Piñón abridado atornillado
3	Módulo estándar	$m_n = 3 \text{ mm}$ (ejemplo)
19	Número de dientes	$z = 19$ (ejemplo)
S	Dentado	con dentado helicoidal (ascendente a la izquierda $19^\circ 31' 42''$ )
PH	Tipo	Reductor planetario
7	Tamaño	7 (ejemplo)
3	Generación	Generación 3
4		Generación 4
1	Etapas	1 etapa
2		2 etapas
S	Carcasa	Estándar
F	Eje	Eje con brida
S	Rodamiento	Apoyo estándar
V		Apoyo reforzado (PH3 – PH5)
S	Juego de giro	Estándar
R		Reducido
0050	Número característico de reducción ( $i \times 10$ )	$i = 5$ (ejemplo)
ME	Adaptador de motor	Adaptador de motor con acoplamiento EasyAdapt
MEL		Adaptador de motor con acoplamiento EasyAdapt para motores grandes
MF		Adaptador de motor con acoplamiento FlexiAdapt
MB <sup>1</sup>		Adaptador de motor ServoStop con freno

Para completar la denominación de tipo, indique también la siguiente información al hacer el pedido:



- Tipo de motor o dimensiones del motor:

Para elegir la conexión de motor adecuada, seleccione su motor o las dimensiones de la conexión del motor en el STOBER Configurator en <https://configurator.stoeber.de/en-US/>.

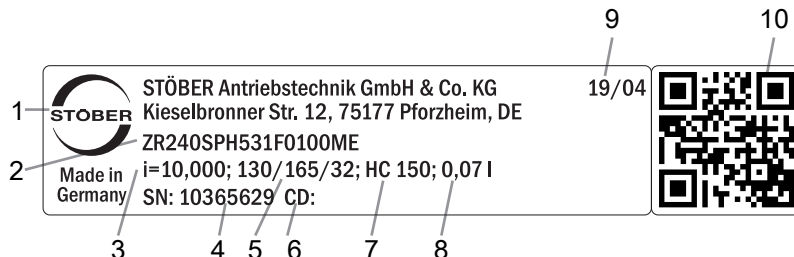
- Para los retenes radiales para ejes de NBR o FKM en la salida (opcional), véase el capítulo [▶ 5.6.3]
- Concentricidad  $\leq 10 \mu\text{m}$  (opcional)
- Con modo de inversión del eje de salida de  $\pm 20^\circ$  hasta  $\pm 90^\circ$  y montaje horizontal, bajo petición
- PH531, PH7 – PH9: sellado doble para adaptador de motor (opcional)
- Llave de vaso para el montaje del motor en el reductor mediante el adaptador de motor ME/MEL/MF (opcional)

Este catálogo de productos incluye toda la información relacionada con los accionamientos de cremallera con adaptador de motor.

Encontrará todas las opciones de entrada disponibles bajo petición en el capítulo [▶ 5.5.1].

## 5.4.1 Placa de características

En la siguiente figura se explica a modo de ejemplo la placa de características de un reductor.



Código	Denominación
1	Denominación del fabricante
2	Denominación de tipo
3	Transmisión del reductor
4	Número de serie del reductor
5	Medida del adaptador de motor (diámetro del borde de ajuste/círculo de agujeros/eje del motor)
6	Datos específicos del cliente
7	Especificación del lubricante
8	Cantidad de llenado de lubricante
9	Fecha de fabricación (año/semana)
10	Código QR (enlace a la información de producto)

### 5.4.1.1 Documentos aplicables

Puede ver o descargar los documentos aplicables para el producto introduciendo el número de serie que aparece en la placa de características del producto en la siguiente dirección de Internet:

<https://id.stober.com>

Alternativamente, con un dispositivo móvil adecuado puede escanear el código QR de la placa de características del producto y de este modo acceder a los documentos aplicables.

## 5.5 Descripción del producto

### 5.5.1 Opciones de entrada

Este capítulo incluye todas las opciones de entrada disponibles:



N.º de id. del catálogo de productos 443137\_es

N.º de id. del catálogo de productos 443286\_en

Bajo petición

Bajo petición

Bajo petición

Puede encontrar los catálogos de productos correspondientes en <http://www.stoeber.de/es/downloads/>

Introduzca el n.º de id. del catálogo de productos en el campo Termine di ricercaérmino de búsqueda.

## 5.5.2 Adaptador de motor con acoplamiento EasyAdapt (ME/MEL)

Este capítulo contiene la descripción del acoplamiento EasyAdapt.

**Propiedades:**

- Montaje sencillo y rápido del motor
- Acoplamiento de compresión robusto de una sola pieza con función de expansión
- Momentos de inercia mínimos para el máximo dinamismo
- Equilibrado para un funcionamiento suave y sin vibraciones, incluso con un régimen de revoluciones elevado
- Amplia selección de diámetros y longitudes del eje del motor
- Sin fallos gracias al centrado exacto del motor
- Si el juego de giro es reducido, el alojamiento del eje del motor debe estar dispuesto axialmente sin holgura



Fig. 1: Acoplamiento EasyAdapt

## 5.5.3 Adaptador de motor con acoplamiento FlexiAdapt (MF)

Este capítulo contiene la descripción del acoplamiento FlexiAdapt.

**Propiedades:**

- Montaje sencillo y rápido del motor
- Acoplamiento de tipo fuelle robusto y soldado por láser con función de expansión
- Con compensación longitudinal térmica integrada, compensa las dilataciones lineales del eje del motor
- Eje del motor desacoplado de las fuerzas axiales
- Equilibrado para un funcionamiento suave y sin vibraciones, incluso con un régimen de revoluciones elevado
- Amplia selección de diámetros y longitudes del eje del motor
- Sin fallos gracias al centrado exacto del motor



Fig. 2: Acoplamiento FlexiAdapt

## 5.5.4 Cremallera

La cremallera empleada debe tener dentado ascendente a la derecha ( $19^{\circ} 31' 42''$ ) y no debe superarse la capacidad de carga.

Cuando utilice una cremallera de STOBER, tenga en cuenta también la planificación de proyecto en el capítulo [▶ 13.6].

## 5.5.5 Condiciones de montaje

Los pares de giro y fuerzas indicados en este catálogo de productos son válidos en las siguientes condiciones:

- Si se utilizan tornillos de la clase de resistencia 12.9 para fijar la carcasa del reductor en el lado de la máquina.
- Si la carcasa del reductor se adapta en el borde de ajuste  $\phi$ bz. La adaptación en el lado de la máquina debe ser H7.

## 5.5.6 Lubricantes

STOBER carga los reductores con la cantidad y el tipo de lubricante que se indican en la placa de características.

Lubricantes para el uso en la industria alimentaria disponibles bajo petición.

### 5.5.6.1 Lubricación del accionamiento de cremallera

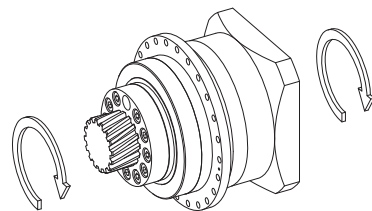
Asegure una lubricación permanente con los lubricantes recomendados en el capítulo [▶ 13.5.1].

## 5.5.7 Otras características del producto

Característica	Valor
Temperatura máx. admisible del reductor (en la superficie del reductor)	$\leq 90^{\circ}\text{C}$
Pintura	Negro RAL 9005
Directiva ATEX 2014/34/UE (opcional)	No adecuado.
Categoría de protección: <sup>2</sup>	
Reductor planetario	IP65
Piñón/Cremallera	IPXX

## 5.5.8 Sentido de giro

La entrada y la salida giran en la misma dirección.



## 5.6 Diseño

Utilice nuestro software de diseño SERVOSoft para proyectar sus accionamientos. Descargue SERVOSoft gratuitamente tras registrarse en <https://www.stoeber.de/es/servicios/informacion-servosoft/>.

Este es el método más cómodo y seguro para seleccionar el accionamiento, ya que aquí se representa y evalúa la curva completa de par de giro-régimen de revoluciones de la aplicación en la curva característica del motorreductor.

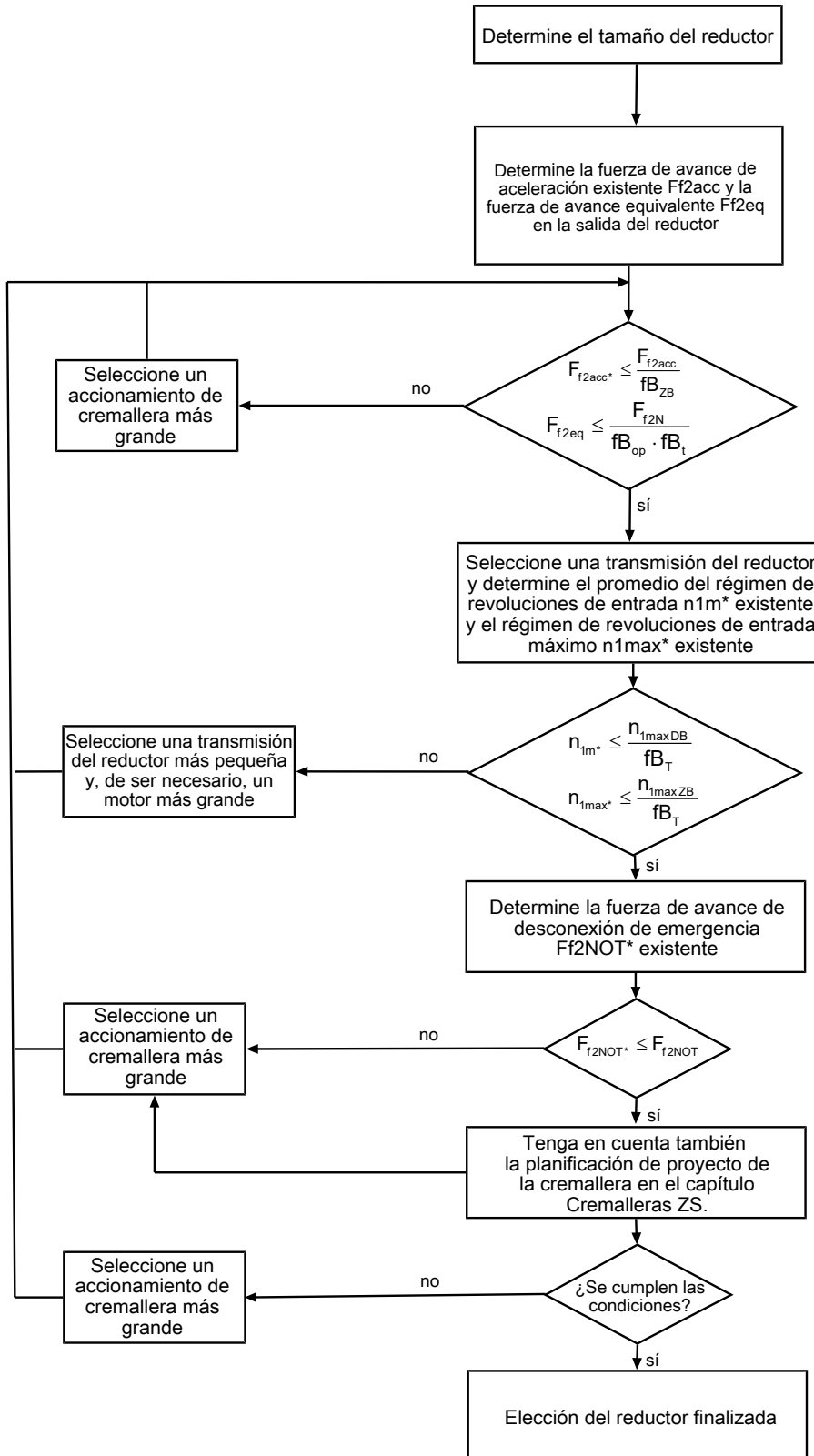
En este capítulo solo se pueden tener en consideración valores límite para puntos de trabajo concretos si la elección del accionamiento se lleva a cabo manualmente.

<sup>2</sup>tenga en cuenta la categoría de protección de todos los componentes.

Los símbolos de fórmula correspondientes a los valores que están realmente presentes en la aplicación están marcados con un asterisco \*.

Los símbolos de las fórmulas se explican en el capítulo [► 14.1].

## 5.6.1 Elección del accionamiento

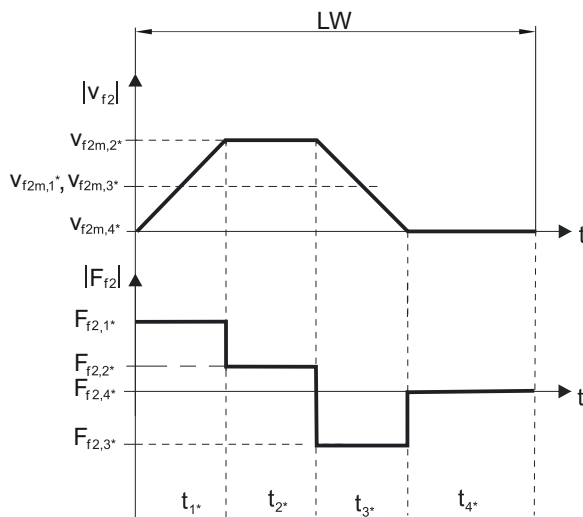


Consulte los valores para  $i$ ,  $n_{1\text{maxDB}}$ ,  $n_{1\text{maxZB}}$ ,  $F_{f2acc}$ ,  $F_{f2N}$  y  $F_{f2NOT}$  en las tablas de selección.

Consulte los valores para  $fB_T$ ,  $fB_{op}$ ,  $fB_t$  y  $fB_{ZB}$  en las tablas correspondientes de este capítulo.

### Ejemplo de servicio cíclico

Los siguientes cálculos se refieren a la representación de la potencia en la salida de acuerdo con el siguiente ejemplo:



#### Cálculo de la fuerza de avance de aceleración máxima existente

$$F_{f2acc*} = m \cdot a \cdot F_L$$

#### Cálculo del promedio del régimen de revoluciones de entrada existente

$$n_{fm*} = \frac{v_{f2m*} \cdot i}{d_0 \cdot \pi}$$

$$v_{f2m*} = \frac{|v_{f2m,1*}| \cdot t_{1*} + \dots + |v_{f2m,n*}| \cdot t_{n*}}{t_{1*} + \dots + t_{n*}}$$

Si  $t_{1*} + \dots + t_{3*} \geq 6$  min, determine  $v_{2m*}$  sin la pausa  $t_{4*}$ .

Consulte los valores para la transmisión del reductor i en las tablas de selección.

#### Cálculo de la fuerza de avance de desconexión de emergencia existente

$$F_{f2NOT*} = m \cdot a_{NOT} + F_L$$

#### Cálculo de la fuerza de avance equivalente existente

$$F_{f2eq*} = \sqrt[3]{\frac{|v_{f2m,1*}| \cdot t_{1*} \cdot |F_{f2,1*}|^3 + \dots + |v_{f2m,n*}| \cdot t_{n*} \cdot |F_{f2,n*}|^3}{|v_{f2m,1*}| \cdot t_{1*} + \dots + |v_{f2m,n*}| \cdot t_{n*}}}$$

#### Factores de servicio

Modo de servicio	$f_{B_{op}}$
Servicio continuo fijo	1,00
Servicio cíclico	1,00
Servicio cíclico con carga reversible	1,00

Tiempo de funcionamiento	$f_B_t$
Tiempo de funcionamiento diario $\leq 8$ h	1,00
Tiempo de funcionamiento diario $\leq 16$ h	1,15
Tiempo de funcionamiento diario $\leq 24$ h	1,20

Servicio cíclico	$f_{B_{zb}}$
$\leq 1000$ cambios de carga/hora (LW/h)	1,00
$> 1000$ cambios de carga/hora (LW/h)	1,15

Temperatura		$f_{B_T}$
Refrigeración del motor	Temperatura ambiente	
Motor con ventilación externa	≤ 20 °C	0,9
	≤ 30 °C	1,0
	≤ 40 °C	1,15
Motor con refrigeración por convección	≤ 20 °C	1,0
	≤ 30 °C	1,1
	≤ 40 °C	1,25

**Indicaciones**

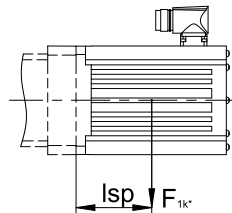
- No se debe exceder la temperatura máxima admisible del reductor (véase el capítulo Otras características del producto), ya que se podrían producir daños.
- En las situaciones de frenado con régimen de revoluciones máximo (p. ej., si se produce una caída de tensión o durante la instalación de la máquina), se deben tener en cuenta las fuerzas de avance admisibles del reductor ( $F_{f2acc}$ ,  $F_{f2NOT}$ ) que se indican en las tablas de selección.

## 5.6.2 Pares de vuelco admisibles en la entrada del reductor

Si va a montar el motor en posición horizontal, compruebe antes del montaje en un reductor STOBER que no se supere el par de vuelco admisible en la entrada del reductor. En este capítulo encontrará información al respecto.

Calcule el par de vuelco existente según sigue:

$$M_{1k*} = F_{1k*} \cdot l_{sp} \leq M_{1k}$$



Modelo	$M_{1k}$ [Nm]
PH331_ME	20
PH332_ME	10
PH431_ME	40
PH432_ME	20
PH531_ME	80
PH532_ME	40
PH731_ME	200
PH732_ME	80
PH831_ME	400
PH832_ME	200
PH942_ME	400
PH1042_ME	400

Los valores también son válidos para los adaptadores de motor MEL y MF.

## 5.6.3 Retenes radiales para ejes recomendados

Para un tiempo de conexión > 60 % y temperaturas ambiente elevadas se recomiendan retenes radiales para ejes de FKM en la salida.

Propiedades:

- Excelente resistencia a la temperatura
- Gran estabilidad química
- Muy buena resistencia al envejecimiento
- Excelente resistencia en aceites y grasas
- Uso en las industrias alimentaria, farmacéutica y de bebidas

### **Seguridad contra fugas**

Nuestros reductores están equipados con retenes radiales para ejes de alta calidad y verificados en cuanto a estanqueidad. Sin embargo, resulta imposible excluir por completo la posibilidad de que se produzca alguna fuga durante toda la vida útil de los reductores. Si utiliza los reductores con materiales no compatibles con los lubricantes, se deberán tomar medidas para impedir que puedan entrar en contacto directamente con el lubricante del reductor en caso de producirse una fuga.

## **5.7 Otros documentos**

Encontrará más documentos relacionados con el producto en  
<http://www.stoeber.de/es/downloads/>

Introduzca el n.º de id. de la documentación en el campo Termine di ricercaérmino de búsqueda.

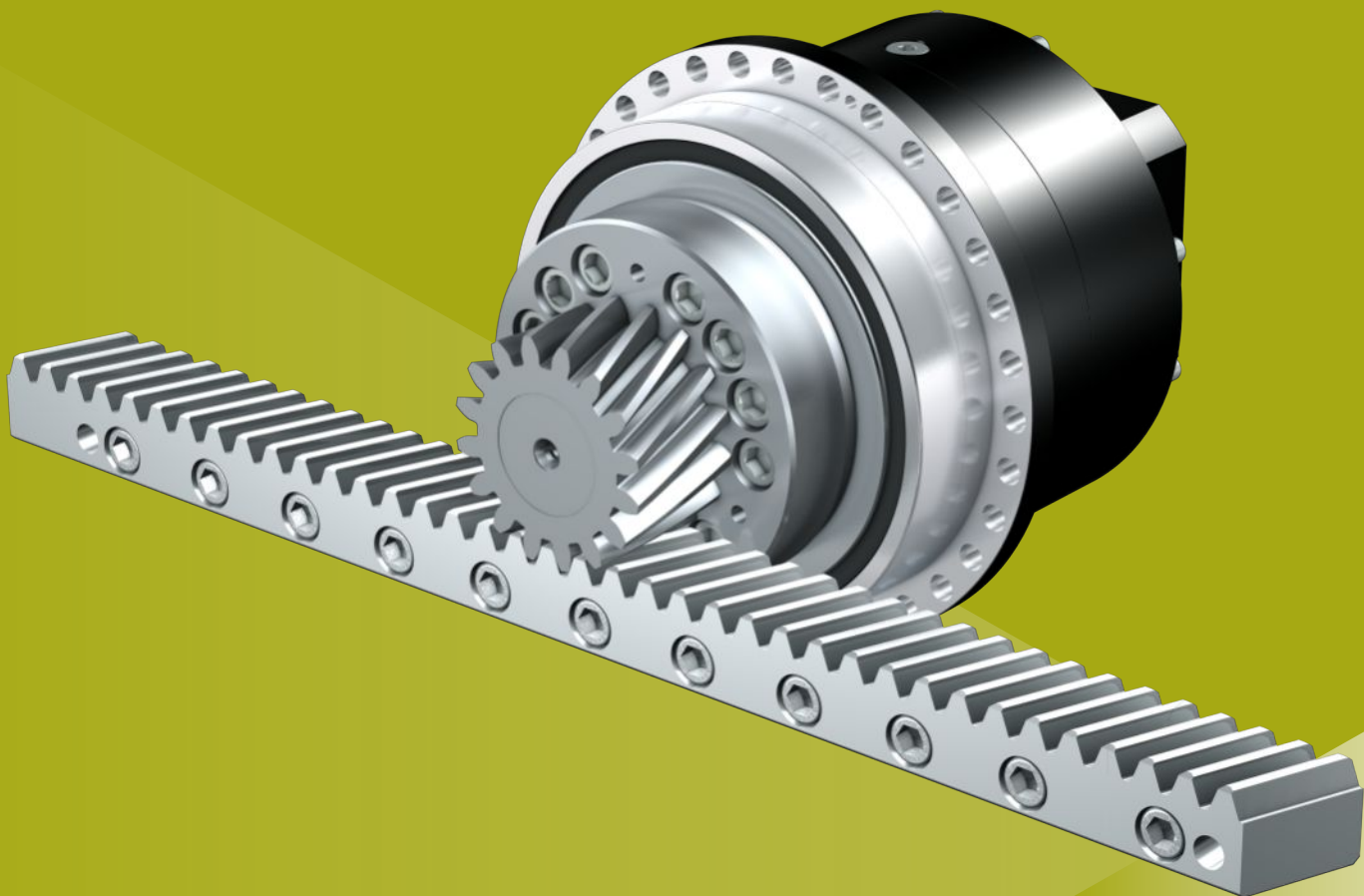
Documentación	N.º de id.
Instrucciones de operación reductores, motorreductores PH33 – PH83, PH94 – PH104	443354_es
Instrucciones de operación cremalleras	443392_es



## **6 Accionamientos de cremallera ZTRPHV**

### **Índice**

6.1	Vista general .....	82
6.2	Tablas de selección.....	83
6.3	Esquemas de dimensiones .....	84
6.4	Denominación de tipo.....	85
6.4.1	Placa de características .....	87
6.5	Descripción del producto .....	87
6.5.1	Opciones de entrada .....	87
6.5.2	Adaptador de motor con acoplamiento EasyAdapt (ME/MEL) .....	88
6.5.3	Cremallera .....	88
6.5.4	Condiciones de montaje.....	88
6.5.5	Lubricantes.....	88
6.5.6	Otras características del producto .....	89
6.5.7	Sentido de giro .....	89
6.6	Diseño .....	89
6.6.1	Elección del accionamiento.....	90
6.6.2	Pares de vuelco admisibles en la entrada del reductor.....	92
6.6.3	Retenes radiales para ejes recomendados.....	92
6.7	Otros documentos .....	93



## 6

# Accionamientos de cremallera

# ZTRPHV

## 6.1 Vista general

Reductores planetarios de precisión de alto rendimiento con piñón abridado atornillado

### Características

Densidad de potencia	★★★★★
Juego lineal	★★★★★
Categoría de precio	\$\$\$\$
Suavidad de funcionamiento	★★★★★
Rigidez lineal	★★★★★
Momento de inercia	★★★★★
Solución de accionamiento lista para el montaje	✓
Piñón, calidad del dentado 5 (DIN 3962)	✓
Dentado helicoidal	✓
Templados y pulidos	✓
Concentricidad ≤ 10 µm (opcional)	✓

Leyenda ★★★★★ bueno | ★★★★★ excepcional  
€ Economy | \$\$\$ Premium

### Características técnicas

$m_n$	5 – 6 mm
$z$	16 – 19
$F_{f2acc}$	56 – 67 kN
$V_{f2maxZB}$	0,2 – 0,39 m/s
$\Delta s$	15 – 44 µm

## 6.2 Tablas de selección

Los datos técnicos especificados en las tablas de selección son válidos para:

- Montaje sin tensiones
- Lubricación permanente con los lubricantes recomendados en el capítulo Cremalleras [▶ 13.5.1]
- Piñón templado, con dentado helicoidal (ascendente a la izquierda  $19^{\circ} 31' 42''$ ), calidad del dentado 5
- Alturas de instalación hasta 1000 m sobre el nivel del mar
- Temperaturas ambiente de 0 °C a 40 °C
- Sin tener en cuenta la potencia límite térmica

El resto de características técnicas se encuentran en <https://configurator.stoeber.de/en-US/>.

Los símbolos de las fórmulas se explican en el capítulo [▶ 14.1].

i	Modelo	$n_{1\max DB}$ [min <sup>-1</sup> ]	$n_{1\max ZB}$ [min <sup>-1</sup> ]	$d_{MW}$ [mm]	$v_{f2\max ZB}$ [m/s]	$\Delta s$ [μm]	$\Delta s_{red}$ [μm]	$C_{lin}$ [N/μm]	$m_n$ [mm]	z	$d_0$ [mm]	$F_{f2N}$ [kN]	$F_{f2acc}$ [kN]	$F_{f2NOT}$ [kN]	$M_{2acc}$ [Nm]
<b>ZTR5PHV9 (<math>F_{f2acc,max} = 67</math> kN)</b>															
61,00	ZTR519SPHV943_0610 ME	2500	4500	$\leq 38$	0,39	44	15	284	5	19	100,8	50	67	133	3360
61,00	ZTR519SPHV943_0610 MEL	2500	4500	$\leq 48$	0,39	44	15	284	5	19	100,8	50	67	133	3360
91,00	ZTR519SPHV943_0910 ME	2500	4500	$\leq 38$	0,26	44	15	283	5	19	100,8	50	67	133	3360
91,00	ZTR519SPHV943_0910 MEL	2500	4500	$\leq 48$	0,26	44	15	283	5	19	100,8	50	67	133	3360
121,0	ZTR519SPHV943_1210 ME	2500	4500	$\leq 38$	0,20	44	15	280	5	19	100,8	50	67	133	3360
121,0	ZTR519SPHV943_1210 MEL	2500	4500	$\leq 48$	0,20	44	15	280	5	19	100,8	50	67	133	3360
<b>ZTR6PHV9 (<math>F_{f2acc,max} = 56</math> kN)</b>															
61,00	ZTR616SPHV943_0610 ME	2500	4500	$\leq 38$	0,39	44	15	289	6	16	101,9	49	56	112	2844
61,00	ZTR616SPHV943_0610 MEL	2500	4500	$\leq 48$	0,39	44	15	289	6	16	101,9	49	56	112	2844
91,00	ZTR616SPHV943_0910 ME	2500	4500	$\leq 38$	0,26	44	15	288	6	16	101,9	49	56	112	2844
91,00	ZTR616SPHV943_0910 MEL	2500	4500	$\leq 48$	0,26	44	15	288	6	16	101,9	49	56	112	2844
121,0	ZTR616SPHV943_1210 ME	2500	4500	$\leq 38$	0,20	44	15	285	6	16	101,9	49	56	112	2844
121,0	ZTR616SPHV943_1210 MEL	2500	4500	$\leq 48$	0,20	44	15	285	6	16	101,9	49	56	112	2844

## 6.3 Esquemas de dimensiones

Este capítulo contiene la información sobre las dimensiones de los accionamientos de cremallera con adaptadores de motor.

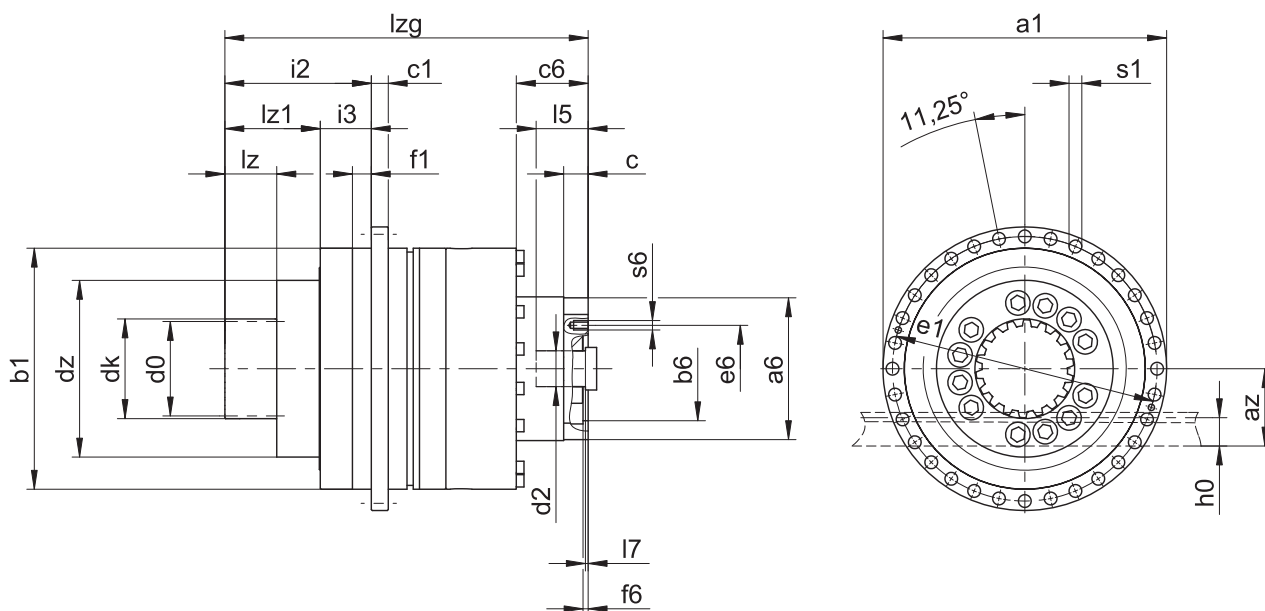
La medida  $az$  en las tablas de dimensiones es válida para cremalleras STOBER. En general se aplica lo siguiente:  $az = \frac{1}{2} d_0 + h_0 + x * m_n$

Piñón del accionamiento de cremallera con dentado helicoidal (ascendente a la izquierda  $19^{\circ} 31' 42''$ ). La calidad del dentado del piñón es 5.

Las tolerancias de fundición o bien la suma de las tolerancias individuales pueden provocar que las medidas sobrepasen las especificaciones de ISO 2768-mK.

Nos reservamos el derecho de realizar cambios en las dimensiones en pro del desarrollo tecnológico.

Los modelos 3D de nuestros accionamientos estándar se pueden descargar en <https://configurator.stoeber.de/en-US/>.



### Medidas salida

Modelo	$m_n$	$\varnothing a_1$	$az$	$\varnothing b_1$	$c_1$	$d_0$	$d_k$	$d_z$	$\varnothing e_1$	$f_1$	$h_0$	$i_2$	$i_3$	$l_z$	$l_z1$	$\varnothing s_1$	$x$
ZTR519SPHV9_	5	300	84,40	255 <sub>h7</sub>	18	100,80	110,8	187	280	20	34	155	54	55	101	13,5	0,0
ZTR616SPHV9_	6	300	93,93	255 <sub>h7</sub>	18	101,86	113,9	187	280	20	43	165	54	65	111	13,5	0,0

### Ejemplos de medidas de conexión del motor + longitud total

Modelo	$\varnothing b_6$	$\varnothing e_6$	$\varnothing d_{2max}$	$l_5$	$\square a_6$	$c$	$c_6$	$f_6$	$l_7$	$l_zg$	$s_6$
ZTR5_PHV9_ME	130,0 <sup>H7</sup>	165	38	61	150	26	66	5,5	4,5	383	M10
ZTR6_PHV9_ME	130,0 <sup>H7</sup>	165	38	61	150	26	66	5,5	4,5	393	M10

La tabla de arriba contiene ejemplos de medidas de la conexión del motor para el adaptador de motor ME.

Tenga en cuenta que las medidas  $c_6$ ,  $l_5$  y  $l_zg$  se alargan correspondientemente cuando se alarga la medida  $c$ .

Encontrará las medidas de conexión del motor para los adaptadores de motor ME y MEL en el STOBER Configurador en <https://configurator.stoeber.de/en-US/>. Allí podrá descargar directamente un modelo 3D de su accionamiento.

## 6.4 Denominación de tipo

Este capítulo contiene información sobre la denominación de tipo y las opciones pertinentes.

Los datos de pedido que no forman parte de la denominación de tipo se incluyen al final del capítulo.

### Código de ejemplo

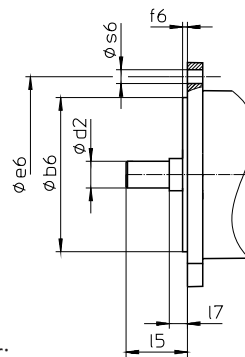
Z	TR	6	16	S	PHV	9	4	3	S	F	S	S	S	0910	ME
---	----	---	----	---	-----	---	---	---	---	---	---	---	---	------	----

### Explicación

Código	Denominación	Versión
Z	Tipo	Accionamiento de cremallera
TR	Versión	Piñón abridado atornillado
6	Módulo estándar	$m_n = 6 \text{ mm}$ (ejemplo)
16	Número de dientes	$z = 16$ (ejemplo)
S	Dentado	con dentado helicoidal (ascendente a la izquierda $19^\circ 31' 42''$ )
PHV	Tipo	Reductor planetario
9	Tamaño	9 (ejemplo)
4	Generación	Generación 4
3	Etapas	3 etapas
S	Carcasa	Estándar
F	Eje	Eje con brida
S	Rodamiento	Apoyo estándar
S	Juego de giro	Estándar
R		Reducido (PHV9)
0910	Número característico de reducción ( $i \times 10$ )	$i = 91$ (ejemplo)
ME	Adaptador de motor	Adaptador de motor con acoplamiento EasyAdapt
MEL		Adaptador de motor con acoplamiento EasyAdapt para motores grandes
MB <sup>1</sup>		Adaptador de motor ServoStop con freno

<sup>1</sup> Los detalles se encuentran en el catálogo de productos de reductores servo con freno ServoStop, ID 443234.

Para completar la denominación de tipo, indique también la siguiente información al hacer el pedido:



- Tipo de motor o dimensiones del motor:

Para elegir la conexión de motor adecuada, seleccione su motor o las dimensiones de la conexión del motor en el STOBER Configurator en  
<https://configurator.stoeber.de/en-US/>.

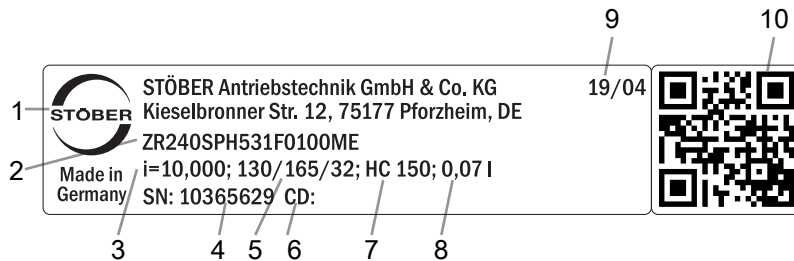
- Para los retenes radiales para ejes de NBR o FKM en la salida (opcional), véase el capítulo [\[▶ 6.6.3\]](#)
  - Concentricidad  $\leq 10 \mu\text{m}$  (opcional)
  - Con modo de inversión del eje de salida de  $\pm 20^\circ$  hasta  $\pm 90^\circ$  y montaje horizontal, bajo petición
  - Sellado doble para adaptador de motor (opcional)
  - Llave de vaso para el montaje del motor en el reductor a través del adaptador de motor ME/MEL (opcional)

Este catálogo de productos incluye toda la información relacionada con los accionamientos de cremallera con adaptador de motor.

Encontrará todas las opciones de entrada disponibles bajo petición en el capítulo [▶ 6.5.1].

## 6.4.1 Placa de características

En la siguiente figura se explica a modo de ejemplo la placa de características de un reductor.



Código	Denominación
1	Denominación del fabricante
2	Denominación de tipo
3	Transmisión del reductor
4	Número de serie del reductor
5	Medida del adaptador de motor (diámetro del borde de ajuste/círculo de agujeros/eje del motor)
6	Datos específicos del cliente
7	Especificación del lubricante
8	Cantidad de llenado de lubricante
9	Fecha de fabricación (año/semana)
10	Código QR (enlace a la información de producto)

### 6.4.1.1 Documentos aplicables

Puede ver o descargar los documentos aplicables para el producto introduciendo el número de serie que aparece en la placa de características del producto en la siguiente dirección de Internet:

<https://id.stober.com>

Alternativamente, con un dispositivo móvil adecuado puede escanear el código QR de la placa de características del producto y de este modo acceder a los documentos aplicables.

## 6.5 Descripción del producto

### 6.5.1 Opciones de entrada

Este capítulo incluye todas las opciones de entrada disponibles:

Adaptador de motor

Servomotor síncrono EZ



N.º de id. del catálogo de productos 443137\_es

N.º de id. del catálogo de productos 443286\_en

Puede encontrar los catálogos de productos correspondientes en <http://www.stoeber.de/es/downloads/>

Introduzca el n.º de id. del catálogo de productos en el campo Termine di ricercaérmino de búsqueda.

## 6.5.2 Adaptador de motor con acoplamiento EasyAdapt (ME/MEL)

Este capítulo contiene la descripción del acoplamiento EasyAdapt.

### Propiedades:

- Montaje sencillo y rápido del motor
- Acoplamiento de compresión robusto de una sola pieza con función de expansión
- Momentos de inercia mínimos para el máximo dinamismo
- Equilibrado para un funcionamiento suave y sin vibraciones, incluso con un régimen de revoluciones elevado
- Amplia selección de diámetros y longitudes del eje del motor
- Sin fallos gracias al centrado exacto del motor
- Si el juego de giro es reducido, el alojamiento del eje del motor debe estar dispuesto axialmente sin holgura



*Fig. 1: Acoplamiento EasyAdapt*

## 6.5.3 Cremallera

La cremallera empleada debe tener dentado ascendente a la derecha ( $19^{\circ} 31' 42''$ ) y no debe superarse la capacidad de carga.

Cuando utilice una cremallera de STOBER, tenga en cuenta también la planificación de proyecto en el capítulo [▶ 13.6].

## 6.5.4 Condiciones de montaje

Los pares de giro y fuerzas indicados en este catálogo de productos son válidos en las siguientes condiciones:

- Si se utilizan tornillos de la clase de resistencia 12.9 para fijar la carcasa del reductor en el lado de la máquina.
- Si la carcasa del reductor se adapta en el borde de ajuste  $\phi$ bz. La adaptación en el lado de la máquina debe ser H7.

## 6.5.5 Lubricantes

STOBER carga los reductores con la cantidad y el tipo de lubricante que se indican en la placa de características.

Lubricantes para el uso en la industria alimentaria disponibles bajo petición.

### 6.5.5.1 Lubricación del accionamiento de cremallera

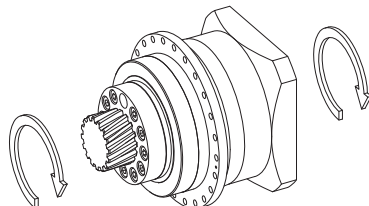
Asegure una lubricación permanente con los lubricantes recomendados en el capítulo [▶ 13.5.1].

## 6.5.6 Otras características del producto

Característica	Valor
Temperatura máx. admisible del reductor (en la superficie del reductor)	$\leq 90^{\circ}\text{C}$
Pintura	Negro RAL 9005
Directiva ATEX 2014/34/UE (opcional)	No adecuado.
Categoría de protección: <sup>2</sup>	
Reductor planetario	IP65
Piñón/Cremallera	IPXX

## 6.5.7 Sentido de giro

La entrada y la salida giran en la misma dirección.



## 6.6 Diseño

Utilice nuestro software de diseño SERVOsoft para proyectar sus accionamientos. Descargue SERVOsoft gratuitamente tras registrarse en <https://www.stoeber.de/es/servicios/informacion-servosoft/>.

Este es el método más cómodo y seguro para seleccionar el accionamiento, ya que aquí se representa y evalúa la curva completa de par de giro-régimen de revoluciones de la aplicación en la curva característica del motorreductor.

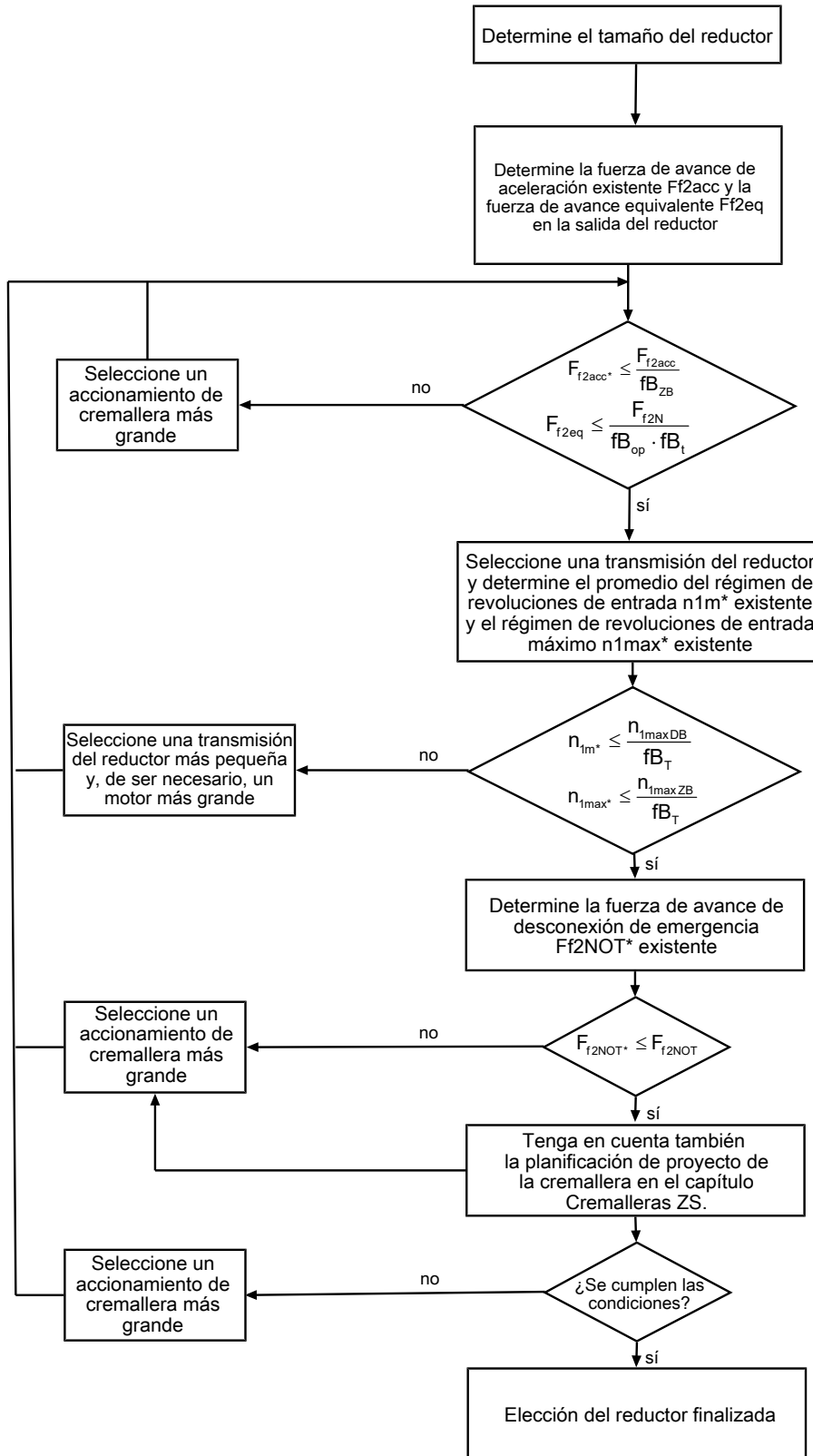
En este capítulo solo se pueden tener en consideración valores límite para puntos de trabajo concretos si la elección del accionamiento se lleva a cabo manualmente.

Los símbolos de fórmula correspondientes a los valores que están realmente presentes en la aplicación están marcados con un asterisco \*.

Los símbolos de las fórmulas se explican en el capítulo [▶ 14.1].

<sup>2</sup>tenga en cuenta la categoría de protección de todos los componentes.

## 6.6.1 Elección del accionamiento

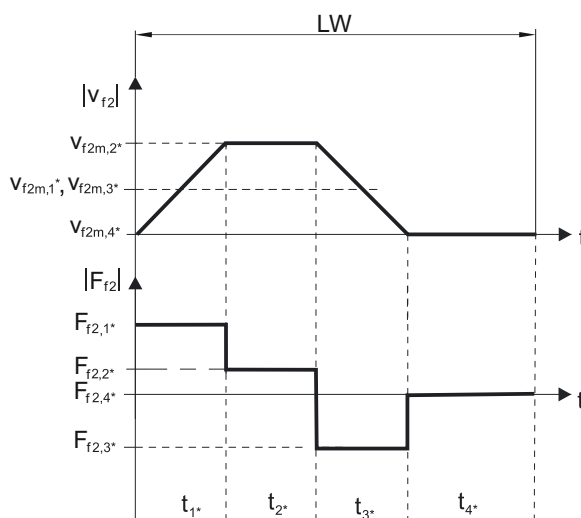


Consulte los valores para  $i$ ,  $n_{1maxDB}$ ,  $n_{1maxZB}$ ,  $F_{f2acc}$ ,  $F_{f2N}$  y  $F_{f2NOT}$  en las tablas de selección.

Consulte los valores para  $fB_T$ ,  $fB_{op}$ ,  $fB_t$  y  $fB_{ZB}$  en las tablas correspondientes de este capítulo.

### Ejemplo de servicio cíclico

Los siguientes cálculos se refieren a la representación de la potencia en la salida de acuerdo con el siguiente ejemplo:



#### Cálculo de la fuerza de avance de aceleración máxima existente

$$F_{f2acc*} = m \cdot a \cdot F_L$$

#### Cálculo del promedio del régimen de revoluciones de entrada existente

$$n_{fm*} = \frac{v_{f2m*} \cdot i}{d_0 \cdot \pi}$$

$$v_{f2m*} = \frac{|v_{f2m,1*}| \cdot t_{1*} + \dots + |v_{f2m,n*}| \cdot t_{n*}}{t_{1*} + \dots + t_{n*}}$$

Si  $t_{1*} + \dots + t_{3*} \geq 6$  min, determine  $v_{2m*}$  sin la pausa  $t_{4*}$ .

Consulte los valores para la transmisión del reductor i en las tablas de selección.

#### Cálculo de la fuerza de avance de desconexión de emergencia existente

$$F_{f2NOT*} = m \cdot a_{NOT} + F_L$$

#### Cálculo de la fuerza de avance equivalente existente

$$F_{f2eq*} = \sqrt[3]{\frac{|v_{f2m,1*}| \cdot t_{1*} \cdot |F_{f2,1*}|^3 + \dots + |v_{f2m,n*}| \cdot t_{n*} \cdot |F_{f2,n*}|^3}{|v_{f2m,1*}| \cdot t_{1*} + \dots + |v_{f2m,n*}| \cdot t_{n*}}}$$

#### Factores de servicio

Modo de servicio	$f_{B_{op}}$
Servicio continuo fijo	1,00
Servicio cíclico	1,00
Servicio cíclico con carga reversible	1,00

Tiempo de funcionamiento	$f_B_t$
Tiempo de funcionamiento diario $\leq 8$ h	1,00
Tiempo de funcionamiento diario $\leq 16$ h	1,15
Tiempo de funcionamiento diario $\leq 24$ h	1,20

Servicio cíclico	$f_{B_{zb}}$
$\leq 1000$ cambios de carga/hora (LW/h)	1,00
$> 1000$ cambios de carga/hora (LW/h)	1,15

Temperatura		$f_{B_T}$
Refrigeración del motor	Temperatura ambiente	
Motor con ventilación externa	$\leq 20^\circ\text{C}$	0,9
	$\leq 30^\circ\text{C}$	1,0
	$\leq 40^\circ\text{C}$	1,15
Motor con refrigeración por convección	$\leq 20^\circ\text{C}$	1,0
	$\leq 30^\circ\text{C}$	1,1
	$\leq 40^\circ\text{C}$	1,25

**Indicaciones**

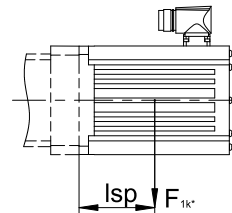
- No se debe exceder la temperatura máxima admisible del reductor (véase el capítulo Otras características del producto), ya que se podrían producir daños.
- En las situaciones de frenado con régimen de revoluciones máximo (p. ej., si se produce una caída de tensión o durante la instalación de la máquina), se deben tener en cuenta las fuerzas de avance admisibles del reductor ( $F_{f2acc}$ ,  $F_{f2NOT}$ ) que se indican en las tablas de selección.

## 6.6.2 Pares de vuelco admisibles en la entrada del reductor

Si va a montar el motor en posición horizontal, compruebe antes del montaje en un reductor STOBER que no se supere el par de vuelco admisible en la entrada del reductor. En este capítulo encontrará información al respecto.

Calcule el par de vuelco existente según sigue:

$$M_{1k*} = F_{1k*} \cdot l_{sp} \leq M_{1k}$$



Modelo	$M_{1k}$ [Nm]
PHV943_ME	200
PHV1043_ME	400

Los valores también son válidos para el adaptador de motor MEL.

## 6.6.3 Retenes radiales para ejes recomendados

Para un tiempo de conexión > 60 % y temperaturas ambiente elevadas se recomiendan retenes radiales para ejes de FKM en la salida.

Propiedades:

- Excelente resistencia a la temperatura
- Gran estabilidad química
- Muy buena resistencia al envejecimiento
- Excelente resistencia en aceites y grasas
- Uso en las industrias alimentaria, farmacéutica y de bebidas

**Seguridad contra fugas**

Nuestros reductores están equipados con retenes radiales para ejes de alta calidad y verificados en cuanto a estanqueidad. Sin embargo, resulta imposible excluir por completo la posibilidad de que se produzca alguna fuga durante toda la vida útil de los reductores. Si utiliza los reductores con materiales no compatibles con los lubricantes, se deberán tomar medidas para impedir que puedan entrar en contacto directamente con el lubricante del reductor en caso de producirse una fuga.

## 6.7 Otros documentos

Encontrará más documentos relacionados con el producto en

<http://www.stoeber.de/es/downloads/>

Introduzca el n.º de id. de la documentación en el campo Termine di ricercaérmino de búsqueda.

Documentación	N.º de id.
Instrucciones de operación reductores, motorreductores PHV94 – PHV104	443355_es
Instrucciones de operación cremalleras	443392_es



## **7 Accionamientos de cremallera ZRPH**

### **Índice**

7.1	Vista general .....	96
7.2	Tablas de selección.....	97
7.3	Esquemas de dimensiones .....	100
7.4	Denominación de tipo.....	102
7.4.1	Placa de características .....	104
7.5	Descripción del producto .....	104
7.5.1	Opciones de entrada .....	104
7.5.2	Adaptador de motor con acoplamiento EasyAdapt (ME/MEL) .....	105
7.5.3	Adaptador de motor con acoplamiento FlexiAdapt (MF) .....	105
7.5.4	Cremallera .....	106
7.5.5	Condiciones de montaje.....	106
7.5.6	Lubricantes.....	106
7.5.7	Otras características del producto .....	106
7.5.8	Sentido de giro .....	106
7.6	Diseño .....	106
7.6.1	Elección del accionamiento.....	107
7.6.2	Pares de vuelco admisibles en la entrada del reductor.....	109
7.6.3	Retenes radiales para ejes recomendados.....	109
7.7	Otros documentos .....	110



7

## Accionamientos de cremallera

**ZRPH**

### 7.1 Vista general

Reductores planetarios de precisión de alto rendimiento con piñón atornillado

#### Características

Densidad de potencia	★★★☆☆
Juego lineal	★★★★★
Categoría de precio	€€€
Suavidad de funcionamiento	★★★☆☆
Rigidez lineal	★★★☆☆
Momento de inercia	★★★★☆
Solución de accionamiento lista para el montaje	✓
Piñón, calidad del dentado 5 (DIN 3962)	✓
Dentado helicoidal	✓
Templados y pulidos	✓
Rodamiento de salida reforzado (PH3 – PH5)	✓ (opcional)

Leyenda ★★★☆☆ bueno | ★★★★★ excepcional

€ Economy | €€€€ Premium

#### Características técnicas

$m_n$	2 – 4 mm
$z$	30 – 40
$F_{f2acc}$	3,1 – 16 kN
$V_{f2maxZB}$	0,29 – 6,7 m/s
$\Delta s$	10 – 56 µm

## 7.2 Tablas de selección

Los datos técnicos especificados en las tablas de selección son válidos para:

- Montaje sin tensiones
- Lubricación permanente con los lubricantes recomendados en el capítulo Cremalleras [▶ 13.5.1]
- Piñón templado, con dentado helicoidal (ascendente a la izquierda  $19^{\circ} 31' 42''$ ), calidad del dentado 5
- Alturas de instalación hasta 1000 m sobre el nivel del mar
- Temperaturas ambiente de 0 °C a 40 °C
- Sin tener en cuenta la potencia límite térmica

Posibilidad de fuerzas de avance mayores para accionamientos de cremallera con juego de giro reducido o con apoyo reforzado (PH3 – PH5). Todos los datos técnicos pueden encontrarse en <https://configurator.sto-eber.de/en-US/>.

Los símbolos de las fórmulas se explican en el capítulo [▶ 14.1].

i	Modelo	$n_{1\max DB}$ [min <sup>-1</sup> ]	$n_{1\max ZB}$ [min <sup>-1</sup> ]	$d_{MW}$ [mm]	$v_{f2\max ZB}$ [m/s]	$\Delta s$ [μm]	$\Delta s_{red}$ [μm]	$C_{lin}$ [N/μm]	$m_n$ [mm]	z	$d_0$ [mm]	$F_{f2N}$ [kN]	$F_{f2acc}$ [kN]	$F_{f2NOT}$ [kN]	$M_{2acc}$ [Nm]
<b>ZR2PH4 (<math>F_{f2acc,max} = 4,9</math> kN)</b>															
4,000	ZR233SPH431_0040 ME	2600	5000	$\leq 24$	4,58	31	10	48	2	33	70,0	2,5	3,9	6,4	136
4,000	ZR233SPH431_0040 MEL	2600	5000	$\leq 32$	4,58	31	10	48	2	33	70,0	2,5	3,9	6,4	136
5,000	ZR233SPH431_0050 ME	3000	6000	$\leq 24$	4,40	31	10	47	2	33	70,0	2,6	4,9	6,4	172
5,000	ZR233SPH431_0050 MEL	3000	6000	$\leq 32$	4,40	31	10	47	2	33	70,0	2,6	4,9	6,4	172
7,000	ZR233SPH431_0070 ME	3200	6000	$\leq 24$	3,14	31	10	44	2	33	70,0	2,6	4,6	6,4	160
7,000	ZR233SPH431_0070 MEL	3200	6000	$\leq 32$	3,14	31	10	44	2	33	70,0	2,6	4,6	6,4	160
10,00	ZR233SPH431_0100 ME	3500	7000	$\leq 24$	2,57	31	10	36	2	33	70,0	2,1	3,3	6,4	115
10,00	ZR233SPH431_0100 MEL	3500	7000	$\leq 32$	2,57	31	10	36	2	33	70,0	2,1	3,3	6,4	115
16,00	ZR233SPH432_0160 ME	4000	8000	$\leq 19$	1,83	31	10	44	2	33	70,0	2,6	4,6	6,4	160
16,00	ZR233SPH432_0160 MEL	4000	8000	$\leq 24$	1,83	31	10	44	2	33	70,0	2,6	4,6	6,4	160
20,00	ZR233SPH432_0200 ME	4000	8000	$\leq 19$	1,47	31	10	45	2	33	70,0	2,7	4,3	6,4	150
20,00	ZR233SPH432_0200 MEL	4000	8000	$\leq 24$	1,47	31	10	45	2	33	70,0	2,7	4,3	6,4	150
25,00	ZR233SPH432_0250 ME	4500	8000	$\leq 19$	1,17	31	10	45	2	33	70,0	2,9	4,6	6,4	161
25,00	ZR233SPH432_0250 MEL	4500	8000	$\leq 24$	1,17	31	10	45	2	33	70,0	2,9	4,6	6,4	161
28,00	ZR233SPH432_0280 ME	4500	8000	$\leq 19$	1,05	31	10	45	2	33	70,0	2,7	4,6	6,4	160
28,00	ZR233SPH432_0280 MEL	4500	8000	$\leq 24$	1,05	31	10	45	2	33	70,0	2,7	4,6	6,4	160
35,00	ZR233SPH432_0350 ME	4500	8000	$\leq 19$	0,84	31	10	45	2	33	70,0	3,1	4,6	6,4	160
35,00	ZR233SPH432_0350 MEL	4500	8000	$\leq 24$	0,84	31	10	45	2	33	70,0	3,1	4,6	6,4	160
40,00	ZR233SPH432_0400 ME	4500	8000	$\leq 19$	0,73	31	10	44	2	33	70,0	3,1	4,4	6,4	155
40,00	ZR233SPH432_0400 MEL	4500	8000	$\leq 24$	0,73	31	10	44	2	33	70,0	3,1	4,4	6,4	155
50,00	ZR233SPH432_0500 ME	4500	8000	$\leq 19$	0,59	31	10	44	2	33	70,0	3,4	4,5	6,4	159
50,00	ZR233SPH432_0500 MEL	4500	8000	$\leq 24$	0,59	31	10	44	2	33	70,0	3,4	4,5	6,4	159
70,00	ZR233SPH432_0700 ME	4500	8000	$\leq 19$	0,42	31	10	42	2	33	70,0	3,4	4,5	6,4	158
70,00	ZR233SPH432_0700 MEL	4500	8000	$\leq 24$	0,42	31	10	42	2	33	70,0	3,4	4,5	6,4	158
100,0	ZR233SPH432_1000 ME	4500	8000	$\leq 19$	0,29	31	10	34	2	33	70,0	2,4	3,1	6,3	110
100,0	ZR233SPH432_1000 MEL	4500	8000	$\leq 24$	0,29	31	10	34	2	33	70,0	2,4	3,1	6,3	110
<b>ZR2PH5 (<math>F_{f2acc,max} = 8,1</math> kN)</b>															
4,000	ZR240SPH531_0040 ME	2200	5000	$\leq 32$	5,56	37	12	77	2	40	84,9	3,6	8,1	10	345
4,000	ZR240SPH531_0040 MEL	2200	5000	$\leq 38$	5,56	37	12	78	2	40	84,9	3,6	8,1	10	345
5,000	ZR240SPH531_0050 ME	2500	5500	$\leq 32$	4,89	37	12	77	2	40	84,9	3,9	8,1	10	345
5,000	ZR240SPH531_0050 MEL	2500	5500	$\leq 38$	4,89	37	12	78	2	40	84,9	3,9	8,1	10	345
7,000	ZR240SPH531_0070 ME	3000	6000	$\leq 32$	3,81	37	12	71	2	40	84,9	4,4	8,1	10	345
7,000	ZR240SPH531_0070 MEL	3000	6000	$\leq 38$	3,81	37	12	71	2	40	84,9	4,4	8,1	10	345
10,00	ZR240SPH531_0100 ME	3300	6500	$\leq 32$	2,89	37	12	59	2	40	84,9	4,2	6,8	10	288
10,00	ZR240SPH531_0100 MEL	3300	6500	$\leq 38$	2,89	37	12	59	2	40	84,9	4,2	6,8	10	288
16,00	ZR240SPH532_0160 ME	3500	7000	$\leq 24$	1,94	37	12	74	2	40	84,9	5,4	8,1	10	345
16,00	ZR240SPH532_0160 MEL	3500	7000	$\leq 32$	1,94	37	12	74	2	40	84,9	5,4	8,1	10	345
20,00	ZR240SPH532_0200 ME	3500	7000	$\leq 24$	1,56	37	12	75	2	40	84,9	5,9	8,1	10	345
20,00	ZR240SPH532_0200 MEL	3500	7000	$\leq 32$	1,56	37	12	75	2	40	84,9	5,9	8,1	10	345
25,00	ZR240SPH532_0250 ME	3700	7500	$\leq 24$	1,33	37	12	75	2	40	84,9	6,1	8,1	10	345
25,00	ZR240SPH532_0250 MEL	3700	7500	$\leq 32$	1,33	37	12	75	2	40	84,9	6,1	8,1	10	345
28,00	ZR240SPH532_0280 ME	4000	8000	$\leq 24$	1,27	37	12	73	2	40	84,9	5,7	8,1	10	345
28,00	ZR240SPH532_0280 MEL	4000	8000	$\leq 32$	1,27	37	12	73	2	40	84,9	5,7	8,1	10	345
35,00	ZR240SPH532_0350 ME	4000	8000	$\leq 24$	1,02	37	12	74	2	40	84,9	6,7	8,1	10	345
35,00	ZR240SPH532_0350 MEL	4000	8000	$\leq 32$	1,02	37	12	74	2	40	84,9	6,7	8,1	10	345
40,00	ZR240SPH532_0400 ME	4000	8000	$\leq 24$	0,89	37	12	70	2	40	84,9	6,1	8,1	10	345
40,00	ZR240SPH532_0400 MEL	4000	8000	$\leq 32$	0,89	37	12	70	2	40	84,9	6,1	8,1	10	345
50,00	ZR240SPH532_0500 ME	4000	8000	$\leq 24$	0,71	37	12	73	2	40	84,9	6,7	8,1	10	345
50,00	ZR240SPH532_0500 MEL	4000	8000	$\leq 32$	0,71	37	12	73	2	40	84,9	6,7	8,1	10	345

i	Modelo	n <sub>1maxDB</sub> [min <sup>-1</sup> ]	n <sub>1maxZB</sub> [min <sup>-1</sup> ]	d <sub>MW</sub> [mm]	v <sub>f2maxZB</sub> [m/s]	Δs [μm]	Δs <sub>red</sub> [μm]	C <sub>lin</sub> [N/μm]	m <sub>n</sub> [mm]	z	d <sub>0</sub> [mm]	F <sub>f2N</sub> [kN]	F <sub>f2acc</sub> [kN]	F <sub>f2NOT</sub> [kN]	M <sub>2acc</sub> [Nm]
<b>ZR2PH5 (F<sub>f2acc,max</sub> = 8,1 kN)</b>															
70,00	ZR240SPH532_0700 ME	4000	8000	≤24	0,51	37	12	68	2	40	84,9	6,7	8,1	10	345
70,00	ZR240SPH532_0700 MEL	4000	8000	≤32	0,51	37	12	68	2	40	84,9	6,7	8,1	10	345
100,00	ZR240SPH532_1000 ME	4000	8000	≤24	0,36	37	12	58	2	40	84,9	5,2	6,8	10	288
100,00	ZR240SPH532_1000 MEL	4000	8000	≤32	0,36	37	12	58	2	40	84,9	5,2	6,8	10	288
<b>ZR3PH5 (F<sub>f2acc,max</sub> = 7,7 kN)</b>															
4,000	ZR330SPH531_0040 ME	2200	5000	≤32	6,25	42	14	62	3	30	95,5	3,6	7,4	9,6	355
4,000	ZR330SPH531_0040 MEL	2200	5000	≤38	6,25	42	14	62	3	30	95,5	3,6	7,4	9,6	355
5,000	ZR330SPH531_0050 ME	2500	5500	≤32	5,50	42	14	62	3	30	95,5	3,8	7,7	9,6	368
5,000	ZR330SPH531_0050 MEL	2500	5500	≤38	5,50	42	14	62	3	30	95,5	3,8	7,7	9,6	368
7,000	ZR330SPH531_0070 ME	3000	6000	≤32	4,29	42	14	57	3	30	95,5	4,3	7,7	9,6	368
7,000	ZR330SPH531_0070 MEL	3000	6000	≤38	4,29	42	14	57	3	30	95,5	4,3	7,7	9,6	368
10,00	ZR330SPH531_0100 ME	3300	6500	≤32	3,25	42	14	47	3	30	95,5	3,8	6,0	9,6	288
10,00	ZR330SPH531_0100 MEL	3300	6500	≤38	3,25	42	14	47	3	30	95,5	3,8	6,0	9,6	288
16,00	ZR330SPH532_0160 ME	3500	7000	≤24	2,19	42	14	59	3	30	95,5	4,8	7,4	9,6	355
16,00	ZR330SPH532_0160 MEL	3500	7000	≤32	2,19	42	14	59	3	30	95,5	4,8	7,4	9,6	355
20,00	ZR330SPH532_0200 ME	3500	7000	≤24	1,75	42	14	60	3	30	95,5	5,2	7,7	9,6	368
20,00	ZR330SPH532_0200 MEL	3500	7000	≤32	1,75	42	14	60	3	30	95,5	5,2	7,7	9,6	368
25,00	ZR330SPH532_0250 ME	3700	7500	≤24	1,50	42	14	60	3	30	95,5	5,4	7,7	9,6	368
25,00	ZR330SPH532_0250 MEL	3700	7500	≤32	1,50	42	14	60	3	30	95,5	5,4	7,7	9,6	368
28,00	ZR330SPH532_0280 ME	4000	8000	≤24	1,43	42	14	58	3	30	95,5	5,0	7,4	9,6	355
28,00	ZR330SPH532_0280 MEL	4000	8000	≤32	1,43	42	14	58	3	30	95,5	5,0	7,4	9,6	355
35,00	ZR330SPH532_0350 ME	4000	8000	≤24	1,14	42	14	60	3	30	95,5	6,1	7,7	9,6	368
35,00	ZR330SPH532_0350 MEL	4000	8000	≤32	1,14	42	14	60	3	30	95,5	6,1	7,7	9,6	368
40,00	ZR330SPH532_0400 ME	4000	8000	≤24	1,00	42	14	56	3	30	95,5	5,4	7,4	9,6	355
40,00	ZR330SPH532_0400 MEL	4000	8000	≤32	1,00	42	14	56	3	30	95,5	5,4	7,4	9,6	355
50,00	ZR330SPH532_0500 ME	4000	8000	≤24	0,80	42	14	58	3	30	95,5	6,2	7,7	9,6	368
50,00	ZR330SPH532_0500 MEL	4000	8000	≤32	0,80	42	14	58	3	30	95,5	6,2	7,7	9,6	368
70,00	ZR330SPH532_0700 ME	4000	8000	≤24	0,57	42	14	55	3	30	95,5	6,0	7,7	9,6	368
70,00	ZR330SPH532_0700 MEL	4000	8000	≤32	0,57	42	14	55	3	30	95,5	6,0	7,7	9,6	368
100,00	ZR330SPH532_1000 ME	4000	8000	≤24	0,40	42	14	46	3	30	95,5	4,6	6,0	9,6	288
100,00	ZR330SPH532_1000 MEL	4000	8000	≤32	0,40	42	14	46	3	30	95,5	4,6	6,0	9,6	288
<b>ZR3PH7 (F<sub>f2acc,max</sub> = 16 kN)</b>															
4,000	ZR335SPH731_0040 ME	1900	4000	≤38	5,83	49	16	105	3	35	111,4	7,9	15	19	840
4,000	ZR335SPH731_0040 MEL	1900	4000	≤48	5,83	49	16	108	3	35	111,4	7,9	15	19	840
4,000	ZR340SPH731_0040 ME	1900	4000	≤38	6,67	56	19	93	3	40	127,3	6,9	13	17	840
4,000	ZR340SPH731_0040 MEL	1900	4000	≤48	6,67	56	19	95	3	40	127,3	6,9	13	17	840
5,000	ZR335SPH731_0050 ME	2200	5000	≤38	5,83	49	16	101	3	35	111,4	7,9	16	19	869
5,000	ZR335SPH731_0050 MEL	2200	5000	≤48	5,83	49	16	103	3	35	111,4	7,9	16	19	869
5,000	ZR340SPH731_0050 ME	2200	5000	≤38	6,67	56	19	89	3	40	127,3	6,9	14	17	879
5,000	ZR340SPH731_0050 MEL	2200	5000	≤48	6,67	56	19	90	3	40	127,3	6,9	14	17	879
7,000	ZR335SPH731_0070 ME	2500	5000	≤38	4,17	49	16	93	3	35	111,4	7,9	16	19	869
7,000	ZR335SPH731_0070 MEL	2500	5000	≤48	4,17	49	16	93	3	35	111,4	7,9	16	19	869
7,000	ZR340SPH731_0070 ME	2500	5000	≤38	4,76	56	19	80	3	40	127,3	6,9	14	17	869
7,000	ZR340SPH731_0070 MEL	2500	5000	≤48	4,76	56	19	81	3	40	127,3	6,9	14	17	869
10,00	ZR335SPH731_0100 ME	2500	5000	≤38	2,92	49	16	80	3	35	111,4	6,3	10	19	575
10,00	ZR335SPH731_0100 MEL	2500	5000	≤48	2,92	49	16	80	3	35	111,4	6,3	10	19	575
10,00	ZR340SPH731_0100 ME	2500	5000	≤38	3,33	56	19	68	3	40	127,3	5,5	9,0	17	575
10,00	ZR340SPH731_0100 MEL	2500	5000	≤48	3,33	56	19	68	3	40	127,3	5,5	9,0	17	575
16,00	ZR335SPH732_0160 ME	3000	6000	≤32	2,19	49	16	104	3	35	111,4	8,1	13	19	740
16,00	ZR335SPH732_0160 MEL	3000	6000	≤38	2,19	49	16	104	3	35	111,4	8,1	13	19	740
16,00	ZR340SPH732_0160 ME	3000	6000	≤32	2,50	56	19	91	3	40	127,3	7,1	12	17	740
16,00	ZR340SPH732_0160 MEL	3000	6000	≤38	2,50	56	19	91	3	40	127,3	7,1	12	17	740
20,00	ZR335SPH732_0200 ME	3000	6000	≤32	1,75	49	16	100	3	35	111,4	8,3	14	19	805
20,00	ZR335SPH732_0200 MEL	3000	6000	≤38	1,75	49	16	100	3	35	111,4	8,3	14	19	805
20,00	ZR340SPH732_0200 ME	3000	6000	≤32	2,00	56	19	87	3	40	127,3	7,2	13	17	805
20,00	ZR340SPH732_0200 MEL	3000	6000	≤38	2,00	56	19	88	3	40	127,3	7,2	13	17	805
25,00	ZR335SPH732_0250 ME	3500	7000	≤32	1,63	49	16	100	3	35	111,4	9,0	16	19	866
25,00	ZR335SPH732_0250 MEL	3500	7000	≤38	1,63	49	16	100	3	35	111,4	9,0	16	19	866
25,00	ZR340SPH732_0250 ME	3500	7000	≤32	1,87	56	19	87	3	40	127,3	7,9	14	17	866
25,00	ZR340SPH732_0250 MEL	3500	7000	≤38	1,87	56	19	87	3	40	127,3	7,9	14	17	866
28,00	ZR335SPH732_0280 ME	3700	7000	≤32	1,46	49	16	102	3	35	111,4	9,7	14	19	770
28,00	ZR335SPH732_0280 MEL	3700	7000	≤38	1,46	49	16	102	3	35	111,4	9,7	14	19	770
28,00	ZR340SPH732_0280 ME	3700	7000	≤32	1,67	56	19	89	3	40	127,3	8,5	12	17	770
28,00	ZR340SPH732_0280 MEL	3700	7000	≤38	1,67	56	19	89	3	40	127,3	8,5	12	17	770
35,00	ZR335SPH732_0350 ME	3700	7000	≤32	1,17	49	16	99	3	35	111,4	9,7	16	19	866
35,00	ZR335SPH732_0350 MEL	3700	7000	≤38	1,17	49	16	99	3	35	111,4	9,7	16	19	866

i	Modelo	$n_{1\max DB}$ [min $^{-1}$ ]	$n_{1\max ZB}$ [min $^{-1}$ ]	d <sub>MW</sub> [mm]	v <sub>f2maxZB</sub> [m/s]	$\Delta s$ [μm]	$\Delta s_{red}$ [μm]	C <sub>lin</sub> [N/μm]	m <sub>n</sub> [mm]	z	d <sub>0</sub> [mm]	F <sub>f2N</sub> [kN]	F <sub>f2acc</sub> [kN]	F <sub>f2NOT</sub> [kN]	M <sub>2acc</sub> [Nm]
<b>ZR3PH7 (F<sub>f2acc,max</sub> = 16 kN)</b>															
35,00	ZR340SPH732_0350 ME	3700	7000	≤32	1,33	56	19	87	3	40	127,3	8,5	14	17	866
35,00	ZR340SPH732_0350 MEL	3700	7000	≤38	1,33	56	19	87	3	40	127,3	8,5	14	17	866
40,00	ZR335SPH732_0400 ME	3700	7000	≤32	1,02	49	16	99	3	35	111,4	9,7	14	19	770
40,00	ZR335SPH732_0400 MEL	3700	7000	≤38	1,02	49	16	99	3	35	111,4	9,7	14	19	770
40,00	ZR340SPH732_0400 ME	3700	7000	≤32	1,17	56	19	86	3	40	127,3	8,5	12	17	770
40,00	ZR340SPH732_0400 MEL	3700	7000	≤38	1,17	56	19	86	3	40	127,3	8,5	12	17	770
50,00	ZR335SPH732_0500 ME	3700	7000	≤32	0,82	49	16	97	3	35	111,4	11	15	19	830
50,00	ZR335SPH732_0500 MEL	3700	7000	≤38	0,82	49	16	97	3	35	111,4	11	15	19	830
50,00	ZR340SPH732_0500 ME	3700	7000	≤32	0,93	56	19	85	3	40	127,3	9,4	13	17	830
50,00	ZR340SPH732_0500 MEL	3700	7000	≤38	0,93	56	19	85	3	40	127,3	9,4	13	17	830
70,00	ZR335SPH732_0700 ME	3700	7000	≤32	0,58	49	16	91	3	35	111,4	11	15	19	809
70,00	ZR335SPH732_0700 MEL	3700	7000	≤38	0,58	49	16	91	3	35	111,4	11	15	19	809
70,00	ZR340SPH732_0700 ME	3700	7000	≤32	0,67	56	19	78	3	40	127,3	9,4	13	17	809
70,00	ZR340SPH732_0700 MEL	3700	7000	≤38	0,67	56	19	78	3	40	127,3	9,4	13	17	809
100,0	ZR335SPH732_1000 ME	3700	7000	≤32	0,41	49	16	79	3	35	111,4	7,6	9,9	19	550
100,0	ZR335SPH732_1000 MEL	3700	7000	≤38	0,41	49	16	79	3	35	111,4	7,6	9,9	19	550
100,0	ZR340SPH732_1000 ME	3700	7000	≤32	0,47	56	19	67	3	40	127,3	6,6	8,6	17	550
100,0	ZR340SPH732_1000 MEL	3700	7000	≤38	0,47	56	19	67	3	40	127,3	6,6	8,6	17	550
<b>ZR4PH7 (F<sub>f2acc,max</sub> = 14 kN)</b>															
4,000	ZR430SPH731_0040 ME	1900	4000	≤38	6,67	56	19	91	4	30	127,3	6,9	13	17	840
4,000	ZR430SPH731_0040 MEL	1900	4000	≤48	6,67	56	19	93	4	30	127,3	6,9	13	17	840
5,000	ZR430SPH731_0050 ME	2200	5000	≤38	6,67	56	19	87	4	30	127,3	6,9	14	17	882
5,000	ZR430SPH731_0050 MEL	2200	5000	≤48	6,67	56	19	88	4	30	127,3	6,9	14	17	882
7,000	ZR430SPH731_0070 ME	2500	5000	≤38	4,76	56	19	79	4	30	127,3	6,9	14	17	869
7,000	ZR430SPH731_0070 MEL	2500	5000	≤48	4,76	56	19	79	4	30	127,3	6,9	14	17	869
10,00	ZR430SPH731_0100 ME	2500	5000	≤38	3,33	56	19	67	4	30	127,3	5,5	9,0	17	575
10,00	ZR430SPH731_0100 MEL	2500	5000	≤48	3,33	56	19	67	4	30	127,3	5,5	9,0	17	575
16,00	ZR430SPH732_0160 ME	3000	6000	≤32	2,50	56	19	89	4	30	127,3	7,1	12	17	740
16,00	ZR430SPH732_0160 MEL	3000	6000	≤38	2,50	56	19	89	4	30	127,3	7,1	12	17	740
20,00	ZR430SPH732_0200 ME	3000	6000	≤32	2,00	56	19	86	4	30	127,3	7,2	13	17	805
20,00	ZR430SPH732_0200 MEL	3000	6000	≤38	2,00	56	19	86	4	30	127,3	7,2	13	17	805
25,00	ZR430SPH732_0250 ME	3500	7000	≤32	1,87	56	19	86	4	30	127,3	7,9	14	17	866
25,00	ZR430SPH732_0250 MEL	3500	7000	≤38	1,87	56	19	86	4	30	127,3	7,9	14	17	866
28,00	ZR430SPH732_0280 ME	3700	7000	≤32	1,67	56	19	88	4	30	127,3	8,5	12	17	770
28,00	ZR430SPH732_0280 MEL	3700	7000	≤38	1,67	56	19	88	4	30	127,3	8,5	12	17	770
35,00	ZR430SPH732_0350 ME	3700	7000	≤32	1,33	56	19	85	4	30	127,3	8,5	14	17	866
35,00	ZR430SPH732_0350 MEL	3700	7000	≤38	1,33	56	19	85	4	30	127,3	8,5	14	17	866
40,00	ZR430SPH732_0400 ME	3700	7000	≤32	1,17	56	19	85	4	30	127,3	8,5	12	17	770
40,00	ZR430SPH732_0400 MEL	3700	7000	≤38	1,17	56	19	85	4	30	127,3	8,5	12	17	770
50,00	ZR430SPH732_0500 ME	3700	7000	≤32	0,93	56	19	83	4	30	127,3	9,4	13	17	830
50,00	ZR430SPH732_0500 MEL	3700	7000	≤38	0,93	56	19	83	4	30	127,3	9,4	13	17	830
70,00	ZR430SPH732_0700 ME	3700	7000	≤32	0,67	56	19	77	4	30	127,3	9,4	13	17	809
70,00	ZR430SPH732_0700 MEL	3700	7000	≤38	0,67	56	19	77	4	30	127,3	9,4	13	17	809
100,0	ZR430SPH732_1000 ME	3700	7000	≤32	0,47	56	19	66	4	30	127,3	6,6	8,6	17	550
100,0	ZR430SPH732_1000 MEL	3700	7000	≤38	0,47	56	19	66	4	30	127,3	6,6	8,6	17	550

## 7.3 Esquemas de dimensiones

Este capítulo contiene la información sobre las dimensiones de los accionamientos de cremallera con adaptadores de motor.

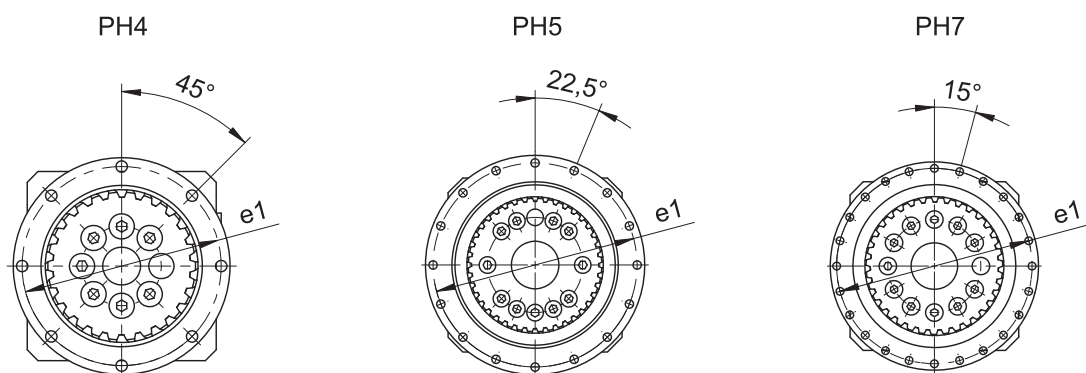
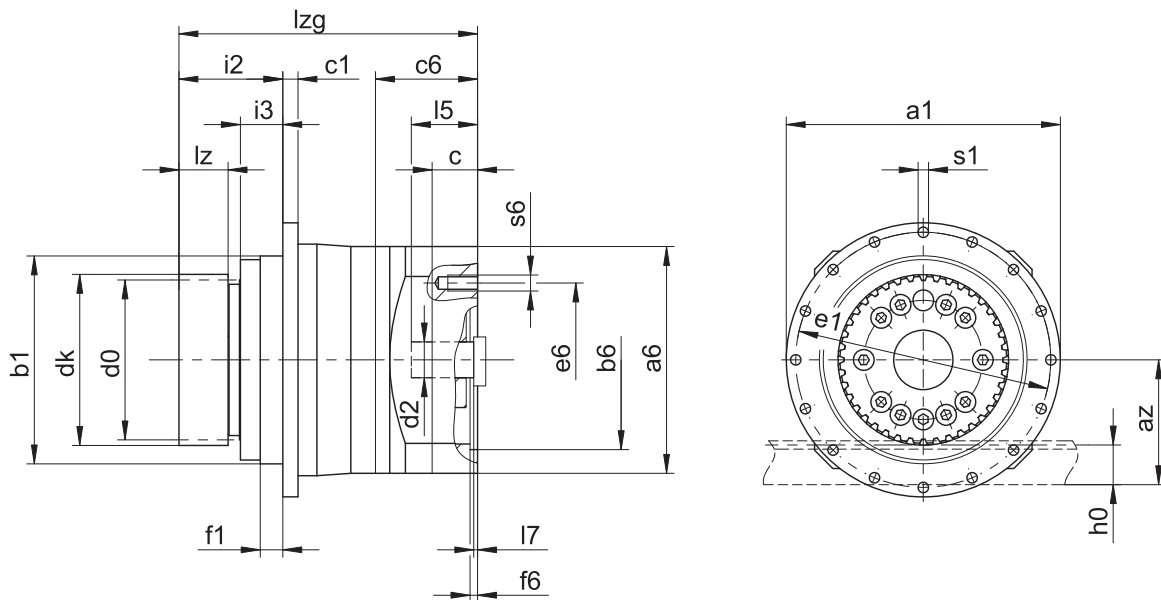
La medida  $a_z$  en las tablas de dimensiones es válida para cremalleras STOBER. En general se aplica lo siguiente:  $a_z = \frac{1}{2} d_0 + h_0 + x^* m_n$

Piñón del accionamiento de cremallera con dentado helicoidal (ascendente a la izquierda  $19^\circ 31' 42''$ ). La calidad del dentado del piñón es 5.

Las tolerancias de fundición o bien la suma de las tolerancias individuales pueden provocar que las medidas sobrepasen las especificaciones de ISO 2768-mK.

Nos reservamos el derecho de realizar cambios en las dimensiones en pro del desarrollo tecnológico.

Los modelos 3D de nuestros accionamientos estándar se pueden descargar en <https://configurator.stober.de/en-US/>.



**Medidas salida**

Modelo	mn	$\varnothing a1$	az	$\varnothing b1$	c1	d0	dk	$\varnothing e1$	f1	i2	h0	i3	lz	$\varnothing s1$	x
ZR233SPH4_	2	118	57,80	90 <sub>h7</sub>	7	70,03	75,0	109	10	56,0	22	23,5	26	5,5	0,39
ZR240SPH5_	2	145	65,20	110 <sub>h7</sub>	8	84,88	90,0	135	12	55,0	22	22,5	26	5,5	0,38
ZR330SPH5_	3	145	73,75	110 <sub>h7</sub>	8	95,49	101,5	135	12	64,0	26	22,5	35	5,5	0,00
ZR335SPH7_	3	179	82,80	140 <sub>h7</sub>	10	111,41	119,0	168	12	69,0	26	31,5	31	6,6	0,37
ZR340SPH7_	3	179	90,80	140 <sub>h7</sub>	10	127,32	135,0	168	12	69,0	26	31,5	31	6,6	0,38
ZR430SPH7_	4	179	98,66	140 <sub>h7</sub>	10	127,32	135,3	168	12	83,0	35	31,5	45	6,6	0,00

**Ejemplos de medidas de conexión del motor + longitud total**

Modelo	$\varnothing b6$	$\varnothing e6$	$\varnothing d2max$	l5	$\square a6$	c	c6	f6	l7	l7g	s6
ZR233SPH431_ME	95 <sup>H7</sup>	115	24	41	100	21	42,5	4,0	3,5	139,5	M8
ZR233SPH432_ME	60 <sup>H7</sup>	75	19	41	75	18	41,5	3,5	4,0	176,5	M5
ZR240SPH531_ME	110 <sup>H7</sup>	130	32	51	120	24	54,0	4,0	4,5	158,0	M8
ZR330SPH531_ME	110 <sup>H7</sup>	130	32	51	120	24	54,0	4,0	4,5	167,0	M8
ZR240SPH532_ME	95 <sup>H7</sup>	115	24	41	100	21	42,5	4,0	3,5	187,0	M8
ZR330SPH532_ME	95 <sup>H7</sup>	115	24	41	100	21	42,5	4,0	3,5	196,0	M8
ZR335SPH731_ME	130 <sup>H7</sup>	165	38	61	150	26	66,0	5,5	4,5	192,0	M10
ZR340SPH731_ME	130 <sup>H7</sup>	165	38	61	150	26	66,0	5,5	4,5	192,0	M10
ZR430SPH731_ME	130 <sup>H7</sup>	165	38	61	150	26	66,0	5,5	4,5	206,0	M10
ZR335SPH732_ME	110 <sup>H7</sup>	130	32	51	120	24	54,0	4,0	4,5	230,0	M8
ZR340SPH732_ME	110 <sup>H7</sup>	130	32	51	120	24	54,0	4,0	4,5	230,0	M8
ZR430SPH732_ME	110 <sup>H7</sup>	130	32	51	120	24	54,0	4,0	4,5	244,0	M8

La tabla de arriba contiene ejemplos de medidas de la conexión del motor para el adaptador de motor ME.

**Tenga en cuenta que las medidas c6, l5 y l7g se alargan correspondientemente cuando se alarga la medida c.**

Encontrará otras medidas de conexión del motor para los adaptadores de motor ME, MEL y MF en el STO-BER Configurator en <https://configurator.stoeber.de/en-US/>. Allí podrá descargar directamente un modelo 3D de su accionamiento.

## 7.4 Denominación de tipo

Este capítulo contiene información sobre la denominación de tipo y las opciones pertinentes.

Los datos de pedido que no forman parte de la denominación de tipo se incluyen al final del capítulo.

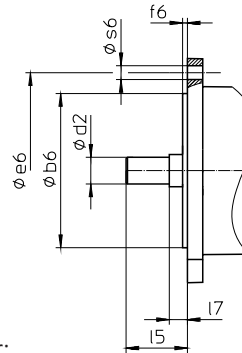
### Código de ejemplo

Z	R	3	30	S	PH	5	3	2	S	F	S	S	0280	ME
---	---	---	----	---	----	---	---	---	---	---	---	---	------	----

### Explicación

Código	Denominación	Versión
Z	Tipo	Accionamiento de cremallera
R	Versión	Piñón atornillado
3	Módulo estándar	$m_n = 3 \text{ mm}$ (ejemplo)
30	Número de dientes	$z = 30$ (ejemplo)
S	Dentado	con dentado helicoidal (ascendente a la izquierda $19^\circ 31' 42''$ )
PH	Tipo	Reductor planetario
5	Tamaño	5 (ejemplo)
3	Generación	Generación 3
1	Etapas	1 etapa
2		2 etapas
S	Carcasa	Estándar
F	Eje	Eje con brida
S	Rodamiento	Apoyo estándar
V		Apoyo reforzado (PH3 – PH5)
S	Juego de giro	Estándar
R		Reducido
0280	Número característico de reducción ( $i \times 10$ )	$i = 28$ (ejemplo)
ME	Adaptador de motor	Adaptador de motor con acoplamiento EasyAdapt
MEL		Adaptador de motor con acoplamiento EasyAdapt para motores grandes
MF		Adaptador de motor con acoplamiento FlexiAdapt
MB <sup>1</sup>		Adaptador de motor ServoStop con freno

Para completar la denominación de tipo, indique también la siguiente información al hacer el pedido:



- Tipo de motor o dimensiones del motor:

Para elegir la conexión de motor adecuada, seleccione su motor o las dimensiones de la conexión del motor en el STOBER Configurator en <https://configurator.stoeber.de/en-US/>.

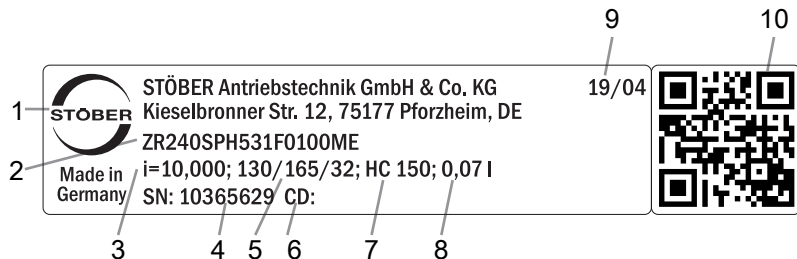
- Para los retenes radiales para ejes de NBR o FKM en la salida (opcional), véase el capítulo [▶ 7.6.3]
  - Con modo de inversión del eje de salida de  $\pm 20^\circ$  hasta  $\pm 90^\circ$  y montaje horizontal, bajo petición
  - PH531, PH7: sellado doble para adaptador de motor (opcional)
  - Llave de vaso para el montaje del motor en el reductor mediante el adaptador de motor ME/MEL/MF (opcional)

Este catálogo de productos incluye toda la información relacionada con los accionamientos de cremallera con adaptador de motor.

Encontrará todas las opciones de entrada disponibles bajo petición en el capítulo [▶ 7.5.1](#).

## 7.4.1 Placa de características

En la siguiente figura se explica a modo de ejemplo la placa de características de un reductor.



Código	Denominación
1	Denominación del fabricante
2	Denominación de tipo
3	Transmisión del reductor
4	Número de serie del reductor
5	Medida del adaptador de motor (diámetro del borde de ajuste/círculo de agujeros/eje del motor)
6	Datos específicos del cliente
7	Especificación del lubricante
8	Cantidad de llenado de lubricante
9	Fecha de fabricación (año/semana)
10	Código QR (enlace a la información de producto)

### 7.4.1.1 Documentos aplicables

Puede ver o descargar los documentos aplicables para el producto introduciendo el número de serie que aparece en la placa de características del producto en la siguiente dirección de Internet:

<https://id.stober.com>

Alternativamente, con un dispositivo móvil adecuado puede escanear el código QR de la placa de características del producto y de este modo acceder a los documentos aplicables.

## 7.5 Descripción del producto

### 7.5.1 Opciones de entrada

Este capítulo incluye todas las opciones de entrada disponibles:



N.º de id. del catálogo de productos 443137\_es

N.º de id. del catálogo de productos 443286\_en

Bajo petición

Bajo petición

Bajo petición

Puede encontrar los catálogos de productos correspondientes en <http://www.stoeber.de/es/downloads/>

Introduzca el n.º de id. del catálogo de productos en el campo Termine di ricercaérmino de búsqueda.

## 7.5.2 Adaptador de motor con acoplamiento EasyAdapt (ME/MEL)

Este capítulo contiene la descripción del acoplamiento EasyAdapt.

**Propiedades:**

- Montaje sencillo y rápido del motor
- Acoplamiento de compresión robusto de una sola pieza con función de expansión
- Momentos de inercia mínimos para el máximo dinamismo
- Equilibrado para un funcionamiento suave y sin vibraciones, incluso con un régimen de revoluciones elevado
- Amplia selección de diámetros y longitudes del eje del motor
- Sin fallos gracias al centrado exacto del motor
- Si el juego de giro es reducido, el alojamiento del eje del motor debe estar dispuesto axialmente sin holgura



Fig. 1: Acoplamiento EasyAdapt

## 7.5.3 Adaptador de motor con acoplamiento FlexiAdapt (MF)

Este capítulo contiene la descripción del acoplamiento FlexiAdapt.

**Propiedades:**

- Montaje sencillo y rápido del motor
- Acoplamiento de tipo fuelle robusto y soldado por láser con función de expansión
- Con compensación longitudinal térmica integrada, compensa las dilataciones lineales del eje del motor
- Eje del motor desacoplado de las fuerzas axiales
- Equilibrado para un funcionamiento suave y sin vibraciones, incluso con un régimen de revoluciones elevado
- Amplia selección de diámetros y longitudes del eje del motor
- Sin fallos gracias al centrado exacto del motor



Fig. 2: Acoplamiento FlexiAdapt

## 7.5.4 Cremallera

La cremallera empleada debe tener dentado ascendente a la derecha ( $19^{\circ} 31' 42''$ ) y no debe superarse la capacidad de carga.

Cuando utilice una cremallera de STOBER, tenga en cuenta también la planificación de proyecto en el capítulo [▶ 13.6].

## 7.5.5 Condiciones de montaje

Los pares de giro y fuerzas indicados en este catálogo de productos son válidos en las siguientes condiciones:

- Si se utilizan tornillos de la clase de resistencia 12.9 para fijar la carcasa del reductor en el lado de la máquina.
- Si la carcasa del reductor se adapta en el borde de ajuste  $\phi b z$ . La adaptación en el lado de la máquina debe ser H7.

## 7.5.6 Lubricantes

STOBER carga los reductores con la cantidad y el tipo de lubricante que se indican en la placa de características.

Lubricantes para el uso en la industria alimentaria disponibles bajo petición.

### 7.5.6.1 Lubricación del accionamiento de cremallera

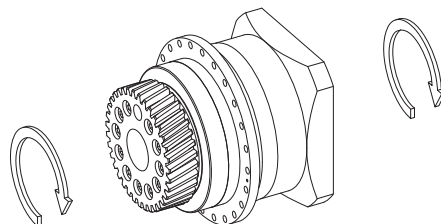
Asegure una lubricación permanente con los lubricantes recomendados en el capítulo [▶ 13.5.1].

## 7.5.7 Otras características del producto

Característica	Valor
Temperatura máx. admisible del reductor (en la superficie del reductor)	$\leq 90^{\circ}\text{C}$
Pintura	Negro RAL 9005
Directiva ATEX 2014/34/UE (opcional)	No adecuado.
Categoría de protección: <sup>2</sup>	
Reducer planetario	IP65
Piñón/Cremallera	IPXX

## 7.5.8 Sentido de giro

La entrada y la salida giran en la misma dirección.



## 7.6 Diseño

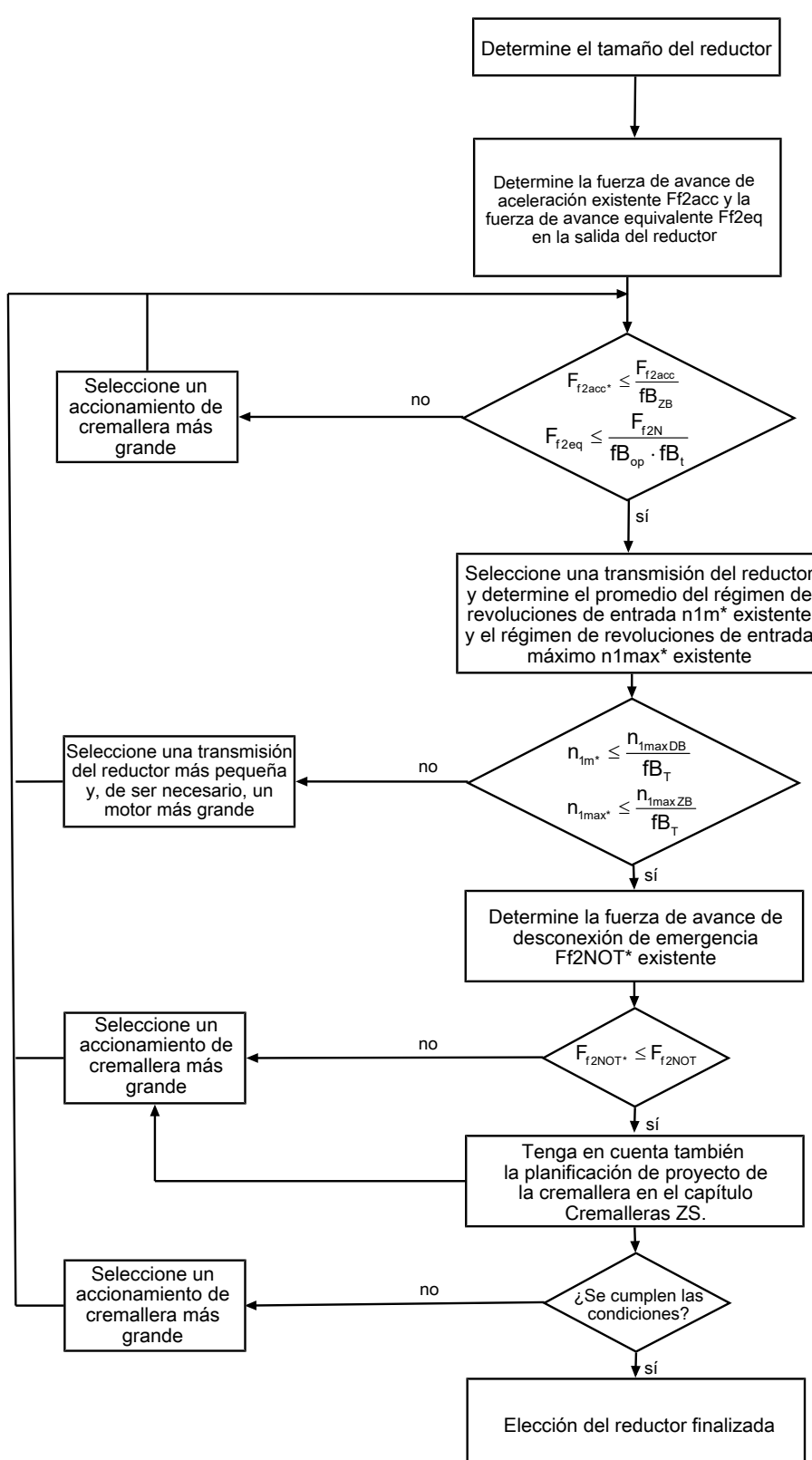
Utilice nuestro software de diseño SERVOSoft para proyectar sus accionamientos. Descargue SERVOSoft gratuitamente tras registrarse en <https://www.stoeber.de/es/servicios/informacion-servosoft/>.

Este es el método más cómodo y seguro para seleccionar el accionamiento, ya que aquí se representa y evalúa la curva completa de par de giro-régimen de revoluciones de la aplicación en la curva característica del motorreductor.

En este capítulo solo se pueden tener en consideración valores límite para puntos de trabajo concretos si la elección del accionamiento se lleva a cabo manualmente.

Los símbolos de fórmula correspondientes a los valores que están realmente presentes en la aplicación están marcados con un asterisco \*. Los símbolos de las fórmulas se explican en el capítulo [► 14.1].

### 7.6.1 Elección del accionamiento

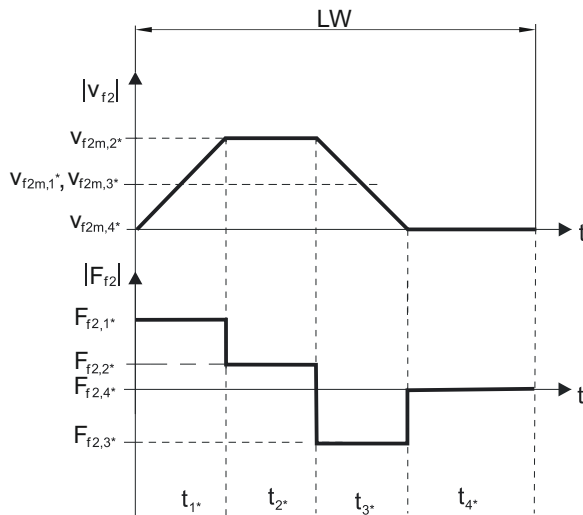


Consulte los valores para  $i$ ,  $n_{1\text{maxDB}}$ ,  $n_{1\text{maxZB}}$ ,  $F_{f2acc}$ ,  $F_{f2N}$  y  $F_{f2NOT}$  en las tablas de selección.

Consulte los valores para  $fB_T$ ,  $fB_{op}$ ,  $fB_t$  y  $fB_{ZB}$  en las tablas correspondientes de este capítulo.

### Ejemplo de servicio cíclico

Los siguientes cálculos se refieren a la representación de la potencia en la salida de acuerdo con el siguiente ejemplo:



### Cálculo de la fuerza de avance de aceleración máxima existente

$$F_{f2acc*} = m \cdot a \cdot F_L*$$

### Cálculo del promedio del régimen de revoluciones de entrada existente

$$n_{fm*} = \frac{v_{f2m*} \cdot i}{d_0 \cdot \pi}$$

$$V_{f2m*} = \frac{|v_{f2m,1*}| \cdot t_{1*} + \dots + |v_{f2m,n*}| \cdot t_{n*}}{t_{1*} + \dots + t_{n*}}$$

Si  $t_{1*} + \dots + t_{3*} \geq 6$  min, determine  $v_{2m*}$  sin la pausa  $t_{4*}$ .

Consulte los valores para la transmisión del reductor i en las tablas de selección.

### Cálculo de la fuerza de avance de desconexión de emergencia existente

$$F_{f2NOT*} = m \cdot a_{NOT*} + F_L*$$

### Cálculo de la fuerza de avance equivalente existente

$$F_{f2eq*} = \sqrt[3]{\frac{|v_{f2m,1*}| \cdot t_{1*} \cdot |F_{f2,1*}|^3 + \dots + |v_{f2m,n*}| \cdot t_{n*} \cdot |F_{f2,n*}|^3}{|v_{f2m,1*}| \cdot t_{1*} + \dots + |v_{f2m,n*}| \cdot t_{n*}}}$$

### Factores de servicio

Modo de servicio	$f_{B_{op}}$
Servicio continuo fijo	1,00
Servicio cíclico	1,00
Servicio cíclico con carga reversible	1,00

Tiempo de funcionamiento	$f_B_t$
Tiempo de funcionamiento diario $\leq 8$ h	1,00
Tiempo de funcionamiento diario $\leq 16$ h	1,15
Tiempo de funcionamiento diario $\leq 24$ h	1,20

Servicio cíclico	$f_{B_{zb}}$
$\leq 1000$ cambios de carga/hora (LW/h)	1,00
$> 1000$ cambios de carga/hora (LW/h)	1,15

Temperatura		$f_{B_T}$
Refrigeración del motor	Temperatura ambiente	
Motor con ventilación externa	≤ 20 °C	0,9
	≤ 30 °C	1,0
	≤ 40 °C	1,15
Motor con refrigeración por convección	≤ 20 °C	1,0
	≤ 30 °C	1,1
	≤ 40 °C	1,25

**Indicaciones**

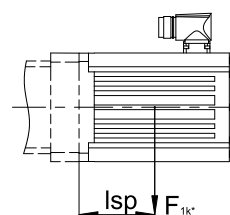
- No se debe exceder la temperatura máxima admisible del reductor (véase el capítulo Otras características del producto), ya que se podrían producir daños.
- En las situaciones de frenado con régimen de revoluciones máximo (p. ej., si se produce una caída de tensión o durante la instalación de la máquina), se deben tener en cuenta las fuerzas de avance admisibles del reductor ( $F_{f2acc}$ ,  $F_{f2NOT}$ ) que se indican en las tablas de selección.

**7.6.2 Pares de vuelco admisibles en la entrada del reductor**

Si va a montar el motor en posición horizontal, compruebe antes del montaje en un reductor STOBER que no se supere el par de vuelco admisible en la entrada del reductor. En este capítulo encontrará información al respecto.

Calcule el par de vuelco existente según sigue:

$$M_{1k*} = F_{1k*} \cdot l_{sp} \leq M_{1k}$$



Modelo	$M_{1k}$ [Nm]
PH331_ME	20
PH332_ME	10
PH431_ME	40
PH432_ME	20
PH531_ME	80
PH532_ME	40
PH731_ME	200
PH732_ME	80
PH831_ME	400
PH832_ME	200
PH942_ME	400
PH1042_ME	400

Los valores también son válidos para los adaptadores de motor MEL y MF.

**7.6.3 Retenes radiales para ejes recomendados**

Para un tiempo de conexión > 60 % y temperaturas ambiente elevadas se recomiendan retenes radiales para ejes de FKM en la salida.

Propiedades:

- Excelente resistencia a la temperatura
- Gran estabilidad química
- Muy buena resistencia al envejecimiento
- Excelente resistencia en aceites y grasas
- Uso en las industrias alimentaria, farmacéutica y de bebidas

**Seguridad contra fugas**

Nuestros reductores están equipados con retenes radiales para ejes de alta calidad y verificados en cuanto a estanqueidad. Sin embargo, resulta imposible excluir por completo la posibilidad de que se produzca alguna fuga durante toda la vida útil de los reductores. Si utiliza los reductores con materiales no compatibles con los lubricantes, se deberán tomar medidas para impedir que puedan entrar en contacto directamente con el lubricante del reductor en caso de producirse una fuga.

## 7.7 Otros documentos

Encontrará más documentos relacionados con el producto en  
<http://www.stoeber.de/es/downloads/>

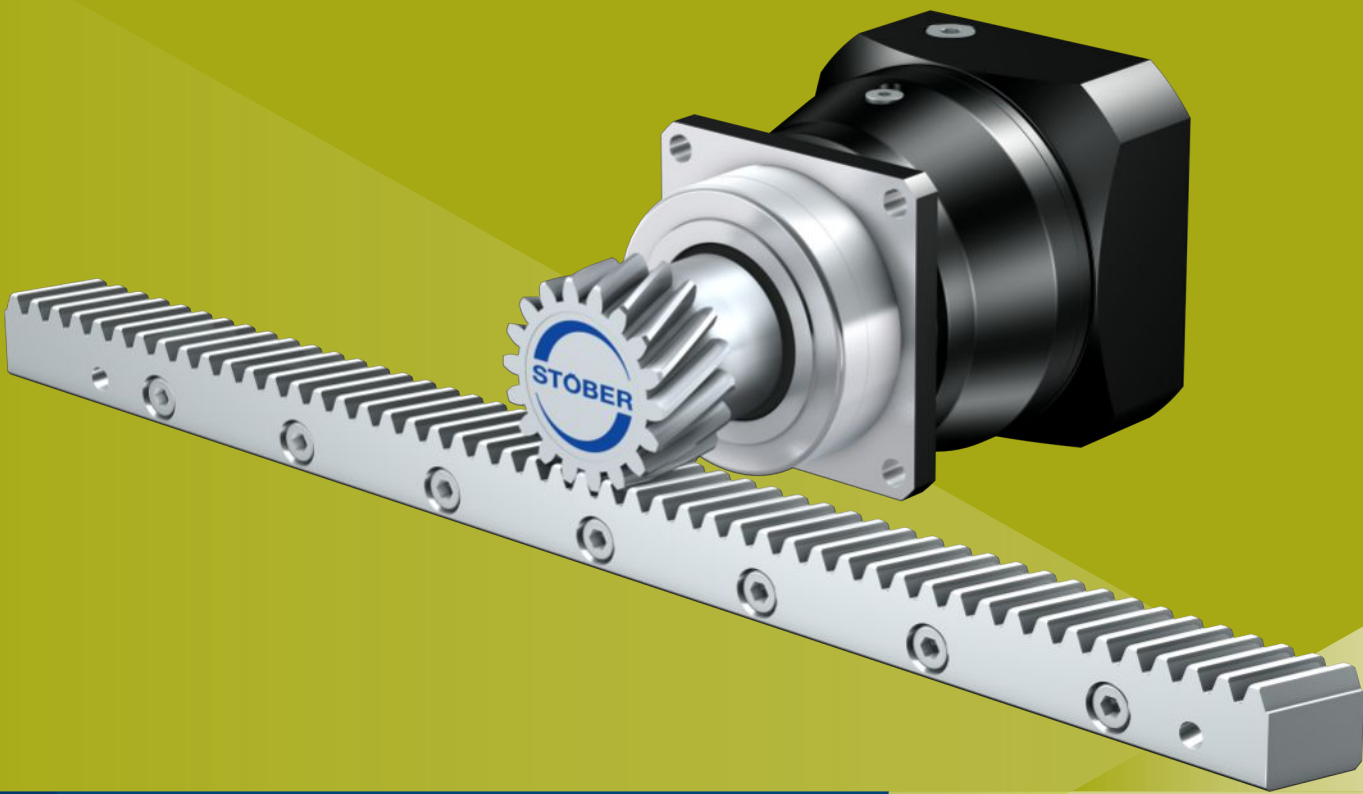
Introduzca el n.º de id. de la documentación en el campo Termine di ricercaérmino de búsqueda.

Documentación	N.º de id.
Instrucciones de operación reductores, motorreductores PH33 – PH83, PH94 – PH104	443354_es
Instrucciones de operación cremalleras	443392_es

## **8 Accionamientos de cremallera ZVP**

### **Índice**

8.1	Vista general .....	112
8.2	Tablas de selección.....	113
8.3	Esquemas de dimensiones .....	117
8.3.1	Posición de piñón E .....	118
8.3.2	Posición de piñón S .....	119
8.4	Denominación de tipo.....	120
8.4.1	Placa de características .....	121
8.5	Descripción del producto.....	122
8.5.1	Opciones de entrada .....	122
8.5.2	Adaptador de motor con acoplamiento EasyAdapt (ME/MEL) .....	122
8.5.3	Adaptador de motor con acoplamiento FlexiAdapt (MF) .....	123
8.5.4	Cremallera .....	123
8.5.5	Condiciones de montaje.....	123
8.5.6	Lubricantes.....	123
8.5.7	Otras características del producto .....	124
8.5.8	Sentido de giro .....	124
8.6	Diseño .....	124
8.6.1	Elección del accionamiento.....	125
8.6.2	Pares de vuelco admisibles en la entrada del reductor.....	127
8.6.3	Retenes radiales para ejes recomendados.....	128
8.7	Otros documentos .....	128



## 8

# Accionamientos de cremallera

# ZVP

## 8.1 Vista general

Reductores planetarios de precisión con piñón insertable

### Características

Densidad de potencia	★★★☆☆
Juego lineal	★★★★★
Categoría de precio	€€
Suavidad de funcionamiento	★★★☆☆
Rigidez lineal	★★★☆☆
Momento de inercia	★★★★☆
Solución de accionamiento lista para el montaje	✓
Piñón, calidad del dentado 6 (DIN 3962)	✓
Dentado helicoidal	✓
Templados y pulidos	✓

Leyenda ★★★☆☆ bueno | ★★★★★ excepcional

€ Economy | €€€€ Premium

### Características técnicas

$m_n$	2 – 4 mm
$z$	16 – 25
$F_{f2acc}$	1,7 – 15 kN
$V_{f2maxZB}$	0,14 – 5,3 m/s
$\Delta s$	8 – 44 µm

## 8.2 Tablas de selección

Los datos técnicos especificados en las tablas de selección son válidos para:

- Posición del piñón E con versión del rodamiento S (estándar)
- Posición del piñón S con versión del rodamiento D (axial reforzado, opcional)
- Montaje sin tensiones
- Lubricación permanente con los lubricantes recomendados en el capítulo Cremalleras [► 13.5.1]
- Piñón templado, con dentado helicoidal (ascendente a la izquierda 19° 31' 42"), calidad del dentado 6
- Alturas de instalación hasta 1000 m sobre el nivel del mar
- Temperaturas ambiente de 0 °C a 40 °C
- Sin tener en cuenta la potencia límite térmica
- $C_{lin}$ : posición del piñón S con versión del rodamiento D (axial reforzado, opcional)

Posibilidad de mayores fuerzas de avance para accionamientos de cremallera con juego de giro reducido, apoyo reforzado D (reforzado axialmente) o posición del piñón S. Todos los datos técnicos, así como otras combinaciones de posición del piñón y versión del rodamiento, pueden encontrarse en <https://configurador.stoeber.de/en-US/>.

Los símbolos de las fórmulas se explican en el capítulo [► 14.1].

i	Modelo	$n_{1maxDB}$ [min <sup>-1</sup> ]	$n_{1maxZB}$ [min <sup>-1</sup> ]	$d_{MW}$ [mm]	$v_{f2maxZB}$ [m/s]	$\Delta s$ [μm]	$\Delta s_{red}$ [μm]	$C_{lin}$ [N/ μm]	$m_n$ [mm]	z	$d_0$ [mm]	$F_{f2NS}$ [kN]	$F_{f2NE}$ [kN]	$F_{f2accS}$ [kN]	$F_{f2accE}$ [kN]	$F_{f2NOT,S}$ [kN]	$F_{f2NOT,E}$ [kN]	$M_{2accS}$ [Nm]	$M_{2accE}$ [Nm]
<b>ZV2P3 (<math>F_{f2acc,max} = 2,0</math> kN)</b>																			
3,000	ZV216S_P331_0030 ME	3500	7000	≤19	4,15	20	10	16	2	16	34,0	1,8	1,5	2,0	1,7	4,0	3,3	34	28
3,000	ZV216S_P331_0030 MEL	3500	7000	≤24	4,15	20	10	16	2	16	34,0	1,8	1,5	2,0	1,7	4,0	3,3	34	28
4,000	ZV216S_P331_0040 ME	4000	8000	≤19	3,56	20	10	16	2	16	34,0	2,0	1,6	2,0	1,7	4,0	3,3	34	28
4,000	ZV216S_P331_0040 MEL	4000	8000	≤24	3,56	20	10	16	2	16	34,0	2,0	1,6	2,0	1,7	4,0	3,3	34	28
5,000	ZV216S_P331_0050 ME	4500	8000	≤19	2,84	20	10	16	2	16	34,0	2,0	1,7	2,0	1,7	4,0	3,3	34	28
5,000	ZV216S_P331_0050 MEL	4500	8000	≤24	2,84	20	10	16	2	16	34,0	2,0	1,7	2,0	1,7	4,0	3,3	34	28
7,000	ZV216S_P331_0070 ME	5000	8000	≤19	2,03	20	10	16	2	16	34,0	2,0	1,7	2,0	1,7	4,0	3,3	34	28
7,000	ZV216S_P331_0070 MEL	5000	8000	≤24	2,03	20	10	16	2	16	34,0	2,0	1,7	2,0	1,7	4,0	3,3	34	28
8,000	ZV216S_P331_0080 ME	5000	8000	≤19	1,78	20	10	15	2	16	34,0	2,0	1,7	2,0	1,7	4,0	3,3	34	28
8,000	ZV216S_P331_0080 MEL	5000	8000	≤24	1,78	20	10	15	2	16	34,0	2,0	1,7	2,0	1,7	4,0	3,3	34	28
10,00	ZV216S_P331_0100 ME	5500	8000	≤19	1,42	20	10	15	2	16	34,0	2,0	1,7	2,0	1,7	4,0	3,3	34	28
10,00	ZV216S_P331_0100 MEL	5500	8000	≤24	1,42	20	10	15	2	16	34,0	2,0	1,7	2,0	1,7	4,0	3,3	34	28
12,00	ZV216S_P332_0120 ME	5500	8000	≤14	1,19	25	15	15	2	16	34,0	1,8	1,7	2,0	1,7	4,0	3,3	34	28
12,00	ZV216S_P332_0120 MEL	5500	8000	≤19	1,19	25	15	15	2	16	34,0	1,8	1,7	2,0	1,7	4,0	3,3	34	28
16,00	ZV216S_P332_0160 ME	5500	8000	≤14	0,89	25	15	16	2	16	34,0	2,0	1,7	2,0	1,7	4,0	3,3	34	28
16,00	ZV216S_P332_0160 MEL	5500	8000	≤19	0,89	25	15	16	2	16	34,0	2,0	1,7	2,0	1,7	4,0	3,3	34	28
20,00	ZV216S_P332_0200 ME	5500	8000	≤14	0,71	25	15	16	2	16	34,0	2,0	1,7	2,0	1,7	4,0	3,3	34	28
20,00	ZV216S_P332_0200 MEL	5500	8000	≤19	0,71	25	15	16	2	16	34,0	2,0	1,7	2,0	1,7	4,0	3,3	34	28
25,00	ZV216S_P332_0250 ME	6000	8000	≤14	0,57	25	15	16	2	16	34,0	2,0	1,7	2,0	1,7	4,0	3,3	34	28
25,00	ZV216S_P332_0250 MEL	6000	8000	≤19	0,57	25	15	16	2	16	34,0	2,0	1,7	2,0	1,7	4,0	3,3	34	28
28,00	ZV216S_P332_0280 ME	6000	8000	≤14	0,51	25	15	16	2	16	34,0	2,0	1,7	2,0	1,7	4,0	3,3	34	28
28,00	ZV216S_P332_0280 MEL	6000	8000	≤19	0,51	25	15	16	2	16	34,0	2,0	1,7	2,0	1,7	4,0	3,3	34	28
32,00	ZV216S_P332_0320 ME	5500	8000	≤14	0,44	25	15	15	2	16	34,0	2,0	1,7	2,0	1,7	4,0	3,3	34	28
32,00	ZV216S_P332_0320 MEL	5500	8000	≤19	0,44	25	15	15	2	16	34,0	2,0	1,7	2,0	1,7	4,0	3,3	34	28
35,00	ZV216S_P332_0350 ME	6000	8000	≤14	0,41	25	15	16	2	16	34,0	2,0	1,7	2,0	1,7	4,0	3,3	34	28
35,00	ZV216S_P332_0350 MEL	6000	8000	≤19	0,41	25	15	16	2	16	34,0	2,0	1,7	2,0	1,7	4,0	3,3	34	28
40,00	ZV216S_P332_0400 ME	6000	8000	≤14	0,36	25	15	15	2	16	34,0	2,0	1,7	2,0	1,7	4,0	3,3	34	28
40,00	ZV216S_P332_0400 MEL	6000	8000	≤19	0,36	25	15	15	2	16	34,0	2,0	1,7	2,0	1,7	4,0	3,3	34	28
50,00	ZV216S_P332_0500 ME	6000	8000	≤14	0,28	25	15	16	2	16	34,0	2,0	1,7	2,0	1,7	4,0	3,3	34	28
50,00	ZV216S_P332_0500 MEL	6000	8000	≤19	0,28	25	15	16	2	16	34,0	2,0	1,7	2,0	1,7	4,0	3,3	34	28
56,00	ZV216S_P332_0560 ME	6000	8000	≤14	0,25	25	15	15	2	16	34,0	2,0	1,7	2,0	1,7	4,0	3,3	34	28
56,00	ZV216S_P332_0560 MEL	6000	8000	≤19	0,25	25	15	15	2	16	34,0	2,0	1,7	2,0	1,7	4,0	3,3	34	28
70,00	ZV216S_P332_0700 ME	6000	8000	≤14	0,20	25	15	16	2	16	34,0	2,0	1,7	2,0	1,7	4,0	3,3	34	28
70,00	ZV216S_P332_0700 MEL	6000	8000	≤19	0,20	25	15	16	2	16	34,0	2,0	1,7	2,0	1,7	4,0	3,3	34	28
80,00	ZV216S_P332_0800 ME	6000	8000	≤14	0,18	25	15	15	2	16	34,0	2,0	1,7	2,0	1,7	4,0	3,3	34	28
80,00	ZV216S_P332_0800 MEL	6000	8000	≤19	0,18	25	15	15	2	16	34,0	2,0	1,7	2,0	1,7	4,0	3,3	34	28
100,0	ZV216S_P332_1000 ME	6000	8000	≤14	0,14	25	15	15	2	16	34,0	2,0	1,7	2,0	1,7	4,0	3,3	34	28
100,0	ZV216S_P332_1000 MEL	6000	8000	≤19	0,14	25	15	15	2	16	34,0	2,0	1,7	2,0	1,7	4,0	3,3	34	28
<b>ZV2P4 (<math>F_{f2acc,max} = 4,8</math> kN)</b>																			
3,000	ZV220S_P431_0030 ME	3000	6000	≤24	4,44	25	12	25	2	20	42,4	2,4	2,2	4,7	3,2	9,4	6,3	100	67
3,000	ZV220S_P431_0030 MEL	3000	6000	≤32	4,44	25	12	25	2	20	42,4	2,4	2,2	4,7	3,2	9,4	6,3	100	67
4,000	ZV220S_P431_0040 ME	3300	6500	≤24	3,61	25	12	26	2	20	42,4	3,8	2,4	4,8	3,2	9,7	6,3	102	67
4,000	ZV220S_P431_0040 MEL	3300	6500	≤32	3,61	25	12	26	2	20	42,4	3,8	2,4	4,8	3,2	9,7	6,3	102	67

i	Modelo	$n_{1\max DB}$ [min <sup>-1</sup> ]	$n_{1\max ZB}$ [min <sup>-1</sup> ]	d <sub>MW</sub> [mm]	v <sub>f2maxZB</sub> [m/s]	$\Delta s$ [μm]	$\Delta s_{red}$ [μm]	C <sub>lin</sub> [N/ μm]	m <sub>n</sub>	z	d <sub>0</sub> [mm]	F <sub>f2N,S</sub> [kN]	F <sub>f2N,E</sub> [kN]	F <sub>f2accS</sub> [kN]	F <sub>f2accE</sub> [kN]	F <sub>f2NOT,S</sub> [kN]	F <sub>f2NOT,E</sub> [kN]	M <sub>2accS</sub> [Nm]	M <sub>2accE</sub> [Nm]
<b>ZV2P4 (<math>F_{f2acc,max} = 4,8</math> kN)</b>																			
5,000	ZV220S_P431_0050 ME	3700	7000	≤24	3,11	25	12	26	2	20	42,4	4,1	2,6	4,8	3,2	9,7	6,3	102	67
5,000	ZV220S_P431_0050 MEL	3700	7000	≤32	3,11	25	12	26	2	20	42,4	4,1	2,6	4,8	3,2	9,7	6,3	102	67
7,000	ZV220S_P431_0070 ME	4000	8000	≤24	2,54	25	12	25	2	20	42,4	4,2	2,9	4,8	3,2	9,7	6,3	102	67
7,000	ZV220S_P431_0070 MEL	4000	8000	≤32	2,54	25	12	25	2	20	42,4	4,2	2,9	4,8	3,2	9,7	6,3	102	67
8,000	ZV220S_P431_0080 ME	4000	8000	≤24	2,22	25	12	24	2	20	42,4	3,8	3,1	4,8	3,2	9,7	6,3	102	67
8,000	ZV220S_P431_0080 MEL	4000	8000	≤32	2,22	25	12	24	2	20	42,4	3,8	3,1	4,8	3,2	9,7	6,3	102	67
10,00	ZV220S_P431_0100 ME	4000	8000	≤24	1,78	25	12	23	2	20	42,4	3,5	3,2	4,8	3,2	9,7	6,3	102	67
10,00	ZV220S_P431_0100 MEL	4000	8000	≤32	1,78	25	12	23	2	20	42,4	3,5	3,2	4,8	3,2	9,7	6,3	102	67
12,00	ZV220S_P432_0120 ME	3500	7000	≤19	1,30	31	19	25	2	20	42,4	2,8	2,8	4,7	3,2	9,4	6,3	100	67
12,00	ZV220S_P432_0120 MEL	3500	7000	≤24	1,30	31	19	25	2	20	42,4	2,8	2,8	4,7	3,2	9,4	6,3	100	67
16,00	ZV220S_P432_0160 ME	4000	8000	≤19	1,11	31	19	25	2	20	42,4	4,2	3,2	4,8	3,2	9,7	6,3	102	67
16,00	ZV220S_P432_0160 MEL	4000	8000	≤24	1,11	31	19	25	2	20	42,4	4,2	3,2	4,8	3,2	9,7	6,3	102	67
20,00	ZV220S_P432_0200 ME	4000	8000	≤19	0,89	31	19	25	2	20	42,4	4,5	3,2	4,8	3,2	9,7	6,3	102	67
20,00	ZV220S_P432_0200 MEL	4000	8000	≤24	0,89	31	19	25	2	20	42,4	4,5	3,2	4,8	3,2	9,7	6,3	102	67
25,00	ZV220S_P432_0250 ME	4500	8000	≤19	0,71	31	19	25	2	20	42,4	4,7	3,2	4,8	3,2	9,7	6,3	102	67
25,00	ZV220S_P432_0250 MEL	4500	8000	≤24	0,71	31	19	25	2	20	42,4	4,7	3,2	4,8	3,2	9,7	6,3	102	67
28,00	ZV220S_P432_0280 ME	4500	8000	≤19	0,64	31	19	25	2	20	42,4	4,5	3,2	4,8	3,2	9,7	6,3	102	67
28,00	ZV220S_P432_0280 MEL	4500	8000	≤24	0,64	31	19	25	2	20	42,4	4,5	3,2	4,8	3,2	9,7	6,3	102	67
32,00	ZV220S_P432_0320 ME	4000	8000	≤19	0,56	31	19	24	2	20	42,4	4,2	3,2	4,8	3,2	9,7	6,3	102	67
32,00	ZV220S_P432_0320 MEL	4000	8000	≤24	0,56	31	19	24	2	20	42,4	4,2	3,2	4,8	3,2	9,7	6,3	102	67
35,00	ZV220S_P432_0350 ME	4500	8000	≤19	0,51	31	19	25	2	20	42,4	4,8	3,2	4,8	3,2	9,7	6,3	102	67
35,00	ZV220S_P432_0350 MEL	4500	8000	≤24	0,51	31	19	25	2	20	42,4	4,8	3,2	4,8	3,2	9,7	6,3	102	67
40,00	ZV220S_P432_0400 ME	5000	8000	≤19	0,44	31	19	25	2	20	42,4	4,1	3,2	4,8	3,2	9,7	6,3	102	67
40,00	ZV220S_P432_0400 MEL	5000	8000	≤24	0,44	31	19	25	2	20	42,4	4,1	3,2	4,8	3,2	9,7	6,3	102	67
50,00	ZV220S_P432_0500 ME	5000	8000	≤19	0,36	31	19	25	2	20	42,4	4,8	3,2	4,8	3,2	9,7	6,3	102	67
50,00	ZV220S_P432_0500 MEL	5000	8000	≤24	0,36	31	19	25	2	20	42,4	4,8	3,2	4,8	3,2	9,7	6,3	102	67
56,00	ZV220S_P432_0560 ME	5000	8000	≤19	0,32	31	19	24	2	20	42,4	4,2	3,2	4,8	3,2	9,7	6,3	102	67
56,00	ZV220S_P432_0560 MEL	5000	8000	≤24	0,32	31	19	24	2	20	42,4	4,2	3,2	4,8	3,2	9,7	6,3	102	67
70,00	ZV220S_P432_0700 ME	5000	8000	≤19	0,25	31	19	25	2	20	42,4	4,6	3,2	4,8	3,2	9,7	6,3	102	67
70,00	ZV220S_P432_0700 MEL	5000	8000	≤24	0,25	31	19	25	2	20	42,4	4,6	3,2	4,8	3,2	9,7	6,3	102	67
80,00	ZV220S_P432_0800 ME	5000	8000	≤19	0,22	31	19	24	2	20	42,4	4,2	3,2	4,8	3,2	9,7	6,3	102	67
80,00	ZV220S_P432_0800 MEL	5000	8000	≤24	0,22	31	19	24	2	20	42,4	4,2	3,2	4,8	3,2	9,7	6,3	102	67
100,0	ZV220S_P432_1000 ME	5000	8000	≤19	0,18	31	19	23	2	20	42,4	4,0	3,2	4,8	3,2	9,7	6,3	102	67
100,0	ZV220S_P432_1000 MEL	5000	8000	≤24	0,18	31	19	23	2	20	42,4	4,0	3,2	4,8	3,2	9,7	6,3	102	67
<b>ZV2P5 (<math>F_{f2acc,max} = 9,5</math> kN)</b>																			
3,000	ZV225S_P531_0030 ME	2500	5000	≤32	4,63	23	8	36	2	25	53,1	4,5	2,7	7,5	5,1	15	10	200	135
3,000	ZV225S_P531_0030 MEL	2500	5000	≤38	4,63	23	8	36	2	25	53,1	4,5	2,7	7,5	5,1	15	10	200	135
4,000	ZV225S_P531_0040 ME	3000	6000	≤32	4,17	23	8	37	2	25	53,1	5,9	3,0	9,5	5,1	19	10	253	135
4,000	ZV225S_P531_0040 MEL	3000	6000	≤38	4,17	23	8	37	2	25	53,1	5,9	3,0	9,5	5,1	19	10	253	135
5,000	ZV225S_P531_0050 ME	3500	7000	≤32	3,89	23	8	37	2	25	53,1	6,4	3,2	9,5	5,1	19	10	253	135
5,000	ZV225S_P531_0050 MEL	3500	7000	≤38	3,89	23	8	37	2	25	53,1	6,4	3,2	9,5	5,1	19	10	253	135
7,000	ZV225S_P531_0070 ME	3700	7000	≤32	2,78	23	8	36	2	25	53,1	7,2	3,6	9,5	5,1	19	10	253	135
7,000	ZV225S_P531_0070 MEL	3700	7000	≤38	2,78	23	8	36	2	25	53,1	7,2	3,6	9,5	5,1	19	10	253	135
8,000	ZV225S_P531_0080 ME	3700	7000	≤32	2,43	23	8	34	2	25	53,1	7,5	3,8	9,5	5,1	19	10	253	135
8,000	ZV225S_P531_0080 MEL	3700	7000	≤38	2,43	23	8	34	2	25	53,1	7,5	3,8	9,5	5,1	19	10	253	135
10,00	ZV225S_P531_0100 ME	3700	7000	≤32	1,94	23	8	34	2	25	53,1	6,8	4,1	9,5	5,1	19	10	253	135
10,00	ZV225S_P531_0100 MEL	3700	7000	≤38	1,94	23	8	34	2	25	53,1	6,8	4,1	9,5	5,1	19	10	253	135
12,00	ZV225S_P532_0120 ME	3000	6000	≤24	1,39	31	15	36	2	25	53,1	4,5	4,3	7,5	5,1	15	10	200	135
12,00	ZV225S_P532_0120 MEL	3000	6000	≤32	1,39	31	15	36	2	25	53,1	4,5	4,3	7,5	5,1	15	10	200	135
16,00	ZV225S_P532_0160 ME	3500	7000	≤24	1,22	31	15	36	2	25	53,1	8,3	4,8	9,5	5,1	19	10	253	135
16,00	ZV225S_P532_0160 MEL	3500	7000	≤32	1,22	31	15	36	2	25	53,1	8,3	4,8	9,5	5,1	19	10	253	135
20,00	ZV225S_P532_0200 ME	3500	7000	≤24	0,97	31	15	36	2	25	53,1	9,4	5,1	9,5	5,1	19	10	253	135
20,00	ZV225S_P532_0200 MEL	3500	7000	≤32	0,97	31	15	36	2	25	53,1	9,4	5,1	9,5	5,1	19	10	253	135
25,00	ZV225S_P532_0250 ME	3700	7000	≤24	0,78	31	15	36	2	25	53,1	9,5	5,1	9,5	5,1	19	10	253	135
25,00	ZV225S_P532_0250 MEL	3700	7000	≤32	0,78	31	15	36	2	25	53,1	9,5	5,1	9,5	5,1	19	10	253	135
28,00	ZV225S_P532_0280 ME	4000	8000	≤24	0,79	31	15	36	2	25	53,1	8,7	5,1	9,5	5,1	19	10	253	135
28,00	ZV225S_P532_0280 MEL	40																	

i	Modelo	$n_{1\max DB}$ [min <sup>-1</sup> ]	$n_{1\max ZB}$ [min <sup>-1</sup> ]	d <sub>MW</sub> [mm]	v <sub>f2maxZB</sub> [m/s]	$\Delta s$ [μm]	$\Delta s_{red}$ [μm]	C <sub>lin</sub> [N/ μm]	m <sub>n</sub>	z	d <sub>0</sub> [mm]	F <sub>f2N,S</sub> [kN]	F <sub>f2N,E</sub> [kN]	F <sub>f2accS</sub> [kN]	F <sub>f2accE</sub> [kN]	F <sub>f2NOT,S</sub> [kN]	F <sub>f2NOT,E</sub> [kN]	M <sub>2accS</sub> [Nm]	M <sub>2accE</sub> [Nm]
<b>ZV2P5 (<math>F_{f2acc,max} = 9,5</math> kN)</b>																			
56,00	ZV225S_P532_0560 ME	4000	8000	≤24	0,40	31	15	34	2	25	53,1	8,3	5,1	9,5	5,1	19	10	253	135
56,00	ZV225S_P532_0560 MEL	4000	8000	≤32	0,40	31	15	34	2	25	53,1	8,3	5,1	9,5	5,1	19	10	253	135
70,00	ZV225S_P532_0700 ME	4200	8000	≤24	0,32	31	15	36	2	25	53,1	9,5	5,1	9,5	5,1	19	10	253	135
70,00	ZV225S_P532_0700 MEL	4200	8000	≤32	0,32	31	15	36	2	25	53,1	9,5	5,1	9,5	5,1	19	10	253	135
80,00	ZV225S_P532_0800 ME	4200	8000	≤24	0,28	31	15	34	2	25	53,1	8,3	5,1	9,5	5,1	19	10	253	135
80,00	ZV225S_P532_0800 MEL	4200	8000	≤32	0,28	31	15	34	2	25	53,1	8,3	5,1	9,5	5,1	19	10	253	135
100,0	ZV225S_P532_1000 ME	4200	8000	≤24	0,22	31	15	34	2	25	53,1	8,3	5,1	9,5	5,1	19	10	253	135
100,0	ZV225S_P532_1000 MEL	4200	8000	≤32	0,22	31	15	34	2	25	53,1	8,3	5,1	9,5	5,1	19	10	253	135
<b>ZV3P5 (<math>F_{f2acc,max} = 11</math> kN)</b>																			
3,000	ZV318S_P531_0030 ME	2500	5000	≤32	5,00	25	8	38	3	18	57,3	4,2	2,8	7,0	5,2	14	10	200	150
3,000	ZV318S_P531_0030 MEL	2500	5000	≤38	5,00	25	8	38	3	18	57,3	4,2	2,8	7,0	5,2	14	10	200	150
4,000	ZV318S_P531_0040 ME	3000	6000	≤32	4,50	25	8	38	3	18	57,3	5,8	3,1	10	5,2	21	10	300	150
4,000	ZV318S_P531_0040 MEL	3000	6000	≤38	4,50	25	8	38	3	18	57,3	5,8	3,1	10	5,2	21	10	300	150
5,000	ZV318S_P531_0050 ME	3500	7000	≤32	4,20	25	8	38	3	18	57,3	6,3	3,3	11	5,2	21	10	302	150
5,000	ZV318S_P531_0050 MEL	3500	7000	≤38	4,20	25	8	38	3	18	57,3	6,3	3,3	11	5,2	21	10	302	150
7,000	ZV318S_P531_0070 ME	3700	7000	≤32	3,00	25	8	37	3	18	57,3	7,0	3,7	11	5,2	21	10	302	150
7,000	ZV318S_P531_0070 MEL	3700	7000	≤38	3,00	25	8	37	3	18	57,3	7,0	3,7	11	5,2	21	10	302	150
8,000	ZV318S_P531_0080 ME	3700	7000	≤32	2,63	25	8	34	3	18	57,3	7,0	3,8	10	5,2	21	10	296	150
8,000	ZV318S_P531_0080 MEL	3700	7000	≤38	2,63	25	8	34	3	18	57,3	7,0	3,8	10	5,2	21	10	296	150
10,00	ZV318S_P531_0100 ME	3700	7000	≤32	2,10	25	8	35	3	18	57,3	6,3	4,1	10	5,2	20	10	288	150
10,00	ZV318S_P531_0100 MEL	3700	7000	≤38	2,10	25	8	35	3	18	57,3	6,3	4,1	10	5,2	20	10	288	150
12,00	ZV318S_P532_0120 ME	3000	6000	≤24	1,50	33	17	37	3	18	57,3	4,2	4,2	7,0	5,2	14	10	200	150
12,00	ZV318S_P532_0120 MEL	3000	6000	≤32	1,50	33	17	37	3	18	57,3	4,2	4,2	7,0	5,2	14	10	200	150
16,00	ZV318S_P532_0160 ME	3500	7000	≤24	1,31	33	17	38	3	18	57,3	7,7	4,8	10	5,2	21	10	300	150
16,00	ZV318S_P532_0160 MEL	3500	7000	≤32	1,31	33	17	38	3	18	57,3	7,7	4,8	10	5,2	21	10	300	150
20,00	ZV318S_P532_0200 ME	3500	7000	≤24	1,05	33	17	38	3	18	57,3	8,7	5,2	11	5,2	21	10	302	150
20,00	ZV318S_P532_0200 MEL	3500	7000	≤32	1,05	33	17	38	3	18	57,3	8,7	5,2	11	5,2	21	10	302	150
25,00	ZV318S_P532_0250 ME	3700	7000	≤24	0,84	33	17	38	3	18	57,3	9,1	5,2	11	5,2	21	10	302	150
25,00	ZV318S_P532_0250 MEL	3700	7000	≤32	0,84	33	17	38	3	18	57,3	9,1	5,2	11	5,2	21	10	302	150
28,00	ZV318S_P532_0280 ME	4000	8000	≤24	0,86	33	17	37	3	18	57,3	8,1	5,2	10	5,2	21	10	300	150
28,00	ZV318S_P532_0280 MEL	4000	8000	≤32	0,86	33	17	37	3	18	57,3	8,1	5,2	10	5,2	21	10	300	150
32,00	ZV318S_P532_0320 ME	3500	7000	≤24	0,66	33	17	35	3	18	57,3	8,4	5,2	11	5,2	21	10	302	150
32,00	ZV318S_P532_0320 MEL	3500	7000	≤32	0,66	33	17	35	3	18	57,3	8,4	5,2	11	5,2	21	10	302	150
35,00	ZV318S_P532_0350 ME	4000	8000	≤24	0,69	33	17	38	3	18	57,3	9,4	5,2	11	5,2	21	10	302	150
35,00	ZV318S_P532_0350 MEL	4000	8000	≤32	0,69	33	17	38	3	18	57,3	9,4	5,2	11	5,2	21	10	302	150
40,00	ZV318S_P532_0400 ME	4000	8000	≤24	0,60	33	17	37	3	18	57,3	7,5	5,2	10	5,2	21	10	300	150
40,00	ZV318S_P532_0400 MEL	4000	8000	≤32	0,60	33	17	37	3	18	57,3	7,5	5,2	10	5,2	21	10	300	150
50,00	ZV318S_P532_0500 ME	4000	8000	≤24	0,48	33	17	37	3	18	57,3	9,4	5,2	11	5,2	21	10	302	150
50,00	ZV318S_P532_0500 MEL	4000	8000	≤32	0,48	33	17	37	3	18	57,3	9,4	5,2	11	5,2	21	10	302	150
56,00	ZV318S_P532_0560 ME	4000	8000	≤24	0,43	33	17	35	3	18	57,3	7,7	5,2	10	5,2	20	10	288	150
56,00	ZV318S_P532_0560 MEL	4000	8000	≤32	0,43	33	17	35	3	18	57,3	7,7	5,2	10	5,2	20	10	288	150
70,00	ZV318S_P532_0700 ME	4200	8000	≤24	0,34	33	17	37	3	18	57,3	9,2	5,2	11	5,2	21	10	302	150
70,00	ZV318S_P532_0700 MEL	4200	8000	≤32	0,34	33	17	37	3	18	57,3	9,2	5,2	11	5,2	21	10	302	150
80,00	ZV318S_P532_0800 ME	4200	8000	≤24	0,30	33	17	35	3	18	57,3	7,7	5,2	10	5,2	20	10	288	150
80,00	ZV318S_P532_0800 MEL	4200	8000	≤32	0,30	33	17	35	3	18	57,3	7,7	5,2	10	5,2	20	10	288	150
100,0	ZV318S_P532_1000 ME	4200	8000	≤24	0,24	33	17	35	3	18	57,3	7,7	5,2	10	5,2	20	10	288	150
100,0	ZV318S_P532_1000 MEL	4200	8000	≤32	0,24	33	17	35	3	18	57,3	7,7	5,2	10	5,2	20	10	288	150
<b>ZV3P7 (<math>F_{f2acc,max} = 16</math> kN)</b>																			
3,000	ZV322S_P731_0030 ME	2200	4000	≤38	4,89	31	10	46	3	22	70,0	6,2	3,7	14	7,0	29	14	500	245
3,000	ZV322S_P731_0030 MEL	2200	4000	≤48	4,89	31	10	46	3	22	70,0	6,2	3,7	14	7,0	29	14	500	245
4,000	ZV322S_P731_0040 ME	2500	5000	≤38	4,58	31	10	46	3	22	70,0	6,8	4,1	16	7,0	33	14	574	245
4,000	ZV322S_P731_0040 MEL	2500	5000	≤48	4,58	31	10	46	3	22	70,0	6,8	4,1	16	7,0	33	14	574	245
5,000	ZV322S_P731_0050 ME	2700	5500	≤38	4,03	31	10	46	3	22	70,0	7,3	4,4	16	7,0	33	14	574	245
5,000	ZV322S_P731_0050 MEL	2700	5500	≤48	4,03	31	10	46	3	22	70,0	7,3	4,4	16	7,0	33	14	574	245
7,000	ZV322S_P731_0070 ME	3000	6000	≤38	3,14	31	10	45	3	22	70,0	8,2	4,9	16	7,0	33	14	574	245
7,000	ZV322S_P731_0070 MEL	3000	6000	≤48	3,14	31	10	45	3	22	70,0	8,2	4,9	16	7,0	33	14	574	245
8,000	ZV322S_P731_0080 ME	3000	6000	≤48	2,75	31	10												

i	Modelo	$n_{1\max DB}$ [min <sup>-1</sup> ]	$n_{1\max ZB}$ [min <sup>-1</sup> ]	d <sub>MW</sub> [mm]	v <sub>f2maxZB</sub> [m/s]	$\Delta s$ [μm]	$\Delta s_{red}$ [μm]	C <sub>lin</sub> [N/ μm]	m <sub>n</sub>	z	d <sub>0</sub> [mm]	F <sub>f2N,S</sub> [kN]	F <sub>f2N,E</sub> [kN]	F <sub>f2accS</sub> [kN]	F <sub>f2accE</sub> [kN]	F <sub>f2NOT,S</sub> [kN]	F <sub>f2NOT,E</sub> [kN]	M <sub>2accS</sub> [Nm]	M <sub>2accE</sub> [Nm]
<b>ZV3P7 (<math>F_{f2acc,max} = 16</math> kN)</b>																			
20,00	ZV322S_P732_0200 MEL	3000	6000	≤38	1,10	41	20	46	3	22	70,0	12	7,0	16	7,0	33	14	574	245
25,00	ZV322S_P732_0250 ME	3500	7000	≤32	1,03	41	20	46	3	22	70,0	13	7,0	16	7,0	33	14	574	245
25,00	ZV322S_P732_0250 MEL	3500	7000	≤38	1,03	41	20	46	3	22	70,0	13	7,0	16	7,0	33	14	574	245
28,00	ZV322S_P732_0280 ME	3700	7000	≤32	0,92	41	20	46	3	22	70,0	13	7,0	16	7,0	33	14	574	245
28,00	ZV322S_P732_0280 MEL	3700	7000	≤38	0,92	41	20	46	3	22	70,0	13	7,0	16	7,0	33	14	574	245
32,00	ZV322S_P732_0320 ME	3000	6000	≤32	0,69	41	20	45	3	22	70,0	13	7,0	16	7,0	33	14	574	245
32,00	ZV322S_P732_0320 MEL	3000	6000	≤38	0,69	41	20	45	3	22	70,0	13	7,0	16	7,0	33	14	574	245
35,00	ZV322S_P732_0350 ME	3700	7000	≤32	0,73	41	20	46	3	22	70,0	13	7,0	16	7,0	33	14	574	245
35,00	ZV322S_P732_0350 MEL	3700	7000	≤38	0,73	41	20	46	3	22	70,0	13	7,0	16	7,0	33	14	574	245
40,00	ZV322S_P732_0400 ME	3700	7000	≤32	0,64	41	20	46	3	22	70,0	13	7,0	16	7,0	33	14	574	245
40,00	ZV322S_P732_0400 MEL	3700	7000	≤38	0,64	41	20	46	3	22	70,0	13	7,0	16	7,0	33	14	574	245
50,00	ZV322S_P732_0500 ME	3700	7000	≤32	0,51	41	20	46	3	22	70,0	13	7,0	16	7,0	33	14	574	245
50,00	ZV322S_P732_0500 MEL	3700	7000	≤38	0,51	41	20	46	3	22	70,0	13	7,0	16	7,0	33	14	574	245
56,00	ZV322S_P732_0560 ME	3700	7000	≤32	0,46	41	20	45	3	22	70,0	13	7,0	16	7,0	33	14	574	245
56,00	ZV322S_P732_0560 MEL	3700	7000	≤38	0,46	41	20	45	3	22	70,0	13	7,0	16	7,0	33	14	574	245
70,00	ZV322S_P732_0700 ME	3700	7000	≤32	0,37	41	20	45	3	22	70,0	13	7,0	16	7,0	33	14	574	245
70,00	ZV322S_P732_0700 MEL	3700	7000	≤38	0,37	41	20	45	3	22	70,0	13	7,0	16	7,0	33	14	574	245
80,00	ZV322S_P732_0800 ME	3700	7000	≤32	0,32	41	20	45	3	22	70,0	13	7,0	16	7,0	33	14	574	245
80,00	ZV322S_P732_0800 MEL	3700	7000	≤38	0,32	41	20	45	3	22	70,0	13	7,0	16	7,0	33	14	574	245
100,0	ZV322S_P732_1000 ME	3700	7000	≤32	0,26	41	20	44	3	22	70,0	12	7,0	16	7,0	31	14	550	245
100,0	ZV322S_P732_1000 MEL	3700	7000	≤38	0,26	41	20	44	3	22	70,0	12	7,0	16	7,0	31	14	550	245
<b>ZV4P7 (<math>F_{f2acc,max} = 15</math> kN)</b>																			
3,000	ZV418S_P731_0030 ME	2200	4000	≤38	5,33	33	11	48	4	18	76,4	6,0	3,8	13	7,3	26	15	500	280
3,000	ZV418S_P731_0030 MEL	2200	4000	≤48	5,33	33	11	49	4	18	76,4	6,0	3,8	13	7,3	26	15	500	280
4,000	ZV418S_P731_0040 ME	2500	5000	≤38	5,00	33	11	49	4	18	76,4	6,6	4,2	15	7,3	31	15	589	280
4,000	ZV418S_P731_0040 MEL	2500	5000	≤48	5,00	33	11	49	4	18	76,4	6,6	4,2	15	7,3	31	15	589	280
5,000	ZV418S_P731_0050 ME	2700	5500	≤38	4,40	33	11	49	4	18	76,4	7,1	4,5	15	7,3	31	15	589	280
5,000	ZV418S_P731_0050 MEL	2700	5500	≤48	4,40	33	11	49	4	18	76,4	7,1	4,5	15	7,3	31	15	589	280
7,000	ZV418S_P731_0070 ME	3000	6000	≤38	3,43	33	11	48	4	18	76,4	8,0	5,1	15	7,3	31	15	589	280
7,000	ZV418S_P731_0070 MEL	3000	6000	≤48	3,43	33	11	48	4	18	76,4	8,0	5,1	15	7,3	31	15	589	280
8,000	ZV418S_P731_0080 ME	3000	6000	≤38	3,00	33	11	47	4	18	76,4	8,3	5,3	15	7,3	31	15	589	280
8,000	ZV418S_P731_0080 MEL	3000	6000	≤48	3,00	33	11	47	4	18	76,4	8,3	5,3	15	7,3	31	15	589	280
10,00	ZV418S_P731_0100 ME	3000	6000	≤38	2,40	33	11	46	4	18	76,4	9,0	5,7	15	7,3	30	15	575	280
10,00	ZV418S_P731_0100 MEL	3000	6000	≤48	2,40	33	11	46	4	18	76,4	9,0	5,7	15	7,3	30	15	575	280
12,00	ZV418S_P732_0120 ME	2500	5000	≤32	1,67	44	22	48	4	18	76,4	7,7	6,0	13	7,3	26	15	500	280
12,00	ZV418S_P732_0120 MEL	2500	5000	≤38	1,67	44	22	48	4	18	76,4	7,7	6,0	13	7,3	26	15	500	280
16,00	ZV418S_P732_0160 ME	3000	6000	≤32	1,50	44	22	49	4	18	76,4	11	6,7	15	7,3	31	15	589	280
16,00	ZV418S_P732_0160 MEL	3000	6000	≤38	1,50	44	22	49	4	18	76,4	11	6,7	15	7,3	31	15	589	280
20,00	ZV418S_P732_0200 ME	3000	6000	≤32	1,20	44	22	49	4	18	76,4	11	7,2	15	7,3	31	15	589	280
20,00	ZV418S_P732_0200 MEL	3000	6000	≤38	1,20	44	22	49	4	18	76,4	11	7,2	15	7,3	31	15	589	280
25,00	ZV418S_P732_0250 ME	3500	7000	≤32	1,12	44	22	49	4	18	76,4	12	7,3	15	7,3	31	15	589	280
25,00	ZV418S_P732_0250 MEL	3500	7000	≤38	1,12	44	22	49	4	18	76,4	12	7,3	15	7,3	31	15	589	280
28,00	ZV418S_P732_0280 ME	3700	7000	≤32	1,00	44	22	49	4	18	76,4	12	7,3	15	7,3	31	15	589	280
28,00	ZV418S_P732_0280 MEL	3700	7000	≤38	1,00	44	22	49	4	18	76,4	12	7,3	15	7,3	31	15	589	280
32,00	ZV418S_P732_0320 ME	3000	6000	≤32	0,75	44	22	47	4	18	76,4	12	7,3	15	7,3	31	15	589	280
32,00	ZV418S_P732_0320 MEL	3000	6000	≤38	0,75	44	22	47	4	18	76,4	12	7,3	15	7,3	31	15	589	280
35,00	ZV418S_P732_0350 ME	3700	7000	≤32	0,80	44	22	49	4	18	76,4	12	7,3	15	7,3	31	15	589	280
35,00	ZV418S_P732_0350 MEL	3700	7000	≤38	0,80	44	22	49	4	18	76,4	12	7,3	15	7,3	31	15	589	280
40,00	ZV418S_P732_0400 ME	3700	7000	≤32	0,70	44	22	48	4	18	76,4	12	7,3	15	7,3	31	15	589	280
40,00	ZV418S_P732_0400 MEL	3700	7000	≤38	0,70	44	22	48	4	18	76,4	12	7,3	15	7,3	31	15	589	280
50,00	ZV418S_P732_0500 ME	3700	7000	≤32	0,56	44	22	49	4	18	76,4	12	7,3	15	7,3	31	15	589	280
50,00	ZV418S_P732_0500 MEL	3700	7000	≤38	0,56	44	22	49	4	18	76,4	12	7,3	15	7,3	31	15	589	280
56,00	ZV418S_P732_0560 ME	3700	7000	≤32	0,50	44	22	47	4	18	76,4	12	7,3	15	7,3	31	15	589	280
56,00	ZV418S_P732_0560 MEL	3700	7000	≤38	0,50	44	22	47	4	18	76,4	12	7,3	15	7,3	31	15	589	280
70,00	ZV418S_P732_0700 ME	3700	7000	≤32	0,40	44	22	48	4	18	76,4	12	7,3	15	7,3	31	15	589	280
70,00	ZV418S_P732_0700 MEL	3700	7000	≤38	0,40	44	22	48	4	18	76,4	12	7,3	15	7,3	31	15	589	280
80,00	ZV418S_P732_0800 ME	3700	7000	≤32	0,35	44	22	47	4	18	76,4	12	7,3	15	7,3	31	15		

## 8.3 Esquemas de dimensiones

Este capítulo contiene la información sobre las dimensiones de los accionamientos de cremallera con adaptadores de motor.

La medida  $az$  en las tablas de dimensiones es válida para cremalleras STOBER. En general se aplica lo siguiente:  $az = \frac{1}{2} d_0 + h_0 + x * m_n$

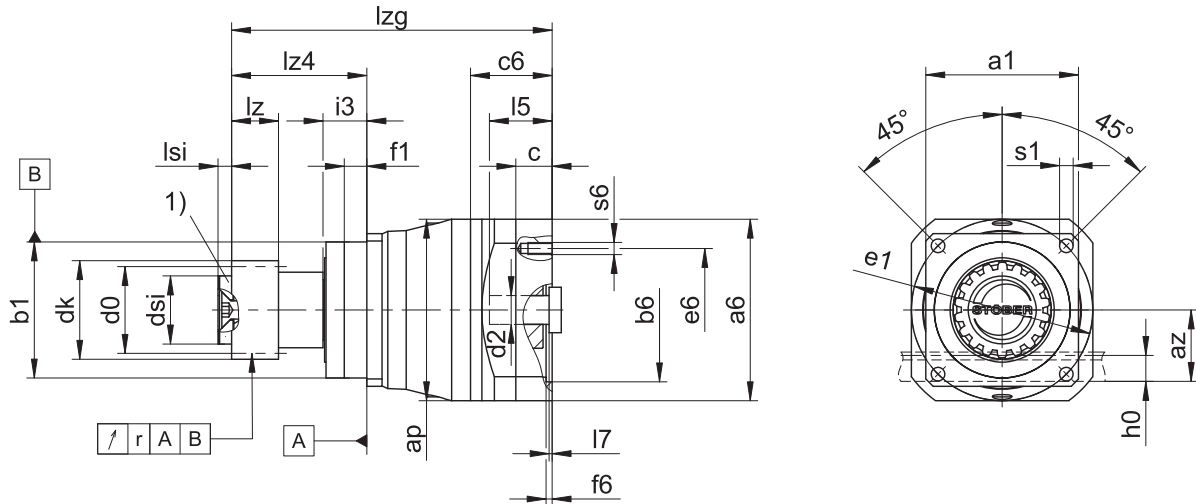
Piñón del accionamiento de cremallera con dentado helicoidal (ascendente a la izquierda  $19^\circ 31' 42''$ ). La calidad del dentado del piñón es 6.

Las tolerancias de fundición o bien la suma de las tolerancias individuales pueden provocar que las medidas sobrepasen las especificaciones de ISO 2768-mK.

Nos reservamos el derecho de realizar cambios en las dimensiones en pro del desarrollo tecnológico.

Los modelos 3D de nuestros accionamientos estándar se pueden descargar en <https://configurator.stober.de/en-US/>.

### 8.3.1 Posición de piñón E



1) Seguro axial (opcional)

El dato de concentricidad solo es válido para el apoyo D reforzado.

#### Medidas salida

Modelo	mn	$\square a1$	ap	az	$\varnothing b1$	$\varnothing d0$	$\varnothing dk$	$\varnothing ds1$	$\varnothing e1$	f1	h0	i3	lz	lz4	lsi	r	$\varnothing s1$	x
ZV216SEP331_	2	72	72	39,98	$60_{h6}$	33,95	39,81	25	75	7,5	22	19	26	49,5	4	0,025	5,5	0,5
ZV216SEP332_	2	72	75	39,98	$60_{h6}$	33,95	39,81	25	75	7,5	22	19	26	49,5	4	0,025	5,5	0,5
ZV220SEP431_	2	76	98	44,02	$70_{h6}$	42,44	47,90	30	85	7,5	22	19	26	57,5	6	0,025	6,6	0,4
ZV220SEP432_	2	76	100	44,02	$70_{h6}$	42,44	47,90	30	85	7,5	22	19	26	57,5	6	0,025	6,6	0,4
ZV225SEP531_	2	101	115	49,33	$90_{h6}$	53,05	58,52	45	120	15,0	22	29	26	89,5	8	0,030	9,0	0,4
ZV225SEP532_	2	101	120	49,33	$90_{h6}$	53,05	58,52	45	120	15,0	22	29	26	89,5	8	0,030	9,0	0,4
ZV318SEP531_	3	101	115	55,55	$90_{h6}$	57,30	65,01	45	120	15,0	26	29	31	89,5	8	0,030	9,0	0,3
ZV318SEP532_	3	101	120	55,55	$90_{h6}$	57,30	65,01	45	120	15,0	26	29	31	89,5	8	0,030	9,0	0,3
ZV322SEP731_	3	144	150	62,21	$130_{h6}$	70,03	78,35	55	165	3,5	26	29	31	113,5	10	0,035	11,0	0,4
ZV322SEP732_	3	144	150	62,21	$130_{h6}$	70,03	78,35	55	165	3,5	26	29	31	113,5	10	0,035	11,0	0,4
ZV418SEP731_	4	144	150	74,40	$130_{h6}$	76,40	86,77	55	165	3,5	35	29	41	113,5	10	0,035	11,0	0,3
ZV418SEP732_	4	144	150	74,40	$130_{h6}$	76,40	86,77	55	165	3,5	35	29	41	113,5	10	0,035	11,0	0,3

#### Ejemplos de medidas de conexión del motor + longitud total

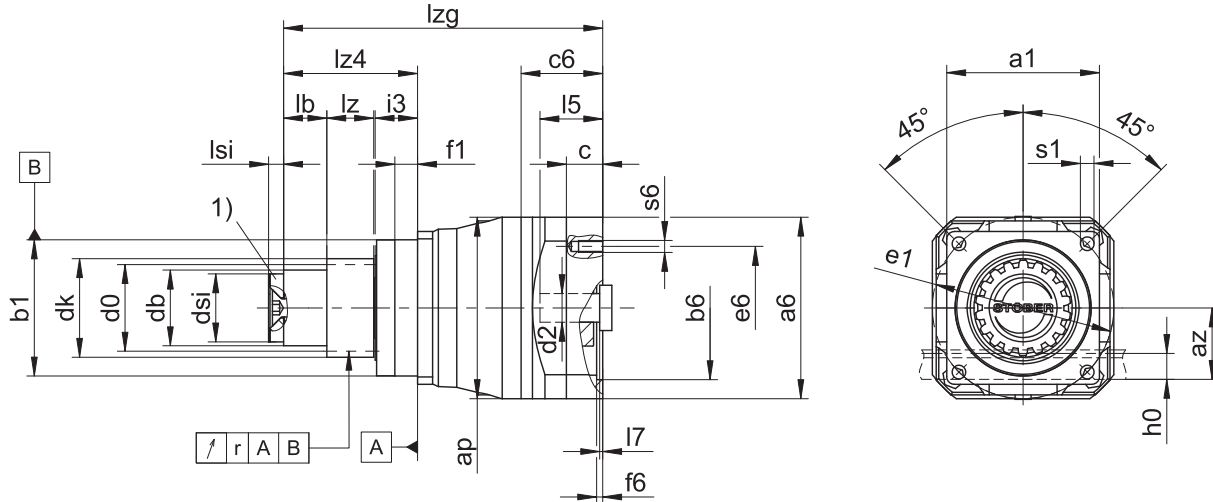
Modelo	$\varnothing b6$	$\varnothing e6$	$\varnothing d2max$	l5	$\square a6$	c	c6	f6	l7	lsg	s6
ZV_P331_ME	$60^{H7}$	75	19	41	75	18	41,5	3,5	4,0	147,0	M5
ZV_P332_ME	$40^{H7}$	63	14	30	55	15	32,0	3,5	3,0	164,5	M5
ZV_P431_ME	$95^{H7}$	115	24	41	100	21	42,5	4,0	3,5	167,0	M8
ZV_P432_ME	$60^{H7}$	75	19	41	75	18	41,5	3,5	4,0	204,0	M5
ZV_P531_ME	$110^{H7}$	130	32	51	120	24	54,0	4,0	4,5	212,0	M8
ZV_P532_ME	$95^{H7}$	115	24	41	100	21	42,5	4,0	3,5	241,0	M8
ZV_P731_ME	$130^{H7}$	165	38	61	150	26	66,0	5,5	4,5	266,0	M10
ZV_P732_ME	$110^{H7}$	130	32	51	120	24	54,0	4,0	4,5	304,0	M8

La tabla de arriba contiene ejemplos de medidas de la conexión del motor para el adaptador de motor ME.

Tenga en cuenta que las medidas c6, l5 y lsg se alargan correspondientemente cuando se alarga la medida c.

Encontrará otras medidas de conexión del motor para los adaptadores de motor ME, MEL y MF en el STO-BER Configurator en <https://configurator.stoeber.de/en-US/>. Allí podrá descargar directamente un modelo 3D de su accionamiento.

### 8.3.2 Posición de piñón S



1) Seguro axial (opcional)

El dato de concentricidad solo es válido para el apoyo D reforzado.

#### Medidas salida

Modelo	mn	$\square a1$	ap	az	$\emptyset b1$	$\emptyset d0$	$\emptyset db$	$\emptyset dk$	$\emptyset ds1$	$\emptyset e1$	f1	h0	i3	lb	lZ	lZ4	lsi	r	$\emptyset s1$	x
ZV216SSP331_	2	72	72	39,98	$60_{\text{h}6}$	34,0	30	39,81	25	75	7,5	22	18	4,5	26	49,5	4	0,025	5,5	0,5
ZV216SSP332_	2	72	75	39,98	$60_{\text{h}6}$	34,0	30	39,81	25	75	7,5	22	18	4,5	26	49,5	4	0,025	5,5	0,5
ZV220SSP431_	2	76	98	44,02	$70_{\text{h}6}$	42,4	38	47,90	30	85	7,5	22	18	12,5	26	57,5	6	0,025	6,6	0,4
ZV220SSP432_	2	76	100	44,02	$70_{\text{h}6}$	42,4	38	47,90	30	85	7,5	22	18	12,5	26	57,5	6	0,025	6,6	0,4
ZV225SSP531_	2	101	115	49,33	$90_{\text{h}6}$	53,1	50	58,52	45	120	15,0	22	28	34,5	26	89,5	8	0,030	9,0	0,4
ZV225SSP532_	2	101	120	49,33	$90_{\text{h}6}$	53,1	50	58,52	45	120	15,0	22	28	34,5	26	89,5	8	0,030	9,0	0,4
ZV318SSP531_	3	101	115	55,55	$90_{\text{h}6}$	57,3	50	65,01	45	120	15,0	26	28	29,5	31	89,5	8	0,030	9,0	0,3
ZV318SSP532_	3	101	120	55,55	$90_{\text{h}6}$	57,3	50	65,01	45	120	15,0	26	28	29,5	31	89,5	8	0,030	9,0	0,3
ZV322SSP731_	3	144	150	62,21	$130_{\text{h}6}$	70,0	62	78,35	55	165	3,5	26	28	53,5	31	113,5	10	0,035	11,0	0,4
ZV322SSP732_	3	144	150	62,21	$130_{\text{h}6}$	70,0	62	78,35	55	165	3,5	26	28	53,5	31	113,5	10	0,035	11,0	0,4
ZV418SSP731_	4	144	150	74,40	$130_{\text{h}6}$	76,4	62	86,77	55	165	3,5	35	28	43,5	41	113,5	10	0,035	11,0	0,3
ZV418SSP732_	4	144	150	74,40	$130_{\text{h}6}$	76,4	62	86,77	55	165	3,5	35	28	43,5	41	113,5	10	0,035	11,0	0,3

#### Ejemplos de medidas de conexión del motor + longitud total

Modelo	$\emptyset b6$	$\emptyset e6$	$\emptyset d2\max$	$l5$	$\square a6$	$c$	$c6$	$f6$	$l7$	$lZg$	$s6$
ZV_P331_ME	$60^{H7}$	75	19	41	75	18	41,5	3,5	4,0	147,0	M5
ZV_P332_ME	$40^{H7}$	63	14	30	55	15	32,0	3,5	3,0	164,5	M5
ZV_P431_ME	$95^{H7}$	115	24	41	100	21	42,5	4,0	3,5	167,0	M8
ZV_P432_ME	$60^{H7}$	75	19	41	75	18	41,5	3,5	4,0	204,0	M5
ZV_P531_ME	$110^{H7}$	130	32	51	120	24	54,0	4,0	4,5	212,0	M8
ZV_P532_ME	$95^{H7}$	115	24	41	100	21	42,5	4,0	3,5	241,0	M8
ZV_P731_ME	$130^{H7}$	165	38	61	150	26	66,0	5,5	4,5	266,0	M10
ZV_P732_ME	$110^{H7}$	130	32	51	120	24	54,0	4,0	4,5	304,0	M8

La tabla de arriba contiene ejemplos de medidas de la conexión del motor para el adaptador de motor ME.

Tenga en cuenta que las medidas  $c6$ ,  $l5$  y  $lZg$  se alargan correspondientemente cuando se alarga la medida  $c$ .

Encontrará otras medidas de conexión del motor para los adaptadores de motor ME, MEL y MF en el STO-BER Configurator en <https://configurator.stoeber.de/en-US/>. Allí podrá descargar directamente un modelo 3D de su accionamiento.

## 8.4 Denominación de tipo

Este capítulo contiene información sobre la denominación de tipo y las opciones pertinentes.

Los datos de pedido que no forman parte de la denominación de tipo se incluyen al final del capítulo.

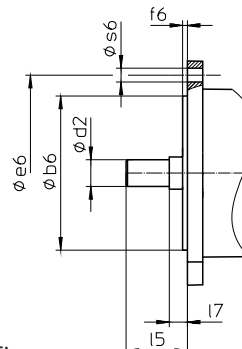
### Código de ejemplo

Z	V	3	22	S	S	P	7	3	1	S	P	S	S	0050	ME
---	---	---	----	---	---	---	---	---	---	---	---	---	---	------	----

### Explicación

Código	Denominación	Versión
Z	Tipo	Accionamiento de cremallera
V	Versión	Piñón insertable
3	Módulo estándar	$m_n = 3 \text{ mm}$ (ejemplo)
22	Número de dientes	$z = 22$ (ejemplo)
S	Dentado	con dentado helicoidal (ascendente a la izquierda $19^\circ 31' 42''$ )
E	Posición del piñón	Extremo del eje
S		Reborde del eje
P	Tipo	Reductor planetario
7	Tamaño	7 (ejemplo)
3	Generación	Generación 3
1	Etapas	1 etapa
2		2 etapas
S	Carcasa	Estándar
P	Eje	Eje macizo con chaveta
S	Rodamiento	Apoyo estándar
D		Apoyo con refuerzo axial
S	Juego de giro	Estándar
R		Reducido
0050	Número característico de reducción ( $i \times 10$ )	$i = 5$ (ejemplo)
ME	Adaptador de motor	Adaptador de motor con acoplamiento EasyAdapt
MEL		Adaptador de motor con acoplamiento EasyAdapt para motores grandes
MF		Adaptador de motor con acoplamiento FlexiAdapt
MB <sup>1</sup>		Adaptador de motor ServoStop con freno

Para completar la denominación de tipo, indique también la siguiente información al hacer el pedido:



- Tipo de motor o dimensiones del motor:

Para elegir la conexión de motor adecuada, seleccione su motor o las dimensiones de la conexión del motor en el STOBER Configurator en

<https://configurator.stoeber.de/en-US/>.

- Para los retenes radiales para ejes de NBR o FKM en la salida (opcional), véase el capítulo [▶ 8.6.3]
- Seguro axial (opcional), véase el capítulo [▶ 8.3]
- Con modo de inversión del eje de salida de  $\pm 20^\circ$  hasta  $\pm 90^\circ$  y montaje horizontal, bajo petición
- P531, P7: sellado doble para adaptador de motor (opcional)

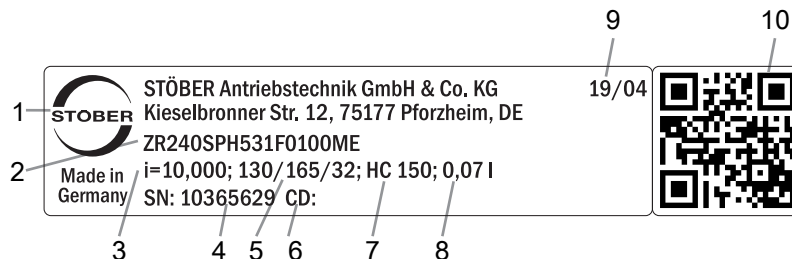
- Llave de vaso para el montaje del motor en el reductor mediante el adaptador de motor ME/MEL/MF (opcional)

Este catálogo de productos incluye toda la información relacionada con los accionamientos de cremallera con adaptador de motor.

Encontrará todas las opciones de entrada disponibles bajo petición en el capítulo [▶ 8.5.1].

## 8.4.1 Placa de características

En la siguiente figura se explica a modo de ejemplo la placa de características de un reductor.



Código	Denominación
1	Denominación del fabricante
2	Denominación de tipo
3	Transmisión del reductor
4	Número de serie del reductor
5	Medida del adaptador de motor (diámetro del borde de ajuste/círculo de agujeros/eje del motor)
6	Datos específicos del cliente
7	Especificación del lubricante
8	Cantidad de llenado de lubricante
9	Fecha de fabricación (año/semana)
10	Código QR (enlace a la información de producto)

### 8.4.1.1 Documentos aplicables

Puede ver o descargar los documentos aplicables para el producto introduciendo el número de serie que aparece en la placa de características del producto en la siguiente dirección de Internet:

<https://id.stober.com>

Alternativamente, con un dispositivo móvil adecuado puede escanear el código QR de la placa de características del producto y de este modo acceder a los documentos aplicables.

## 8.5 Descripción del producto

### 8.5.1 Opciones de entrada

Este capítulo incluye todas las opciones de entrada disponibles:

Adaptador de motor	Servomotor síncrono	Entrada ortogonal KX con adaptador de motor MF	Entrada ortogonal K con adaptador de motor ME	Adaptador de motor MB	Motor Lean LM
EZ					
					
N.º de id. del catálogo de productos	N.º de id. del catálogo de productos	Bajo petición	Bajo petición	Bajo petición	Bajo petición
443137_es	443286_en				

Puede encontrar los catálogos de productos correspondientes en <http://www.stoeber.de/es/downloads/>

Introduzca el n.º de id. del catálogo de productos en el campo Termine di ricercaérmino de búsqueda.

### 8.5.2 Adaptador de motor con acoplamiento EasyAdapt (ME/MEL)

Este capítulo contiene la descripción del acoplamiento EasyAdapt.

#### Propiedades:

- Montaje sencillo y rápido del motor
- Acoplamiento de compresión robusto de una sola pieza con función de expansión
- Momentos de inercia mínimos para el máximo dinamismo
- Equilibrado para un funcionamiento suave y sin vibraciones, incluso con un régimen de revoluciones elevado
- Amplia selección de diámetros y longitudes del eje del motor
- Sin fallos gracias al centrado exacto del motor
- Si el juego de giro es reducido, el alojamiento del eje del motor debe estar dispuesto axialmente sin holgura



Fig. 1: Acoplamiento EasyAdapt

### 8.5.3 Adaptador de motor con acoplamiento FlexiAdapt (MF)

Este capítulo contiene la descripción del acoplamiento FlexiAdapt.

#### Propiedades:

- Montaje sencillo y rápido del motor
- Acoplamiento de tipo fuelle robusto y soldado por láser con función de expansión
- Con compensación longitudinal térmica integrada, compensa las dilataciones lineales del eje del motor
- Eje del motor desacoplado de las fuerzas axiales
- Equilibrado para un funcionamiento suave y sin vibraciones, incluso con un régimen de revoluciones elevado
- Amplia selección de diámetros y longitudes del eje del motor
- Sin fallos gracias al centrado exacto del motor



*Fig. 2: Acoplamiento FlexiAdapt*

### 8.5.4 Cremallera

La cremallera empleada debe tener dentado ascendente a la derecha ( $19^{\circ} 31' 42''$ ) y no debe superarse la capacidad de carga.

Cuando utilice una cremallera de STOBER, tenga en cuenta también la planificación de proyecto en el capítulo [\[▶ 13.6\]](#).

### 8.5.5 Condiciones de montaje

Los pares de giro y las fuerzas que se indican solo son válidos si se utilizan tornillos de la clase de resistencia 12.9 para fijar el reductor en el lado de la máquina. Adicionalmente, la carcasa del reductor debe adaptarse en el borde de ajuste. La adaptación en el lado de la máquina debe ser H7.

### 8.5.6 Lubricantes

STOBER carga los reductores con la cantidad y el tipo de lubricante que se indican en la placa de características.

Lubricantes para el uso en la industria alimentaria disponibles bajo petición.

#### 8.5.6.1 Lubricación del accionamiento de cremallera

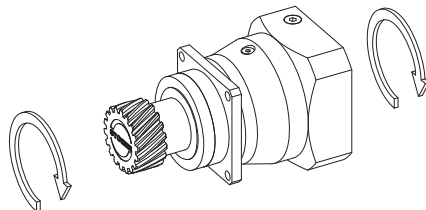
Asegure una lubricación permanente con los lubricantes recomendados en el capítulo [\[▶ 13.5.1\]](#).

## 8.5.7 Otras características del producto

Característica	Valor
Temperatura máx. admisible del reductor (en la superficie del reductor)	$\leq 90 \text{ }^{\circ}\text{C}$
Pintura	Negro RAL 9005
Directiva ATEX 2014/34/UE (opcional)	No adecuado.
Categoría de protección: <sup>2</sup>	
Reducor planetario	IP65
Piñón/Cremallera	IPXX

## 8.5.8 Sentido de giro

La entrada y la salida giran en la misma dirección.



## 8.6 Diseño

Utilice nuestro software de diseño SERVOsoft para proyectar sus accionamientos. Descargue SERVOsoft gratuitamente tras registrarse en <https://www.stoeber.de/es/servicios/informacion-servosoft/>.

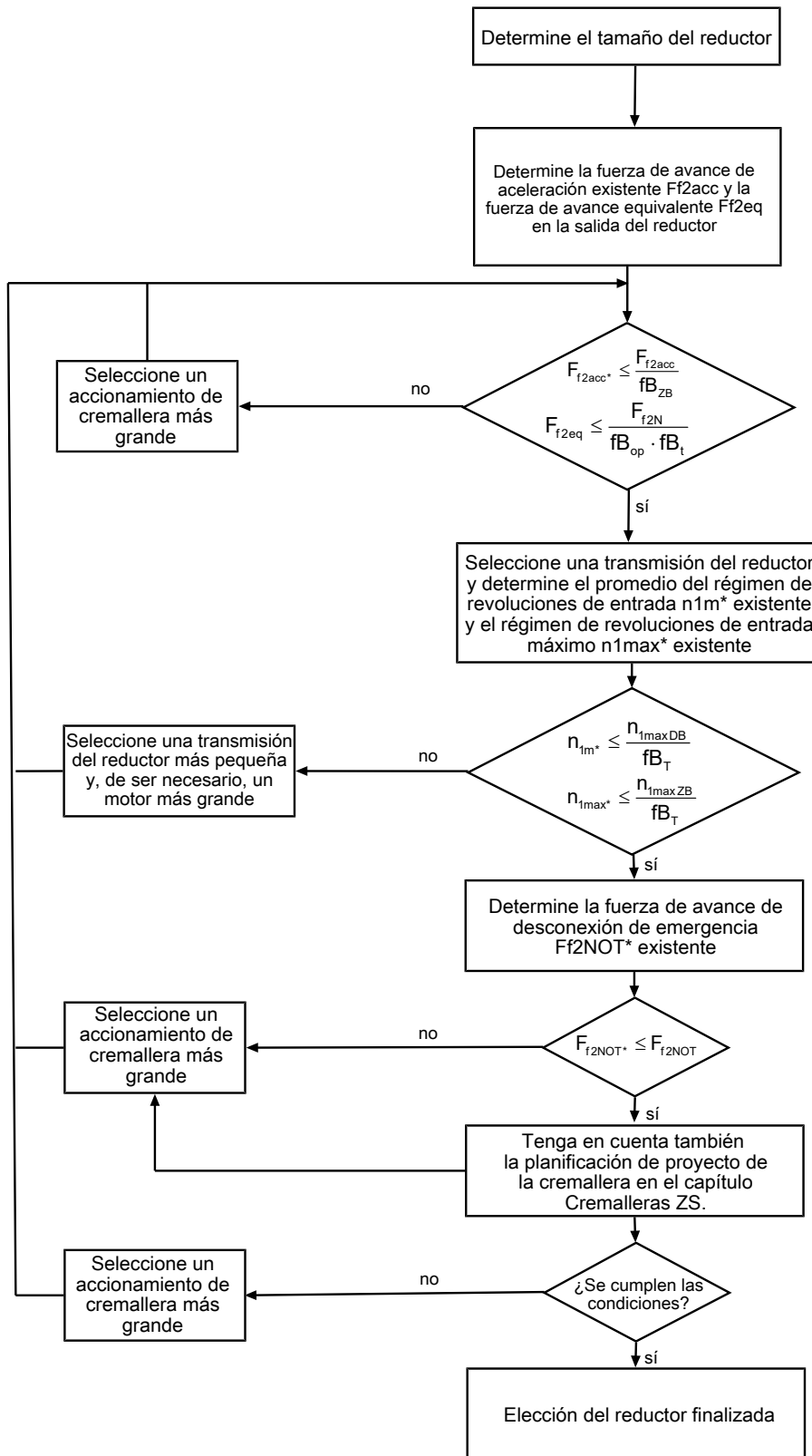
Este es el método más cómodo y seguro para seleccionar el accionamiento, ya que aquí se representa y evalúa la curva completa de par de giro-régimen de revoluciones de la aplicación en la curva característica del motorreductor.

En este capítulo solo se pueden tener en consideración valores límite para puntos de trabajo concretos si la elección del accionamiento se lleva a cabo manualmente.

Los símbolos de fórmula correspondientes a los valores que están realmente presentes en la aplicación están marcados con un asterisco \*.

Los símbolos de las fórmulas se explican en el capítulo [▶ 14.1].

## 8.6.1 Elección del accionamiento

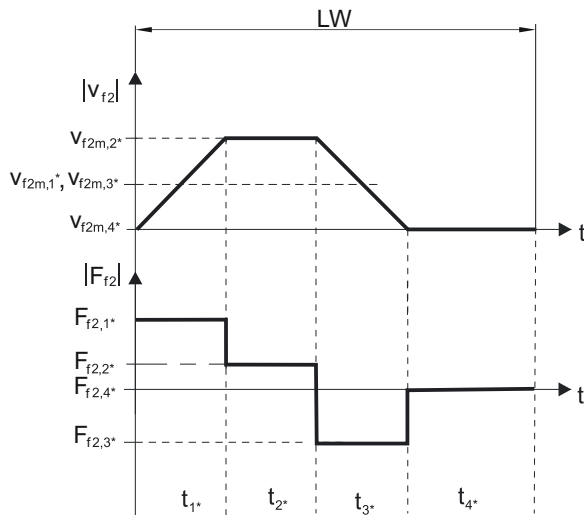


Consulte los valores para  $i$ ,  $n_{1\max DB}$ ,  $n_{1\max ZB}$ ,  $F_{f2acc}$ ,  $F_{f2N}$  y  $F_{f2NOT}$  en las tablas de selección. Las fuerzas dependen de la posición del piñón (E o S). Los regímenes de revoluciones dependen parcialmente de la posición de montaje.

Consulte los valores para  $fB_T$ ,  $fB_{op}$ ,  $fB_t$  y  $fB_{zB}$  en las tablas correspondientes de este capítulo.

### Ejemplo de servicio cíclico

Los siguientes cálculos se refieren a la representación de la potencia en la salida de acuerdo con el siguiente ejemplo:



#### Cálculo de la fuerza de avance de aceleración máxima existente

$$F_{f2acc*} = m \cdot a \cdot F_L*$$

#### Cálculo del promedio del régimen de revoluciones de entrada existente

$$n_{fm*} = \frac{v_{f2m*} \cdot i}{d_0 \cdot \pi}$$

$$V_{f2m*} = \frac{|v_{f2m,1*}| \cdot t_{1*} + \dots + |v_{f2m,n*}| \cdot t_{n*}}{t_{1*} + \dots + t_{n*}}$$

Si  $t_{1*} + \dots + t_{3*} \geq 6$  min, determine  $v_{2m*}$  sin la pausa  $t_{4*}$ .

Consulte los valores para la transmisión del reductor i en las tablas de selección.

#### Cálculo de la fuerza de avance de desconexión de emergencia existente

$$F_{f2NOT*} = m \cdot a_{NOT*} + F_L*$$

#### Cálculo de la fuerza de avance equivalente existente

$$F_{f2eq*} = \sqrt[3]{\frac{|v_{f2m,1*}| \cdot t_{1*} \cdot |F_{f2,1*}|^3 + \dots + |v_{f2m,n*}| \cdot t_{n*} \cdot |F_{f2,n*}|^3}{|v_{f2m,1*}| \cdot t_{1*} + \dots + |v_{f2m,n*}| \cdot t_{n*}}}$$

#### Factores de servicio

Modo de servicio	$f_{B_{op}}$
Servicio continuo fijo	1,00
Servicio cíclico	1,00
Servicio cíclico con carga reversible	1,00

Tiempo de funcionamiento	$f_B_t$
Tiempo de funcionamiento diario $\leq 8$ h	1,00
Tiempo de funcionamiento diario $\leq 16$ h	1,15
Tiempo de funcionamiento diario $\leq 24$ h	1,20

Servicio cíclico	$f_{B_{zb}}$
$\leq 1000$ cambios de carga/hora (LW/h)	1,00
$> 1000$ cambios de carga/hora (LW/h)	1,15

Temperatura		$f_{B_T}$
Refrigeración del motor	Temperatura ambiente	
Motor con ventilación externa	$\leq 20^\circ\text{C}$	0,9
	$\leq 30^\circ\text{C}$	1,0
	$\leq 40^\circ\text{C}$	1,15
Motor con refrigeración por convección	$\leq 20^\circ\text{C}$	1,0
	$\leq 30^\circ\text{C}$	1,1
	$\leq 40^\circ\text{C}$	1,25

**Indicaciones**

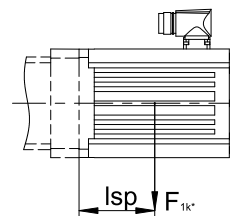
- No se debe exceder la temperatura máxima admisible del reductor (véase el capítulo Otras características del producto), ya que se podrían producir daños.
- En las situaciones de frenado con régimen de revoluciones máximo (p. ej., si se produce una caída de tensión o durante la instalación de la máquina), se deben tener en cuenta las fuerzas de avance admisibles del reductor ( $F_{f2acc}$ ,  $F_{f2NOT}$ ) que se indican en las tablas de selección.

## 8.6.2 Pares de vuelco admisibles en la entrada del reductor

Si va a montar el motor en posición horizontal, compruebe antes del montaje en un reductor STOBER que no se supere el par de vuelco admisible en la entrada del reductor. En este capítulo encontrará información al respecto.

Calcule el par de vuelco existente según sigue:

$$M_{1k*} = F_{1k*} \cdot l_{sp} \leq M_{1k}$$



Modelo	$M_{1k}$ [Nm]
P231_ME	10
P232_ME	10
P331_ME	20
P332_ME	10
P431_ME	40
P432_ME	20
P531_ME	80
P532_ME	40
P731_ME	200
P732_ME	80
P831_ME	400
P832_ME	200
P931_ME	800
P932_ME	400

Los valores también son válidos para los adaptadores de motor MEL y MF.

### 8.6.3 Retenes radiales para ejes recomendados

Para un tiempo de conexión > 60 % y temperaturas ambiente elevadas se recomiendan retenes radiales para ejes de FKM en la salida.

Propiedades:

- Excelente resistencia a la temperatura
- Gran estabilidad química
- Muy buena resistencia al envejecimiento
- Excelente resistencia en aceites y grasas
- Uso en las industrias alimentaria, farmacéutica y de bebidas

#### Seguridad contra fugas

Nuestros reductores están equipados con retenes radiales para ejes de alta calidad y verificados en cuanto a estanqueidad. Sin embargo, resulta imposible excluir por completo la posibilidad de que se produzca alguna fuga durante toda la vida útil de los reductores. Si utiliza los reductores con materiales no compatibles con los lubricantes, se deberán tomar medidas para impedir que puedan entrar en contacto directamente con el lubricante del reductor en caso de producirse una fuga.

## 8.7 Otros documentos

Encontrará más documentos relacionados con el producto en

<http://www.stoeber.de/es/downloads/>

Introduzca el n.º de id. de la documentación en el campo Termine di ricercaérmino de búsqueda.

Documentación	N.º de id.
Instrucciones de operación reductores, motorreductores P23 – P93	443356_es
Instrucciones de operación cremalleras	443392_es

## **9 Accionamientos de cremallera ZVPE**

### **Índice**

9.1	Vista general .....	130
9.2	Tablas de selección.....	131
9.3	Esquemas de dimensiones .....	133
9.3.1	Posición de piñón E .....	133
9.3.2	Posición de piñón S .....	134
9.4	Denominación de tipo.....	135
9.4.1	Placa de características .....	137
9.5	Descripción del producto.....	137
9.5.1	Opciones de entrada .....	137
9.5.2	Adaptador de motor con acoplamiento EasyAdapt (ME/MEL) .....	138
9.5.3	Cremallera .....	138
9.5.4	Condiciones de montaje.....	138
9.5.5	Lubricantes.....	139
9.5.6	Otras características del producto .....	139
9.5.7	Sentido de giro .....	139
9.6	Diseño .....	139
9.6.1	Elección del accionamiento.....	140
9.6.2	Pares de vuelco admisibles en la entrada del reductor.....	142
9.6.3	Retenes radiales para ejes.....	142
9.7	Otros documentos .....	143



9

## Accionamientos de cremallera

**ZVPE**

### 9.1 Vista general

Reductores planetarios con piñón insertable económicos

#### Características

Densidad de potencia	★★★★★
Juego lineal	★★★★★
Categoría de precio	€
Suavidad de funcionamiento	★★★★★
Rigidez lineal	★★★★★
Momento de inercia	★★★★★
Solución de accionamiento lista para el montaje	✓
Piñón, calidad del dentado 6 (DIN 3962)	✓
Dentado helicoidal	✓
Templados y pulidos	✓

Leyenda ★★★★★ bueno | ★★★★★ excepcional

€ Economy | €€€€ Premium

#### Características técnicas

$m_n$	2 – 3 mm
$z$	16 – 25
$F_{f2acc}$	1,7 – 6,1 kN
$V_{f2maxZB}$	0,14 – 4,5 m/s
$\Delta s$	40 – 83 µm

## 9.2 Tablas de selección

Los datos técnicos especificados en las tablas de selección son válidos para:

- Montaje sin tensiones
- Lubricación permanente con los lubricantes recomendados en el capítulo Cremalleras [▶ 13.5.1]
- Piñón templado, con dentado helicoidal (ascendente a la izquierda  $19^{\circ} 31' 42''$ ), calidad del dentado 6
- Alturas de instalación hasta 1000 m sobre el nivel del mar
- Temperaturas ambiente de 0 °C a 40 °C
- Sin tener en cuenta la potencia límite térmica
- $C_{lin}$ : posición del piñón S

El resto de características técnicas se encuentran en <https://configurator.stoeber.de/en-US/>.

Los símbolos de las fórmulas se explican en el capítulo [▶ 14.1].

i	Modelo	$n_{1maxDB}$ [min <sup>-1</sup> ]	$n_{1maxZB}$ [min <sup>-1</sup> ]	$d_{MW}$ [mm]	$v_{f2maxZB}$ [m/s]	$\Delta s$ [μm]	$C_{lin}$ [N/μm]	$m_n$ [mm]	z	$d_0$ [mm]	$F_{f2N,S}$ [kN]	$F_{f2N,E}$ [kN]	$F_{f2accS}$ [kN]	$F_{f2accE}$ [kN]	$F_{f2NOT,S}$ [kN]	$F_{f2NOT,E}$ [kN]	$M_{2accS}$ [Nm]	$M_{2accE}$ [Nm]
<b>ZV2PE3 (<math>F_{f2acc,max} = 1,9</math> kN)</b>																		
3,000	ZV216S_PE321_0030 ME	3500	6000	$\leq 19$	3,56	40	6,2	2	16	34,0	1,2	1,2	1,9	1,7	3,8	3,4	32	29
3,000	ZV216S_PE321_0030 MEL	3500	6000	$\leq 24$	3,56	40	6,2	2	16	34,0	1,2	1,2	1,9	1,7	3,8	3,4	32	29
4,000	ZV216S_PE321_0040 ME	3700	7000	$\leq 19$	3,11	40	6,4	2	16	34,0	1,4	1,4	1,9	1,7	3,8	3,4	32	29
4,000	ZV216S_PE321_0040 MEL	3700	7000	$\leq 24$	3,11	40	6,4	2	16	34,0	1,4	1,4	1,9	1,7	3,8	3,4	32	29
5,000	ZV216S_PE321_0050 ME	3700	7000	$\leq 19$	2,49	40	6,4	2	16	34,0	1,5	1,5	1,9	1,7	3,8	3,4	32	29
5,000	ZV216S_PE321_0050 MEL	3700	7000	$\leq 24$	2,49	40	6,4	2	16	34,0	1,5	1,5	1,9	1,7	3,8	3,4	32	29
7,000	ZV216S_PE321_0070 ME	4000	7000	$\leq 19$	1,78	40	6,4	2	16	34,0	1,5	1,5	1,9	1,7	3,8	3,4	32	29
7,000	ZV216S_PE321_0070 MEL	4000	7000	$\leq 24$	1,78	40	6,4	2	16	34,0	1,5	1,5	1,9	1,7	3,8	3,4	32	29
10,00	ZV216S_PE321_0100 ME	4000	7000	$\leq 19$	1,24	40	6,3	2	16	34,0	1,5	1,5	1,9	1,7	3,8	3,4	32	29
10,00	ZV216S_PE321_0100 MEL	4000	7000	$\leq 24$	1,24	40	6,3	2	16	34,0	1,5	1,5	1,9	1,7	3,8	3,4	32	29
16,00	ZV216S_PE322_0160 ME	4000	8000	$\leq 14$	0,89	49	6,4	2	16	34,0	1,8	1,7	1,9	1,7	3,8	3,4	32	29
16,00	ZV216S_PE322_0160 MEL	4000	8000	$\leq 19$	0,89	49	6,4	2	16	34,0	1,8	1,7	1,9	1,7	3,8	3,4	32	29
20,00	ZV216S_PE322_0200 ME	4000	8000	$\leq 14$	0,71	49	6,4	2	16	34,0	1,8	1,7	1,9	1,7	3,8	3,4	32	29
20,00	ZV216S_PE322_0200 MEL	4000	8000	$\leq 19$	0,71	49	6,4	2	16	34,0	1,8	1,7	1,9	1,7	3,8	3,4	32	29
25,00	ZV216S_PE322_0250 ME	4000	8000	$\leq 14$	0,57	49	6,4	2	16	34,0	1,8	1,7	1,9	1,7	3,8	3,4	32	29
25,00	ZV216S_PE322_0250 MEL	4000	8000	$\leq 19$	0,57	49	6,4	2	16	34,0	1,8	1,7	1,9	1,7	3,8	3,4	32	29
28,00	ZV216S_PE322_0280 ME	4000	8000	$\leq 14$	0,51	49	6,4	2	16	34,0	1,8	1,7	1,9	1,7	3,8	3,4	32	29
28,00	ZV216S_PE322_0280 MEL	4000	8000	$\leq 19$	0,51	49	6,4	2	16	34,0	1,8	1,7	1,9	1,7	3,8	3,4	32	29
35,00	ZV216S_PE322_0350 ME	4000	8000	$\leq 14$	0,41	49	6,4	2	16	34,0	1,8	1,7	1,9	1,7	3,8	3,4	32	29
35,00	ZV216S_PE322_0350 MEL	4000	8000	$\leq 19$	0,41	49	6,4	2	16	34,0	1,8	1,7	1,9	1,7	3,8	3,4	32	29
40,00	ZV216S_PE322_0400 ME	4500	8000	$\leq 14$	0,36	49	6,3	2	16	34,0	1,8	1,7	1,9	1,7	3,8	3,4	32	29
40,00	ZV216S_PE322_0400 MEL	4500	8000	$\leq 19$	0,36	49	6,3	2	16	34,0	1,8	1,7	1,9	1,7	3,8	3,4	32	29
50,00	ZV216S_PE322_0500 ME	4500	8000	$\leq 14$	0,28	49	6,4	2	16	34,0	1,8	1,7	1,9	1,7	3,8	3,4	32	29
50,00	ZV216S_PE322_0500 MEL	4500	8000	$\leq 19$	0,28	49	6,4	2	16	34,0	1,8	1,7	1,9	1,7	3,8	3,4	32	29
70,00	ZV216S_PE322_0700 ME	4500	8000	$\leq 14$	0,20	49	6,4	2	16	34,0	1,8	1,7	1,9	1,7	3,8	3,4	32	29
70,00	ZV216S_PE322_0700 MEL	4500	8000	$\leq 19$	0,20	49	6,4	2	16	34,0	1,8	1,7	1,9	1,7	3,8	3,4	32	29
100,0	ZV216S_PE322_1000 ME	4500	8000	$\leq 14$	0,14	49	6,3	2	16	34,0	1,8	1,7	1,9	1,7	3,8	3,4	32	29
100,0	ZV216S_PE322_1000 MEL	4500	8000	$\leq 19$	0,14	49	6,3	2	16	34,0	1,8	1,7	1,9	1,7	3,8	3,4	32	29
<b>ZV2PE4 (<math>F_{f2acc,max} = 2,7</math> kN)</b>																		
3,000	ZV220S_PE421_0030 ME	3000	5500	$\leq 24$	4,07	49	9,8	2	20	42,4	1,7	1,4	2,7	2,1	5,4	4,3	58	45
3,000	ZV220S_PE421_0030 MEL	3000	5500	$\leq 32$	4,07	49	9,9	2	20	42,4	1,7	1,4	2,7	2,1	5,4	4,3	58	45
4,000	ZV220S_PE421_0040 ME	3400	6000	$\leq 24$	3,33	49	10	2	20	42,4	1,9	1,6	2,7	2,1	5,4	4,3	58	45
4,000	ZV220S_PE421_0040 MEL	3400	6000	$\leq 32$	3,33	49	10	2	20	42,4	1,9	1,6	2,7	2,1	5,4	4,3	58	45
5,000	ZV220S_PE421_0050 ME	3400	6000	$\leq 24$	2,67	49	10	2	20	42,4	2,0	1,7	2,7	2,1	5,4	4,3	58	45
5,000	ZV220S_PE421_0050 MEL	3400	6000	$\leq 32$	2,67	49	10	2	20	42,4	2,0	1,7	2,7	2,1	5,4	4,3	58	45
7,000	ZV220S_PE421_0070 ME	3600	6000	$\leq 24$	1,91	49	9,9	2	20	42,4	2,2	1,9	2,7	2,1	5,4	4,3	58	45
7,000	ZV220S_PE421_0070 MEL	3600	6000	$\leq 32$	1,91	49	9,9	2	20	42,4	2,2	1,9	2,7	2,1	5,4	4,3	58	45
10,00	ZV220S_PE421_0100 ME	3600	6000	$\leq 24$	1,33	49	9,7	2	20	42,4	2,5	2,1	2,7	2,1	5,4	4,3	58	45
10,00	ZV220S_PE421_0100 MEL	3600	6000	$\leq 32$	1,33	49	9,7	2	20	42,4	2,5	2,1	2,7	2,1	5,4	4,3	58	45
16,00	ZV220S_PE422_0160 ME	3700	7000	$\leq 19$	0,97	62	10	2	20	42,4	2,7	2,1	2,7	2,1	5,4	4,3	58	45
20,00	ZV220S_PE422_0200 ME	3700	7000	$\leq 19$	0,78	62	10	2	20	42,4	2,7	2,1	2,7	2,1	5,4	4,3	58	45
20,00	ZV220S_PE422_0200 MEL	3700	7000	$\leq 24$	0,78	62	10	2	20	42,4	2,7	2,1	2,7	2,1	5,4	4,3	58	45
25,00	ZV220S_PE422_0250 ME	3700	7000	$\leq 19$	0,62	62	10	2	20	42,4	2,7	2,1	2,7	2,1	5,4	4,3	58	45
25,00	ZV220S_PE422_0250 MEL	3700	7000	$\leq 24$	0,62	62	10	2	20	42,4	2,7	2,1	2,7	2,1	5,4	4,3	58	45
28,00	ZV220S_PE422_0280 ME	4000	7000	$\leq 19$	0,56	62	10	2	20	42,4	2,7	2,1	2,7	2,1	5,4	4,3	58	45
28,00	ZV220S_PE422_0280 MEL	4000	7000	$\leq 24$	0,56	62	10	2	20	42,4	2,7	2,1	2,7	2,1	5,4	4,3	58	45
35,00	ZV220S_PE422_0350 ME	4000	7000	$\leq 19$	0,44	62	10	2	20	42,4	2,7	2,1	2,7	2,1	5,4	4,3	58	45
35,00	ZV220S_PE422_0350 MEL	4000	7000	$\leq 24$	0,44	62	10	2	20	42,4	2,7	2,1	2,7	2,1	5,4	4,3	58	45
40,00	ZV220S_PE422_0400 ME	4000	7000	$\leq 19$	0,39	62	9,9	2	20	42,4	2,7	2,1	2,7	2,1	5,4	4,3	58	45

i	Modelo	$n_{1\max DB}$ [min <sup>-1</sup> ]	$n_{1\max ZB}$ [min <sup>-1</sup> ]	$d_{MW}$ [mm]	$v_{f2\max ZB}$ [m/s]	$\Delta s$ [μm]	$C_{lin}$ [N/μm]	$m_n$ [mm]	z	$d_0$ [mm]	$F_{f2N,S}$ [kN]	$F_{f2N,E}$ [kN]	$F_{f2accS}$ [kN]	$F_{f2accE}$ [kN]	$F_{f2NOT,S}$ [kN]	$F_{f2NOT,E}$ [kN]	$M_{2accS}$ [Nm]	$M_{2accE}$ [Nm]
<b>ZV2PE4 (<math>F_{f2acc,max} = 2,7</math> kN)</b>																		
40,00	ZV220S_PE422_0400 MEL	4000	7000	≤24	0,39	62	9,9	2	20	42,4	2,7	2,1	2,7	2,1	5,4	4,3	58	45
50,00	ZV220S_PE422_0500 ME	4000	7000	≤19	0,31	62	10	2	20	42,4	2,7	2,1	2,7	2,1	5,4	4,3	58	45
50,00	ZV220S_PE422_0500 MEL	4000	7000	≤24	0,31	62	10	2	20	42,4	2,7	2,1	2,7	2,1	5,4	4,3	58	45
70,00	ZV220S_PE422_0700 ME	4000	7000	≤19	0,22	62	9,7	2	20	42,4	2,7	2,1	2,7	2,1	5,4	4,3	58	45
70,00	ZV220S_PE422_0700 MEL	4000	7000	≤24	0,22	62	9,7	2	20	42,4	2,7	2,1	2,7	2,1	5,4	4,3	58	45
100,0	ZV220S_PE422_1000 ME	4000	7000	≤19	0,16	62	9,7	2	20	42,4	2,7	2,1	2,7	2,1	5,4	4,3	58	45
100,0	ZV220S_PE422_1000 MEL	4000	7000	≤24	0,16	62	9,7	2	20	42,4	2,7	2,1	2,7	2,1	5,4	4,3	58	45
<b>ZV2PE5 (<math>F_{f2acc,max} = 6,1</math> kN)</b>																		
3,000	ZV225S_PE521_0030 ME	2500	4500	≤32	4,17	62	13	2	25	53,1	3,4	2,8	6,1	3,8	12	7,6	162	101
3,000	ZV225S_PE521_0030 MEL	2500	4500	≤38	4,17	62	13	2	25	53,1	3,4	2,8	6,1	3,8	12	7,6	162	101
4,000	ZV225S_PE521_0040 ME	2600	5000	≤32	3,47	62	13	2	25	53,1	4,5	3,1	6,1	3,8	12	7,6	162	101
4,000	ZV225S_PE521_0040 MEL	2600	5000	≤38	3,47	62	13	2	25	53,1	4,5	3,1	6,1	3,8	12	7,6	162	101
5,000	ZV225S_PE521_0050 ME	2600	5000	≤32	2,78	62	13	2	25	53,1	4,9	3,3	6,1	3,8	12	7,6	162	101
5,000	ZV225S_PE521_0050 MEL	2600	5000	≤38	2,78	62	13	2	25	53,1	4,9	3,3	6,1	3,8	12	7,6	162	101
7,000	ZV225S_PE521_0070 ME	2800	5000	≤32	1,98	62	13	2	25	53,1	4,9	3,7	6,1	3,8	12	7,6	162	101
7,000	ZV225S_PE521_0070 MEL	2800	5000	≤38	1,98	62	13	2	25	53,1	4,9	3,7	6,1	3,8	12	7,6	162	101
10,00	ZV225S_PE521_0100 ME	3000	5000	≤32	1,39	62	13	2	25	53,1	4,9	3,8	6,1	3,8	12	7,6	162	101
10,00	ZV225S_PE521_0100 MEL	3000	5000	≤38	1,39	62	13	2	25	53,1	4,9	3,8	6,1	3,8	12	7,6	162	101
16,00	ZV225S_PE522_0160 ME	3400	6000	≤24	1,04	77	13	2	25	53,1	6,0	3,8	6,1	3,8	12	7,6	162	101
16,00	ZV225S_PE522_0160 MEL	3400	6000	≤32	1,04	77	13	2	25	53,1	6,0	3,8	6,1	3,8	12	7,6	162	101
20,00	ZV225S_PE522_0200 ME	3400	6000	≤24	0,83	77	13	2	25	53,1	6,0	3,8	6,1	3,8	12	7,6	162	101
20,00	ZV225S_PE522_0200 MEL	3400	6000	≤32	0,83	77	13	2	25	53,1	6,0	3,8	6,1	3,8	12	7,6	162	101
25,00	ZV225S_PE522_0250 ME	3400	6000	≤24	0,67	77	13	2	25	53,1	6,0	3,8	6,1	3,8	12	7,6	162	101
25,00	ZV225S_PE522_0250 MEL	3400	6000	≤32	0,67	77	13	2	25	53,1	6,0	3,8	6,1	3,8	12	7,6	162	101
28,00	ZV225S_PE522_0280 ME	3600	6000	≤24	0,60	77	13	2	25	53,1	6,0	3,8	6,1	3,8	12	7,6	162	101
28,00	ZV225S_PE522_0280 MEL	3600	6000	≤32	0,60	77	13	2	25	53,1	6,0	3,8	6,1	3,8	12	7,6	162	101
35,00	ZV225S_PE522_0350 ME	3600	6000	≤24	0,48	77	13	2	25	53,1	6,0	3,8	6,1	3,8	12	7,6	162	101
35,00	ZV225S_PE522_0350 MEL	3600	6000	≤32	0,48	77	13	2	25	53,1	6,0	3,8	6,1	3,8	12	7,6	162	101
40,00	ZV225S_PE522_0400 ME	3600	6000	≤24	0,42	77	13	2	25	53,1	6,0	3,8	6,1	3,8	12	7,6	162	101
40,00	ZV225S_PE522_0400 MEL	3600	6000	≤32	0,42	77	13	2	25	53,1	6,0	3,8	6,1	3,8	12	7,6	162	101
50,00	ZV225S_PE522_0500 ME	3600	6000	≤24	0,33	77	13	2	25	53,1	6,0	3,8	6,1	3,8	12	7,6	162	101
50,00	ZV225S_PE522_0500 MEL	3600	6000	≤32	0,33	77	13	2	25	53,1	6,0	3,8	6,1	3,8	12	7,6	162	101
70,00	ZV225S_PE522_0700 ME	3600	6000	≤24	0,24	77	13	2	25	53,1	6,0	3,8	6,1	3,8	12	7,6	162	101
70,00	ZV225S_PE522_0700 MEL	3600	6000	≤32	0,24	77	13	2	25	53,1	6,0	3,8	6,1	3,8	12	7,6	162	101
100,0	ZV225S_PE522_1000 ME	3600	6000	≤24	0,17	77	13	2	25	53,1	6,0	3,8	6,1	3,8	12	7,6	162	101
100,0	ZV225S_PE522_1000 MEL	3600	6000	≤32	0,17	77	13	2	25	53,1	6,0	3,8	6,1	3,8	12	7,6	162	101
<b>ZV3PE5 (<math>F_{f2acc,max} = 5,8</math> kN)</b>																		
3,000	ZV318S_PE521_0030 ME	2500	4500	≤32	4,50	67	14	3	18	57,3	3,1	2,9	5,8	3,9	12	7,8	166	111
3,000	ZV318S_PE521_0030 MEL	2500	4500	≤38	4,50	67	14	3	18	57,3	3,1	2,9	5,8	3,9	12	7,8	166	111
4,000	ZV318S_PE521_0040 ME	2600	5000	≤32	3,75	67	14	3	18	57,3	4,3	3,2	5,8	3,9	12	7,8	166	111
4,000	ZV318S_PE521_0040 MEL	2600	5000	≤38	3,75	67	14	3	18	57,3	4,3	3,2	5,8	3,9	12	7,8	166	111
5,000	ZV318S_PE521_0050 ME	2600	5000	≤32	3,00	67	14	3	18	57,3	4,5	3,4	5,8	3,9	12	7,8	166	111
5,000	ZV318S_PE521_0050 MEL	2600	5000	≤38	3,00	67	14	3	18	57,3	4,5	3,4	5,8	3,9	12	7,8	166	111
7,000	ZV318S_PE521_0070 ME	2800	5000	≤32	2,14	67	14	3	18	57,3	4,5	3,8	5,8	3,9	12	7,8	166	111
7,000	ZV318S_PE521_0070 MEL	2800	5000	≤38	2,14	67	14	3	18	57,3	4,5	3,8	5,8	3,9	12	7,8	166	111
10,00	ZV318S_PE521_0100 ME	3000	5000	≤32	1,50	67	14	3	18	57,3	4,5	3,9	5,8	3,9	12	7,8	166	111
10,00	ZV318S_PE521_0100 MEL	3000	5000	≤38	1,50	67	14	3	18	57,3	4,5	3,9	5,8	3,9	12	7,8	166	111
16,00	ZV318S_PE522_0160 ME	3400	6000	≤24	1,13	83	14	3	18	57,3	5,6	3,9	5,8	3,9	12	7,8	166	111
16,00	ZV318S_PE522_0160 MEL	3400	6000	≤32	1,13	83	14	3	18	57,3	5,6	3,9	5,8	3,9	12	7,8	166	111
20,00	ZV318S_PE522_0200 ME	3400	6000	≤24	0,90	83	14	3	18	57,3	5,6	3,9	5,8	3,9	12	7,8	166	111
20,00	ZV318S_PE522_0200 MEL	3400	6000	≤32	0,90	83	14	3	18	57,3	5,6	3,9	5,8	3,9	12	7,8	166	111
25,00	ZV318S_PE522_0250 ME	3400	6000	≤24	0,72	83	14	3	18	57,3	5,6	3,9	5,8	3,9	12	7,8	166	111
28,00	ZV318S_PE522_0280 ME	3600	6000	≤24	0,64	83	14	3	18	57,3	5,6	3,9	5,8	3,9	12	7,8	166	111
28,00	ZV318S_PE522_0280 MEL	3600	6000	≤32	0,64	83	14	3	18	57,3	5,6	3,9	5,8	3,9	12	7,8	166	111
35,00	ZV318S_PE522_0350 ME	3600	6000	≤24	0,51	83	14	3	18	57,3	5,6	3,9	5,8	3,9	12	7,8	166	111
35,00	ZV318S_PE522_0350 MEL	3600	6000	≤32	0,51	83	14	3	18	57,3	5,6	3,9	5,8	3,9	12	7,8	166	111
40,00	ZV318S_PE522_0400 ME	3600	6000	≤24	0,45	83	14	3	18	57,3	5,6	3,9	5,8	3,9	12	7,8	166	111
40,00	ZV318S_PE522_0400 MEL	3600	6000	≤32	0,45	83	14	3	18	57,3	5,6	3,9	5,8	3,9	12	7,8	166	111
50,00	ZV318S_PE522_0500 ME	3600	6000	≤24	0,36	83	14											

## 9.3 Esquemas de dimensiones

Este capítulo contiene la información sobre las dimensiones de los accionamientos de cremallera con adaptadores de motor.

La medida  $az$  en las tablas de dimensiones es válida para cremalleras STOBER. En general se aplica lo siguiente:  $az = \frac{1}{2} d0 + h0 + x * mn$

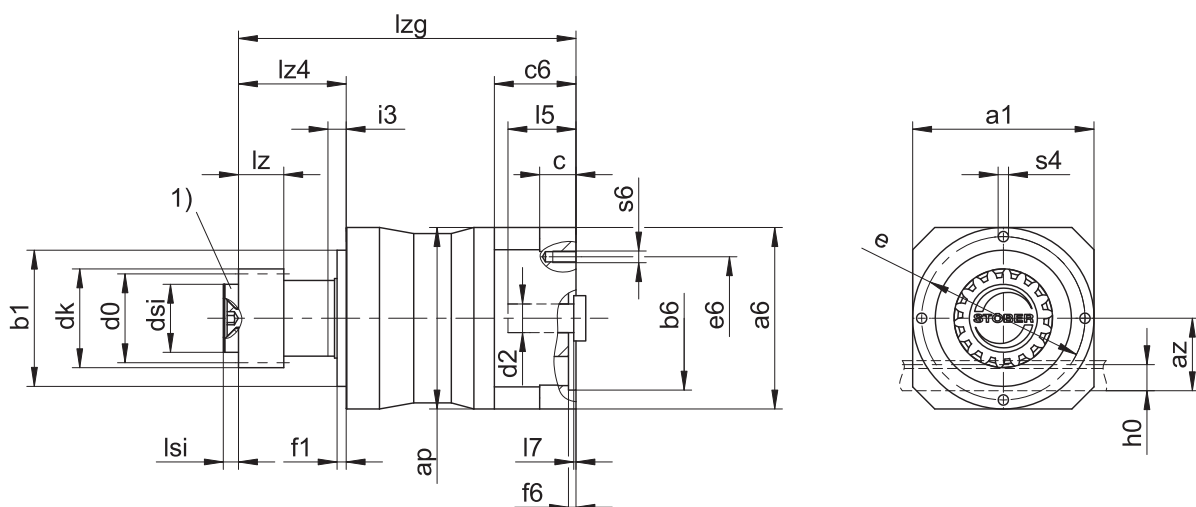
Piñón del accionamiento de cremallera con dentado helicoidal (ascendente a la izquierda  $19^{\circ} 31' 42''$ ). La calidad del dentado del piñón es 6.

Las tolerancias de fundición o bien la suma de las tolerancias individuales pueden provocar que las medidas sobrepasen las especificaciones de ISO 2768-mK.

Nos reservamos el derecho de realizar cambios en las dimensiones en pro del desarrollo tecnológico.

Los modelos 3D de nuestros accionamientos estándar se pueden descargar en <https://configurator.stoeber.de/en-US/>.

### 9.3.1 Posición de piñón E



1) Seguro axial (opcional)

#### Medidas salida

Modelo	$mn$	$\varnothing a1$	$ap$	$az$	$\varnothing b1$	$\varnothing d0$	$\varnothing dk$	$\varnothing dsi$	$\varnothing e$	$f1$	$h0$	$i3$	$lZ$	$lZ4$	$lsi$	$\varnothing s4$	$x$
ZV216SEPE321_	2	70	72	39,98	$52_{\text{h}6}$	33,95	39,81	25	62	5	22	7	26	37,5	4	M5	0,5
ZV216SEPE322_	2	70	75	39,98	$52_{\text{h}6}$	33,95	39,81	25	62	5	22	7	26	37,5	4	M5	0,5
ZV220SEPE421_	2	90	98	44,02	$68_{\text{h}6}$	42,44	47,90	30	80	5	22	10	26	48,5	6	M6	0,4
ZV220SEPE422_	2	90	100	44,02	$68_{\text{h}6}$	42,44	47,90	30	80	5	22	10	26	48,5	6	M6	0,4
ZV225SEPE521_	2	120	120	49,33	$90_{\text{h}6}$	53,05	58,52	45	108	6	22	12	26	72,5	8	M8	0,4
ZV318SEPE521_	3	120	120	55,55	$90_{\text{h}6}$	57,30	65,01	45	108	6	26	12	31	72,5	8	M8	0,3
ZV225SEPE522_	2	120	120	49,33	$90_{\text{h}6}$	53,05	58,52	45	108	6	22	12	26	72,5	8	M8	0,4
ZV318SEPE522_	3	120	120	55,55	$90_{\text{h}6}$	57,30	65,01	45	108	6	26	12	31	72,5	8	M8	0,3

#### Ejemplos de medidas de conexión del motor + longitud total

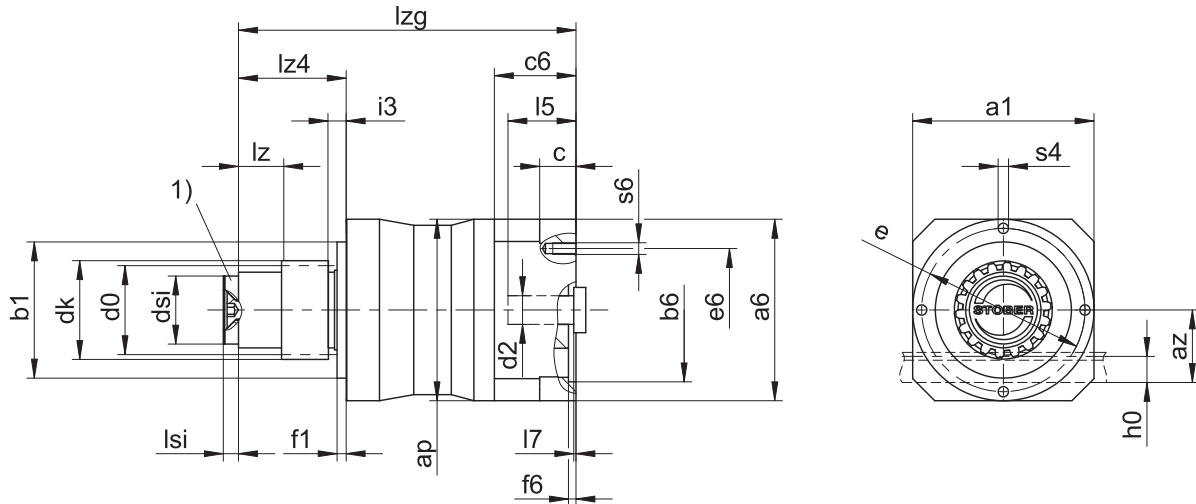
Modelo	$\varnothing b6$	$\varnothing e6$	$\varnothing d2max$	$l5$	$\square a6$	$c$	$c6$	$f6$	$l7$	$lZg$	$s6$
ZV_PE321_ME	$60^{+7}_{-6}$	75	19	41	75	18	41,5	3,5	4,0	152,0	M5
ZV_PE322_ME	$40^{+7}_{-6}$	63	14	30	55	15	32,0	3,5	3,0	169,5	M5
ZV_PE421_ME	$95^{+7}_{-6}$	115	24	41	100	21	42,5	4,0	3,5	169,5	M8
ZV_PE422_ME	$60^{+7}_{-6}$	75	19	41	75	18	41,5	3,5	4,0	206,5	M5
ZV_PE521_ME	$110^{+7}_{-6}$	130	32	51	120	24	54,0	4,0	4,5	224,5	M8
ZV_PE522_ME	$95^{+7}_{-6}$	115	24	41	100	21	42,5	4,0	3,5	253,5	M8

La tabla de arriba contiene ejemplos de medidas de la conexión del motor para el adaptador de motor ME.

Tenga en cuenta que las medidas  $c6$ ,  $l5$  y  $lZg$  se alargan correspondientemente cuando se alarga la medida  $c$ .

Encontrará las medidas de conexión del motor para los adaptadores de motor ME y MEL en el STOBER Configurador en <https://configurator.stoeber.de/en-US/>. Allí podrá descargar directamente un modelo 3D de su accionamiento.

### 9.3.2 Posición de piñón S



1) Seguro axial (opcional)

#### Medidas salida

Modelo	mn	$\varnothing a1$	ap	az	$\varnothing b1$	$\varnothing d0$	$\varnothing db$	$\varnothing dk$	$\varnothing ds1$	$\varnothing e$	f1	h0	i3	lb	Iz	Iz4	lsi	$\varnothing s4$	x
ZV216SSPE321_	2	70	72	39,98	52 <sub>h6</sub>	33,95	30	39,81	25	62	5	22	7	4,5	26	37,5	4	M5	0,5
ZV216SSPE322_	2	70	75	39,98	52 <sub>h6</sub>	33,95	30	39,81	25	62	5	22	7	4,5	26	37,5	4	M5	0,5
ZV220SSPE421_	2	90	98	44,02	68 <sub>h6</sub>	42,44	38	47,90	30	80	5	22	10	12,5	26	48,5	6	M6	0,4
ZV220SSPE422_	2	90	100	44,02	68 <sub>h6</sub>	42,44	38	47,90	30	80	5	22	10	12,5	26	48,5	6	M6	0,4
ZV225SSPE521_	2	120	120	49,33	90 <sub>h6</sub>	53,05	50	58,52	45	108	6	22	12	34,5	26	72,5	8	M8	0,4
ZV318SSPE521_	3	120	120	55,55	90 <sub>h6</sub>	57,30	50	65,01	45	108	6	26	12	29,5	31	72,5	8	M8	0,3
ZV225SSPE522_	2	120	120	49,33	90 <sub>h6</sub>	53,05	50	58,52	45	108	6	22	12	34,5	26	72,5	8	M8	0,4
ZV318SSPE522_	3	120	120	55,55	90 <sub>h6</sub>	57,30	50	65,01	45	108	6	26	12	29,5	31	72,5	8	M8	0,3

#### Ejemplos de medidas de conexión del motor + longitud total

Modelo	$\varnothing b6$	$\varnothing e6$	$\varnothing d2max$	l5	$\square a6$	c	$c6$	f6	l7	Izg	s6
ZV_PE321_ME	60 <sup>H7</sup>	75	19	41	75	18	41,5	3,5	4,0	152,0	M5
ZV_PE322_ME	40 <sup>H7</sup>	63	14	30	55	15	32,0	3,5	3,0	169,5	M5
ZV_PE421_ME	95 <sup>H7</sup>	115	24	41	100	21	42,5	4,0	3,5	169,5	M8
ZV_PE422_ME	60 <sup>H7</sup>	75	19	41	75	18	41,5	3,5	4,0	206,5	M5
ZV_PE521_ME	110 <sup>H7</sup>	130	32	51	120	24	54,0	4,0	4,5	224,5	M8
ZV_PE522_ME	95 <sup>H7</sup>	115	24	41	100	21	42,5	4,0	3,5	253,5	M8

La tabla de arriba contiene ejemplos de medidas de la conexión del motor para el adaptador de motor ME.

Tenga en cuenta que las medidas c6, l5 y Izg se alargan correspondientemente cuando se alarga la medida c.

Encontrará las medidas de conexión del motor para los adaptadores de motor ME y MEL en el STOBER Configurator en <https://configurator.stoeber.de/en-US/>. Allí podrá descargar directamente un modelo 3D de su accionamiento.

## 9.4 Denominación de tipo

Este capítulo contiene información sobre la denominación de tipo y las opciones pertinentes.

Los datos de pedido que no forman parte de la denominación de tipo se incluyen al final del capítulo.

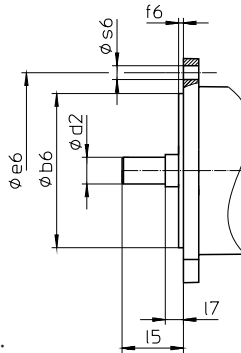
### Código de ejemplo

Z	V	2	20	S	S	PE	4	2	1	S	P	S	S	0050	ME
---	---	---	----	---	---	----	---	---	---	---	---	---	---	------	----

### Explicación

Código	Denominación	Versión
Z	Tipo	Accionamiento de cremallera
V	Versión	Piñón insertable
2	Módulo estándar	$m_n = 2 \text{ mm}$ (ejemplo)
20	Número de dientes	$z = 20$ (ejemplo)
S	Dentado	con dentado helicoidal (ascendente a la izquierda $19^\circ 31' 42''$ )
E	Posición del piñón	Extremo del eje
S		Reborde del eje
PE	Tipo	Reductor planetario
4	Tamaño	4 (ejemplo)
2	Generación	Generación 2
1	Etapas	1 etapa
2		2 etapas
S	Carcasa	Estándar
P	Eje	Eje macizo con chaveta
S	Rodamiento	Apoyo estándar
S	Juego de giro	Estándar
0050	Número característico de reducción ( $i_x$ 10)	$i = 5$ (ejemplo)
ME	Adaptador de motor	Adaptador de motor con acoplamiento EasyAdapt
MEL		Adaptador de motor con acoplamiento EasyAdapt para motores grandes

Para completar la denominación de tipo, indique también la siguiente información al hacer el pedido:



- Tipo de motor o dimensiones del motor:

Para elegir la conexión de motor adecuada, seleccione su motor o las dimensiones de la conexión del motor en el STOBER Configurator en  
<https://configurator.stoeber.de/en-US/>.

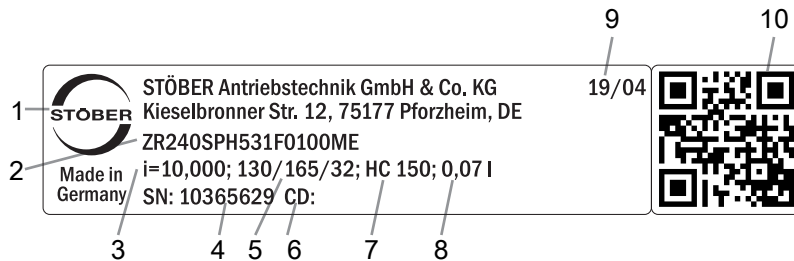
- Seguro axial (opcional), véase el capítulo [▶ 9.3]
- Llave de vaso para el montaje del motor en el reductor a través del adaptador de motor ME/MEL (opcional)

Este catálogo de productos incluye toda la información relacionada con los accionamientos de cremallera con adaptador de motor.

Encontrará todas las opciones de entrada disponibles bajo petición en el capítulo [▶ 9.5.1].

## 9.4.1 Placa de características

En la siguiente figura se explica a modo de ejemplo la placa de características de un reductor.



Código	Denominación
1	Denominación del fabricante
2	Denominación de tipo
3	Transmisión del reductor
4	Número de serie del reductor
5	Medida del adaptador de motor (diámetro del borde de ajuste/círculo de agujeros/eje del motor)
6	Datos específicos del cliente
7	Especificación del lubricante
8	Cantidad de llenado de lubricante
9	Fecha de fabricación (año/semana)
10	Código QR (enlace a la información de producto)

### 9.4.1.1 Documentos aplicables

Puede ver o descargar los documentos aplicables para el producto introduciendo el número de serie que aparece en la placa de características del producto en la siguiente dirección de Internet:

<https://id.stober.com>

Alternativamente, con un dispositivo móvil adecuado puede escanear el código QR de la placa de características del producto y de este modo acceder a los documentos aplicables.

## 9.5 Descripción del producto

### 9.5.1 Opciones de entrada

Este capítulo incluye todas las opciones de entrada disponibles:

Adaptador de motor ME Servomotor síncrono EZ Motor Lean LM



N.º de id. del catálogo de productos 443137\_es

N.º de id. del catálogo de productos 443286\_en

Bajo petición

Puede encontrar los catálogos de productos correspondientes en <http://www.stoeber.de/es/downloads/>

Introduzca el n.º de id. del catálogo de productos en el campo Termine di ricercaérmino de búsqueda.

## 9.5.2 Adaptador de motor con acoplamiento EasyAdapt (ME/MEL)

Este capítulo contiene la descripción del acoplamiento EasyAdapt.

### Propiedades:

- Montaje sencillo y rápido del motor
- Acoplamiento de compresión robusto de una sola pieza con función de expansión
- Momentos de inercia mínimos para el máximo dinamismo
- Equilibrado para un funcionamiento suave y sin vibraciones, incluso con un régimen de revoluciones elevado
- Amplia selección de diámetros y longitudes del eje del motor
- Sin fallos gracias al centrado exacto del motor
- Si el juego de giro es reducido, el alojamiento del eje del motor debe estar dispuesto axialmente sin holgura



*Fig. 1: Acoplamiento EasyAdapt*

## 9.5.3 Cremallera

La cremallera empleada debe tener dentado ascendente a la derecha ( $19^{\circ} 31' 42''$ ) y no debe superarse la capacidad de carga.

Cuando utilice una cremallera de STOBER, tenga en cuenta también la planificación de proyecto en el capítulo [\[ 13.6 \]](#).

## 9.5.4 Condiciones de montaje

Los pares de giro y las fuerzas que se indican solo son válidos si se utilizan tornillos de la clase de resistencia 10.9 para fijar el reductor en el lado de la máquina. Adicionalmente, la carcasa del reductor debe adaptarse en el borde de ajuste. La adaptación en el lado de la máquina debe ser H7.

## 9.5.5 Lubricantes

STOBER carga los reductores con la cantidad y el tipo de lubricante que se indican en la placa de características.

Lubricantes para el uso en la industria alimentaria disponibles bajo petición.

### 9.5.5.1 Lubricación del accionamiento de cremallera

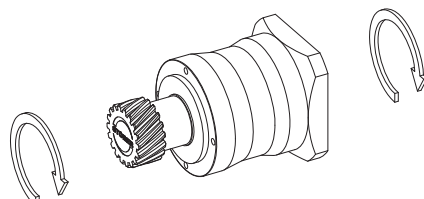
Asegure una lubricación permanente con los lubricantes recomendados en el capítulo [▶ 13.5.1].

## 9.5.6 Otras características del producto

Característica	Valor
Temperatura máx. admisible del reductor (en la superficie del reductor)	≤ 80 °C
Pintura	Negro RAL 9005
Directiva ATEX 2014/34/UE (opcional)	No adecuado
Categoría de protección: <sup>1</sup>	
Reductor planetario	IP64
Piñón/Cremallera	IPXX

## 9.5.7 Sentido de giro

La entrada y la salida giran en la misma dirección.



## 9.6 Diseño

Utilice nuestro software de diseño SERVOsoft para proyectar sus accionamientos. Descargue SERVOsoft gratuitamente tras registrarse en <https://www.stoeber.de/es/servicios/informacion-servosoft/>.

Este es el método más cómodo y seguro para seleccionar el accionamiento, ya que aquí se representa y evalúa la curva completa de par de giro-régimen de revoluciones de la aplicación en la curva característica del motorreductor.

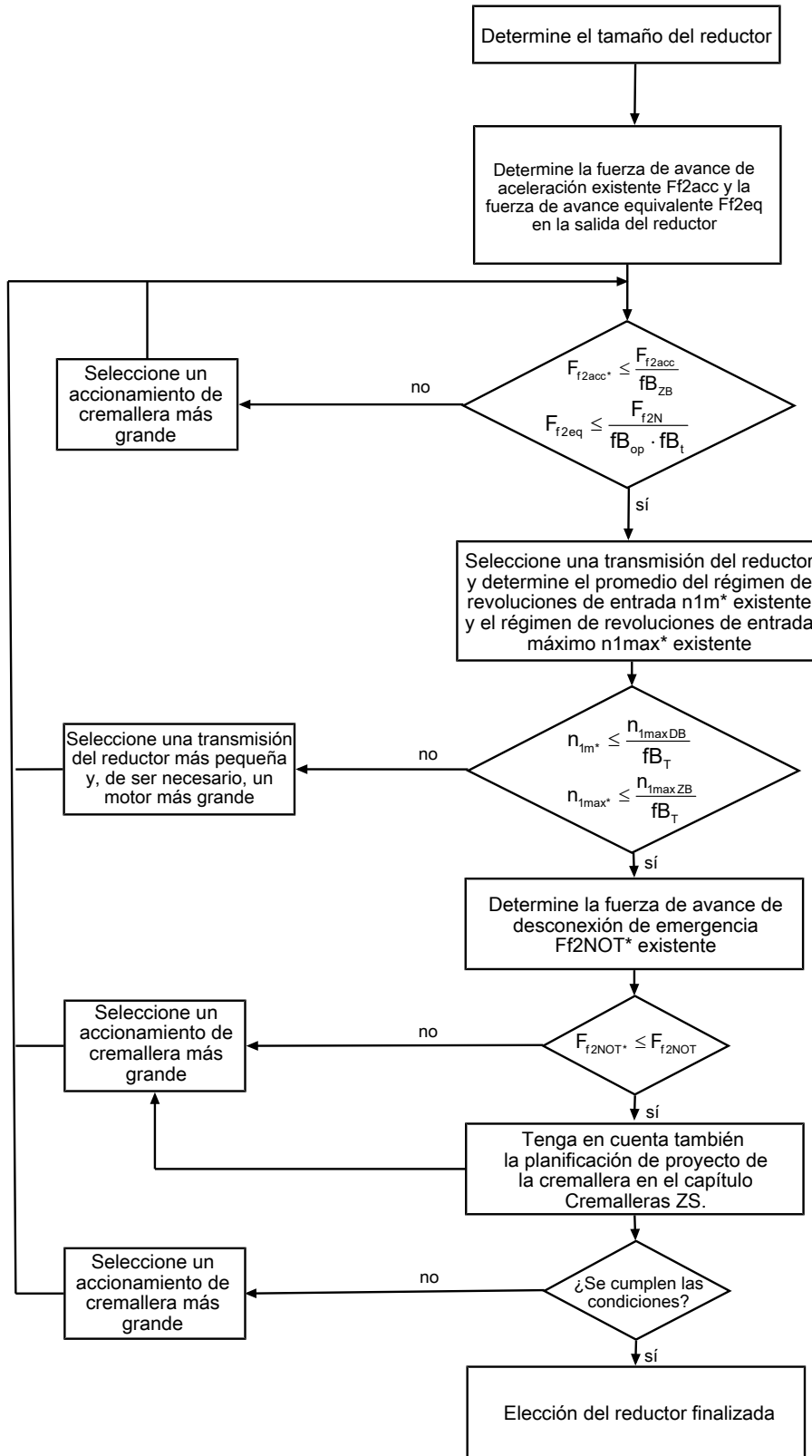
En este capítulo solo se pueden tener en consideración valores límite para puntos de trabajo concretos si la elección del accionamiento se lleva a cabo manualmente.

Los símbolos de fórmula correspondientes a los valores que están realmente presentes en la aplicación están marcados con un asterisco \*.

Los símbolos de las fórmulas se explican en el capítulo [▶ 14.1].

<sup>1</sup>tenga en cuenta la categoría de protección de todos los componentes.

## 9.6.1 Elección del accionamiento

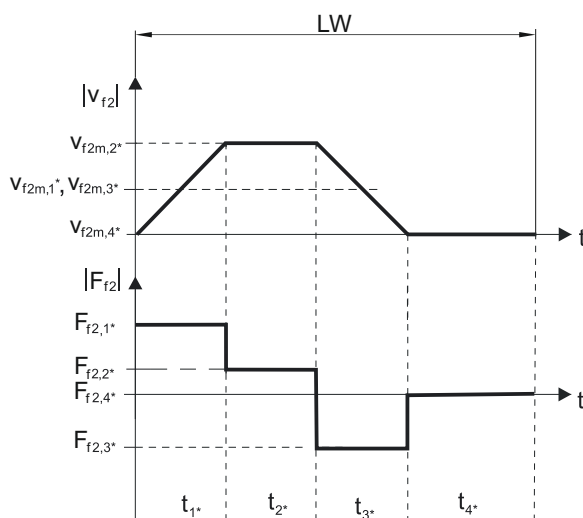


Consulte los valores para  $i$ ,  $n_{1\text{maxDB}}$ ,  $n_{1\text{maxZB}}$ ,  $F_{f2acc}$ ,  $F_{f2N}$  y  $F_{f2NOT}$  en las tablas de selección. Las fuerzas dependen de la posición del piñón (E o S). Los regímenes de revoluciones dependen parcialmente de la posición de montaje.

Consulte los valores para  $fB_T$ ,  $fB_{op}$ ,  $fB_t$  y  $fB_{zB}$  en las tablas correspondientes de este capítulo.

### Ejemplo de servicio cíclico

Los siguientes cálculos se refieren a la representación de la potencia en la salida de acuerdo con el siguiente ejemplo:



#### Cálculo de la fuerza de avance de aceleración máxima existente

$$F_{f2acc*} = m \cdot a \cdot F_L$$

#### Cálculo del promedio del régimen de revoluciones de entrada existente

$$n_{fm*} = \frac{v_{f2m*} \cdot i}{d_0 \cdot \pi}$$

$$v_{f2m*} = \frac{|v_{f2m,1*}| \cdot t_{1*} + \dots + |v_{f2m,n*}| \cdot t_{n*}}{t_{1*} + \dots + t_{n*}}$$

Si  $t_{1*} + \dots + t_{3*} \geq 6$  min, determine  $v_{2m*}$  sin la pausa  $t_{4*}$ .

Consulte los valores para la transmisión del reductor i en las tablas de selección.

#### Cálculo de la fuerza de avance de desconexión de emergencia existente

$$F_{f2NOT*} = m \cdot a_{NOT} + F_L$$

#### Cálculo de la fuerza de avance equivalente existente

$$F_{f2eq*} = \sqrt[3]{\frac{|v_{f2m,1*}| \cdot t_{1*} \cdot |F_{f2,1*}|^3 + \dots + |v_{f2m,n*}| \cdot t_{n*} \cdot |F_{f2,n*}|^3}{|v_{f2m,1*}| \cdot t_{1*} + \dots + |v_{f2m,n*}| \cdot t_{n*}}}$$

#### Factores de servicio

Modo de servicio	$f_{B_{op}}$
Servicio continuo fijo	1,00
Servicio cíclico	1,00
Servicio cíclico con carga reversible	1,00

Tiempo de funcionamiento	$f_B_t$
Tiempo de funcionamiento diario $\leq 8$ h	1,00
Tiempo de funcionamiento diario $\leq 16$ h	1,15
Tiempo de funcionamiento diario $\leq 24$ h	1,20

Servicio cíclico	$f_{B_{zb}}$
$\leq 1000$ cambios de carga/hora (LW/h)	1,00
$> 1000$ cambios de carga/hora (LW/h)	1,15

Temperatura		$f_{B_T}$
Refrigeración del motor	Temperatura ambiente	
Motor con ventilación externa	$\leq 20^\circ\text{C}$	0,9
	$\leq 30^\circ\text{C}$	1,0
	$\leq 40^\circ\text{C}$	1,15
Motor con refrigeración por convección	$\leq 20^\circ\text{C}$	1,0
	$\leq 30^\circ\text{C}$	1,1
	$\leq 40^\circ\text{C}$	1,25

**Indicaciones**

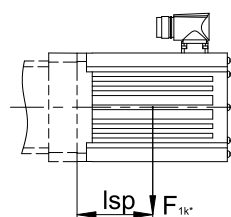
- No se debe exceder la temperatura máxima admisible del reductor (véase el capítulo Otras características del producto), ya que se podrían producir daños.
- En las situaciones de frenado con régimen de revoluciones máximo (p. ej., si se produce una caída de tensión o durante la instalación de la máquina), se deben tener en cuenta las fuerzas de avance admisibles del reductor ( $F_{f2acc}$ ,  $F_{f2NOT}$ ) que se indican en las tablas de selección.

## 9.6.2 Pares de vuelco admisibles en la entrada del reductor

Si va a montar el motor en posición horizontal, compruebe antes del montaje en un reductor STOBER que no se supere el par de vuelco admisible en la entrada del reductor. En este capítulo encontrará información al respecto.

Calcule el par de vuelco existente según sigue:

$$M_{1k*} = F_{1k*} \cdot l_{sp} \leq M_{1k}$$



Modelo	$M_{1k}$ [Nm]
PE221_ME	10
PE222_ME	10
PE321_ME	20
PE322_ME	10
PE421_ME	40
PE422_ME	20
PE521_ME	80
PE522_ME	40

Los valores también son válidos para el adaptador de motor MEL.

## 9.6.3 Retenes radiales para ejes

**Seguridad contra fugas**

Nuestros reductores están equipados con retenes radiales para ejes de alta calidad y verificados en cuanto a estanqueidad. Sin embargo, resulta imposible excluir por completo la posibilidad de que se produzca alguna fuga durante toda la vida útil de los reductores. Si utiliza los reductores con materiales no compatibles con los lubricantes, se deberán tomar medidas para impedir que puedan entrar en contacto directamente con el lubricante del reductor en caso de producirse una fuga.

## 9.7 Otros documentos

Encontrará más documentos relacionados con el producto en

<http://www.stoeber.de/es/downloads/>

Introduzca el n.º de id. de la documentación en el campo Termine di ricercaérmino de búsqueda.

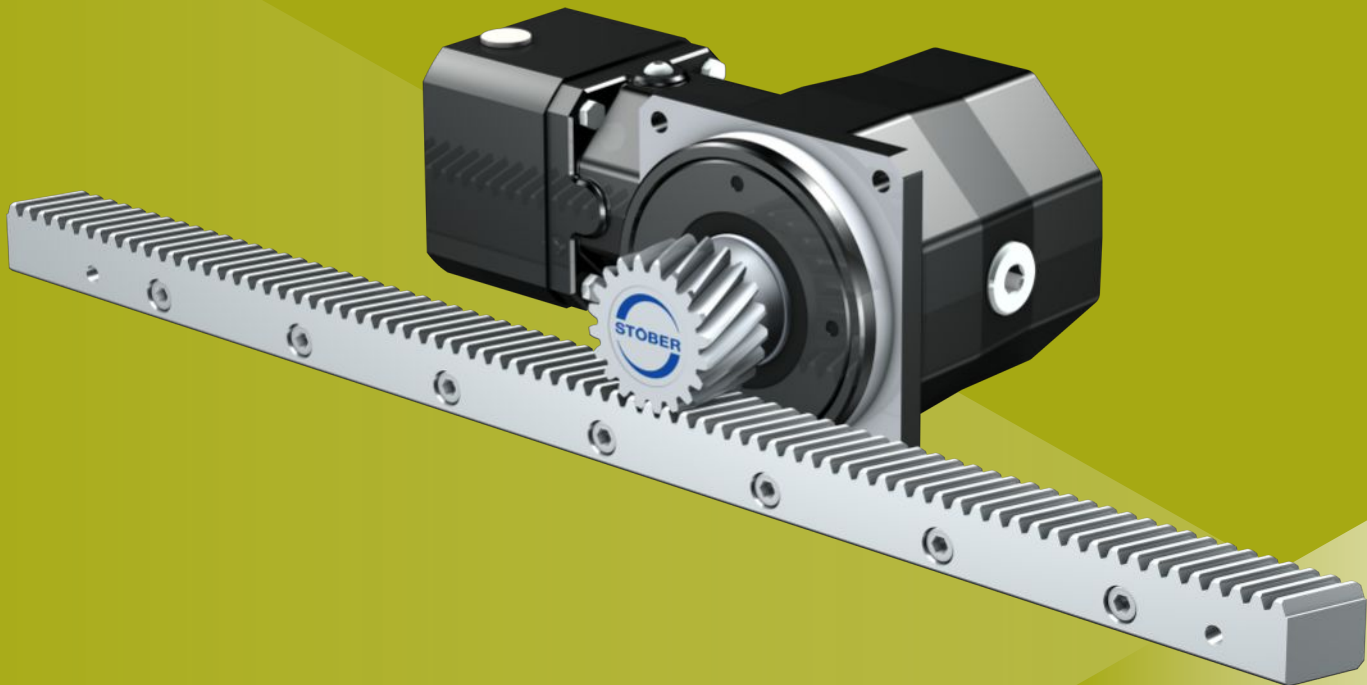
Documentación	N.º de id.
Instrucciones de operación de reductores planetarios y motorreductores planetarios PE22 – PE52	443252_es
Instrucciones de operación cremalleras	443392_es



# 10 Accionamientos de cremallera ZVKS

## Índice

10.1 Vista general .....	146
10.2 Tablas de selección.....	147
10.3 Esquemas de dimensiones .....	150
10.3.1 Posición de piñón E .....	151
10.3.2 Posición de piñón S .....	152
10.3.3 Depósito de compensación del aceite .....	153
10.4 Denominación de tipo.....	154
10.4.1 Placa de características .....	155
10.5 Descripción del producto .....	155
10.5.1 Opciones de entrada .....	155
10.5.2 Adaptador de motor con acoplamiento EasyAdapt (ME/MEL).....	156
10.5.3 Cremallera .....	156
10.5.4 Condiciones de montaje.....	156
10.5.5 Posiciones de montaje .....	157
10.5.6 Lubricantes.....	157
10.5.7 Posición del acceso al tornillo de apriete .....	158
10.5.8 Otras características del producto .....	158
10.5.9 Sentido de giro .....	158
10.6 Diseño .....	158
10.6.1 Elección del accionamiento.....	159
10.6.2 Pares de vuelco admisibles en la entrada del reductor.....	161
10.6.3 Retenes radiales para ejes recomendados.....	161
10.6.4 Depósito de compensación del aceite .....	162
10.7 Otros documentos .....	162



10

## Accionamientos de cremallera

**ZVKS**

### 10.1 Vista general

Reductores servo ortogonales con piñón insertable

#### Características

Densidad de potencia	★★★☆☆
Juego lineal	★★★☆☆
Categoría de precio	€€€
Suavidad de funcionamiento	★★★★☆
Rigidez lineal	★★★☆☆
Momento de inercia	★★★★☆
Solución de accionamiento lista para el montaje	✓
Piñón, calidad del dentado 6 (DIN 3962)	✓
Dentado helicoidal	✓
Templados y pulidos	✓

Leyenda ★★★☆☆ bueno | ★★★★★ excepcional

€ Economy | €€€€€ Premium

#### Características técnicas

$m_n$	2 – 4 mm
$z$	18 – 25
$F_{f2acc}$	3,2 – 11 kN
$v_{f2maxZB}$	0,07 – 3 m/s
$\Delta s$	37 – 44 µm

## 10.2 Tablas de selección

Los datos técnicos especificados en las tablas de selección son válidos para:

- Montaje sin tensiones
- Lubricación permanente con los lubricantes recomendados en el capítulo Cremalleras [▶ 13.5.1]
- Piñón templado, con dentado helicoidal (ascendente a la izquierda 19° 31' 42''), calidad del dentado 6
- Alturas de instalación hasta 1000 m sobre el nivel del mar
- Temperaturas ambiente de 0 °C a 40 °C
- Sin tener en cuenta la potencia límite térmica
- $C_{lin}$ : posición del piñón S

El resto de características técnicas se encuentran en <https://configurator.stoeber.de/en-US/>.

Los símbolos de las fórmulas se explican en el capítulo [▶ 14.1].

i	Modelo	$n_{1maxDB}$ [min <sup>-1</sup> ]	$n_{1maxZB}$ [min <sup>-1</sup> ]	$d_{MW}$ [mm]	$v_{f2maxZB}$ [m/s]	$\Delta s$	$C_{lin}$ [μm]	$m_n$ [N/μm]	z	$d_0$ [mm]	$F_{f2N,S}$ [kN]	$F_{f2N,E}$ [kN]	$F_{f2accS}$ [kN]	$F_{f2accE}$ [kN]	$F_{f2NOT,S}$ [kN]	$F_{f2NOT,E}$ [kN]	$M_{2accS}$ [Nm]	$M_{2accE}$ [Nm]
<b>ZV2KS4 (<math>F_{f2acc,max} = 4,2</math> kN)</b>																		
6,000	ZV220S_KS402_0060 ME	3000	6000	≤19	2,22	37	35	2	20	42,4	2,8	2,8	4,2	3,2	6,6	6,4	90	68
6,000	ZV220S_KS402_0060 MEL	3000	6000	≤24	2,22	37	36	2	20	42,4	2,8	2,8	4,2	3,2	6,6	6,4	90	68
8,000	ZV220S_KS402_0080 ME	3500	6000	≤19	1,67	37	36	2	20	42,4	3,1	3,1	4,2	3,2	6,6	6,4	90	68
8,000	ZV220S_KS402_0080 MEL	3500	6000	≤24	1,67	37	36	2	20	42,4	3,1	3,1	4,2	3,2	6,6	6,4	90	68
10,00	ZV220S_KS402_0100 ME	3800	6000	≤19	1,33	37	36	2	20	42,4	3,1	3,1	4,2	3,2	6,6	6,4	90	68
10,00	ZV220S_KS402_0100 MEL	3800	6000	≤24	1,33	37	36	2	20	42,4	3,1	3,1	4,2	3,2	6,6	6,4	90	68
14,00	ZV220S_KS402_0140 ME	4000	6000	≤19	0,95	37	36	2	20	42,4	3,1	3,1	4,2	3,2	6,6	6,4	90	68
14,00	ZV220S_KS402_0140 MEL	4000	6000	≤24	0,95	37	36	2	20	42,4	3,1	3,1	4,2	3,2	6,6	6,4	90	68
20,00	ZV220S_KS402_0200 ME	4000	6000	≤19	0,67	37	36	2	20	42,4	2,8	2,8	4,2	3,2	6,6	6,4	90	68
20,00	ZV220S_KS402_0200 MEL	4000	6000	≤24	0,67	37	36	2	20	42,4	2,8	2,8	4,2	3,2	6,6	6,4	90	68
24,00	ZV220S_KS403_0240 ME	3500	6000	≤14	0,56	37	36	2	20	42,4	2,8	2,8	4,2	3,2	6,6	6,4	90	68
24,00	ZV220S_KS403_0240 MEL	3500	6000	≤19	0,56	37	36	2	20	42,4	2,8	2,8	4,2	3,2	6,6	6,4	90	68
32,00	ZV220S_KS403_0320 ME	3500	6000	≤14	0,42	37	36	2	20	42,4	3,1	3,1	4,2	3,2	6,6	6,4	90	68
32,00	ZV220S_KS403_0320 MEL	3500	6000	≤19	0,42	37	36	2	20	42,4	3,1	3,1	4,2	3,2	6,6	6,4	90	68
40,00	ZV220S_KS403_0400 ME	3500	6000	≤14	0,33	37	36	2	20	42,4	3,1	3,1	4,2	3,2	6,6	6,4	90	68
40,00	ZV220S_KS403_0400 MEL	3500	6000	≤19	0,33	37	36	2	20	42,4	3,1	3,1	4,2	3,2	6,6	6,4	90	68
50,00	ZV220S_KS403_0500 ME	4000	6000	≤14	0,27	37	36	2	20	42,4	3,1	3,1	4,2	3,2	6,6	6,4	90	68
50,00	ZV220S_KS403_0500 MEL	4000	6000	≤19	0,27	37	36	2	20	42,4	3,1	3,1	4,2	3,2	6,6	6,4	90	68
70,00	ZV220S_KS403_0700 ME	4500	6000	≤14	0,19	37	36	2	20	42,4	3,1	3,1	4,2	3,2	6,6	6,4	90	68
70,00	ZV220S_KS403_0700 MEL	4500	6000	≤19	0,19	37	36	2	20	42,4	3,1	3,1	4,2	3,2	6,6	6,4	90	68
80,00	ZV220S_KS403_0800 ME	4500	6000	≤14	0,17	37	36	2	20	42,4	3,1	3,1	4,2	3,2	6,6	6,4	90	68
80,00	ZV220S_KS403_0800 MEL	4500	6000	≤19	0,17	37	36	2	20	42,4	3,1	3,1	4,2	3,2	6,6	6,4	90	68
100,0	ZV220S_KS403_1000 ME	4500	6000	≤14	0,13	37	36	2	20	42,4	3,1	3,1	4,2	3,2	6,6	6,4	90	68
100,0	ZV220S_KS403_1000 MEL	4500	6000	≤19	0,13	37	36	2	20	42,4	3,1	3,1	4,2	3,2	6,6	6,4	90	68
140,0	ZV220S_KS403_1400 ME	4500	6000	≤14	0,10	37	36	2	20	42,4	3,1	3,1	4,2	3,2	6,6	6,4	90	68
140,0	ZV220S_KS403_1400 MEL	4500	6000	≤19	0,10	37	36	2	20	42,4	3,1	3,1	4,2	3,2	6,6	6,4	90	68
200,0	ZV220S_KS403_2000 ME	4500	6000	≤14	0,07	37	36	2	20	42,4	2,8	2,8	4,2	3,2	6,6	6,4	90	68
200,0	ZV220S_KS403_2000 MEL	4500	6000	≤19	0,07	37	36	2	20	42,4	2,8	2,8	4,2	3,2	6,6	6,4	90	68
<b>ZV2KS5 (<math>F_{f2acc,max} = 7,5</math> kN)</b>																		
6,000	ZV225S_KS502_0060 ME	2500	5500	≤24	2,55	39	45	2	25	53,1	3,8	3,8	7,5	5,0	11	10	200	134
6,000	ZV225S_KS502_0060 MEL	2500	5500	≤32	2,55	39	45	2	25	53,1	3,8	3,8	7,5	5,0	11	10	200	134
8,000	ZV225S_KS502_0080 ME	2800	6000	≤24	2,08	39	45	2	25	53,1	4,7	4,7	7,5	5,0	11	10	200	134
8,000	ZV225S_KS502_0080 MEL	2800	6000	≤32	2,08	39	45	2	25	53,1	4,7	4,7	7,5	5,0	11	10	200	134
10,00	ZV225S_KS502_0100 ME	3000	6000	≤24	1,67	39	45	2	25	53,1	4,7	4,7	7,5	5,0	11	10	200	134
10,00	ZV225S_KS502_0100 MEL	3000	6000	≤32	1,67	39	46	2	25	53,1	4,7	4,7	7,5	5,0	11	10	200	134
14,00	ZV225S_KS502_0140 ME	3200	6000	≤24	1,19	39	45	2	25	53,1	4,7	4,7	7,5	5,0	11	10	200	134
14,00	ZV225S_KS502_0140 MEL	3200	6000	≤32	1,19	39	46	2	25	53,1	4,7	4,7	7,5	5,0	11	10	200	134
20,00	ZV225S_KS502_0200 ME	3500	6000	≤24	0,83	39	46	2	25	53,1	4,5	4,5	7,5	5,0	11	10	200	134
20,00	ZV225S_KS502_0200 MEL	3500	6000	≤32	0,83	39	46	2	25	53,1	4,5	4,5	7,5	5,0	11	10	200	134
24,00	ZV225S_KS503_0240 ME	3100	6000	≤19	0,69	39	46	2	25	53,1	3,8	3,8	7,5	5,0	11	10	200	134
24,00	ZV225S_KS503_0240 MEL	3100	6000	≤24	0,69	39	46	2	25	53,1	3,8	3,8	7,5	5,0	11	10	200	134
32,00	ZV225S_KS503_0320 ME	3100	6000	≤19	0,52	39	46	2	25	53,1	4,7	4,7	7,5	5,0	11	10	200	134
32,00	ZV225S_KS503_0320 MEL	3100	6000	≤24	0,52	39	46	2	25	53,1	4,7	4,7	7,5	5,0	11	10	200	134
40,00	ZV225S_KS503_0400 ME	3100	6000	≤19	0,42	39	46	2	25	53,1	4,7	4,7	7,5	5,0	11	10	200	134
40,00	ZV225S_KS503_0400 MEL	3100	6000	≤24	0,42	39	46	2	25	53,1	4,7	4,7	7,5	5,0	11	10	200	134
50,00	ZV225S_KS503_0500 ME	3500	6000	≤19	0,33	39	46	2	25	53,1	4,7	4,7	7,5	5,0	11	10	200	134
50,00	ZV225S_KS503_0500 MEL	3500	6000	≤24	0,33	39	46	2	25	53,1	4,7	4,7	7,5	5,0	11	10	200	134
70,00	ZV225S_KS503_0700 ME	4200	6000	≤19	0,24	39	46	2	25	53,1	4,7	4,7	7,5	5,0	11	10	200	134
70,00	ZV225S_KS503_0700 MEL	4200	6000	≤24	0,24	39	46	2	25	53,1	4,7	4,7	7,5	5,0	11	10	200	134
80,00	ZV225S_KS503_0800 ME	4200	6000	≤19	0,21	39	46	2	25	53,1	4,7	4,7	7,5	5,0	11	10	200	134

i	Modelo	$n_{1\max DB}$ [min $^{-1}$ ]	$n_{1\max ZB}$ [min $^{-1}$ ]	$d_{MW}$ [mm]	$v_{f2\max ZB}$ [m/s]	$\Delta s$ [μm]	$C_{lin}$ [N/μm]	$m_n$ [mm]	z	$d_0$ [mm]	$F_{f2N,S}$ [kN]	$F_{f2N,E}$ [kN]	$F_{f2accS}$ [kN]	$F_{f2accE}$ [kN]	$F_{f2NOT,S}$ [kN]	$F_{f2NOT,E}$ [kN]	$M_{2accS}$ [Nm]	$M_{2accE}$ [Nm]
<b>ZV2KS5 (<math>F_{f2acc,max} = 7,5</math> kN)</b>																		
80,00	ZV225S_KS503_0800 MEL	4200	6000	$\leq 24$	0,21	39	46	2	25	53,1	4,7	4,7	7,5	5,0	11	10	200	134
100,0	ZV225S_KS503_1000 ME	4200	6000	$\leq 19$	0,17	39	46	2	25	53,1	4,7	4,7	7,5	5,0	11	10	200	134
100,0	ZV225S_KS503_1000 MEL	4200	6000	$\leq 24$	0,17	39	46	2	25	53,1	4,7	4,7	7,5	5,0	11	10	200	134
140,0	ZV225S_KS503_1400 ME	4200	6000	$\leq 19$	0,12	39	46	2	25	53,1	4,7	4,7	7,5	5,0	11	10	200	134
140,0	ZV225S_KS503_1400 MEL	4200	6000	$\leq 24$	0,12	39	46	2	25	53,1	4,7	4,7	7,5	5,0	11	10	200	134
200,0	ZV225S_KS503_2000 ME	4200	6000	$\leq 19$	0,08	39	46	2	25	53,1	4,5	4,5	7,5	5,0	11	10	200	134
200,0	ZV225S_KS503_2000 MEL	4200	6000	$\leq 24$	0,08	39	46	2	25	53,1	4,5	4,5	7,5	5,0	11	10	200	134
<b>ZV3KS5 (<math>F_{f2acc,max} = 7,0</math> kN)</b>																		
6,000	ZV318S_KS502_0060 ME	2500	5500	$\leq 24$	2,75	42	43	3	18	57,3	3,5	3,5	7,0	5,2	10	10	200	148
6,000	ZV318S_KS502_0060 MEL	2500	5500	$\leq 32$	2,75	42	43	3	18	57,3	3,5	3,5	7,0	5,2	10	10	200	148
8,000	ZV318S_KS502_0080 ME	2800	6000	$\leq 24$	2,25	42	43	3	18	57,3	4,4	4,4	7,0	5,2	10	10	200	148
8,000	ZV318S_KS502_0080 MEL	2800	6000	$\leq 32$	2,25	42	44	3	18	57,3	4,4	4,4	7,0	5,2	10	10	200	148
10,00	ZV318S_KS502_0100 ME	3000	6000	$\leq 24$	1,80	42	44	3	18	57,3	4,4	4,4	7,0	5,2	10	10	200	148
10,00	ZV318S_KS502_0100 MEL	3000	6000	$\leq 32$	1,80	42	44	3	18	57,3	4,4	4,4	7,0	5,2	10	10	200	148
14,00	ZV318S_KS502_0140 ME	3200	6000	$\leq 24$	1,29	42	44	3	18	57,3	4,4	4,4	7,0	5,2	10	10	200	148
14,00	ZV318S_KS502_0140 MEL	3200	6000	$\leq 32$	1,29	42	44	3	18	57,3	4,4	4,4	7,0	5,2	10	10	200	148
20,00	ZV318S_KS502_0200 ME	3500	6000	$\leq 24$	0,90	42	44	3	18	57,3	4,2	4,2	7,0	5,2	10	10	200	148
20,00	ZV318S_KS502_0200 MEL	3500	6000	$\leq 32$	0,90	42	44	3	18	57,3	4,2	4,2	7,0	5,2	10	10	200	148
24,00	ZV318S_KS503_0240 ME	3100	6000	$\leq 19$	0,75	42	44	3	18	57,3	3,5	3,5	7,0	5,2	10	10	200	148
24,00	ZV318S_KS503_0240 MEL	3100	6000	$\leq 24$	0,75	42	44	3	18	57,3	3,5	3,5	7,0	5,2	10	10	200	148
32,00	ZV318S_KS503_0320 ME	3100	6000	$\leq 19$	0,56	42	44	3	18	57,3	4,4	4,4	7,0	5,2	10	10	200	148
32,00	ZV318S_KS503_0320 MEL	3100	6000	$\leq 24$	0,56	42	44	3	18	57,3	4,4	4,4	7,0	5,2	10	10	200	148
40,00	ZV318S_KS503_0400 ME	3100	6000	$\leq 19$	0,45	42	44	3	18	57,3	4,4	4,4	7,0	5,2	10	10	200	148
40,00	ZV318S_KS503_0400 MEL	3100	6000	$\leq 24$	0,45	42	44	3	18	57,3	4,4	4,4	7,0	5,2	10	10	200	148
50,00	ZV318S_KS503_0500 ME	3500	6000	$\leq 19$	0,36	42	44	3	18	57,3	4,4	4,4	7,0	5,2	10	10	200	148
50,00	ZV318S_KS503_0500 MEL	3500	6000	$\leq 24$	0,36	42	44	3	18	57,3	4,4	4,4	7,0	5,2	10	10	200	148
70,00	ZV318S_KS503_0700 ME	4200	6000	$\leq 19$	0,26	42	44	3	18	57,3	4,4	4,4	7,0	5,2	10	10	200	148
70,00	ZV318S_KS503_0700 MEL	4200	6000	$\leq 24$	0,26	42	44	3	18	57,3	4,4	4,4	7,0	5,2	10	10	200	148
80,00	ZV318S_KS503_0800 ME	4200	6000	$\leq 19$	0,23	42	44	3	18	57,3	4,4	4,4	7,0	5,2	10	10	200	148
80,00	ZV318S_KS503_0800 MEL	4200	6000	$\leq 24$	0,23	42	44	3	18	57,3	4,4	4,4	7,0	5,2	10	10	200	148
100,0	ZV318S_KS503_1000 ME	4200	6000	$\leq 19$	0,18	42	44	3	18	57,3	4,4	4,4	7,0	5,2	10	10	200	148
100,0	ZV318S_KS503_1000 MEL	4200	6000	$\leq 24$	0,18	42	44	3	18	57,3	4,4	4,4	7,0	5,2	10	10	200	148
140,0	ZV318S_KS503_1400 ME	4200	6000	$\leq 19$	0,13	42	44	3	18	57,3	4,4	4,4	7,0	5,2	10	10	200	148
140,0	ZV318S_KS503_1400 MEL	4200	6000	$\leq 24$	0,13	42	44	3	18	57,3	4,4	4,4	7,0	5,2	10	10	200	148
200,0	ZV318S_KS503_2000 ME	4200	6000	$\leq 19$	0,09	42	44	3	18	57,3	4,2	4,2	7,0	5,2	10	10	200	148
200,0	ZV318S_KS503_2000 MEL	4200	6000	$\leq 24$	0,09	42	44	3	18	57,3	4,2	4,2	7,0	5,2	10	10	200	148
<b>ZV3KS7 (<math>F_{f2acc,max} = 11</math> kN)</b>																		
6,000	ZV322S_KS702_0060 ME	2100	4500	$\leq 32$	2,75	41	66	3	22	70,0	6,9	6,4	11	6,4	17	13	400	223
6,000	ZV322S_KS702_0060 MEL	2100	4500	$\leq 38$	2,75	41	67	3	22	70,0	6,9	6,4	11	6,4	17	13	400	223
8,000	ZV322S_KS702_0080 ME	2500	5000	$\leq 32$	2,29	41	67	3	22	70,0	7,1	6,4	11	6,4	17	13	400	223
8,000	ZV322S_KS702_0080 MEL	2500	5000	$\leq 38$	2,29	41	67	3	22	70,0	7,1	6,4	11	6,4	17	13	400	223
10,00	ZV322S_KS702_0100 ME	2800	6000	$\leq 32$	2,20	41	67	3	22	70,0	7,1	6,4	11	6,4	17	13	400	223
10,00	ZV322S_KS702_0100 MEL	2800	6000	$\leq 38$	2,20	41	67	3	22	70,0	7,1	6,4	11	6,4	17	13	400	223
14,00	ZV322S_KS702_0140 ME	3000	6000	$\leq 32$	1,57	41	67	3	22	70,0	7,1	6,4	11	6,4	17	13	400	223
14,00	ZV322S_KS702_0140 MEL	3000	6000	$\leq 38$	1,57	41	67	3	22	70,0	7,1	6,4	11	6,4	17	13	400	223
20,00	ZV322S_KS702_0200 ME	3200	6000	$\leq 32$	1,10	41	67	3	22	70,0	7,1	6,4	11	6,4	17	13	400	223
20,00	ZV322S_KS702_0200 MEL	3200	6000	$\leq 38$	1,10	41	68	3	22	70,0	7,1	6,4	11	6,4	17	13	400	223
24,00	ZV322S_KS703_0240 ME	3000	6000	$\leq 24$	0,92	41	67	3	22	70,0	6,9	6,4	11	6,4	17	13	400	223
24,00	ZV322S_KS703_0240 MEL	3000	6000	$\leq 32$	0,92	41	68	3	22	70,0	6,9	6,4	11	6,4	17	13	400	223
32,00	ZV322S_KS703_0320 ME	3000	6000	$\leq 24$	0,69	41	68	3	22	70,0	7,1	6,4	11	6,4	17	13	400	223
32,00	ZV322S_KS703_0320 MEL	3000	6000	$\leq 32$	0,69	41	68	3	22	70,0	7,1	6,4	11	6,4	17	13	400	223
40,00	ZV322S_KS703_0400 ME	3000	6000	$\leq 24$	0,55	41	68	3	22	70,0	7,1	6,4	11	6,4	17	13	400	223
40,00	ZV322S_KS703_0400 MEL	3000	6000	$\leq 32$	0,55	41	68	3	22	70,0	7,1	6,4	11	6,4	17	13	400	223
50,00	ZV322S_KS703_0500 ME	3200	6000	$\leq 24$	0,44	41	68	3	22	70,0	7,1	6,4	11	6,4	17	13	400	223
50,00	ZV322S_KS703_0500 MEL	3200	6000	$\leq 32$	0,44	41	68	3	22	70,0	7,1	6,4	11	6,4	17	13	400	223
70,00	ZV322S_KS703_0700 ME	3500	6000	$\leq 24$	0,31	41	68	3	22	70,0	7,1	6,4	11	6,4	17	13	400	223
70,00	ZV322S_KS703_0700 MEL	3500	6000	$\leq 32$	0,31	41												

i	Modelo	$n_{1\max DB}$ [min $^{-1}$ ]	$n_{1\max ZB}$ [min $^{-1}$ ]	$d_{MW}$ [mm]	$v_{f2\max ZB}$ [m/s]	$\Delta s$ [μm]	$C_{lin}$ [N/μm]	$m_n$ [mm]	z	$d_0$ [mm]	$F_{f2N,S}$ [kN]	$F_{f2N,E}$ [kN]	$F_{f2accS}$ [kN]	$F_{f2accE}$ [kN]	$F_{f2NOT,S}$ [kN]	$F_{f2NOT,E}$ [kN]	$M_{2accS}$ [Nm]	$M_{2accE}$ [Nm]
<b>ZV4KS7 (<math>F_{f2acc,max} = 10</math> kN)</b>																		
6,000	ZV418S_KS702_0060 ME	2100	4500	≤32	3,00	44	64	4	18	76,4	6,3	6,3	10	6,7	16	13	400	256
6,000	ZV418S_KS702_0060 MEL	2100	4500	≤38	3,00	44	65	4	18	76,4	6,3	6,3	10	6,7	16	13	400	256
8,000	ZV418S_KS702_0080 ME	2500	5000	≤32	2,50	44	65	4	18	76,4	6,5	6,5	10	6,7	16	13	400	256
8,000	ZV418S_KS702_0080 MEL	2500	5000	≤38	2,50	44	65	4	18	76,4	6,5	6,5	10	6,7	16	13	400	256
10,00	ZV418S_KS702_0100 ME	2800	6000	≤32	2,40	44	65	4	18	76,4	6,5	6,5	10	6,7	16	13	400	256
10,00	ZV418S_KS702_0100 MEL	2800	6000	≤38	2,40	44	66	4	18	76,4	6,5	6,5	10	6,7	16	13	400	256
14,00	ZV418S_KS702_0140 ME	3000	6000	≤32	1,71	44	66	4	18	76,4	6,5	6,5	10	6,7	16	13	400	256
14,00	ZV418S_KS702_0140 MEL	3000	6000	≤38	1,71	44	66	4	18	76,4	6,5	6,5	10	6,7	16	13	400	256
20,00	ZV418S_KS702_0200 ME	3200	6000	≤32	1,20	44	66	4	18	76,4	6,5	6,5	10	6,7	16	13	400	256
20,00	ZV418S_KS702_0200 MEL	3200	6000	≤38	1,20	44	66	4	18	76,4	6,5	6,5	10	6,7	16	13	400	256
24,00	ZV418S_KS703_0240 ME	3000	6000	≤24	1,00	44	66	4	18	76,4	6,3	6,3	10	6,7	16	13	400	256
24,00	ZV418S_KS703_0240 MEL	3000	6000	≤32	1,00	44	66	4	18	76,4	6,3	6,3	10	6,7	16	13	400	256
32,00	ZV418S_KS703_0320 ME	3000	6000	≤24	0,75	44	66	4	18	76,4	6,5	6,5	10	6,7	16	13	400	256
32,00	ZV418S_KS703_0320 MEL	3000	6000	≤32	0,75	44	66	4	18	76,4	6,5	6,5	10	6,7	16	13	400	256
40,00	ZV418S_KS703_0400 ME	3000	6000	≤24	0,60	44	66	4	18	76,4	6,5	6,5	10	6,7	16	13	400	256
40,00	ZV418S_KS703_0400 MEL	3000	6000	≤32	0,60	44	66	4	18	76,4	6,5	6,5	10	6,7	16	13	400	256
50,00	ZV418S_KS703_0500 ME	3200	6000	≤24	0,48	44	66	4	18	76,4	6,5	6,5	10	6,7	16	13	400	256
50,00	ZV418S_KS703_0500 MEL	3200	6000	≤32	0,48	44	66	4	18	76,4	6,5	6,5	10	6,7	16	13	400	256
70,00	ZV418S_KS703_0700 ME	3500	6000	≤24	0,34	44	66	4	18	76,4	6,5	6,5	10	6,7	16	13	400	256
70,00	ZV418S_KS703_0700 MEL	3500	6000	≤32	0,34	44	66	4	18	76,4	6,5	6,5	10	6,7	16	13	400	256
80,00	ZV418S_KS703_0800 ME	4000	6000	≤24	0,30	44	66	4	18	76,4	6,5	6,5	10	6,7	16	13	400	256
80,00	ZV418S_KS703_0800 MEL	4000	6000	≤32	0,30	44	66	4	18	76,4	6,5	6,5	10	6,7	16	13	400	256
100,0	ZV418S_KS703_1000 ME	4000	6000	≤24	0,24	44	66	4	18	76,4	6,5	6,5	10	6,7	16	13	400	256
100,0	ZV418S_KS703_1000 MEL	4000	6000	≤32	0,24	44	66	4	18	76,4	6,5	6,5	10	6,7	16	13	400	256
140,0	ZV418S_KS703_1400 ME	4000	6000	≤24	0,17	44	66	4	18	76,4	6,5	6,5	10	6,7	16	13	400	256
140,0	ZV418S_KS703_1400 MEL	4000	6000	≤32	0,17	44	66	4	18	76,4	6,5	6,5	10	6,7	16	13	400	256
200,0	ZV418S_KS703_2000 ME	4000	6000	≤24	0,12	44	66	4	18	76,4	6,5	6,5	10	6,7	16	13	400	256
200,0	ZV418S_KS703_2000 MEL	4000	6000	≤32	0,12	44	66	4	18	76,4	6,5	6,5	10	6,7	16	13	400	256

## 10.3 Esquemas de dimensiones

Este capítulo contiene la información sobre las dimensiones de los accionamientos de cremallera con adaptadores de motor.

La medida  $az$  en las tablas de dimensiones es válida para cremalleras STOBER. En general se aplica lo siguiente:  $az = \frac{1}{2} d_0 + h_0 + x * m_n$

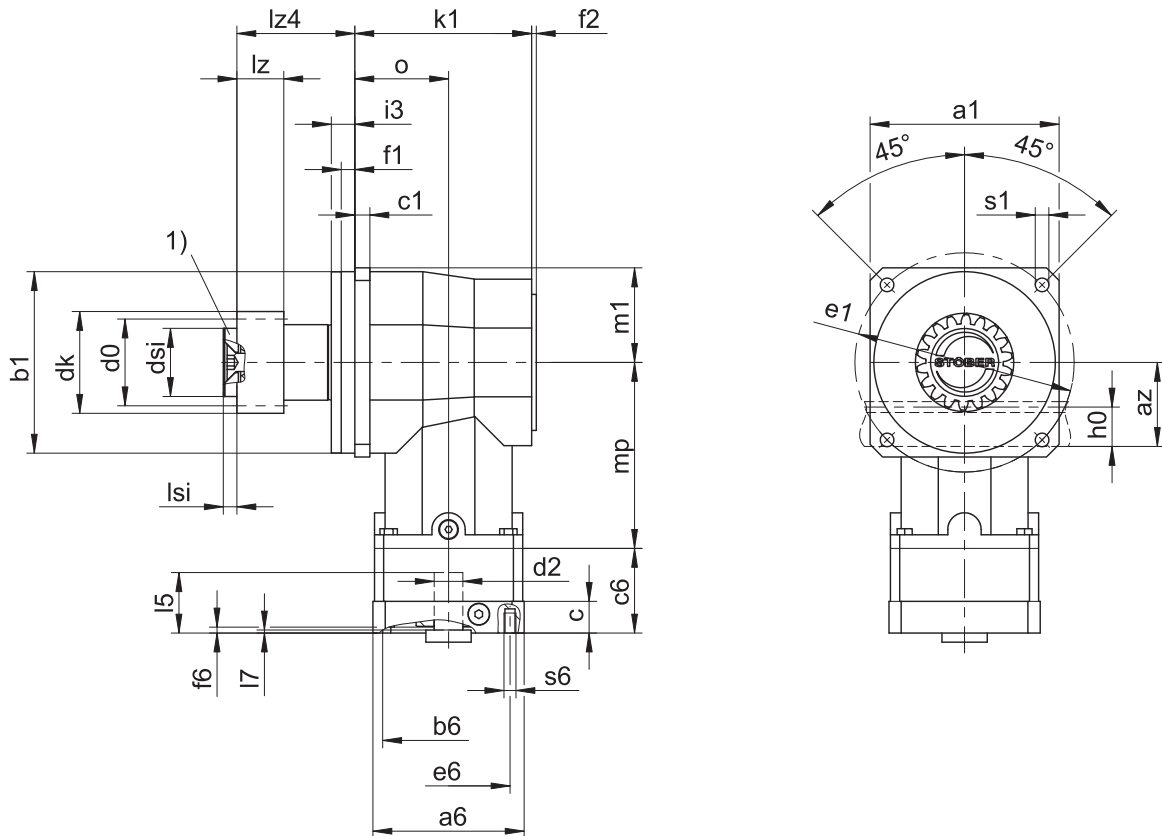
Piñón del accionamiento de cremallera con dentado helicoidal (ascendente a la izquierda  $19^{\circ} 31' 42''$ ). La calidad del dentado del piñón es 6.

Las tolerancias de fundición o bien la suma de las tolerancias individuales pueden provocar que las medidas sobrepasen las especificaciones de ISO 2768-mK.

Nos reservamos el derecho de realizar cambios en las dimensiones en pro del desarrollo tecnológico.

Los modelos 3D de nuestros accionamientos estándar se pueden descargar en <https://configurator.stober.de/en-US/>.

### 10.3.1 Posición de piñón E



1) Seguro axial (opcional)

#### Medidas salida

Modelo	mn	a1	az	$\emptyset b1$	c1	$\emptyset d0$	$\emptyset dk$	$\emptyset ds1$	$\emptyset e1$	f1	f2	h0	i3	k1	lz	l4	lsi	mp	m1	o	$\emptyset s1$	x
ZV220SEKS402_	2	101	44,02	95 <sub>h6</sub>	10	42,44	47,90	30	120	8	3	22	14,0	101	26	54,5	6	104,0	50,5	53	6,6	0,4
ZV220SEKS403_	2	101	44,02	95 <sub>h6</sub>	10	42,44	47,90	30	120	8	3	22	14,0	101	26	54,5	6	144,0	50,5	53	6,6	0,4
ZV225SEKS502_	2	125	49,33	120 <sub>h6</sub>	10	53,05	58,52	45	145	9	3	22	15,5	117	26	78,0	8	123,0	62,5	62	9,0	0,4
ZV225SEKS503_	2	125	49,33	120 <sub>h6</sub>	10	53,05	58,52	45	145	9	3	22	15,5	117	26	78,0	8	172,0	62,5	62	9,0	0,4
ZV318SEKS502_	3	125	55,55	120 <sub>h6</sub>	10	57,30	65,01	45	145	9	3	26	15,5	117	31	78,0	8	123,0	62,5	62	9,0	0,3
ZV318SEKS503_	3	125	55,55	120 <sub>h6</sub>	10	57,30	65,01	45	145	9	3	26	15,5	117	31	78,0	8	172,0	62,5	62	9,0	0,3
ZV322SEKS702_	3	155	62,21	150 <sub>h6</sub>	15	70,03	78,35	55	180	10	3	26	20,0	145	31	107,5	10	151,0	77,5	78	11,0	0,4
ZV322SEKS703_	3	155	62,21	150 <sub>h6</sub>	15	70,03	78,35	55	180	10	3	26	20,0	145	31	107,5	10	205,5	77,5	78	11,0	0,4
ZV418SEKS702_	4	155	74,40	150 <sub>h6</sub>	15	76,40	86,77	55	180	10	3	35	20,0	145	41	107,5	10	151,0	77,5	78	11,0	0,3
ZV418SEKS703_	4	155	74,40	150 <sub>h6</sub>	15	76,40	86,77	55	180	10	3	35	20,0	145	41	107,5	10	205,5	77,5	78	11,0	0,3

#### Ejemplos de medidas de conexión del motor

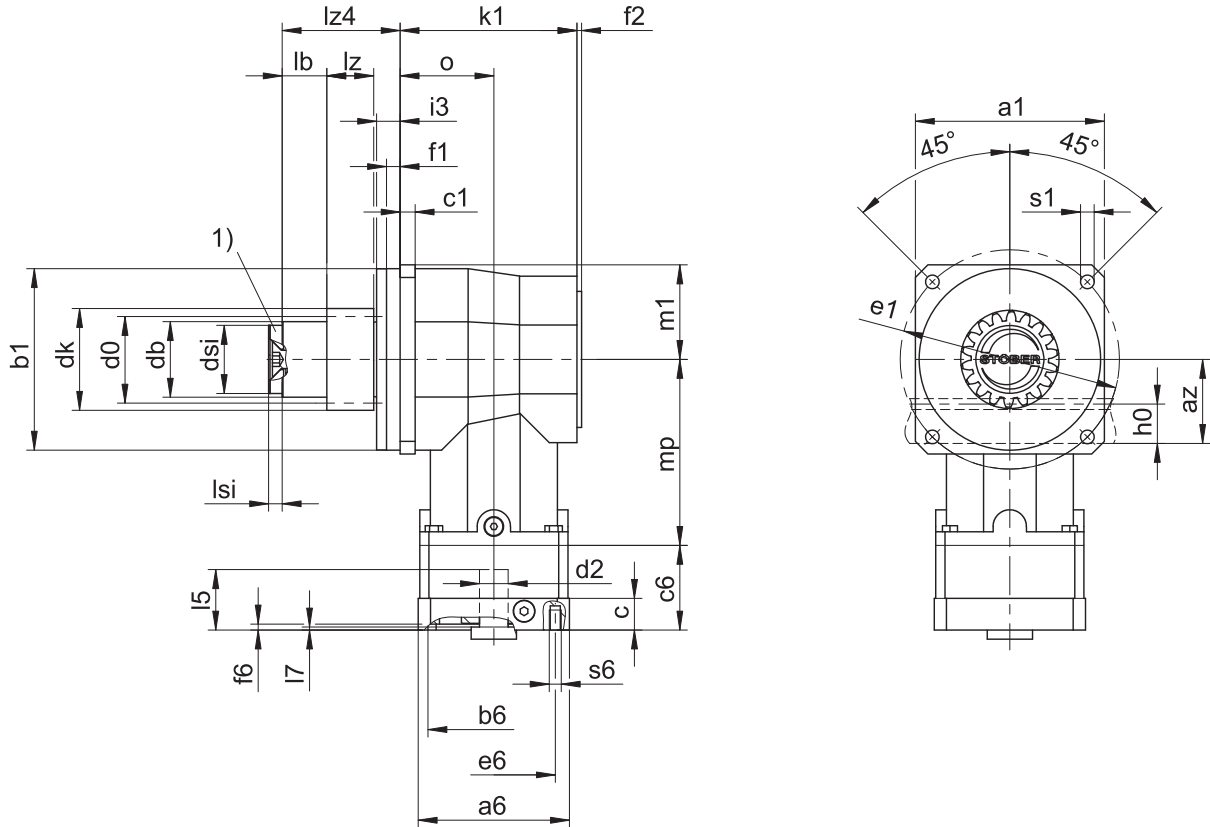
Modelo	$\emptyset b6$	$\emptyset e6$	$\emptyset d2max$	$l5$	$\square a6$	$c$	$c6$	$f6$	$l7$	$s6$
ZV_KS402_ME	60 <sup>H7</sup>	75	19	40	75	18	51,5	3,5	3,0	M5
ZV_KS403_ME	40 <sup>H7</sup>	63	14	30	55	15	32,0	3,5	3,0	M5
ZV_KS502_ME	95 <sup>H7</sup>	115	24	42	100	21	56,0	4,0	3,0	M8
ZV_KS503_ME	60 <sup>H7</sup>	75	19	40	75	18	51,5	3,5	3,0	M5
ZV_KS702_ME	110 <sup>H7</sup>	130	32	50	120	24	67,5	4,0	3,5	M8
ZV_KS703_ME	95 <sup>H7</sup>	115	24	42	100	21	56,0	4,0	3,0	M8

La tabla de arriba contiene ejemplos de medidas de la conexión del motor para el adaptador de motor ME.

Tenga en cuenta que las medidas  $c6$  e  $l5$  se alargan correspondientemente cuando se alarga la medida  $c$ .

Encontrará las medidas de conexión del motor para los adaptadores de motor ME y MEL en el STOBER Configurador en <https://configurator.stoeber.de/en-US/>. Allí podrá descargar directamente un modelo 3D de su accionamiento.

### 10.3.2 Posición de piñón S



1) Seguro axial (opcional)

#### Medidas salida

Modelo	$m_n$	$a_1$	$a_z$	$\varnothing b_1$	$c_1$	$\varnothing d_0$	$\varnothing d_b$	$\varnothing d_k$	$\varnothing d_{si}$	$\varnothing e_1$	$f_1$	$f_2$	$h_0$	$i_3$	$k_1$	$l_b$	$l_z$	$l_z4$	$l_{si}$	$m_1$	$o$	$\varnothing s_1$	$x$	
ZV220SSKS402_	2	101	44,02	95 <sub>h6</sub>	10	42,44	38	47,90	30	120	8	3	22	14,0	101	12,5	26	54,5	6	104,0	50,5	53	6,6	0,4
ZV220SSKS403_	2	101	44,02	95 <sub>h6</sub>	10	42,44	38	47,90	30	120	8	3	22	14,0	101	12,5	26	54,5	6	144,0	50,5	53	6,6	0,4
ZV225SSKS502_	2	125	49,33	120 <sub>h6</sub>	10	53,05	50	58,52	45	145	9	3	22	15,5	117	34,5	26	78,0	8	123,0	62,5	62	9,0	0,4
ZV225SSKS503_	2	125	49,33	120 <sub>h6</sub>	10	53,05	50	58,52	45	145	9	3	22	15,5	117	34,5	26	78,0	8	172,0	62,5	62	9,0	0,4
ZV318SSKS502_	3	125	55,55	120 <sub>h6</sub>	10	57,30	50	65,01	45	145	9	3	26	15,5	117	29,5	31	78,0	8	123,0	62,5	62	9,0	0,3
ZV318SSKS503_	3	125	55,55	120 <sub>h6</sub>	10	57,30	50	65,01	45	145	9	3	26	15,5	117	29,5	31	78,0	8	172,0	62,5	62	9,0	0,3
ZV322SSKS702_	3	155	62,21	150 <sub>h6</sub>	15	70,03	62	78,35	55	180	10	3	26	20,0	145	53,5	31	107,5	10	151,0	77,5	78	11,0	0,4
ZV322SSKS703_	3	155	62,21	150 <sub>h6</sub>	15	70,03	62	78,35	55	180	10	3	26	20,0	145	53,5	31	107,5	10	205,5	77,5	78	11,0	0,4
ZV418SSKS702_	4	155	74,40	150 <sub>h6</sub>	15	76,40	62	86,77	55	180	10	3	35	20,0	145	43,5	41	107,5	10	151,0	77,5	78	11,0	0,3
ZV418SSKS703_	4	155	74,40	150 <sub>h6</sub>	15	76,40	62	86,77	55	180	10	3	35	20,0	145	43,5	41	107,5	10	205,5	77,5	78	11,0	0,3

#### Ejemplos de medidas de conexión del motor

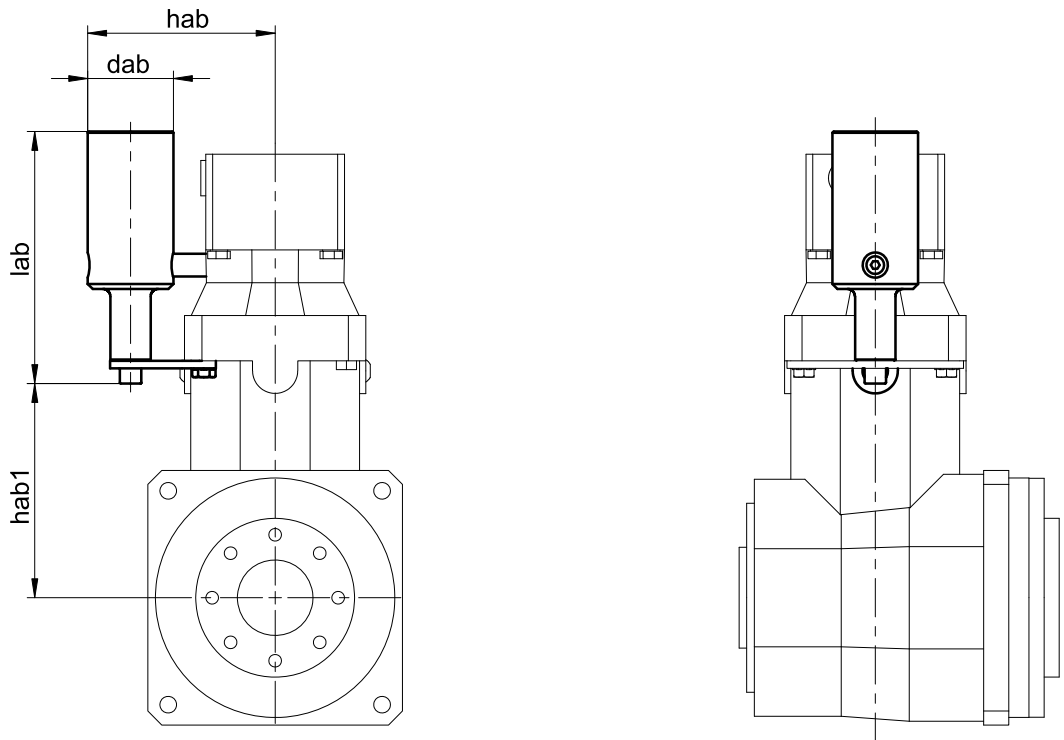
Modelo	$\varnothing b_6$	$\varnothing e_6$	$\varnothing d_{2max}$	$l_5$	$\square a_6$	$c$	$c_6$	$f_6$	$l_7$	$s_6$
ZV_KS402_ME	$60^{H7}$	75	19	40	75	18	51,5	3,5	3,0	M5
ZV_KS403_ME	$40^{H7}$	63	14	30	55	15	32,0	3,5	3,0	M5
ZV_KS502_ME	$95^{H7}$	115	24	42	100	21	56,0	4,0	3,0	M8
ZV_KS503_ME	$60^{H7}$	75	19	40	75	18	51,5	3,5	3,0	M5
ZV_KS702_ME	$110^{H7}$	130	32	50	120	24	67,5	4,0	3,5	M8
ZV_KS703_ME	$95^{H7}$	115	24	42	100	21	56,0	4,0	3,0	M8

La tabla de arriba contiene ejemplos de medidas de la conexión del motor para el adaptador de motor ME.

Tenga en cuenta que las medidas  $c_6$  e  $l_5$  se alargan correspondientemente cuando se alarga la medida  $c$ .

Encontrará las medidas de conexión del motor para los adaptadores de motor ME y MEL en el STOBER Configurador en <https://configurator.stoeber.de/en-US/>. Allí podrá descargar directamente un modelo 3D de su accionamiento.

### 10.3.3 Depósito de compensación del aceite



#### Medidas

Modelo	dab	lab	hab	hab1
ZV_KS403_	34	100	74,5	85
ZV_KS503_	39	122	92,0	105
ZV_KS703_	49	134	109,5	132

Encontrará más información en el capítulo [▶ 10.6.4]

## 10.4 Denominación de tipo

Este capítulo contiene información sobre la denominación de tipo y las opciones pertinentes.

Los datos de pedido que no forman parte de la denominación de tipo se incluyen al final del capítulo.

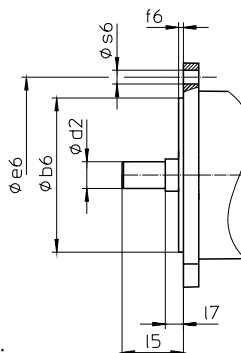
### Código de ejemplo

Z	V	2	20	S	S	KS	4	0	2	P	F	0080	ME
---	---	---	----	---	---	----	---	---	---	---	---	------	----

### Explicación

Código	Denominación	Versión
Z	Tipo	Accionamiento de cremallera
V	Versión	Piñón insertable
2	Módulo estándar	$m_n = 2 \text{ mm}$ (ejemplo)
20	Número de dientes	$z = 20$ (ejemplo)
S	Dentado	con dentado helicoidal (ascendente a la izquierda $19^\circ 31' 42''$ )
E	Posición del piñón	Extremo del eje
S		Reborde del eje
KS	Tipo	Reductor servo ortogonal
4	Tamaño	4 (ejemplo)
0	Generación	Generación 0
2	Etapas	2 etapas
3		3 etapas
P	Eje	Eje macizo con chaveta
F	Carcasa	Estándar
0080	Número característico de reducción ( $i \times 10$ )	$i = 8$ (ejemplo)
ME	Adaptador de motor	Adaptador de motor con acoplamiento EasyAdapt
MEL		Adaptador de motor con acoplamiento EasyAdapt para motores grandes

Para completar la denominación de tipo, indique también la siguiente información al hacer el pedido:



- Tipo de motor o dimensiones del motor:

Para elegir la conexión de motor adecuada, seleccione su motor o las dimensiones de la conexión del motor en el STOBER Configurator en <https://configurator.stoeber.de/en-US/>.

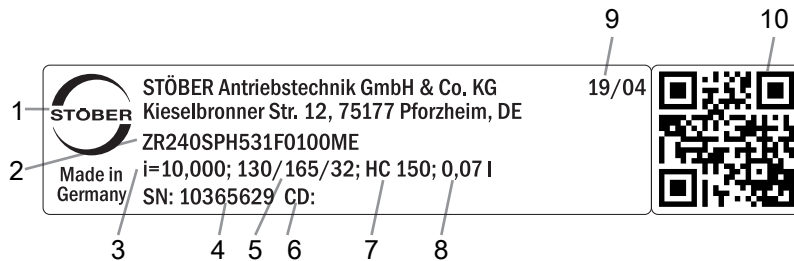
- Para la posición de montaje, véase el capítulo [▶ 10.5.5]
- Para la posición del acceso al tornillo de apriete, véase el capítulo [▶ 10.5.7]
- Para los retenes radiales para ejes de NBR o FKM en la salida (opcional), véase el capítulo [▶ 10.6.3]
- Montaje del depósito de compensación del aceite (opcional) en los lados 1 o 2 del reductor (obligatorio para los reductores de 3 etapas en la posición de montaje EL5), véase el capítulo [▶ 10.6.4]
- Seguro axial (opcional), véase el capítulo [▶ 10.3]

Este catálogo de productos incluye toda la información relacionada con los accionamientos de cremallera con adaptador de motor.

Encontrará todas las opciones de entrada disponibles bajo petición en el capítulo [▶ 10.5.1].

## 10.4.1 Placa de características

En la siguiente figura se explica a modo de ejemplo la placa de características de un reductor.



Código	Denominación
1	Denominación del fabricante
2	Denominación de tipo
3	Transmisión del reductor
4	Número de serie del reductor
5	Medida del adaptador de motor (diámetro del borde de ajuste/círculo de agujeros/eje del motor)
6	Datos específicos del cliente
7	Especificación del lubricante
8	Cantidad de llenado de lubricante
9	Fecha de fabricación (año/semana)
10	Código QR (enlace a la información de producto)

### 10.4.1.1 Documentos aplicables

Puede ver o descargar los documentos aplicables para el producto introduciendo el número de serie que aparece en la placa de características del producto en la siguiente dirección de Internet:

<https://id.stober.com>

Alternativamente, con un dispositivo móvil adecuado puede escanear el código QR de la placa de características del producto y de este modo acceder a los documentos aplicables.

## 10.5 Descripción del producto

### 10.5.1 Opciones de entrada

Este capítulo incluye todas las opciones de entrada disponibles:

Adaptador de motor ME Servomotor síncrono EZ



N.º de id. del catálogo de productos 443137\_es N.º de id. del catálogo de productos 443286\_en

Puede encontrar los catálogos de productos correspondientes en <http://www.stoeber.de/es/downloads/>

Introduzca el n.º de id. del catálogo de productos en el campo Termine di ricercaérmino de búsqueda.

## 10.5.2 Adaptador de motor con acoplamiento EasyAdapt (ME/MEL)

Este capítulo contiene la descripción del acoplamiento EasyAdapt.

### Propiedades:

- Montaje sencillo y rápido del motor
- Acoplamiento de compresión robusto de una sola pieza con función de expansión
- Momentos de inercia mínimos para el máximo dinamismo
- Equilibrado para un funcionamiento suave y sin vibraciones, incluso con un régimen de revoluciones elevado
- Amplia selección de diámetros y longitudes del eje del motor
- Sin fallos gracias al centrado exacto del motor
- Si el juego de giro es reducido, el alojamiento del eje del motor debe estar dispuesto axialmente sin holgura



*Fig. 1: Acoplamiento EasyAdapt*

## 10.5.3 Cremallera

La cremallera empleada debe tener dentado ascendente a la derecha ( $19^{\circ} 31' 42''$ ) y no debe superarse la capacidad de carga.

Cuando utilice una cremallera de STOBER, tenga en cuenta también la planificación de proyecto en el capítulo [\[ 13.6 \]](#).

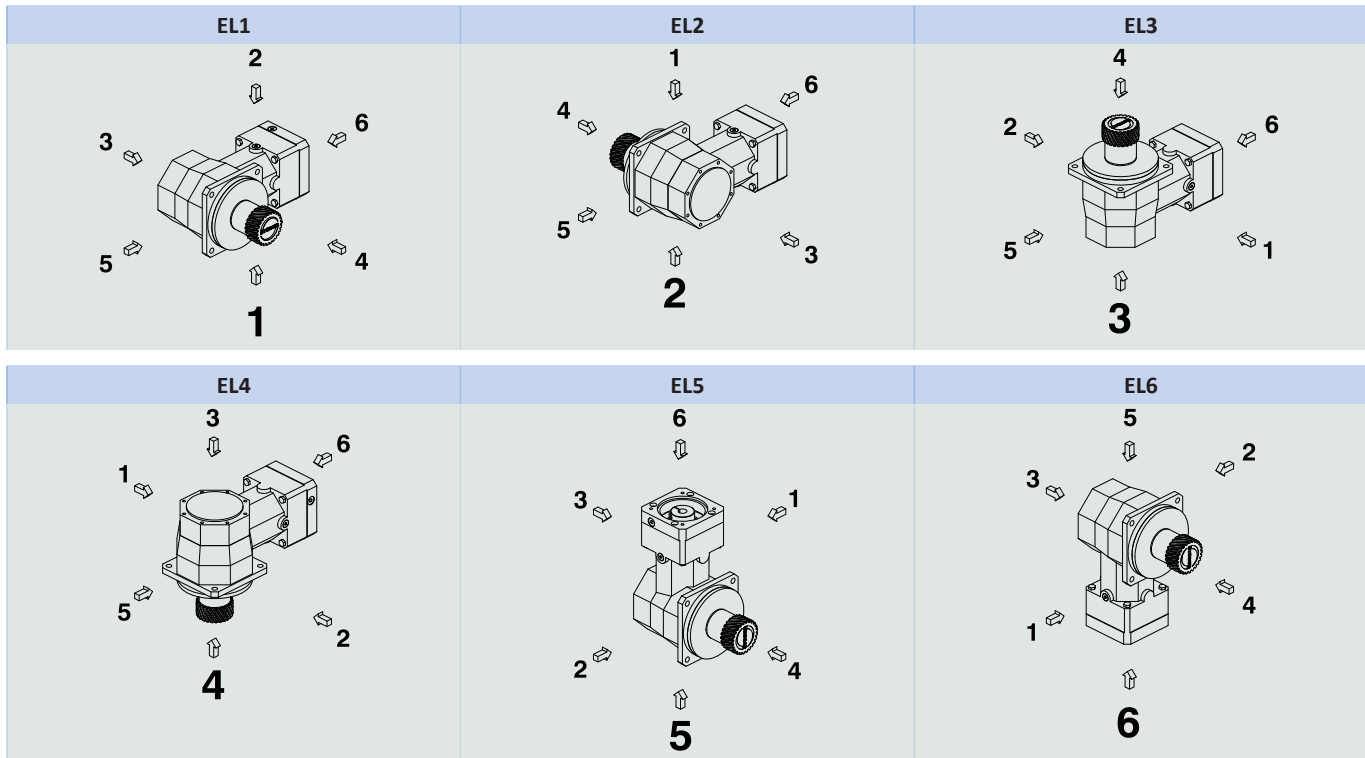
## 10.5.4 Condiciones de montaje

Los pares de giro y las fuerzas que se indican solo son válidos si se utilizan tornillos de la clase de resistencia 10.9 para fijar el reductor en el lado de la máquina. Adicionalmente, la carcasa del reductor debe adaptarse en el borde de ajuste. La adaptación en el lado de la máquina debe ser H7.

## 10.5.5 Posiciones de montaje

En la tabla siguiente se muestran las posiciones de montaje estándar.

Los números indican los lados del reductor. La posición de montaje se define por medio del lado del reductor que está orientado hacia abajo.



Debido a que la cantidad de llenado de refrigerante de los reductores depende de la posición de montaje, esta se debe indicar al realizar el pedido.

## 10.5.6 Lubricantes

STOBER carga los reductores con la cantidad y el tipo de lubricante que se indican en la placa de características. La cantidad de llenado y la estructura de los reductores dependen de la posición de montaje.

¡Los reductores únicamente se deben colocar en la posición de montaje para la cual están diseñados! Antes de reposicionar los reductores, es obligatorio consultar a STOBER. De lo contrario, STOBER no asumirá ninguna responsabilidad en relación con los reductores.

Lubricantes para el uso en la industria alimentaria disponibles bajo petición.

### 10.5.6.1 Lubricación del accionamiento de cremallera

Asegure una lubricación permanente con los lubricantes recomendados en el capítulo [\[ 13.5.1\]](#).

## 10.5.7 Posición del acceso al tornillo de apriete



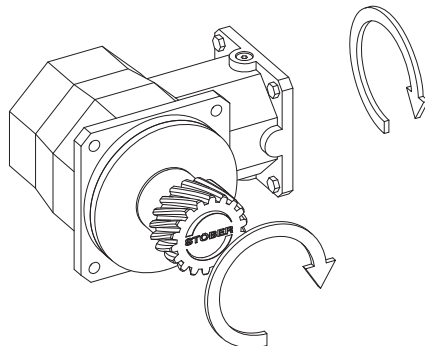
Indique las diferencias correspondientes a su reductor cuando realice el pedido.

Tenga en cuenta que el orificio de acceso del tornillo de apriete también gira al girar el reductor a otra posición de montaje.

## 10.5.8 Otras características del producto

Característica	Valor
Temperatura máx. admisible del reductor (en la superficie del reductor)	≤ 90 °C
Pintura	Negro RAL 9005
Directiva ATEX 2014/34/UE (opcional)	No adecuado.
Categoría de protección: <sup>1</sup>	
Reducer planetario	IP65
Piñón/Cremallera	IPXX

## 10.5.9 Sentido de giro



Las imágenes corresponden a la posición de montaje EL1.

## 10.6 Diseño

Utilice nuestro software de diseño SERVOsoft para proyectar sus accionamientos. Descargue SERVOsoft gratuitamente tras registrarse en <https://www.stoeber.de/es/servicios/informacion-servosoft/>.

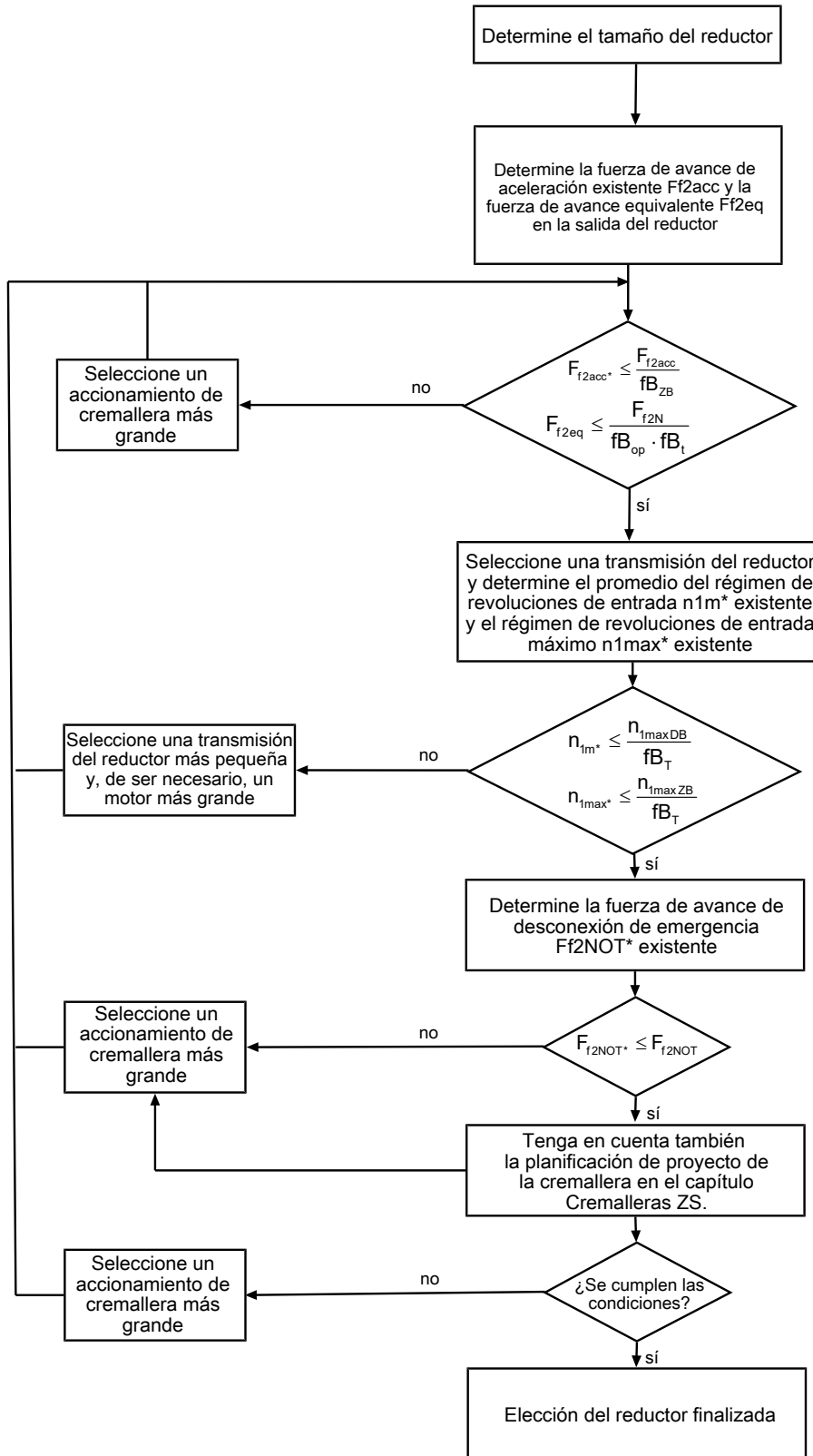
Este es el método más cómodo y seguro para seleccionar el accionamiento, ya que aquí se representa y evalúa la curva completa de par de giro-régimen de revoluciones de la aplicación en la curva característica del motorreductor.

En este capítulo solo se pueden tener en consideración valores límite para puntos de trabajo concretos si la elección del accionamiento se lleva a cabo manualmente.

Los símbolos de fórmula correspondientes a los valores que están realmente presentes en la aplicación están marcados con un asterisco \*.

Los símbolos de las fórmulas se explican en el capítulo ▶ 14.1.

## 10.6.1 Elección del accionamiento

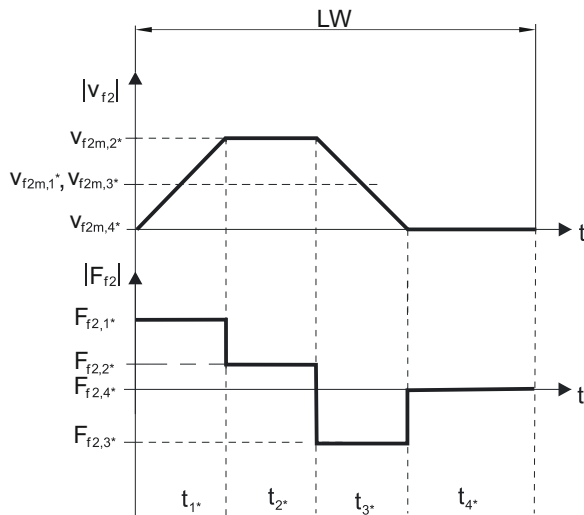


Consulte los valores para  $i$ ,  $n_{1\max DB}$ ,  $n_{1\max ZB}$ ,  $F_{f2acc}$ ,  $F_{f2N}$  y  $F_{f2NOT}$  en las tablas de selección. Las fuerzas dependen de la posición del piñón (E o S). Los regímenes de revoluciones dependen parcialmente de la posición de montaje.

Consulte los valores para  $fB_T$ ,  $fB_{op}$ ,  $fB_t$  y  $fB_{zB}$  en las tablas correspondientes de este capítulo.

### Ejemplo de servicio cíclico

Los siguientes cálculos se refieren a la representación de la potencia en la salida de acuerdo con el siguiente ejemplo:



#### Cálculo de la fuerza de avance de aceleración máxima existente

$$F_{f2acc*} = m \cdot a \cdot F_L$$

#### Cálculo del promedio del régimen de revoluciones de entrada existente

$$n_{fm*} = \frac{v_{f2m*} \cdot i}{d_0 \cdot \pi}$$

$$v_{f2m*} = \frac{|v_{f2m,1*}| \cdot t_{1*} + \dots + |v_{f2m,n*}| \cdot t_{n*}}{t_{1*} + \dots + t_{n*}}$$

Si  $t_{1*} + \dots + t_{3*} \geq 6$  min, determine  $v_{2m*}$  sin la pausa  $t_{4*}$ .

Consulte los valores para la transmisión del reductor i en las tablas de selección.

#### Cálculo de la fuerza de avance de desconexión de emergencia existente

$$F_{f2NOT*} = m \cdot a_{NOT*} + F_L$$

#### Cálculo de la fuerza de avance equivalente existente

$$F_{f2eq*} = \sqrt[3]{\frac{|v_{f2m,1*}| \cdot t_{1*} \cdot |F_{f2,1*}|^3 + \dots + |v_{f2m,n*}| \cdot t_{n*} \cdot |F_{f2,n*}|^3}{|v_{f2m,1*}| \cdot t_{1*} + \dots + |v_{f2m,n*}| \cdot t_{n*}}}$$

#### Factores de servicio

Modo de servicio	$f_{B_{op}}$
Servicio continuo fijo	1,00
Servicio cíclico	1,00
Servicio cíclico con carga reversible	1,00

Tiempo de funcionamiento	$f_B$
Tiempo de funcionamiento diario $\leq 8$ h	1,00
Tiempo de funcionamiento diario $\leq 16$ h	1,15
Tiempo de funcionamiento diario $\leq 24$ h	1,20

Servicio cíclico	$f_{B_{ZB}}$
$\leq 1000$ cambios de carga/hora (LW/h)	1,00
$> 1000$ cambios de carga/hora (LW/h)	1,15

Temperatura		$f_{B_T}$
Refrigeración del motor	Temperatura ambiente	
Motor con ventilación externa	$\leq 20^\circ\text{C}$	0,9
	$\leq 30^\circ\text{C}$	1,0
	$\leq 40^\circ\text{C}$	1,15
Motor con refrigeración por convección	$\leq 20^\circ\text{C}$	1,0
	$\leq 30^\circ\text{C}$	1,1
	$\leq 40^\circ\text{C}$	1,25

**Indicaciones**

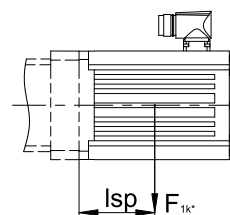
- No se debe exceder la temperatura máxima admisible del reductor (véase el capítulo Otras características del producto), ya que se podrían producir daños.
- En las situaciones de frenado con régimen de revoluciones máximo (p. ej., si se produce una caída de tensión o durante la instalación de la máquina), se deben tener en cuenta las fuerzas de avance admisibles del reductor ( $F_{f2acc}$ ,  $F_{f2NOT}$ ) que se indican en las tablas de selección.

## 10.6.2 Pares de vuelco admisibles en la entrada del reductor

Si va a montar el motor en posición horizontal, compruebe antes del montaje en un reductor STOBER que no se supere el par de vuelco admisible en la entrada del reductor. En este capítulo encontrará información al respecto.

Calcule el par de vuelco existente según sigue:

$$M_{1k*} = F_{1k*} \cdot l_{sp} \leq M_{1k}$$



Modelo	$M_{1k}$ [Nm]
KS402_ME	20
KS403_ME	10
KS502_ME	40
KS503_ME	20
KS702_ME	80
KS703_ME	40

Los valores también son válidos para el adaptador de motor MEL.

## 10.6.3 Retenes radiales para ejes recomendados

Para un tiempo de conexión > 60 % y temperaturas ambiente elevadas se recomiendan retenes radiales para ejes de FKM en la salida.

Propiedades:

- Excelente resistencia a la temperatura
- Gran estabilidad química
- Muy buena resistencia al envejecimiento
- Excelente resistencia en aceites y grasas
- Uso en las industrias alimentaria, farmacéutica y de bebidas

### Seguridad contra fugas

Nuestros reductores están equipados con retenes radiales para ejes de alta calidad y verificados en cuanto a estanqueidad. Sin embargo, resulta imposible excluir por completo la posibilidad de que se produzca alguna fuga durante toda la vida útil de los reductores. Si utiliza los reductores con materiales no compatibles con los lubricantes, se deberán tomar medidas para impedir que puedan entrar en contacto directamente con el lubricante del reductor en caso de producirse una fuga.

## 10.6.4 Depósito de compensación del aceite

En la posición de montaje EL5, los reductores cuentan con un mayor nivel de llenado. El depósito de compensación del aceite impide que salga aceite hacia el reductor.

### Indicaciones

- ¡Los reductores KS de 3 etapas en la posición de montaje EL5 únicamente se pueden utilizar en combinación con un depósito de compensación del aceite!
- ¡Si el conector y el depósito de compensación del aceite se encuentran en el mismo lado, no se puede utilizar el depósito de compensación del aceite!
- Indique el lado de montaje (lado 1 o 2 del reductor) cuando realice el pedido.
- Tenga en cuenta que no con todos los adaptadores de motor se puede montar un depósito de compensación del aceite (colisión entre el adaptador de motor y el depósito de compensación del aceite).

## 10.7 Otros documentos

Encontrará más documentos relacionados con el producto en  
<http://www.stoeber.de/es/downloads/>

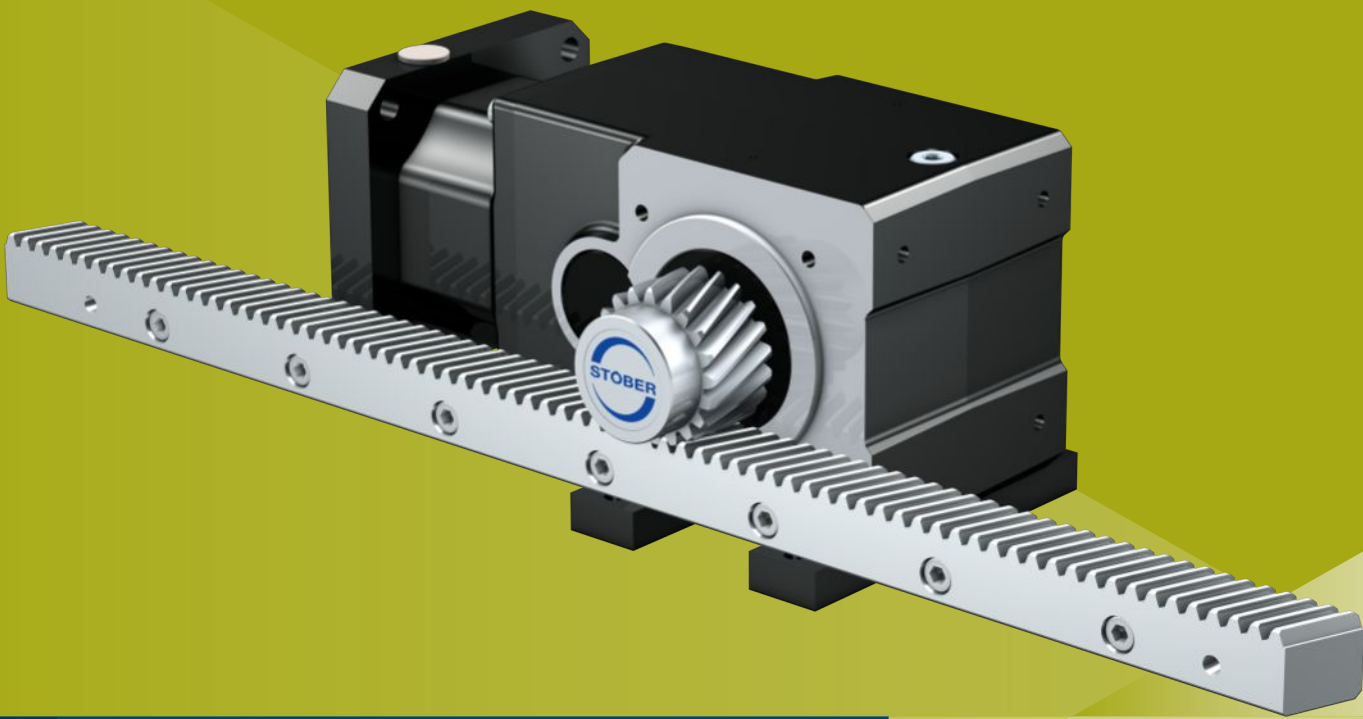
Introduzca el n.º de id. de la documentación en el campo Termine di ricercaérmino de búsqueda.

Documentación	N.º de id.
Instrucciones de operación reductores, motorreductores KS	443362_es
Instrucciones de operación cremalleras	443392_es

# 11 Accionamientos de cremallera ZV р

## Índice

11.1 Vista general .....	164
11.2 Tablas de selección.....	165
11.3 Esquemas de dimensiones .....	166
11.3.1 Posición de piñón E .....	167
11.3.2 Posición de piñón S .....	168
11.4 Denominación de tipo.....	169
11.4.1 Placa de características .....	170
11.5 Descripción del producto.....	170
11.5.1 Opciones de entrada .....	170
11.5.2 Adaptador de motor cuadrado con acoplamiento enchufable sin holgura (MQ) .....	171
11.5.3 Cremallera .....	171
11.5.4 Condiciones de montaje.....	171
11.5.5 Lados del reductor.....	171
11.5.6 Lubricantes.....	171
11.5.7 Posición del acceso al tornillo de apriete .....	172
11.5.8 Otras características del producto .....	172
11.5.9 Sentido de giro .....	172
11.6 Diseño .....	172
11.6.1 Elección del accionamiento.....	173
11.6.2 Pares de vuelco admisibles en la entrada del reductor.....	175
11.7 Otros documentos .....	175



11

## Accionamientos de cremallera

**ZVKL**

### 11.1 Vista general

Reductores ortogonales compactos con piñón insertable

#### Características

Densidad de potencia	★★★★★
Juego lineal	★★★★★
Categoría de precio	€
Suavidad de funcionamiento	★★★★★
Rigidez lineal	★★★★★
Momento de inercia	★★★★★
Solución de accionamiento lista para el montaje	✓
Piñón, calidad del dentado 6 (DIN 3962)	✓
Dentado helicoidal	✓
Templados y pulidos	✓

Leyenda ★★★★★ bueno | ★★★★★ excepcional

€ Economy | €€€€ Premium

#### Características técnicas

$m_n$	2 mm
$z$	16 – 20
$F_{f2acc}$	1,3 – 2,7 kN
$V_{f2maxZB}$	0,33 – 3,3 m/s
$\Delta s$	99 – 123 µm

## 11.2 Tablas de selección

Los datos técnicos especificados en las tablas de selección son válidos para:

- Montaje sin tensiones
- Lubricación permanente con los lubricantes recomendados en el capítulo Cremalleras [▶ 13.5.1]
- Piñón templado, con dentado helicoidal (ascendente a la izquierda  $19^{\circ} 31' 42''$ ), calidad del dentado 6
- Alturas de instalación hasta 1000 m sobre el nivel del mar
- Temperaturas ambiente de 0 °C a 40 °C
- Sin tener en cuenta la potencia límite térmica
- $C_{lin}$ : posición del piñón S

El resto de características técnicas se encuentran en <https://configurator.stoeber.de/en-US/>.

Los símbolos de las fórmulas se explican en el capítulo [▶ 14.1].

i	Modelo	$n_{1maxDB}$ [min $^{-1}$ ]	$n_{1maxZB}$ [min $^{-1}$ ]	$d_{MW}$ [mm]	$v_{f2maxZB}$ [m/s]	$\Delta s$	$C_{lin}$ [μm]	$m_n$ [N/μm]	z	$d_0$ [mm]	$F_{f2N,S}$ [kN]	$F_{f2N,E}$ [kN]	$F_{f2accS}$ [kN]	$F_{f2accE}$ [kN]	$F_{f2NOT,S}$ [kN]	$F_{f2NOT,E}$ [kN]	$M_{2accS}$ [Nm]	$M_{2accE}$ [Nm]
<b>ZV2KL1 (<math>F_{v2acc,max} = 1,5</math> kN)</b>																		
4,000	ZV216S_KL102_0040 MQ	3500	6000	$\leq 16$	2,67	123	4,6	2	16	34,0	0,9	0,9	1,3	1,3	1,7	1,7	22	22
8,000	ZV216S_KL102_0080 MQ	3500	6000	$\leq 16$	1,33	99	5,4	2	16	34,0	1,3	1,3	1,5	1,5	3,1	3,0	26	26
16,00	ZV216S_KL102_0160 MQ	4000	6000	$\leq 16$	0,67	99	5,5	2	16	34,0	1,5	1,5	1,5	1,5	3,1	3,0	26	26
32,00	ZV216S_KL102_0320 MQ	4000	6000	$\leq 16$	0,33	99	5,4	2	16	34,0	1,5	1,5	1,5	1,5	3,1	3,0	26	26
<b>ZV2KL2 (<math>F_{v2acc,max} = 2,7</math> kN)</b>																		
4,000	ZV220S_KL202_0040 MQ	3500	6000	$\leq 19$	3,33	123	7,5	2	20	42,4	1,5	1,4	2,3	2,3	3,9	3,9	50	50
8,000	ZV220S_KL202_0080 MQ	3500	6000	$\leq 19$	1,67	99	10	2	20	42,4	1,9	1,8	2,7	2,5	5,4	5,0	57	53
16,00	ZV220S_KL202_0160 MQ	4000	6000	$\leq 19$	0,83	99	11	2	20	42,4	2,4	2,2	2,7	2,5	5,4	5,0	57	53
32,00	ZV220S_KL202_0320 MQ	4000	6000	$\leq 19$	0,42	99	9,9	2	20	42,4	2,4	2,4	2,7	2,5	5,4	5,0	57	53

## 11.3 Esquemas de dimensiones

Este capítulo contiene la información sobre las dimensiones de los accionamientos de cremallera con adaptadores de motor.

La medida  $az$  en las tablas de dimensiones es válida para cremalleras STOBER. En general se aplica lo siguiente:  $az = \frac{1}{2} d_0 + h_0 + x * m_n$

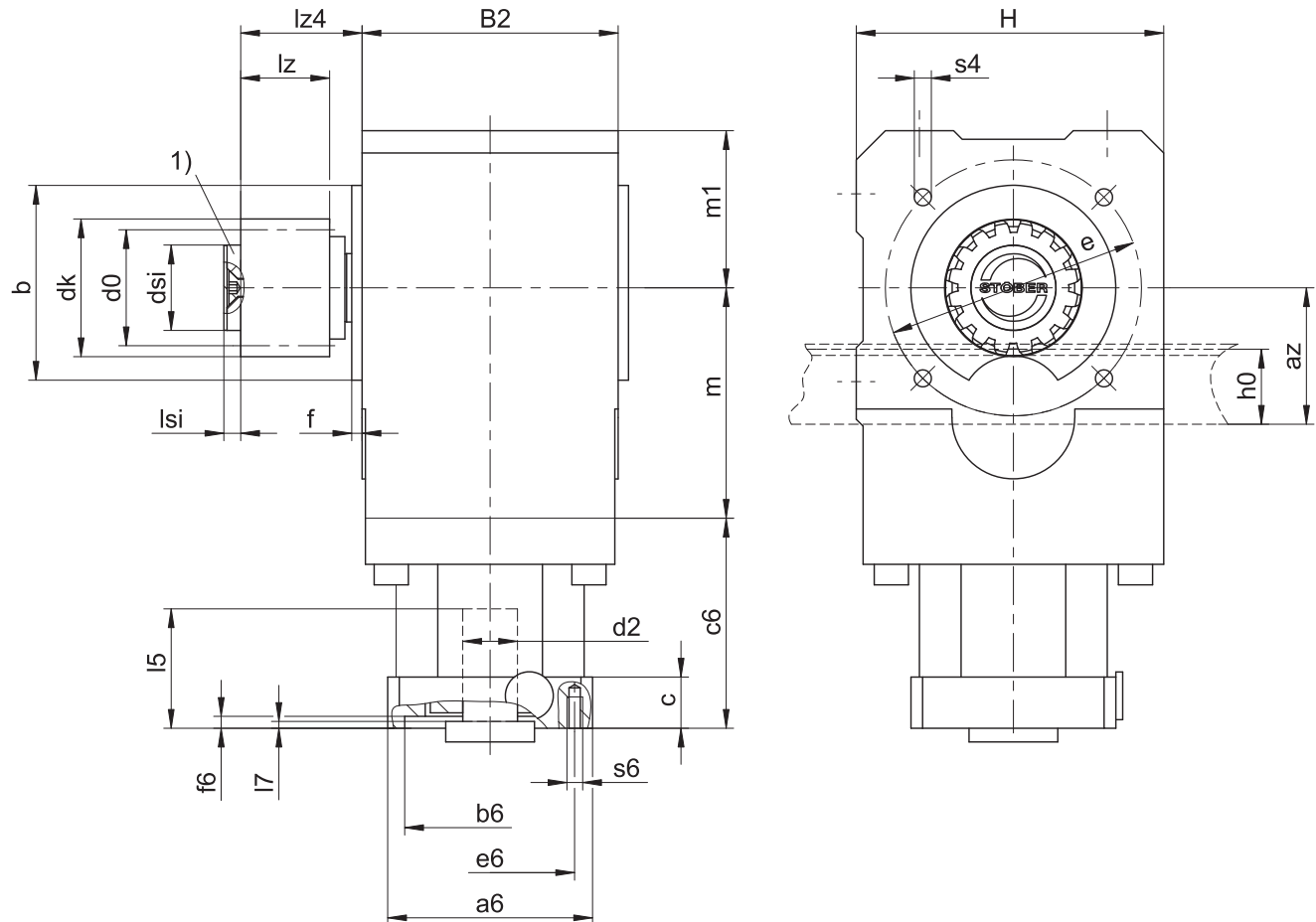
Piñón del accionamiento de cremallera con dentado helicoidal (ascendente a la izquierda  $19^\circ 31' 42''$ ). La calidad del dentado del piñón es 6.

Las tolerancias de fundición o bien la suma de las tolerancias individuales pueden provocar que las medidas sobrepasen las especificaciones de ISO 2768-mK.

Nos reservamos el derecho de realizar cambios en las dimensiones en pro del desarrollo tecnológico.

Los modelos 3D de nuestros accionamientos estándar se pueden descargar en <https://configurator.stober.de/en-US/>.

### 11.3.1 Posición de piñón E



1) Seguro axial (opcional)

#### Medidas salida

Modelo	$m_n$	$a_z$	$\emptyset b$	$B_2$	$\emptyset d_0$	$\emptyset d_{dk}$	$\emptyset d_{si}$	$\emptyset e$	$f$	$h_0$	$H$	$l_z$	$l_{z4}$	$l_{si}$	$m$	$m_1$	$s_4$	$x$
ZV216SEKL1_	2	39,98	$60_{\pm 0}$	75	33,95	39,81	25	75	3	22	90	26	35,5	5	67,5	46	M6	0,5
ZV220SEKL2_	2	44,02	$75_{\pm 0}$	92	42,44	47,90	30	90	3	22	108	26	44,5	7	88,5	55	M6	0,4

#### Ejemplos de medidas de conexión del motor

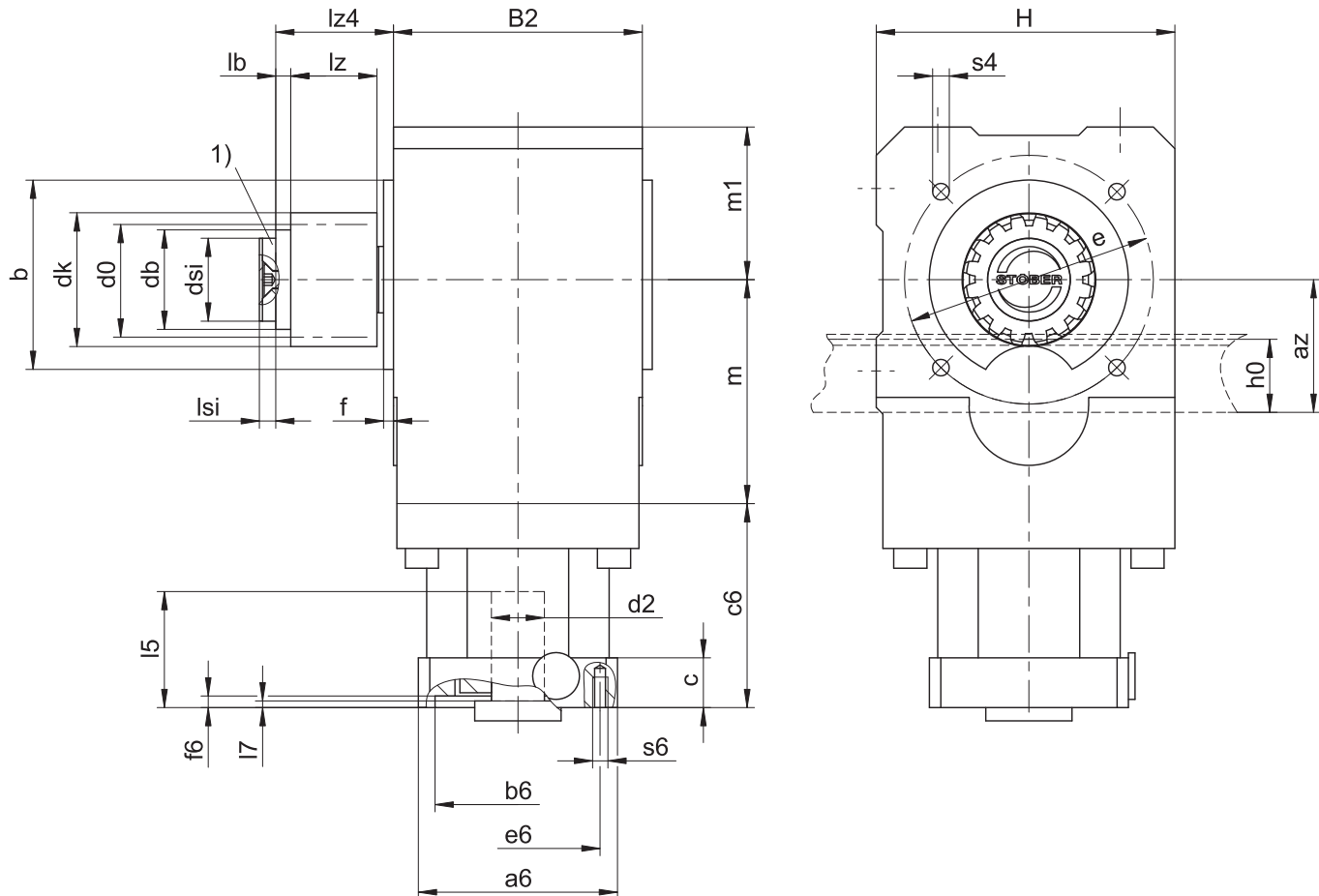
Modelo	$\emptyset b_6$	$\emptyset e_6$	$\emptyset d_{2max}$	$l_5$	$\square a_6$	$c$	$c_6$	$f_6$	$l_7$	$s_6$
ZV2_KL102_MQ	$40^{+0}_{-0.5}$	63	16	30	55	15	61,5	3,5	3	M5
ZV2_KL202_MQ	$60^{+0}_{-0.5}$	75	19	40	75	18	69,5	3,5	3	M5

La tabla de arriba contiene ejemplos de medidas de la conexión del motor para el adaptador de motor MQ.

Tenga en cuenta que las medidas  $c_6$  y  $l_5$  se alargan correspondientemente cuando se alarga la medida  $c$ .

Encontrará las medidas de conexión del motor para los adaptadores de motor MQ en el STOBER Configurator en <https://configurator.stoeber.de/en-US/>. Allí podrá descargar directamente un modelo 3D de su accionamiento.

### 11.3.2 Posición de piñón S



1) Seguro axial (opcional)

#### Medidas salida

Modelo	mn	az	$\varnothing b$	B2	$\varnothing d_0$	$\varnothing db$	$\varnothing dk$	$\varnothing ds_1$	$\varnothing e$	f	h0	H	lb	lz	l4	lsi	m	m1	s4	x
ZV216SSKL1_	2	39,98	60 <sub>6</sub>	75	33,95	30	39,81	25	75	3	22	90	4,5	26	35,5	5	67,5	46	M6	0,5
ZV220SSKL2_	2	44,02	75 <sub>6</sub>	92	42,44	38	47,90	30	90	3	22	108	12,5	26	44,5	7	88,5	55	M6	0,4

#### Ejemplos de medidas de conexión del motor

Modelo	$\varnothing b_6$	$\varnothing e_6$	$\varnothing d_{2max}$	l5	$\square a_6$	c	c6	f6	l7	s6
ZV2_KL102_MQ	40 <sup>17</sup>	63	16	30	55	15	61,5	3,5	3	M5
ZV2_KL202_MQ	60 <sup>17</sup>	75	19	40	75	18	69,5	3,5	3	M5

La tabla de arriba contiene ejemplos de medidas de la conexión del motor para el adaptador de motor MQ.

Tenga en cuenta que las medidas c6 y l5 se alargan correspondientemente cuando se alarga la medida c.

Encontrará las medidas de conexión del motor para los adaptadores de motor MQ en el STOBER Configurator en <https://configurator.stoeber.de/en-US/>. Allí podrá descargar directamente un modelo 3D de su accionamiento.

## 11.4 Denominación de tipo

Este capítulo contiene información sobre la denominación de tipo y las opciones pertinentes.

Los datos de pedido que no forman parte de la denominación de tipo se incluyen al final del capítulo.

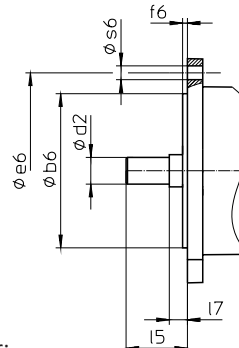
### Código de ejemplo

Z	V	2	20	S	S	KL	2	0	2	P	G	0080	MQ
---	---	---	----	---	---	----	---	---	---	---	---	------	----

### Explicación

Código	Denominación	Versión
Z	Tipo	Accionamiento de cremallera
V	Versión	Piñón insertable
2	Módulo estándar	$m_n = 2 \text{ mm}$ (ejemplo)
20	Número de dientes	$z = 20$ (ejemplo)
S	Dentado	con dentado helicoidal (ascendente a la izquierda $19^\circ 31' 42''$ )
E	Posición del piñón	Extremo del eje
S		Reborde del eje
KL	Tipo	Reductor cónico
2	Tamaño	2 (ejemplo)
0	Generación	Generación 0
2	Etapas	2 etapas
P	Eje	Eje macizo con chaveta
G	Carcasa	Círculo de agujeros roscados
0080	Número característico de reducción ( $i_x$ 10)	$i = 8$ (ejemplo)
MQ	Adaptador de motor	Adaptador de motor cuadrado con acoplamiento en-chufable sin holgura

Para completar la denominación de tipo, indique también la siguiente información al hacer el pedido:



- Tipo de motor o dimensiones del motor:

Para elegir la conexión de motor adecuada, seleccione su motor o las dimensiones de la conexión del motor en el STOBER Configurator en  
<https://configurator.stoeber.de/en-US/>.

- Montaje del eje macizo: lado 3 o 4 del reductor
- Círculo de agujeros roscados: lado 3 o 4 del reductor
- Para la posición del acceso al tornillo de apriete, véase el capítulo [▶ 11.5.7]
- Seguro axial (opcional), véase el capítulo [▶ 11.3]

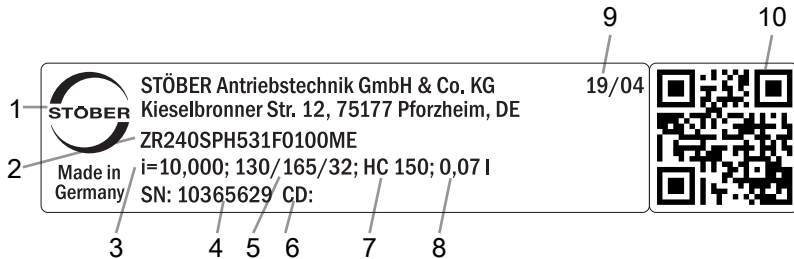
Los lados del reductor se explican en el capítulo [▶ 11.5.5]

Este catálogo de productos incluye toda la información relacionada con los accionamientos de cremallera con adaptador de motor.

Encontrará todas las opciones de entrada disponibles bajo petición en el capítulo [▶ 11.5.1].

## 11.4.1 Placa de características

En la siguiente figura se explica a modo de ejemplo la placa de características de un reductor.



Código	Denominación
1	Denominación del fabricante
2	Denominación de tipo
3	Transmisión del reductor
4	Número de serie del reductor
5	Medida del adaptador de motor (diámetro del borde de ajuste/círculo de agujeros/eje del motor)
6	Datos específicos del cliente
7	Especificación del lubricante
8	Cantidad de llenado de lubricante
9	Fecha de fabricación (año/semana)
10	Código QR (enlace a la información de producto)

### 11.4.1.1 Documentos aplicables

Puede ver o descargar los documentos aplicables para el producto introduciendo el número de serie que aparece en la placa de características del producto en la siguiente dirección de Internet:

<https://id.stober.com>

Alternativamente, con un dispositivo móvil adecuado puede escanear el código QR de la placa de características del producto y de este modo acceder a los documentos aplicables.

## 11.5 Descripción del producto

### 11.5.1 Opciones de entrada

Este capítulo incluye todas las opciones de entrada disponibles:

Adaptador de motor MQ      Servomotor síncrono EZ      Motor Lean LM



N.º de id. del catálogo de productos 443137\_es

N.º de id. del catálogo de productos 443286\_en

Bajo petición

Puede encontrar los catálogos de productos correspondientes en <http://www.stoeber.de/es/downloads/>

Introduzca el n.º de id. del catálogo de productos en el campo Termine di ricercaérmino de búsqueda.

## 11.5.2 Adaptador de motor cuadrado con acoplamiento enchufable sin holgura (MQ)

Este capítulo contiene la descripción del acoplamiento enchufable sin holgura (acoplamiento de garras).

**Propiedades:**

- Montaje sencillo y rápido del motor
- Con compensación longitudinal térmica integrada, compensa las dilataciones lineales del eje del motor
- Equilibrado para un funcionamiento suave y sin vibraciones, incluso con un régimen de revoluciones elevado
- Amplia selección de diámetros y longitudes del eje del motor
- Sin fallos gracias al centrado exacto del motor



Fig. 1: Acoplamiento enchufable sin holgura

## 11.5.3 Cremallera

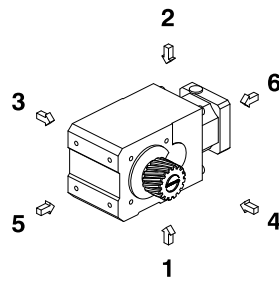
La cremallera empleada debe tener dentado ascendente a la derecha ( $19^{\circ} 31' 42''$ ) y no debe superarse la capacidad de carga.

Cuando utilice una cremallera de STOBER, tenga en cuenta también la planificación de proyecto en el capítulo [▶ 13.6].

## 11.5.4 Condiciones de montaje

Los pares de giro y las fuerzas que se indican solo son válidos si se utilizan tornillos de la clase de resistencia 10.9 para fijar el reductor en el lado de la máquina. Adicionalmente, la carcasa del reductor debe adaptarse en el borde de ajuste. La adaptación en el lado de la máquina debe ser H7.

## 11.5.5 Lados del reductor



Los números indican los lados del reductor.

## 11.5.6 Lubricantes

STOBER carga los reductores con la cantidad y el tipo de lubricante que se indican en la placa de características.

Lubricantes para el uso en la industria alimentaria disponibles bajo petición.

### 11.5.6.1 Lubricación del accionamiento de cremallera

Asegure una lubricación permanente con los lubricantes recomendados en el capítulo [▶ 13.5.1].

## 11.5.7 Posición del acceso al tornillo de apriete



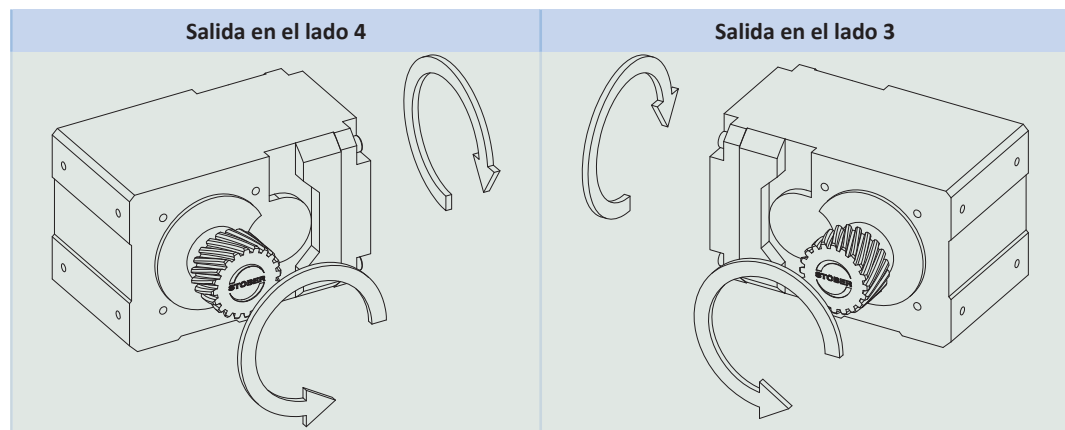
Indique las diferencias correspondientes a su reductor cuando realice el pedido.

Tenga en cuenta que el orificio de acceso del tornillo de apriete también gira al girar el reductor a otra posición de montaje.

## 11.5.8 Otras características del producto

Característica	Valor
Temperatura máx. admisible del reductor (en la superficie del reductor)	≤ 80 °C
Pintura	Negro RAL 9005
Directiva ATEX 2014/34/UE (opcional)	No adecuado.
Categoría de protección: <sup>1</sup>	
Reducor planetario	IP65
Piñón/Cremallera	IPXX

## 11.5.9 Sentido de giro



Las imágenes corresponden a la posición de montaje EL1.

## 11.6 Diseño

Utilice nuestro software de diseño SERVOsoft para proyectar sus accionamientos. Descargue SERVOsoft gratuitamente tras registrarse en <https://www.stoeber.de/es/servicios/informacion-servosoft/>.

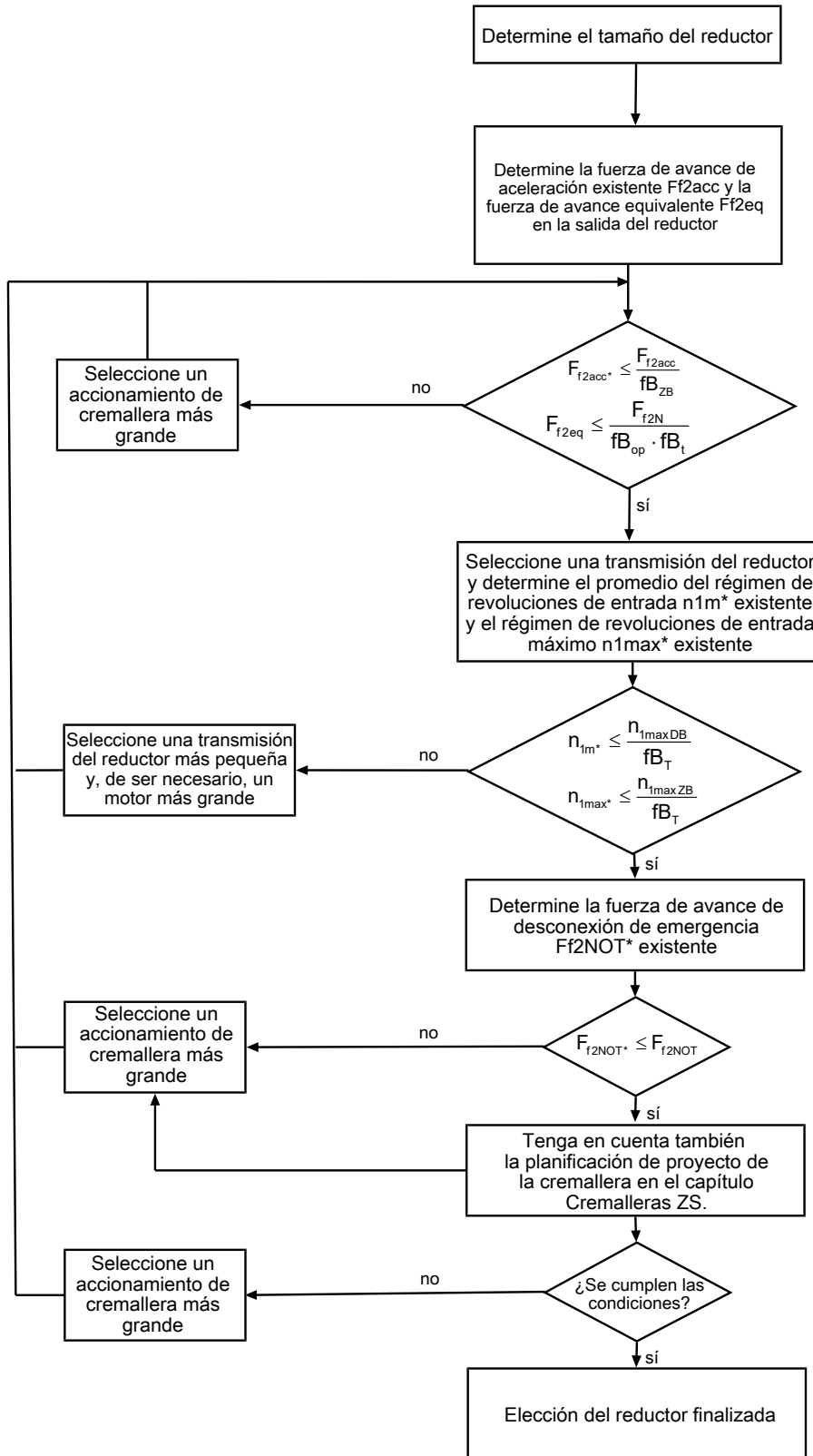
Este es el método más cómodo y seguro para seleccionar el accionamiento, ya que aquí se representa y evalúa la curva completa de par de giro-régimen de revoluciones de la aplicación en la curva característica del motorreductor.

En este capítulo solo se pueden tener en consideración valores límite para puntos de trabajo concretos si la elección del accionamiento se lleva a cabo manualmente.

Los símbolos de fórmula correspondientes a los valores que están realmente presentes en la aplicación están marcados con un asterisco \*.

Los símbolos de las fórmulas se explican en el capítulo [▶ 14.1].

## 11.6.1 Elección del accionamiento

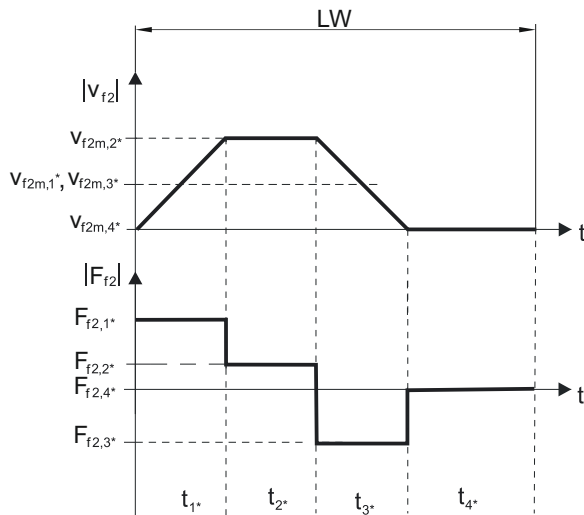


Consulte los valores para  $i$ ,  $n_{1\max DB}$ ,  $n_{1\max ZB}$ ,  $F_{f2acc}$ ,  $F_{f2N}$  y  $F_{f2NOT}$  en las tablas de selección. Las fuerzas dependen de la posición del piñón (E o S). Los regímenes de revoluciones dependen parcialmente de la posición de montaje.

Consulte los valores para  $fB_T$ ,  $fB_{op}$ ,  $fB_t$  y  $fB_{zB}$  en las tablas correspondientes de este capítulo.

### Ejemplo de servicio cíclico

Los siguientes cálculos se refieren a la representación de la potencia en la salida de acuerdo con el siguiente ejemplo:



#### Cálculo de la fuerza de avance de aceleración máxima existente

$$F_{f2acc*} = m \cdot a \cdot F_L$$

#### Cálculo del promedio del régimen de revoluciones de entrada existente

$$n_{fm*} = \frac{v_{f2m*} \cdot i}{d_0 \cdot \pi}$$

$$v_{f2m*} = \frac{|v_{f2m,1*}| \cdot t_{1*} + \dots + |v_{f2m,n*}| \cdot t_{n*}}{t_{1*} + \dots + t_{n*}}$$

Si  $t_{1*} + \dots + t_{3*} \geq 6$  min, determine  $v_{2m*}$  sin la pausa  $t_{4*}$ .

Consulte los valores para la transmisión del reductor i en las tablas de selección.

#### Cálculo de la fuerza de avance de desconexión de emergencia existente

$$F_{f2NOT*} = m \cdot a_{NOT*} + F_L$$

#### Cálculo de la fuerza de avance equivalente existente

$$F_{f2eq*} = \sqrt[3]{\frac{|v_{f2m,1*}| \cdot t_{1*} \cdot |F_{f2,1*}|^3 + \dots + |v_{f2m,n*}| \cdot t_{n*} \cdot |F_{f2,n*}|^3}{|v_{f2m,1*}| \cdot t_{1*} + \dots + |v_{f2m,n*}| \cdot t_{n*}}}$$

#### Factores de servicio

Modo de servicio	$f_{B_{op}}$
Servicio continuo fijo	1,00
Servicio cíclico	1,25
Servicio cíclico con carga reversible	1,40

Tiempo de funcionamiento	$f_B$
Tiempo de funcionamiento diario $\leq 8$ h	1,00
Tiempo de funcionamiento diario $\leq 16$ h	1,15
Tiempo de funcionamiento diario $\leq 24$ h	1,20

Servicio cíclico	$f_{B_{ZB}}$
$\leq 1000$ cambios de carga/hora (LW/h)	1,00
$> 1000$ cambios de carga/hora (LW/h)	1,15

Temperatura		$f_{B_T}$
Refrigeración del motor	Temperatura ambiente	
Motor con ventilación externa	$\leq 20^\circ\text{C}$	0,9
	$\leq 30^\circ\text{C}$	1,0
	$\leq 40^\circ\text{C}$	1,15
Motor con refrigeración por convección	$\leq 20^\circ\text{C}$	1,0
	$\leq 30^\circ\text{C}$	1,1
	$\leq 40^\circ\text{C}$	1,25

**Indicaciones**

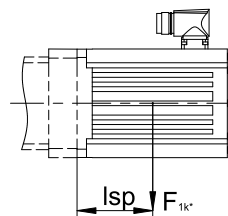
- No se debe exceder la temperatura máxima admisible del reductor (véase el capítulo Otras características del producto), ya que se podrían producir daños.
- En las situaciones de frenado con régimen de revoluciones máximo (p. ej., si se produce una caída de tensión o durante la instalación de la máquina), se deben tener en cuenta las fuerzas de avance admisibles del reductor ( $F_{f2acc}$ ,  $F_{f2NOT}$ ) que se indican en las tablas de selección.

**11.6.2 Pares de vuelco admisibles en la entrada del reductor**

Si va a montar el motor en posición horizontal, compruebe antes del montaje en un reductor STOBER que no se supere el par de vuelco admisible en la entrada del reductor. En este capítulo encontrará información al respecto.

Calcule el par de vuelco existente según sigue:

$$M_{1k*} = F_{1k*} \cdot l_{sp} \leq M_{1k}$$



Modelo	$M_{1k}$ [Nm]
KL1_MQ	15
KL2_MQ	20

**11.7 Otros documentos**

Encontrará más documentos relacionados con el producto en

<http://www.stoeber.de/es/downloads/>

Introduzca el n.º de id. de la documentación en el campo Termine di ricercaérmino de búsqueda.

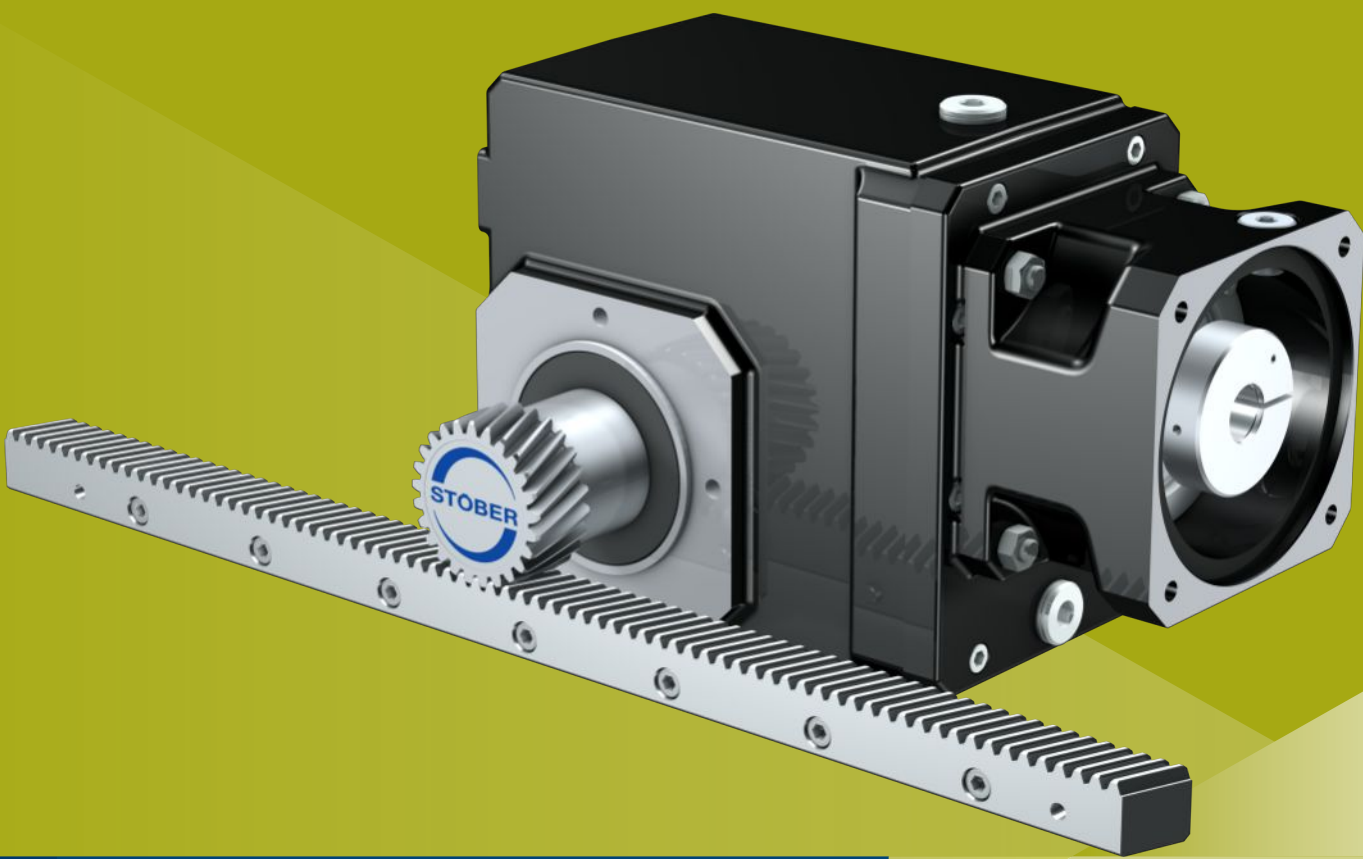
Documentación	N.º de id.
Instrucciones de operación reductores, motorreductores KL	443363_es
Instrucciones de operación cremalleras	443392_es



## **12 Accionamientos de cremallera ZVK**

### **Índice**

12.1 Vista general .....	178
12.2 Tablas de selección.....	179
12.3 Esquemas de dimensiones .....	189
12.3.1 Posición de piñón E .....	190
12.3.2 Posición de piñón S .....	192
12.4 Denominación de tipo.....	194
12.4.1 Placa de características .....	195
12.5 Descripción del producto.....	196
12.5.1 Opciones de entrada .....	196
12.5.2 Adaptador de motor con acoplamiento EasyAdapt (ME) .....	196
12.5.3 Adaptador de motor cuadrado con acoplamiento enchufable sin holgura (MQ).....	197
12.5.4 Cremallera .....	197
12.5.5 Condiciones de montaje.....	197
12.5.6 Posiciones de montaje .....	198
12.5.7 Lubricantes.....	198
12.5.8 Posición del acceso al tornillo de apriete .....	199
12.5.9 Otras características del producto .....	199
12.5.10 Sentido de giro .....	199
12.6 Diseño .....	200
12.6.1 Elección del accionamiento.....	201
12.6.2 Pares de vuelco admisibles en la entrada del reductor.....	203
12.7 Otros documentos .....	203



12

## Accionamientos de cremallera

ZVK

### 12.1 Vista general

Reductores ortogonales de alta resistencia con piñón insertable

#### Características

Densidad de potencia	★★★★★
Juego lineal	★★★★★
Categoría de precio	€
Suavidad de funcionamiento	★★★★★
Rigidez lineal	★★★★★
Momento de inercia	★★★★★
Solución de accionamiento lista para el montaje	✓
Piñón, calidad del dentado 6 (DIN 3962)	✓
Dentado helicoidal	✓
Templados y pulidos	✓

Leyenda ★★★★★ bueno | ★★★★★ excepcional

€ Economy | €\$\$\$\$ Premium

#### Características técnicas

$m_n$	2 – 4 mm
$z$	18 – 25
$F_{f2acc}$	2,7 – 15 kN
$V_{f2maxZB}$	0,06 – 3,8 m/s
$\Delta s$	12 – 111 µm

## 12.2 Tablas de selección

Los datos técnicos especificados en las tablas de selección son válidos para:

- Montaje sin tensiones
- Lubricación permanente con los lubricantes recomendados en el capítulo Cremalleras [▶ 13.5.1]
- Piñón templado, con dentado helicoidal (ascendente a la izquierda  $19^{\circ} 31' 42''$ ), calidad del dentado 6
- Alturas de instalación hasta 1000 m sobre el nivel del mar
- Temperaturas ambiente de 0 °C a 40 °C
- Sin tener en cuenta la potencia límite térmica
- $C_{lin}$ : posición del piñón S

El resto de características técnicas se encuentran en <https://configurator.stoeber.de/en-US/>.

Los símbolos de las fórmulas se explican en el capítulo [▶ 14.1].

i	Modelo	$n_{1maxDB}$	$n_{1maxZV}$	$d_{MW}$	$v_{f2maxZB}$	$\Delta s$	$\Delta s_{redl}$	$\Delta s_{redl}$	$C_{lin}$	$m_n$	$z$	$d_0$	$F_{f2N,S}$	$F_{f2N,E}$	$F_{f2accS}$	$F_{f2accE}$	$F_{f2NOT,S}$	$F_{f2NOT,E}$	$M_{2accS}$	$M_{2accE}$	
		EL1,2 [min <sup>-1</sup> ]	EL3,4,5,6 [min <sup>-1</sup> ]	[mm]	[m/s]	[μm]	[μm]	[μm]	[N/ μm]	[mm]		[kN]	[kN]	[kN]	[kN]	[kN]	[kN]	[Nm]	[Nm]		
<b>ZV2K1 (<math>F_{v2acc,max} = 4,9</math> kN)</b>																					
4,000	ZV220S_K102_0040 ME10	3300	2800	5000	$\leq 19$	2,78	74	37	—	17	2	20	42,4	3,1	3,1	4,4	3,2	5,5	5,5	93	68
4,000	ZV220S_K102_0040 ME20	3300	2800	5000	$\leq 24$	2,78	74	37	—	17	2	20	42,4	3,1	3,1	4,4	3,2	5,5	5,5	93	68
5,568	ZV220S_K102_0056 ME10	3300	2800	5000	$\leq 19$	2,00	74	37	—	17	2	20	42,4	3,4	3,2	4,9	3,2	7,6	6,4	105	68
5,568	ZV220S_K102_0056 ME20	3300	2800	5000	$\leq 24$	2,00	74	37	—	17	2	20	42,4	3,4	3,2	4,9	3,2	7,6	6,4	105	68
6,000	ZV220S_K102_0060 ME10	3300	2800	5000	$\leq 19$	1,85	74	37	—	17	2	20	42,4	3,5	3,2	4,9	3,2	8,2	6,4	105	68
6,000	ZV220S_K102_0060 ME20	3300	2800	5000	$\leq 24$	1,85	74	37	—	17	2	20	42,4	3,5	3,2	4,9	3,2	8,2	6,4	105	68
6,644	ZV220S_K102_0066 ME10	3600	3300	5500	$\leq 19$	1,84	74	37	—	17	2	20	42,4	3,6	3,2	4,9	3,2	9,1	6,4	105	68
6,644	ZV220S_K102_0066 ME20	3600	3300	5500	$\leq 24$	1,84	74	37	—	17	2	20	42,4	3,6	3,2	4,9	3,2	9,1	6,4	105	68
8,309	ZV220S_K102_0083 ME10	3600	3300	5500	$\leq 19$	1,47	74	37	—	17	2	20	42,4	3,9	3,2	4,9	3,2	9,9	6,4	105	68
8,309	ZV220S_K102_0083 ME20	3600	3300	5500	$\leq 24$	1,47	74	37	—	17	2	20	42,4	3,9	3,2	4,9	3,2	9,9	6,4	105	68
9,249	ZV220S_K102_0092 ME10	3600	3300	5500	$\leq 19$	1,32	74	37	—	17	2	20	42,4	4,1	3,2	4,9	3,2	9,9	6,4	105	68
9,249	ZV220S_K102_0092 ME20	3600	3300	5500	$\leq 24$	1,32	74	37	—	17	2	20	42,4	4,1	3,2	4,9	3,2	9,9	6,4	105	68
10,14	ZV220S_K102_0100 ME10	4000	3800	6000	$\leq 19$	1,32	74	37	—	17	2	20	42,4	4,2	3,2	4,9	3,2	9,9	6,4	105	68
10,14	ZV220S_K102_0100 ME20	3700	3700	6000	$\leq 24$	1,32	74	37	—	17	2	20	42,4	4,2	3,2	4,9	3,2	9,9	6,4	105	68
11,57	ZV220S_K102_0115 ME10	3600	3300	5500	$\leq 19$	1,06	74	37	—	17	2	20	42,4	4,4	3,2	4,9	3,2	9,9	6,4	105	68
11,57	ZV220S_K102_0115 ME20	3600	3300	5500	$\leq 24$	1,06	74	37	—	17	2	20	42,4	4,4	3,2	4,9	3,2	9,9	6,4	105	68
12,62	ZV220S_K102_0125 ME10	4000	3800	6000	$\leq 19$	1,06	74	37	—	17	2	20	42,4	4,5	3,2	4,9	3,2	9,9	6,4	105	68
12,62	ZV220S_K102_0125 ME20	3700	3700	6000	$\leq 24$	1,06	74	37	—	17	2	20	42,4	4,5	3,2	4,9	3,2	9,9	6,4	105	68
14,11	ZV220S_K102_0140 ME10	4000	3800	6000	$\leq 19$	0,95	74	37	—	17	2	20	42,4	4,7	3,2	4,9	3,2	9,9	6,4	105	68
14,11	ZV220S_K102_0140 ME20	3700	3700	6000	$\leq 24$	0,95	74	37	—	17	2	20	42,4	4,7	3,2	4,9	3,2	9,9	6,4	105	68
16,71	ZV220S_K102_0165 ME10	4000	4000	7000	$\leq 19$	0,93	74	37	—	17	2	20	42,4	4,9	3,2	4,9	3,2	9,9	6,4	105	68
16,71	ZV220S_K102_0165 ME20	3700	3700	6000	$\leq 24$	0,80	74	37	—	17	2	20	42,4	4,9	3,2	4,9	3,2	9,9	6,4	105	68
17,56	ZV220S_K102_0175 ME10	4000	3800	6000	$\leq 19$	0,76	74	37	—	17	2	20	42,4	4,9	3,2	4,9	3,2	9,9	6,4	105	68
17,56	ZV220S_K102_0175 ME20	3700	3700	6000	$\leq 24$	0,76	74	37	—	17	2	20	42,4	4,9	3,2	4,9	3,2	9,9	6,4	105	68
20,15	ZV220S_K102_0200 ME10	4000	4000	7000	$\leq 19$	0,77	74	37	—	17	2	20	42,4	4,9	3,2	4,9	3,2	9,9	6,4	105	68
20,15	ZV220S_K102_0200 ME20	3700	3700	6000	$\leq 24$	0,66	74	37	—	17	2	20	42,4	4,9	3,2	4,9	3,2	9,9	6,4	105	68
23,27	ZV220S_K102_0230 ME10	4000	4000	7000	$\leq 19$	0,67	74	37	—	17	2	20	42,4	4,9	3,2	4,9	3,2	9,9	6,4	105	68
23,27	ZV220S_K102_0230 ME20	3700	3700	6000	$\leq 24$	0,57	74	37	—	17	2	20	42,4	4,9	3,2	4,9	3,2	9,9	6,4	105	68
25,22	ZV220S_K102_0250 ME10	4000	4000	7000	$\leq 19$	0,62	74	37	—	17	2	20	42,4	4,5	3,2	4,9	3,2	9,1	6,4	105	68
25,22	ZV220S_K102_0250 ME20	3700	3700	6000	$\leq 24$	0,53	74	37	—	17	2	20	42,4	4,5	3,2	4,9	3,2	9,1	6,4	105	68
28,05	ZV220S_K102_0280 ME10	4000	4000	7000	$\leq 19$	0,56	74	37	—	17	2	20	42,4	4,9	3,2	4,9	3,2	9,9	6,4	105	68
28,05	ZV220S_K102_0280 ME20	3700	3700	6000	$\leq 24$	0,48	74	37	—	17	2	20	42,4	4,9	3,2	4,9	3,2	9,9	6,4	105	68
33,71	ZV220S_K102_0340 ME10	4000	4000	7000	$\leq 19$	0,46	74	37	—	17	2	20	42,4	3,4	3,2	4,1	3,2	6,9	6,4	88	68
35,11	ZV220S_K102_0350 ME10	4000	4000	7000	$\leq 19$	0,44	74	37	—	17	2	20	42,4	4,9	3,2	4,9	3,2	9,9	6,4	105	68
35,11	ZV220S_K102_0350 ME20	3700	3700	6000	$\leq 24$	0,38	74	37	—	17	2	20	42,4	4,9	3,2	4,9	3,2	9,9	6,4	105	68
40,30	ZV220S_K102_0400 ME10	4000	4000	7000	$\leq 19$	0,39	74	37	—	17	2	20	42,4	2,9	2,9	3,5	3,2	5,8	5,8	74	68
46,92	ZV220S_K102_0470 ME10	4000	4000	7000	$\leq 19$	0,33	74	37	—	17	2	20	42,4	4,8	3,2	4,9	3,2	9,6	6,4	105	68
50,31	ZV220S_K102_0500 ME10	4000	4000	7000	$\leq 19$	0,31	74	37	—	17	2	20	42,4	2,4	2,4	2,8	2,8	4,7	4,7	60	60
56,10	ZV220S_K102_0560 ME10	4000	4000	7000	$\leq 19$	0,28	74	37	—	17	2	20	42,4	4,0	3,2	4,8	3,2	8,1	6,4	103	68
70,03	ZV220S_K102_0700 ME10	4000	4000	7000	$\leq 19$	0,22	74	37	—	17	2	20	42,4	3,3	3,2	3,9	3,2	6,6	6,4	83	68
<b>ZV2K2 (<math>F_{v2acc,max} = 8,3</math> kN)</b>																					
4,000	ZV225S_K202_0040 ME20	3000	2600	4500	$\leq 32$	3,13	77	39	12	23	2	25	53,1	4,4	4,4	6,6	5,2	11	10	174	138
4,000	ZV225S_K202_0040 ME30	3000	2600	4500	$\leq 38$	3,13	77	39	12	23	2	25	53,1	4,4	4,4	6,6	5,2	11	10	174	138
4,364	ZV225S_K202_0044 ME10	3000	2600	4500	$\leq 19$	2,86	77	39	12	23	2	25	53,1	3,8	3,8	3,8	4,8	4,8	102	102	
4,364	ZV225S_K202_0044 ME20	3000	2600	4500	$\leq 32$	2,86	77	39	12	23	2	25	53,1	4,5	4,5	6,8	5,2	12	10	180	138
4,364	ZV225S_K202_0044 ME30	3000	2600	4500	$\leq 38$	2,86	77	39	12	24	2	25	53,1	4,5	4,5	6,8	5,2	12	10	180	138
5,177	ZV225S_K202_0052 ME20	3000	2600	4500	$\leq 32$	2,41	77	39	12												

i	Modelo	$n_{1\max DB}$		$n_{1\max ZV}$		$d_{MW}$	$v_{f2\max ZB}$	$\Delta s$	$\Delta s_{redlI}$	$\Delta s_{redlII}$	$C_{lin}$	$m_n$	$z$	$d_0$	$F_{f2N,S}$	$F_{f2N,E}$	$F_{f2accS}$	$F_{f2accE}$	$F_{f2NOT,S}$	$F_{f2NOT,E}$	$M_{2accS}$	$M_{2accE}$
		EL1,2	EL3,4,5,6	[min <sup>-1</sup> ]	[min <sup>-1</sup> ]	[mm]	[m/s]	[μm]	[μm]	[μm]	[N/ μm]	[mm]	[mm]	[kN]	[kN]	[kN]	[kN]	[kN]	[Nm]	[Nm]	[Nm]	
<b>ZV2K2 (<math>F_{vacc,max} = 8,3</math> kN)</b>																						
6,000	ZV225S_K202_0060 ME10	3000	2600	4500	$\leq 19$	2,08	77	39	12	23	2	25	53,1	5,0	5,0	5,3	5,2	6,6	140	138		
6,000	ZV225S_K202_0060 ME20	3000	2600	4500	$\leq 32$	2,08	77	39	12	24	2	25	53,1	5,0	5,0	7,5	5,2	15	10	200	138	
6,000	ZV225S_K202_0060 ME30	3000	2600	4500	$\leq 38$	2,08	77	39	12	24	2	25	53,1	5,0	5,0	7,5	5,2	15	10	200	138	
6,683	ZV225S_K202_0067 ME10	3500	3100	5000	$\leq 19$	2,08	77	39	12	23	2	25	53,1	5,1	5,1	5,9	5,2	7,3	156	138		
6,683	ZV225S_K202_0067 ME20	3500	3100	5000	$\leq 32$	2,08	77	39	12	24	2	25	53,1	5,2	5,2	7,8	5,2	15	10	207	138	
6,683	ZV225S_K202_0067 ME30	3500	3100	5000	$\leq 38$	2,08	77	39	12	24	2	25	53,1	5,2	5,2	7,8	5,2	15	10	207	138	
7,118	ZV225S_K202_0071 ME20	3000	2600	4500	$\leq 32$	1,76	77	39	12	24	2	25	53,1	5,3	5,2	8,0	5,2	15	10	211	138	
7,118	ZV225S_K202_0071 ME30	3000	2600	4500	$\leq 38$	1,76	77	39	12	24	2	25	53,1	5,3	5,2	8,0	5,2	15	10	211	138	
8,397	ZV225S_K202_0084 ME10	3500	3100	5000	$\leq 19$	1,65	77	39	12	23	2	25	53,1	5,6	5,2	7,4	5,2	9,2	196	138		
8,397	ZV225S_K202_0084 ME20	3500	3100	5000	$\leq 32$	1,65	77	39	12	24	2	25	53,1	5,6	5,2	8,3	5,2	15	10	220	138	
8,397	ZV225S_K202_0084 ME30	3500	3100	5000	$\leq 38$	1,65	77	39	12	24	2	25	53,1	5,6	5,2	8,3	5,2	15	10	220	138	
9,190	ZV225S_K202_0092 ME10	3500	3100	5000	$\leq 19$	1,51	77	39	12	23	2	25	53,1	5,8	5,2	8,1	5,2	10	10	214	138	
9,190	ZV225S_K202_0092 ME20	3500	3100	5000	$\leq 32$	1,51	77	39	12	24	2	25	53,1	5,8	5,2	8,3	5,2	15	10	220	138	
9,190	ZV225S_K202_0092 ME30	3500	3100	5000	$\leq 38$	1,51	77	39	12	24	2	25	53,1	5,8	5,2	8,3	5,2	15	10	220	138	
10,07	ZV225S_K202_0100 ME10	3900	3500	5500	$\leq 19$	1,52	77	39	12	23	2	25	53,1	5,9	5,2	8,3	5,2	11	10	220	138	
10,07	ZV225S_K202_0100 ME20	3700	3500	5500	$\leq 32$	1,52	77	39	12	24	2	25	53,1	6,0	5,2	8,3	5,2	15	10	220	138	
10,07	ZV225S_K202_0100 ME30	3500	3500	5000	$\leq 38$	1,38	77	39	12	24	2	25	53,1	6,0	5,2	8,3	5,2	15	10	220	138	
11,55	ZV225S_K202_0115 ME10	3500	3100	5000	$\leq 19$	1,20	77	39	12	23	2	25	53,1	6,2	5,2	8,3	5,2	13	10	220	138	
11,55	ZV225S_K202_0115 ME20	3500	3100	5000	$\leq 32$	1,20	77	39	12	24	2	25	53,1	6,2	5,2	8,3	5,2	15	10	220	138	
11,55	ZV225S_K202_0115 ME30	3500	3100	5000	$\leq 38$	1,20	77	39	12	24	2	25	53,1	6,2	5,2	8,3	5,2	15	10	220	138	
12,71	ZV225S_K202_0125 ME10	3900	3500	5500	$\leq 19$	1,20	77	39	12	24	2	25	53,1	6,3	5,2	8,3	5,2	14	10	220	138	
12,71	ZV225S_K202_0125 ME20	3700	3500	5500	$\leq 32$	1,20	77	39	12	24	2	25	53,1	6,4	5,2	8,3	5,2	15	10	220	138	
12,71	ZV225S_K202_0125 ME30	3500	3500	5000	$\leq 38$	1,09	77	39	12	24	2	25	53,1	6,4	5,2	8,3	5,2	15	10	220	138	
13,85	ZV225S_K202_0140 ME10	3900	3500	5500	$\leq 19$	1,10	77	39	12	24	2	25	53,1	6,6	5,2	8,3	5,2	15	10	220	138	
13,85	ZV225S_K202_0140 ME20	3700	3500	5500	$\leq 32$	1,10	77	39	12	24	2	25	53,1	6,6	5,2	8,3	5,2	15	10	220	138	
13,85	ZV225S_K202_0140 ME30	3500	3500	5000	$\leq 38$	1,00	77	39	12	24	2	25	53,1	6,6	5,2	8,3	5,2	15	10	220	138	
16,86	ZV225S_K202_0170 ME10	4000	3900	6500	$\leq 19$	1,07	77	39	12	24	2	25	53,1	6,7	5,2	8,3	5,2	15	10	220	138	
16,86	ZV225S_K202_0170 ME20	3700	3700	6000	$\leq 32$	0,99	77	39	12	24	2	25	53,1	7,1	5,2	8,3	5,2	15	10	220	138	
16,86	ZV225S_K202_0170 ME30	3500	3500	5000	$\leq 38$	0,82	77	39	12	24	2	25	53,1	7,1	5,2	8,3	5,2	15	10	220	138	
17,47	ZV225S_K202_0175 ME10	3900	3500	5500	$\leq 19$	0,88	77	39	12	24	2	25	53,1	7,2	5,2	8,3	5,2	15	10	220	138	
17,47	ZV225S_K202_0175 ME20	3700	3500	5500	$\leq 32$	0,88	77	39	12	24	2	25	53,1	7,2	5,2	8,3	5,2	15	10	220	138	
17,47	ZV225S_K202_0175 ME30	3500	3500	5000	$\leq 38$	0,80	77	39	12	24	2	25	53,1	7,2	5,2	8,3	5,2	15	10	220	138	
20,33	ZV225S_K202_0200 ME10	4000	3900	6500	$\leq 19$	0,89	77	39	12	24	2	25	53,1	6,9	5,2	8,3	5,2	15	10	220	138	
20,33	ZV225S_K202_0200 ME20	3700	3700	6000	$\leq 24$	0,82	77	39	12	24	2	25	53,1	7,5	5,2	8,3	5,2	15	10	220	138	
23,18	ZV225S_K202_0230 ME10	4000	3900	6500	$\leq 19$	0,78	77	39	12	24	2	25	53,1	7,5	5,2	8,3	5,2	15	10	220	138	
23,18	ZV225S_K202_0230 ME20	3700	3700	6000	$\leq 32$	0,72	77	39	12	24	2	25	53,1	7,5	5,2	8,3	5,2	15	10	220	138	
23,18	ZV225S_K202_0230 ME30	3500	3500	5000	$\leq 38$	0,60	77	39	12	24	2	25	53,1	7,5	5,2	8,3	5,2	15	10	220	138	
25,13	ZV225S_K202_0250 ME10	4000	3900	6500	$\leq 19$	0,72	77	39	12	24	2	25	53,1	7,1	5,2	8,3	5,2	15	10	220	138	
25,13	ZV225S_K202_0250 ME20	3700	3700	6000	$\leq 24$	0,66	77	39	12	24	2	25	53,1	7,5	5,2	8,3	5,2	15	10	220	138	
27,95	ZV225S_K202_0280 ME10	4000	3900	6500	$\leq 19$	0,65	77	39	12	24	2	25	53,1	7,5	5,2	8,3	5,2	15	10	220	138	
27,95	ZV225S_K202_0280 ME20	3700	3700	6000	$\leq 24$	0,60	77	39	12	24	2	25	53,1	7,5	5,2	8,3	5,2	15	10	220	138	
33,62	ZV225S_K202_0340 ME10	4000	3900	6500	$\leq 19$	0,54	77	39	12	24	2	25	53,1	5,8	5,2	7,0	5,2	12	10	185	138	
33,62	ZV225S_K202_0340 ME20	3700	3700	6000	$\leq 24$	0,50	77	39	12	24	2	25	53,1	5,8	5,2	7,0	5,2	12	10	185	138	
34,55	ZV225S_K202_0350 ME10	4000	3900	6500	$\leq 19$	0,52	77	39	12	24	2	25	53,1	7,5	5,2	8,3	5,2	15	10	220	138	
34,55	ZV225S_K202_0350 ME20	3700	3700	6000	$\leq 24$	0,48	77	39	12	24	2	25	53,1	7,5	5,2	8,3	5,2	15	10	220	138	
39,45	ZV225S_K203_0390 ME10	4000	3900	6500	$\leq 19$	0,46	77	46	19	24	2	25	53,1	7,5	5,2	7,6	5,2	9,5	202	138		
40,39	ZV225S_K202_0400 ME10	4000	3900	6500	$\leq 19$	0,45	77	39	12	24	2	25	53,1	4,4	4,4	5,2	5,2	7,4	7,4	139	138	
45,22	ZV225S_K203_0450 ME10	4000	3900	6500	$\leq 19$	0,40	77	46	19	24	2	25	53,1	7,5	5,2	8,3	5,2	11	10	220	138	
46,23	ZV225S_K202_0460 ME10	4000	3900	6500	$\leq 19$	0,																

i	Modelo	$n_{1\max DB}$	$n_{1\max ZV}$	$d_{MW}$	$v_{f2\max ZB}$	$\Delta s$	$\Delta s_{redl}$	$\Delta s_{redi}$	$C_{lin}$	$m_n$	$z$	$d_0$	$F_{f2N,S}$	$F_{f2N,E}$	$F_{f2accS}$	$F_{f2accE}$	$F_{f2NOT,S}$	$F_{f2NOT,E}$	$M_{2accS}$	$M_{2accE}$	
		EL1,2 [min <sup>-1</sup> ]	EL3,4,5,6 [min <sup>-1</sup> ]	[mm]	[m/s]	[μm]	[μm]	[μm]	[N/ μm]	[mm]	[mm]	[kN]	[kN]	[kN]	[kN]	[kN]	[kN]	[Nm]	[Nm]		
<b>ZV3K2 (<math>F_{v2acc,max} = 7,7 \text{ kN}</math>)</b>																					
4,000	ZV318S_K202_0040 ME20	3000	2600	4500	$\leq 32$	3,38	83	42	12	22	3	18	57,3	4,1	4,1	6,1	5,4	10	10	174	154
4,000	ZV318S_K202_0040 ME30	3000	2600	4500	$\leq 38$	3,38	83	42	12	23	3	18	57,3	4,1	4,1	6,1	5,4	10	10	174	154
4,364	ZV318S_K202_0044 ME10	3000	2600	4500	$\leq 19$	3,09	83	42	12	22	3	18	57,3	3,5	3,5	3,5	4,4	4,4	102	102	154
4,364	ZV318S_K202_0044 ME20	3000	2600	4500	$\leq 32$	3,09	83	42	12	23	3	18	57,3	4,2	4,2	6,3	5,4	11	11	180	154
4,364	ZV318S_K202_0044 ME30	3000	2600	4500	$\leq 38$	3,09	83	42	12	23	3	18	57,3	4,2	4,2	6,3	5,4	11	11	180	154
5,177	ZV318S_K202_0052 ME20	3000	2600	4500	$\leq 32$	2,61	83	42	12	23	3	18	57,3	4,4	4,4	6,6	5,4	13	11	190	154
5,177	ZV318S_K202_0052 ME30	3000	2600	4500	$\leq 38$	2,61	83	42	12	23	3	18	57,3	4,4	4,4	6,6	5,4	13	11	190	154
6,000	ZV318S_K202_0060 ME10	3000	2600	4500	$\leq 19$	2,25	83	42	12	22	3	18	57,3	4,6	4,6	4,9	4,9	6,1	6,1	140	140
6,000	ZV318S_K202_0060 ME20	3000	2600	4500	$\leq 32$	2,25	83	42	12	23	3	18	57,3	4,6	4,6	7,0	5,4	14	11	200	154
6,000	ZV318S_K202_0060 ME30	3000	2600	4500	$\leq 38$	2,25	83	42	12	23	3	18	57,3	4,6	4,6	7,0	5,4	14	11	200	154
6,683	ZV318S_K202_0067 ME10	3500	3100	5000	$\leq 19$	2,24	83	42	12	22	3	18	57,3	4,7	4,7	5,4	5,4	6,8	6,8	156	154
6,683	ZV318S_K202_0067 ME20	3500	3100	5000	$\leq 32$	2,24	83	42	12	23	3	18	57,3	4,8	4,8	7,2	5,4	14	11	207	154
6,683	ZV318S_K202_0067 ME30	3500	3100	5000	$\leq 38$	2,24	83	42	12	23	3	18	57,3	4,8	4,8	7,2	5,4	14	11	207	154
7,118	ZV318S_K202_0071 ME20	3000	2600	4500	$\leq 32$	1,90	83	42	12	23	3	18	57,3	4,9	4,9	7,4	5,4	14	11	211	154
7,118	ZV318S_K202_0071 ME30	3000	2600	4500	$\leq 38$	1,90	83	42	12	23	3	18	57,3	4,9	4,9	7,4	5,4	14	11	211	154
8,397	ZV318S_K202_0084 ME10	3500	3100	5000	$\leq 19$	1,79	83	42	12	22	3	18	57,3	5,2	5,2	6,8	5,4	8,5	196	154	
8,397	ZV318S_K202_0084 ME20	3500	3100	5000	$\leq 32$	1,79	83	42	12	23	3	18	57,3	5,2	5,2	7,7	5,4	14	11	220	154
8,397	ZV318S_K202_0084 ME30	3500	3100	5000	$\leq 38$	1,79	83	42	12	23	3	18	57,3	5,2	5,2	7,7	5,4	14	11	220	154
9,190	ZV318S_K202_0092 ME10	3500	3100	5000	$\leq 19$	1,63	83	42	12	23	3	18	57,3	5,4	5,4	7,5	5,4	9,3	214	154	
9,190	ZV318S_K202_0092 ME20	3500	3100	5000	$\leq 32$	1,63	83	42	12	23	3	18	57,3	5,4	5,4	7,7	5,4	14	11	220	154
9,190	ZV318S_K202_0092 ME30	3500	3100	5000	$\leq 38$	1,63	83	42	12	23	3	18	57,3	5,4	5,4	7,7	5,4	14	11	220	154
10,07	ZV318S_K202_0100 ME10	3900	3500	5500	$\leq 19$	1,64	83	42	12	23	3	18	57,3	5,4	5,4	7,7	5,4	10	10	220	154
10,07	ZV318S_K202_0100 ME20	3700	3500	5500	$\leq 32$	1,64	83	42	12	23	3	18	57,3	5,5	5,4	7,7	5,4	14	11	220	154
10,07	ZV318S_K202_0100 ME30	3500	3500	5000	$\leq 38$	1,49	83	42	12	23	3	18	57,3	5,5	5,4	7,7	5,4	14	11	220	154
11,55	ZV318S_K202_0115 ME10	3500	3100	5000	$\leq 19$	1,30	83	42	12	23	3	18	57,3	5,8	5,4	7,7	5,4	12	11	220	154
11,55	ZV318S_K202_0115 ME20	3500	3100	5000	$\leq 32$	1,30	83	42	12	23	3	18	57,3	5,8	5,4	7,7	5,4	14	11	220	154
11,55	ZV318S_K202_0115 ME30	3500	3100	5000	$\leq 38$	1,30	83	42	12	23	3	18	57,3	5,8	5,4	7,7	5,4	14	11	220	154
12,71	ZV318S_K202_0125 ME10	3900	3500	5500	$\leq 19$	1,30	83	42	12	23	3	18	57,3	5,9	5,4	7,7	5,4	13	11	220	154
12,71	ZV318S_K202_0125 ME20	3700	3500	5500	$\leq 32$	1,30	83	42	12	23	3	18	57,3	6,0	5,4	7,7	5,4	14	11	220	154
12,71	ZV318S_K202_0125 ME30	3500	3500	5000	$\leq 38$	1,18	83	42	12	23	3	18	57,3	6,0	5,4	7,7	5,4	14	11	220	154
13,85	ZV318S_K202_0140 ME10	3900	3500	5500	$\leq 19$	1,19	83	42	12	23	3	18	57,3	6,1	5,4	7,7	5,4	14	11	220	154
13,85	ZV318S_K202_0140 ME20	3700	3500	5500	$\leq 32$	1,19	83	42	12	23	3	18	57,3	6,1	5,4	7,7	5,4	14	11	220	154
13,85	ZV318S_K202_0140 ME30	3500	3500	5000	$\leq 38$	1,08	83	42	12	23	3	18	57,3	6,1	5,4	7,7	5,4	14	11	220	154
16,86	ZV318S_K202_0170 ME10	4000	3900	6500	$\leq 19$	1,16	83	42	12	23	3	18	57,3	6,2	5,4	7,7	5,4	14	11	220	154
16,86	ZV318S_K202_0170 ME20	3700	3700	6000	$\leq 32$	1,07	83	42	12	23	3	18	57,3	6,6	5,4	7,7	5,4	14	11	220	154
16,86	ZV318S_K202_0170 ME30	3500	3500	5000	$\leq 38$	0,89	83	42	12	23	3	18	57,3	6,6	5,4	7,7	5,4	14	11	220	154
17,47	ZV318S_K202_0175 ME10	3900	3500	5500	$\leq 19$	0,95	83	42	12	23	3	18	57,3	6,6	5,4	7,7	5,4	14	11	220	154
17,47	ZV318S_K202_0175 ME20	3700	3500	5500	$\leq 32$	0,95	83	42	12	23	3	18	57,3	6,6	5,4	7,7	5,4	14	11	220	154
17,47	ZV318S_K202_0175 ME30	3500	3500	5000	$\leq 38$	0,86	83	42	12	23	3	18	57,3	6,6	5,4	7,7	5,4	14	11	220	154
20,33	ZV318S_K202_0200 ME10	4000	3900	6500	$\leq 19$	0,96	83	42	12	23	3	18	57,3	6,4	5,4	7,7	5,4	14	11	220	154
20,33	ZV318S_K202_0200 ME20	3700	3700	6000	$\leq 24$	0,89	83	42	12	23	3	18	57,3	7,0	5,4	7,7	5,4	14	11	220	154
23,18	ZV318S_K202_0230 ME10	4000	3900	6500	$\leq 19$	0,84	83	42	12	23	3	18	57,3	7,0	5,4	7,7	5,4	14	11	220	154
23,18	ZV318S_K202_0230 ME20	3700	3700	6000	$\leq 32$	0,78	83	42	12	23	3	18	57,3	7,0	5,4	7,7	5,4	14	11	220	154
23,18	ZV318S_K202_0230 ME30	3500	3500	5000	$\leq 38$	0,65	83	42	12	23	3	18	57,3	7,0	5,4	7,7	5,4	14	11	220	154
25,13	ZV318S_K202_0250 ME10	4000	3900	6500	$\leq 19$	0,78	83	42	12	23	3	18	57,3	6,5	5,4	7,7	5,4	14	11	220	154
25,13	ZV318S_K202_0250 ME20	3700	3700	6000	$\leq 24$	0,72	83	42	12	23	3	18	57,3	7,0	5,4	7,7	5,4	14	11	220	154
27,95	ZV318S_K202_0280 ME10	4000	3900	6500	$\leq 19$	0,70	83	42	12	23	3	18	57,3	7,0	5,4	7,7	5,4	14	11	220	154
27,95	ZV318S_K202_0280 ME20	3700	3700	6000	$\leq 24$	0,64	83	42	12	23	3	18	57,3	7,0	5,4	7,7	5,4	14	11	220	154
33,62	ZV318S_K202_0340 ME10	4000	3900	6500	$\leq 19$	0,58	83	42	12	23	3	18	5								

i	Modelo	$n_{1\max DB}$	$n_{1\max ZV}$	$d_{MW}$	$v_{f2\max ZB}$	$\Delta s$	$\Delta s_{redl}$	$\Delta s_{redl}$	$C_{lin}$	$m_n$	$z$	$d_0$	$F_{f2N,S}$	$F_{f2N,E}$	$F_{f2accS}$	$F_{f2accE}$	$F_{f2NOT,S}$	$F_{f2NOT,E}$	$M_{2accS}$	$M_{2accE}$	
		EL1,2	EL3,4,5,6	[min <sup>-1</sup> ]	[min <sup>-1</sup> ]	[mm]	[m/s]	[μm]	[μm]	[μm]	[N/ μm]	[mm]	[mm]	[kN]	[kN]	[kN]	[kN]	[kN]	[Nm]	[Nm]	
<b>ZV3K2 (<math>F_{v2acc,max} = 7,7 \text{ kN}</math>)</b>																					
79,62	ZV318S_K203_0800 ME10	4000	3900	6500	$\leq 19$	0,25	83	50	21	23	3	18	57,3	7,0	5,4	7,7	5,4	14	11	220	154
90,79	ZV318S_K203_0910 ME10	4000	3900	6500	$\leq 19$	0,22	83	50	21	23	3	18	57,3	7,0	5,4	7,7	5,4	14	11	220	154
109,5	ZV318S_K203_1090 ME10	4000	3900	6500	$\leq 19$	0,18	83	50	21	23	3	18	57,3	7,0	5,4	7,7	5,4	14	11	220	154
135,3	ZV318S_K203_1350 ME10	4000	3900	6500	$\leq 19$	0,14	83	50	21	23	3	18	57,3	7,0	5,4	7,7	5,4	14	11	220	154
181,0	ZV318S_K203_1810 ME10	4000	3900	6500	$\leq 19$	0,11	83	50	21	23	3	18	57,3	7,0	5,4	7,7	5,4	14	11	220	154
217,5	ZV318S_K203_2180 ME10	4000	3900	6500	$\leq 19$	0,09	83	50	21	23	3	18	57,3	5,5	5,4	6,7	5,4	9,4	9,4	191	154
271,9	ZV318S_K203_2720 ME10	4000	3900	6500	$\leq 19$	0,07	83	50	21	23	3	18	57,3	4,6	4,6	5,5	5,4	8,8	8,8	159	154
<b>ZV2K3 (<math>F_{v2acc,max} = 10 \text{ kN}</math>)</b>																					
4,000	ZV225S_K302_0040 ME20	2700	2300	4000	$\leq 32$	2,78	77	31	12	30	2	25	53,1	7,7	5,2	8,8	5,2	11	10	233	137
4,000	ZV225S_K302_0040 ME30	2700	2300	4000	$\leq 38$	2,78	77	31	12	30	2	25	53,1	7,7	5,2	10	5,2	21	10	274	137
4,364	ZV225S_K302_0044 ME20	2700	2300	4000	$\leq 32$	2,55	77	31	12	30	2	25	53,1	7,9	5,2	9,6	5,2	12	10	254	137
4,364	ZV225S_K302_0044 ME30	2700	2300	4000	$\leq 38$	2,55	77	31	12	30	2	25	53,1	7,9	5,2	10	5,2	21	10	274	137
5,375	ZV225S_K302_0054 ME20	2700	2300	4000	$\leq 32$	2,07	77	31	12	30	2	25	53,1	8,5	5,2	10	5,2	15	10	274	137
5,375	ZV225S_K302_0054 ME30	2700	2300	4000	$\leq 38$	2,07	77	31	12	30	2	25	53,1	8,5	5,2	10	5,2	15	10	274	137
6,000	ZV225S_K302_0060 ME20	2700	2300	4000	$\leq 32$	1,85	77	31	12	30	2	25	53,1	8,8	5,2	10	5,2	16	10	274	137
6,000	ZV225S_K302_0060 ME30	2700	2300	4000	$\leq 38$	1,85	77	31	12	30	2	25	53,1	8,8	5,2	10	5,2	21	10	274	137
6,740	ZV225S_K302_0067 ME20	3200	2800	4500	$\leq 32$	1,86	77	31	12	30	2	25	53,1	9,1	5,2	10	5,2	18	10	274	137
6,740	ZV225S_K302_0067 ME30	3200	2800	4500	$\leq 38$	1,86	77	31	12	30	2	25	53,1	9,1	5,2	10	5,2	18	10	274	137
7,391	ZV225S_K302_0074 ME20	2700	2300	4000	$\leq 32$	1,50	77	31	12	30	2	25	53,1	9,4	5,2	10	5,2	20	10	274	137
7,391	ZV225S_K302_0074 ME30	2700	2300	4000	$\leq 38$	1,50	77	31	12	30	2	25	53,1	9,4	5,2	10	5,2	20	10	274	137
8,444	ZV225S_K302_0084 ME10	3200	2800	4500	$\leq 19$	1,48	77	31	12	30	2	25	53,1	6,4	5,2	7,4	5,2	9,3	9,3	197	137
8,444	ZV225S_K302_0084 ME20	3200	2800	4500	$\leq 32$	1,48	77	31	12	30	2	25	53,1	9,9	5,2	10	5,2	21	10	274	137
8,444	ZV225S_K302_0084 ME30	3200	2800	4500	$\leq 38$	1,48	77	31	12	30	2	25	53,1	9,9	5,2	10	5,2	21	10	274	137
9,267	ZV225S_K302_0093 ME20	3200	2800	4500	$\leq 32$	1,35	77	31	12	30	2	25	53,1	10	5,2	10	5,2	21	10	274	137
9,267	ZV225S_K302_0093 ME30	3200	2800	4500	$\leq 38$	1,35	77	31	12	30	2	25	53,1	10	5,2	10	5,2	21	10	274	137
10,14	ZV225S_K302_0100 ME10	3500	3100	5000	$\leq 19$	1,37	77	31	12	30	2	25	53,1	6,6	5,2	8,9	5,2	11	10	236	137
10,14	ZV225S_K302_0100 ME20	3500	3100	5000	$\leq 32$	1,37	77	31	12	30	2	25	53,1	10	5,2	10	5,2	21	10	274	137
10,14	ZV225S_K302_0100 ME30	3500	3100	5000	$\leq 38$	1,37	77	31	12	30	2	25	53,1	10	5,2	10	5,2	21	10	274	137
11,61	ZV225S_K302_0115 ME10	3200	2800	4500	$\leq 19$	1,08	77	31	12	30	2	25	53,1	8,8	5,2	10	5,2	13	10	270	137
11,61	ZV225S_K302_0115 ME20	3200	2800	4500	$\leq 32$	1,08	77	31	12	30	2	25	53,1	10	5,2	10	5,2	21	10	274	137
11,61	ZV225S_K302_0115 ME30	3200	2800	4500	$\leq 38$	1,08	77	31	12	30	2	25	53,1	10	5,2	10	5,2	21	10	274	137
12,58	ZV225S_K302_0125 ME10	3500	3100	5000	$\leq 19$	1,10	77	31	12	30	2	25	53,1	7,0	5,2	10	5,2	14	10	274	137
12,58	ZV225S_K302_0125 ME20	3500	3100	5000	$\leq 32$	1,10	77	31	12	30	2	25	53,1	10	5,2	10	5,2	21	10	274	137
12,58	ZV225S_K302_0125 ME30	3500	3100	5000	$\leq 38$	1,10	77	31	12	30	2	25	53,1	10	5,2	10	5,2	21	10	274	137
13,94	ZV225S_K302_0140 ME10	3500	3100	5000	$\leq 19$	1,00	77	31	12	30	2	25	53,1	9,1	5,2	10	5,2	15	10	274	137
13,94	ZV225S_K302_0140 ME20	3500	3100	5000	$\leq 32$	1,00	77	31	12	30	2	25	53,1	10	5,2	10	5,2	21	10	274	137
13,94	ZV225S_K302_0140 ME30	3500	3100	5000	$\leq 38$	1,00	77	31	12	30	2	25	53,1	10	5,2	10	5,2	21	10	274	137
16,94	ZV225S_K302_0170 ME10	3800	3500	6000	$\leq 19$	0,98	77	31	12	30	2	25	53,1	7,4	5,2	10	5,2	18	10	274	137
16,94	ZV225S_K302_0170 ME20	3700	3500	6000	$\leq 32$	0,98	77	31	12	30	2	25	53,1	10	5,2	10	5,2	21	10	274	137
16,94	ZV225S_K302_0170 ME30	3500	3500	5000	$\leq 38$	0,82	77	31	12	30	2	25	53,1	10	5,2	10	5,2	21	10	274	137
17,29	ZV225S_K302_0175 ME10	3500	3100	5000	$\leq 19$	0,80	77	31	12	30	2	25	53,1	9,7	5,2	10	5,2	19	10	274	137
17,29	ZV225S_K302_0175 ME20	3500	3100	5000	$\leq 32$	0,80	77	31	12	30	2	25	53,1	10	5,2	10	5,2	21	10	274	137
17,29	ZV225S_K302_0175 ME30	3500	3100	5000	$\leq 38$	0,80	77	31	12	30	2	25	53,1	10	5,2	10	5,2	21	10	274	137
20,28	ZV225S_K302_0200 ME10	3800	3500	6000	$\leq 19$	0,82	77	31	12	30	2	25	53,1	7,9	5,2	10	5,2	19	10	274	137
20,28	ZV225S_K302_0200 ME20	3700	3500	6000	$\leq 32$	0,82	77	31	12	30	2	25	53,1	10	5,2	10	5,2	21	10	274	137
20,28	ZV225S_K302_0200 ME30	3500	3500	5000	$\leq 38$	0,69	77	31	12	30	2	25	53,1	10	5,2	10	5,2	21	10	274	137
23,29	ZV225S_K302_0230 ME10	3800	3500	6000	$\leq 19$	0,72	77	31	12	30	2	25	53,1	10	5,2	10	5,2	21	10	274	137
23,29	ZV225S_K302_0230 ME20	3700	3500	6000	$\leq 32$	0,72	77	31	12	30	2	25	53,1	10	5,2	10	5,2	21	10	274	137
23,29	ZV225S_K302_0230 ME30	3500	3500	5000	$\leq 38$	0,60	77	31	12	30	2	25	53,1	10	5,2	10	5,2				

i	Modelo	$n_{1\max DB}$	$n_{1\max ZV}$	$d_{MW}$	$v_{f2\max ZB}$	$\Delta s$	$\Delta s_{redl}$	$\Delta s_{redi}$	$C_{lin}$	$m_n$	$z$	$d_0$	$F_{f2N,S}$	$F_{f2N,E}$	$F_{f2accS}$	$F_{f2accE}$	$F_{f2NOT,S}$	$F_{f2NOT,E}$	$M_{2accS}$	$M_{2accE}$	
		EL1,2	EL3,4,5,6	[min <sup>-1</sup> ]	[min <sup>-1</sup> ]	[mm]	[m/s]	[μm]	[μm]	[μm]	[N/ μm]	[mm]	[mm]	[kN]	[kN]	[kN]	[kN]	[Nm]	[Nm]		
<b>ZV2K3 (<math>F_{v2acc,max} = 10 \text{ kN}</math>)</b>																					
46,23	ZV225S_K302_0460 ME10	3800	3500	6000	≤19	0,36	77	31	12	30	2	25	53,1	10	5,2	10	5,2	21	10	274	137
46,23	ZV225S_K302_0460 ME20	3700	3500	6000	≤24	0,36	77	31	12	30	2	25	53,1	10	5,2	10	5,2	21	10	274	137
48,63	ZV225S_K303_0490 ME20	3700	3500	6000	≤24	0,34	77	39	19	30	2	25	53,1	10	5,2	10	5,2	21	10	274	137
49,26	ZV225S_K303_0490 ME10	3800	3500	6000	≤19	0,34	77	39	19	30	2	25	53,1	9,5	5,2	9,5	5,2	12	10	253	137
50,49	ZV225S_K302_0500 ME10	3800	3500	6000	≤19	0,33	77	31	12	30	2	25	53,1	5,8	5,2	6,5	5,2	8,2	8,2	173	137
53,88	ZV225S_K303_0540 ME20	3700	3500	6000	≤24	0,31	77	39	19	30	2	25	53,1	10	5,2	10	5,2	21	10	274	137
54,58	ZV225S_K303_0550 ME10	3800	3500	6000	≤19	0,31	77	39	19	30	2	25	53,1	10	5,2	10	5,2	13	10	274	137
55,71	ZV225S_K302_0560 ME10	3800	3500	6000	≤19	0,30	77	31	12	30	2	25	53,1	10	5,2	10	5,2	20	10	274	137
55,71	ZV225S_K302_0560 ME20	3700	3500	6000	≤24	0,30	77	31	12	30	2	25	53,1	10	5,2	10	5,2	20	10	274	137
65,50	ZV225S_K303_0650 ME20	3700	3500	6000	≤24	0,25	77	39	19	30	2	25	53,1	10	5,2	10	5,2	21	10	274	137
66,35	ZV225S_K303_0660 ME10	3800	3500	6000	≤19	0,25	77	39	19	30	2	25	53,1	10	5,2	10	5,2	16	10	274	137
66,87	ZV225S_K303_0670 ME20	3700	3500	6000	≤24	0,25	77	39	19	30	2	25	53,1	10	5,2	10	5,2	21	10	274	137
67,73	ZV225S_K303_0680 ME10	3800	3500	6000	≤19	0,25	77	39	19	30	2	25	53,1	10	5,2	10	5,2	16	10	274	137
69,43	ZV225S_K302_0690 ME10	3800	3500	6000	≤19	0,24	77	31	12	30	2	25	53,1	8,0	5,2	9,0	5,2	11	10	238	137
78,41	ZV225S_K303_0780 ME20	3700	3500	6000	≤24	0,21	77	39	19	30	2	25	53,1	10	5,2	10	5,2	21	10	274	137
79,42	ZV225S_K303_0790 ME10	3800	3500	6000	≤19	0,21	77	39	19	30	2	25	53,1	10	5,2	10	5,2	19	10	274	137
90,06	ZV225S_K303_0900 ME20	3700	3500	6000	≤24	0,19	77	39	19	30	2	25	53,1	10	5,2	10	5,2	21	10	274	137
91,23	ZV225S_K303_0910 ME10	3800	3500	6000	≤19	0,18	77	39	19	30	2	25	53,1	10	5,2	10	5,2	21	10	274	137
107,8	ZV225S_K303_1080 ME20	3700	3500	6000	≤24	0,16	77	39	19	30	2	25	53,1	10	5,2	10	5,2	21	10	274	137
109,2	ZV225S_K303_1090 ME10	3800	3500	6000	≤19	0,15	77	39	19	30	2	25	53,1	10	5,2	10	5,2	21	10	274	137
134,3	ZV225S_K303_1340 ME20	3700	3500	6000	≤24	0,12	77	39	19	30	2	25	53,1	10	5,2	10	5,2	21	10	274	137
136,0	ZV225S_K303_1360 ME10	3800	3500	6000	≤19	0,12	77	39	19	30	2	25	53,1	10	5,2	10	5,2	21	10	274	137
178,7	ZV225S_K303_1790 ME20	3700	3500	6000	≤24	0,09	77	39	19	30	2	25	53,1	10	5,2	10	5,2	21	10	274	137
181,0	ZV225S_K303_1810 ME10	3800	3500	6000	≤19	0,09	77	39	19	30	2	25	53,1	10	5,2	10	5,2	21	10	274	137
218,2	ZV225S_K303_2180 ME10	3800	3500	6000	≤19	0,08	77	39	19	30	2	25	53,1	10	5,2	10	5,2	20	10	274	137
271,9	ZV225S_K303_2720 ME10	3800	3500	6000	≤19	0,06	77	39	19	30	2	25	53,1	8,0	5,2	9,0	5,2	11	10	238	137
<b>ZV3K3 (<math>F_{v2acc,max} = 11 \text{ kN}</math>)</b>																					
4,000	ZV318S_K302_0040 ME20	2700	2300	4000	≤32	3,00	83	33	12	29	3	18	57,3	7,1	5,3	8,1	5,3	10	10	233	153
4,000	ZV318S_K302_0040 ME30	2700	2300	4000	≤38	3,00	83	33	12	30	3	18	57,3	7,1	5,3	11	5,3	22	11	306	153
4,364	ZV318S_K302_0044 ME20	2700	2300	4000	≤32	2,75	83	33	12	29	3	18	57,3	7,3	5,3	8,9	5,3	11	11	254	153
4,364	ZV318S_K302_0044 ME30	2700	2300	4000	≤38	2,75	83	33	12	30	3	18	57,3	7,3	5,3	11	5,3	22	11	308	153
5,375	ZV318S_K302_0054 ME20	2700	2300	4000	≤32	2,23	83	33	12	30	3	18	57,3	7,8	5,3	11	5,3	14	11	308	153
5,375	ZV318S_K302_0054 ME30	2700	2300	4000	≤38	2,23	83	33	12	30	3	18	57,3	7,8	5,3	11	5,3	14	11	308	153
6,000	ZV318S_K302_0060 ME20	2700	2300	4000	≤32	2,00	83	33	12	30	3	18	57,3	8,1	5,3	11	5,3	15	11	308	153
6,000	ZV318S_K302_0060 ME30	2700	2300	4000	≤38	2,00	83	33	12	30	3	18	57,3	8,1	5,3	11	5,3	22	11	308	153
6,740	ZV318S_K302_0067 ME20	3200	2800	4500	≤32	2,00	83	33	12	30	3	18	57,3	8,5	5,3	11	5,3	17	11	308	153
6,740	ZV318S_K302_0067 ME30	3200	2800	4500	≤38	2,00	83	33	12	30	3	18	57,3	8,5	5,3	11	5,3	17	11	308	153
7,391	ZV318S_K302_0074 ME20	2700	2300	4000	≤32	1,62	83	33	12	30	3	18	57,3	8,7	5,3	11	5,3	19	11	308	153
7,391	ZV318S_K302_0074 ME30	2700	2300	4000	≤38	1,62	83	33	12	30	3	18	57,3	8,7	5,3	11	5,3	19	11	308	153
8,444	ZV318S_K302_0084 ME10	3200	2800	4500	≤19	1,60	83	33	12	29	3	18	57,3	5,9	5,3	6,9	5,3	8,6	8,6	197	153
8,444	ZV318S_K302_0084 ME20	3200	2800	4500	≤32	1,60	83	33	12	30	3	18	57,3	9,1	5,3	11	5,3	21	11	308	153
8,444	ZV318S_K302_0084 ME30	3200	2800	4500	≤38	1,60	83	33	12	30	3	18	57,3	9,1	5,3	11	5,3	21	11	308	153
9,267	ZV318S_K302_0093 ME20	3200	2800	4500	≤32	1,46	83	33	12	30	3	18	57,3	9,4	5,3	11	5,3	22	11	308	153
9,267	ZV318S_K302_0093 ME30	3200	2800	4500	≤38	1,46	83	33	12	30	3	18	57,3	9,4	5,3	11	5,3	22	11	308	153
10,14	ZV318S_K302_0100 ME10	3500	3100	5000	≤19	1,48	83	33	12	30	3	18	57,3	6,1	5,3	8,2	5,3	10	10	236	153
10,14	ZV318S_K302_0100 ME20	3500	3100	5000	≤32	1,48	83	33	12	30	3	18	57,3	9,7	5,3	11	5,3	22	11	308	153
10,14	ZV318S_K302_0100 ME30	3500	3100	5000	≤38	1,48	83	33	12	30	3	18	57,3	9,7	5,3	11	5,3	22	11	308	153
11,61	ZV318S_K302_0115 ME10	3200	2800	4500	≤19	1,16	83	33	12	30	3	18	57,3	8,1	5,3	9,4	5,3	12	11	270	153
11,61	ZV318S_K302_0115 ME20	3200	2800	4500	≤32	1,16	83	33	12	30	3	18	57,3	10	5,3	11	5,3	22	11	308	153
11,61	ZV318S_K302_0115 ME30	3200	2800	4500	≤38	1,16	83	33	12	30	3	18	57,3	10	5,3	11	5,3	22	11	308	153
12,58	ZV318S_K302_0125 ME10	3500	3100	5000	≤19	1,19	83	33	12												

i	Modelo	n <sub>1maxDB</sub>	n <sub>1maxZV</sub>	d <sub>MW</sub>	v <sub>i2maxZB</sub>	Δs	Δs <sub>redll</sub>	Δs <sub>redi</sub>	C <sub>lin</sub>	m <sub>n</sub>	z	d <sub>0</sub>	F <sub>f2N,S</sub>	F <sub>f2N,E</sub>	F <sub>f2accS</sub>	F <sub>f2accE</sub>	F <sub>f2NOT,S</sub>	F <sub>f2NOT,E</sub>	M <sub>2accS</sub>	M <sub>2accE</sub>	
		EL1,2	EL3,4,5,6	[min <sup>-1</sup> ]	[min <sup>-1</sup> ]	[mm]	[m/s]	[μm]	[μm]	[μm]	[N/ μm]	[mm]	[mm]	[kN]	[kN]	[kN]	[kN]	[kN]	[Nm]	[Nm]	
<b>ZV3K3 (F<sub>v2acc,max</sub> = 11 kN)</b>																					
20,28	ZV318S_K302_0200 ME30	3500	3500	5000	≤38	0,74	83	33	12	30	3	18	57,3	11	5,3	11	5,3	22	11	308	153
23,29	ZV318S_K302_0230 ME10	3800	3500	6000	≤19	0,77	83	33	12	30	3	18	57,3	9,5	5,3	11	5,3	22	11	308	153
23,29	ZV318S_K302_0230 ME20	3700	3500	6000	≤32	0,77	83	33	12	30	3	18	57,3	11	5,3	11	5,3	22	11	308	153
23,29	ZV318S_K302_0230 ME30	3500	3500	5000	≤38	0,64	83	33	12	30	3	18	57,3	11	5,3	11	5,3	22	11	308	153
25,26	ZV318S_K302_0250 ME10	3800	3500	6000	≤19	0,71	83	33	12	30	3	18	57,3	7,4	5,3	11	5,3	21	11	308	153
25,26	ZV318S_K302_0250 ME20	3700	3500	6000	≤24	0,71	83	33	12	30	3	18	57,3	11	5,3	11	5,3	21	11	308	153
27,88	ZV318S_K302_0280 ME10	3800	3500	6000	≤19	0,65	83	33	12	30	3	18	57,3	10	5,3	11	5,3	22	11	308	153
27,88	ZV318S_K302_0280 ME20	3700	3500	6000	≤32	0,65	83	33	12	30	3	18	57,3	11	5,3	11	5,3	22	11	308	153
27,88	ZV318S_K302_0280 ME30	3500	3500	5000	≤38	0,54	83	33	12	30	3	18	57,3	11	5,3	11	5,3	22	11	308	153
32,65	ZV318S_K303_0330 ME20	3700	3500	6000	≤24	0,55	83	42	21	30	3	18	57,3	11	5,3	11	5,3	20	11	308	153
33,62	ZV318S_K302_0340 ME10	3800	3500	6000	≤19	0,54	83	33	12	30	3	18	57,3	7,7	5,3	10	5,3	17	11	300	153
33,62	ZV318S_K302_0340 ME20	3700	3500	6000	≤24	0,54	83	33	12	30	3	18	57,3	8,7	5,3	10	5,3	17	11	300	153
34,73	ZV318S_K302_0350 ME10	3800	3500	6000	≤19	0,52	83	33	12	30	3	18	57,3	10	5,3	11	5,3	22	11	308	153
34,73	ZV318S_K302_0350 ME20	3700	3500	6000	≤24	0,52	83	33	12	30	3	18	57,3	11	5,3	11	5,3	22	11	308	153
35,83	ZV318S_K303_0360 ME20	3700	3500	6000	≤24	0,50	83	42	21	30	3	18	57,3	11	5,3	11	5,3	22	11	308	153
39,19	ZV318S_K303_0390 ME20	3700	3500	6000	≤24	0,46	83	42	21	30	3	18	57,3	11	5,3	11	5,3	22	11	308	153
40,51	ZV318S_K302_0410 ME10	3800	3500	6000	≤19	0,44	83	33	12	30	3	18	57,3	6,7	5,3	8,1	5,3	13	11	231	153
40,51	ZV318S_K302_0410 ME20	3700	3500	6000	≤24	0,44	83	33	12	30	3	18	57,3	6,7	5,3	8,1	5,3	13	11	231	153
44,89	ZV318S_K303_0450 ME20	3700	3500	6000	≤24	0,40	83	42	21	30	3	18	57,3	11	5,3	11	5,3	22	11	308	153
46,23	ZV318S_K302_0460 ME10	3800	3500	6000	≤19	0,39	83	33	12	30	3	18	57,3	11	5,3	11	5,3	22	11	308	153
46,23	ZV318S_K302_0460 ME20	3700	3500	6000	≤24	0,39	83	33	12	30	3	18	57,3	11	5,3	11	5,3	22	11	308	153
48,63	ZV318S_K303_0490 ME20	3700	3500	6000	≤24	0,37	83	42	21	30	3	18	57,3	11	5,3	11	5,3	22	11	308	153
49,26	ZV318S_K303_0490 ME10	3800	3500	6000	≤19	0,37	83	42	21	30	3	18	57,3	8,8	5,3	8,8	5,3	11	11	253	153
50,49	ZV318S_K302_0500 ME10	3800	3500	6000	≤19	0,36	83	33	12	30	3	18	57,3	5,4	5,3	6,0	5,3	7,6	7,6	173	153
53,88	ZV318S_K303_0540 ME20	3700	3500	6000	≤24	0,33	83	42	21	30	3	18	57,3	11	5,3	11	5,3	22	11	308	153
54,58	ZV318S_K303_0550 ME10	3800	3500	6000	≤19	0,33	83	42	21	30	3	18	57,3	9,8	5,3	9,8	5,3	12	11	280	153
55,71	ZV318S_K302_0560 ME10	3800	3500	6000	≤19	0,32	83	33	12	30	3	18	57,3	9,2	5,3	11	5,3	18	11	308	153
55,71	ZV318S_K302_0560 ME20	3700	3500	6000	≤24	0,32	83	33	12	30	3	18	57,3	9,2	5,3	11	5,3	18	11	308	153
65,50	ZV318S_K303_0650 ME20	3700	3500	6000	≤24	0,28	83	42	21	30	3	18	57,3	11	5,3	11	5,3	22	11	308	153
66,35	ZV318S_K303_0660 ME10	3800	3500	6000	≤19	0,27	83	42	21	30	3	18	57,3	11	5,3	11	5,3	15	11	308	153
66,87	ZV318S_K303_0670 ME20	3700	3500	6000	≤24	0,27	83	42	21	30	3	18	57,3	11	5,3	11	5,3	22	11	308	153
67,73	ZV318S_K303_0680 ME10	3800	3500	6000	≤19	0,27	83	42	21	30	3	18	57,3	11	5,3	11	5,3	15	11	308	153
69,43	ZV318S_K302_0690 ME10	3800	3500	6000	≤19	0,26	83	33	12	30	3	18	57,3	7,4	5,3	8,3	5,3	10	10	238	153
78,41	ZV318S_K303_0780 ME20	3700	3500	6000	≤24	0,23	83	42	21	30	3	18	57,3	11	5,3	11	5,3	22	11	308	153
79,42	ZV318S_K303_0790 ME10	3800	3500	6000	≤19	0,23	83	42	21	30	3	18	57,3	11	5,3	11	5,3	18	11	308	153
90,06	ZV318S_K303_0900 ME20	3700	3500	6000	≤24	0,20	83	42	21	30	3	18	57,3	11	5,3	11	5,3	22	11	308	153
91,23	ZV318S_K303_0910 ME10	3800	3500	6000	≤19	0,20	83	42	21	30	3	18	57,3	11	5,3	11	5,3	20	11	308	153
107,8	ZV318S_K303_1080 ME20	3700	3500	6000	≤24	0,17	83	42	21	30	3	18	57,3	11	5,3	11	5,3	22	11	308	153
109,2	ZV318S_K303_1090 ME10	3800	3500	6000	≤19	0,17	83	42	21	30	3	18	57,3	11	5,3	11	5,3	22	11	308	153
134,3	ZV318S_K303_1340 ME20	3700	3500	6000	≤24	0,13	83	42	21	30	3	18	57,3	11	5,3	11	5,3	22	11	308	153
136,0	ZV318S_K303_1360 ME10	3800	3500	6000	≤19	0,13	83	42	21	30	3	18	57,3	11	5,3	11	5,3	22	11	308	153
178,7	ZV318S_K303_1790 ME20	3700	3500	6000	≤24	0,10	83	42	21	30	3	18	57,3	11	5,3	11	5,3	22	11	308	153
181,0	ZV318S_K303_1810 ME10	3800	3500	6000	≤19	0,10	83	42	21	30	3	18	57,3	11	5,3	11	5,3	22	11	308	153
218,2	ZV318S_K303_2180 ME10	3800	3500	6000	≤19	0,08	83	42	21	30	3	18	57,3	9,2	5,3	11	5,3	18	11	308	153
271,9	ZV318S_K303_2720 ME10	3800	3500	6000	≤19	0,07	83	42	21	30	3	18	57,3	7,4	5,3	8,3	5,3	10	10	238	153
<b>ZV3K4 (F<sub>v2acc,max</sub> = 16 kN)</b>																					
4,000	ZV322S_K402_0040 ME30	2600	2200	3800	≤38	3,48	102	41	15	34	3	22	70,0	8,7	6,6	13	6,6	22	13	459	232
4,000	ZV322S_K402_0040 ME40	2600	2200	3800	≤48	3,48	102	41	15	34	3	22	70,0	8,7	6,6	13	6,6	22	13	459	232
4,364	ZV322S_K402_0044 ME30	2600	2200	3800	≤38	3,19	102	41	15	34	3	22	70,0	9,0	6,6	13	6,6	24	13	472	232
4,364	ZV322S_K402_0044 ME40	2600	2200	3800	≤48	3,19	102	41	15	34	3	22	70,0	9,0	6,6	13	6,6	24	13	472	232
5,422	ZV322S_K402_0054 ME30	2600	2200	3800	≤38	2,57	102	41	15	34	3	22	70,0</td								

i	Modelo	$n_{1\max DB}$		$n_{1\max ZV}$		$d_{MW}$	$v_{f2\max ZB}$	$\Delta s$	$\Delta s_{redl}$	$\Delta s_{redl}$	$C_{lin}$	$m_n$	$z$	$d_0$	$F_{f2N,S}$	$F_{f2N,E}$	$F_{f2accS}$	$F_{f2accE}$	$F_{f2NOT,S}$	$F_{f2NOT,E}$	$M_{2accS}$	$M_{2accE}$
		EL1,2	EL3,4,5,6	[min <sup>-1</sup> ]	[min <sup>-1</sup> ]	[mm]	[m/s]	[μm]	[μm]	[μm]	[N/ μm]	[mm]	[mm]	[kN]	[kN]	[kN]	[kN]	[kN]	[kN]	[Nm]	[Nm]	
<b>ZV3K4 (<math>F_{v2acc,max} = 16 \text{ kN}</math>)</b>																						
9,238	ZV322S_K402_0092 ME40	3000	2600	4500	$\leq 48$	1,79	102	41	15	34	3	22	70,0	12	6,6	16	6,6	31	13	577	232	
10,10	ZV322S_K402_0100 ME20	3400	3000	5000	$\leq 32$	1,82	102	41	15	34	3	22	70,0	12	6,6	16	6,6	21	13	577	232	
10,10	ZV322S_K402_0100 ME30	3400	3000	5000	$\leq 38$	1,82	102	41	15	34	3	22	70,0	12	6,6	16	6,6	31	13	577	232	
10,10	ZV322S_K402_0100 ME40	3000	3000	4500	$\leq 48$	1,63	102	41	15	34	3	22	70,0	12	6,6	16	6,6	31	13	577	232	
11,52	ZV322S_K402_0115 ME20	3000	2600	4500	$\leq 32$	1,43	102	41	15	34	3	22	70,0	12	6,6	16	6,6	24	13	577	232	
11,52	ZV322S_K402_0115 ME30	3000	2600	4500	$\leq 38$	1,43	102	41	15	34	3	22	70,0	12	6,6	16	6,6	31	13	577	232	
11,52	ZV322S_K402_0115 ME40	3000	2600	4500	$\leq 48$	1,43	102	41	15	34	3	22	70,0	12	6,6	16	6,6	31	13	577	232	
12,66	ZV322S_K402_0125 ME20	3400	3000	5000	$\leq 32$	1,45	102	41	15	34	3	22	70,0	13	6,6	16	6,6	25	13	577	232	
12,66	ZV322S_K402_0125 ME30	3400	3000	5000	$\leq 38$	1,45	102	41	15	34	3	22	70,0	13	6,6	16	6,6	31	13	577	232	
12,66	ZV322S_K402_0125 ME40	3000	3000	4500	$\leq 48$	1,30	102	41	15	34	3	22	70,0	13	6,6	16	6,6	31	13	577	232	
13,89	ZV322S_K402_0140 ME20	3400	3000	5000	$\leq 32$	1,32	102	41	15	34	3	22	70,0	13	6,6	16	6,6	29	13	577	232	
13,89	ZV322S_K402_0140 ME30	3400	3000	5000	$\leq 38$	1,32	102	41	15	34	3	22	70,0	13	6,6	16	6,6	31	13	577	232	
13,89	ZV322S_K402_0140 ME40	3000	3000	4500	$\leq 48$	1,19	102	41	15	34	3	22	70,0	13	6,6	16	6,6	31	13	577	232	
16,94	ZV322S_K402_0170 ME20	3600	3300	5500	$\leq 32$	1,19	102	41	15	34	3	22	70,0	14	6,6	16	6,6	29	13	577	232	
16,94	ZV322S_K402_0170 ME30	3500	3300	5000	$\leq 38$	1,08	102	41	15	34	3	22	70,0	14	6,6	16	6,6	31	13	577	232	
16,94	ZV322S_K402_0170 ME40	3000	3000	4500	$\leq 48$	0,97	102	41	15	34	3	22	70,0	14	6,6	16	6,6	31	13	577	232	
17,41	ZV322S_K402_0175 ME20	3400	3000	5000	$\leq 32$	1,05	102	41	15	34	3	22	70,0	14	6,6	16	6,6	31	13	577	232	
17,41	ZV322S_K402_0175 ME30	3400	3000	5000	$\leq 38$	1,05	102	41	15	34	3	22	70,0	14	6,6	16	6,6	31	13	577	232	
17,41	ZV322S_K402_0175 ME40	3000	3000	4500	$\leq 48$	0,95	102	41	15	34	3	22	70,0	14	6,6	16	6,6	31	13	577	232	
20,20	ZV322S_K402_0200 ME20	3600	3300	5500	$\leq 32$	1,00	102	41	15	34	3	22	70,0	15	6,6	16	6,6	31	13	577	232	
20,20	ZV322S_K402_0200 ME30	3500	3300	5000	$\leq 38$	0,91	102	41	15	34	3	22	70,0	15	6,6	16	6,6	31	13	577	232	
23,29	ZV322S_K402_0230 ME20	3600	3300	5500	$\leq 32$	0,87	102	41	15	34	3	22	70,0	16	6,6	16	6,6	31	13	577	232	
23,29	ZV322S_K402_0230 ME30	3500	3300	5000	$\leq 38$	0,79	102	41	15	34	3	22	70,0	16	6,6	16	6,6	31	13	577	232	
23,29	ZV322S_K402_0230 ME40	3000	3000	4500	$\leq 48$	0,71	102	41	15	34	3	22	70,0	16	6,6	16	6,6	31	13	577	232	
25,28	ZV322S_K402_0250 ME20	3600	3300	5500	$\leq 32$	0,80	102	41	15	34	3	22	70,0	14	6,6	16	6,6	29	13	577	232	
25,28	ZV322S_K402_0250 ME30	3500	3300	5000	$\leq 38$	0,73	102	41	15	34	3	22	70,0	14	6,6	16	6,6	29	13	577	232	
27,77	ZV322S_K402_0280 ME20	3600	3300	5500	$\leq 32$	0,73	102	41	15	34	3	22	70,0	16	6,6	16	6,6	31	13	577	232	
27,77	ZV322S_K402_0280 ME30	3500	3300	5000	$\leq 38$	0,66	102	41	15	34	3	22	70,0	16	6,6	16	6,6	31	13	577	232	
32,39	ZV322S_K403_0320 ME20	3600	3300	5500	$\leq 24$	0,62	102	51	25	34	3	22	70,0	13	6,6	13	6,6	16	13	462	232	
33,68	ZV322S_K402_0340 ME20	3600	3300	5500	$\leq 24$	0,60	102	41	15	34	3	22	70,0	11	6,6	13	6,6	20	13	467	232	
34,76	ZV322S_K402_0350 ME20	3600	3300	5500	$\leq 32$	0,58	102	41	15	34	3	22	70,0	16	6,6	16	6,6	31	13	577	232	
34,76	ZV322S_K402_0350 ME30	3500	3300	5000	$\leq 38$	0,53	102	41	15	34	3	22	70,0	16	6,6	16	6,6	31	13	577	232	
35,72	ZV322S_K403_0360 ME20	3600	3300	5500	$\leq 24$	0,57	102	51	25	34	3	22	70,0	15	6,6	15	6,6	18	13	509	232	
39,05	ZV322S_K403_0390 ME20	3600	3300	5500	$\leq 24$	0,52	102	51	25	34	3	22	70,0	16	6,6	16	6,6	20	13	557	232	
40,51	ZV322S_K402_0410 ME20	3600	3300	5500	$\leq 24$	0,50	102	41	15	34	3	22	70,0	8,8	6,6	11	6,6	18	13	370	232	
44,54	ZV322S_K403_0450 ME20	3600	3300	5500	$\leq 24$	0,45	102	51	25	34	3	22	70,0	16	6,6	16	6,6	23	13	577	232	
46,31	ZV322S_K402_0460 ME20	3600	3300	5500	$\leq 24$	0,44	102	41	15	34	3	22	70,0	15	6,6	16	6,6	28	13	577	232	
48,94	ZV322S_K403_0490 ME20	3600	3300	5500	$\leq 24$	0,41	102	51	25	34	3	22	70,0	16	6,6	16	6,6	25	13	577	232	
50,43	ZV322S_K402_0500 ME20	3600	3300	5500	$\leq 24$	0,40	102	41	15	34	3	22	70,0	7,7	6,6	9,2	6,6	15	13	323	232	
53,69	ZV322S_K403_0540 ME20	3600	3300	5500	$\leq 24$	0,38	102	51	25	34	3	22	70,0	16	6,6	16	6,6	27	13	577	232	
55,71	ZV322S_K402_0560 ME20	3600	3300	5500	$\leq 24$	0,36	102	41	15	34	3	22	70,0	12	6,6	15	6,6	24	13	508	232	
65,50	ZV322S_K403_0650 ME20	3600	3300	5500	$\leq 24$	0,31	102	51	25	34	3	22	70,0	16	6,6	16	6,6	29	13	577	232	
66,35	ZV322S_K403_0660 ME10	3600	3300	5500	$\leq 19$	0,30	102	51	25	34	3	22	70,0	9,7	6,6	9,7	6,6	12	12	340	232	
67,30	ZV322S_K403_0670 ME20	3600	3300	5500	$\leq 24$	0,30	102	51	25	34	3	22	70,0	16	6,6	16	6,6	31	13	577	232	
69,34	ZV322S_K402_0690 ME20	3600	3300	5500	$\leq 24$	0,29	102	41	15	34	3	22	70,0	11	6,6	13	6,6	21	13	445	232	
78,10	ZV322S_K403_0780 ME20	3600	3300	5500	$\leq 24$	0,26	102	51	25	34	3	22	70,0	16	6,6	16	6,6	31	13	577	232	
79,11	ZV322S_K403_0790 ME10	3600	3300	5500	$\leq 19$	0,26	102	51	25	34	3	22	70,0	12	6,6	12	6,6	14	13	406	232	
90,06	ZV322S_K403_0900 ME20	3600	3300	5500	$\leq 24$	0,22	102	51	25	34	3	22	70,0	16	6,6	16	6,6	31	13	577	232	
91,23	ZV322S_K403_0910 ME10	3600	3300	5500	$\leq 19$	0,22	102	51</td														

i	Modelo	n <sub>1maxDB</sub>	n <sub>1maxZV</sub>	d <sub>MW</sub>	v <sub>f2maxZB</sub>	Δs	Δs <sub>redll</sub>	Δs <sub>redi</sub>	C <sub>lin</sub>	m <sub>n</sub>	z	d <sub>0</sub>	F <sub>f2N,S</sub>	F <sub>f2N,E</sub>	F <sub>f2accS</sub>	F <sub>f2accE</sub>	F <sub>f2NOT,S</sub>	F <sub>f2NOT,E</sub>	M <sub>2accS</sub>	M <sub>2accE</sub>	
		EL1,2 [min <sup>-1</sup> ]	EL3,4,5,6 [min <sup>-1</sup> ]	[mm]	[m/s]	[μm]	[μm]	[μm]	[N/ μm]	[mm]	[mm]	[kN]	[kN]	[kN]	[kN]	[kN]	[kN]	[Nm]	[Nm]		
<b>ZV4K4 (F<sub>vacc,max</sub> = 15 kN)</b>																					
5,422	ZV418S_K402_0054 ME40	2600	2200	3800	≤48	2,80	111	44	17	34	4	18	76,4	8,9	6,9	13	6,9	28	14	508	265
6,000	ZV418S_K402_0060 ME30	2600	2200	3800	≤38	2,53	111	44	17	34	4	18	76,4	9,2	6,9	14	6,9	29	14	525	265
6,000	ZV418S_K402_0060 ME40	2600	2200	3800	≤48	2,53	111	44	17	34	4	18	76,4	9,2	6,9	14	6,9	29	14	525	265
6,719	ZV418S_K402_0067 ME20	3000	2600	4500	≤32	2,68	111	44	17	33	4	18	76,4	9,5	6,9	10	6,9	13	13	391	265
6,719	ZV418S_K402_0067 ME30	3000	2600	4500	≤38	2,68	111	44	17	34	4	18	76,4	9,5	6,9	14	6,9	29	14	545	265
6,719	ZV418S_K402_0067 ME40	3000	2600	4500	≤48	2,68	111	44	17	34	4	18	76,4	9,5	6,9	14	6,9	29	14	545	265
7,456	ZV418S_K402_0075 ME30	2600	2200	3800	≤38	2,04	111	44	17	34	4	18	76,4	9,9	6,9	15	6,9	29	14	564	265
7,456	ZV418S_K402_0075 ME40	2600	2200	3800	≤48	2,04	111	44	17	34	4	18	76,4	9,9	6,9	15	6,9	29	14	564	265
8,377	ZV418S_K402_0084 ME20	3000	2600	4500	≤32	2,15	111	44	17	34	4	18	76,4	10	6,9	13	6,9	16	14	488	265
8,377	ZV418S_K402_0084 ME30	3000	2600	4500	≤38	2,15	111	44	17	34	4	18	76,4	10	6,9	15	6,9	29	14	573	265
8,377	ZV418S_K402_0084 ME40	3000	2600	4500	≤48	2,15	111	44	17	34	4	18	76,4	10	6,9	15	6,9	29	14	573	265
9,238	ZV418S_K402_0092 ME20	3000	2600	4500	≤32	1,95	111	44	17	34	4	18	76,4	11	6,9	14	6,9	18	14	538	265
9,238	ZV418S_K402_0092 ME30	3000	2600	4500	≤38	1,95	111	44	17	34	4	18	76,4	11	6,9	15	6,9	29	14	573	265
9,238	ZV418S_K402_0092 ME40	3000	2600	4500	≤48	1,95	111	44	17	34	4	18	76,4	11	6,9	15	6,9	29	14	573	265
10,10	ZV418S_K402_0100 ME20	3400	3000	5000	≤32	1,98	111	44	17	34	4	18	76,4	11	6,9	15	6,9	19	14	573	265
10,10	ZV418S_K402_0100 ME30	3400	3000	5000	≤38	1,98	111	44	17	34	4	18	76,4	11	6,9	15	6,9	29	14	573	265
10,10	ZV418S_K402_0100 ME40	3000	3000	4500	≤48	1,78	111	44	17	34	4	18	76,4	11	6,9	15	6,9	29	14	573	265
11,52	ZV418S_K402_0115 ME20	3000	2600	4500	≤32	1,56	111	44	17	34	4	18	76,4	11	6,9	15	6,9	22	14	573	265
11,52	ZV418S_K402_0115 ME30	3000	2600	4500	≤38	1,56	111	44	17	34	4	18	76,4	11	6,9	15	6,9	29	14	573	265
11,52	ZV418S_K402_0115 ME40	3000	2600	4500	≤48	1,56	111	44	17	34	4	18	76,4	11	6,9	15	6,9	29	14	573	265
12,66	ZV418S_K402_0125 ME20	3400	3000	5000	≤32	1,58	111	44	17	34	4	18	76,4	12	6,9	15	6,9	23	14	573	265
12,66	ZV418S_K402_0125 ME30	3400	3000	5000	≤38	1,58	111	44	17	34	4	18	76,4	12	6,9	15	6,9	29	14	573	265
12,66	ZV418S_K402_0125 ME40	3000	3000	4500	≤48	1,42	111	44	17	34	4	18	76,4	12	6,9	15	6,9	29	14	573	265
13,89	ZV418S_K402_0140 ME20	3400	3000	5000	≤32	1,44	111	44	17	34	4	18	76,4	12	6,9	15	6,9	26	14	573	265
13,89	ZV418S_K402_0140 ME30	3400	3000	5000	≤38	1,44	111	44	17	34	4	18	76,4	12	6,9	15	6,9	29	14	573	265
13,89	ZV418S_K402_0140 ME40	3000	3000	4500	≤48	1,30	111	44	17	34	4	18	76,4	12	6,9	15	6,9	29	14	573	265
16,94	ZV418S_K402_0170 ME20	3600	3300	5500	≤32	1,30	111	44	17	34	4	18	76,4	13	6,9	15	6,9	27	14	573	265
16,94	ZV418S_K402_0170 ME30	3500	3300	5000	≤38	1,18	111	44	17	34	4	18	76,4	13	6,9	15	6,9	29	14	573	265
16,94	ZV418S_K402_0170 ME40	3000	3000	4500	≤48	1,06	111	44	17	34	4	18	76,4	13	6,9	15	6,9	29	14	573	265
17,41	ZV418S_K402_0175 ME20	3400	3000	5000	≤32	1,15	111	44	17	34	4	18	76,4	13	6,9	15	6,9	29	14	573	265
17,41	ZV418S_K402_0175 ME30	3400	3000	5000	≤38	1,15	111	44	17	34	4	18	76,4	13	6,9	15	6,9	29	14	573	265
17,41	ZV418S_K402_0175 ME40	3000	3000	4500	≤48	1,03	111	44	17	34	4	18	76,4	13	6,9	15	6,9	29	14	573	265
20,20	ZV418S_K402_0200 ME20	3600	3300	5500	≤32	1,09	111	44	17	34	4	18	76,4	14	6,9	15	6,9	29	14	573	265
20,20	ZV418S_K402_0200 ME30	3500	3300	5000	≤38	0,99	111	44	17	34	4	18	76,4	14	6,9	15	6,9	29	14	573	265
23,29	ZV418S_K402_0230 ME20	3600	3300	5500	≤32	0,95	111	44	17	34	4	18	76,4	14	6,9	15	6,9	29	14	573	265
23,29	ZV418S_K402_0230 ME30	3500	3300	5000	≤38	0,86	111	44	17	34	4	18	76,4	14	6,9	15	6,9	29	14	573	265
23,29	ZV418S_K402_0230 ME40	3000	3000	4500	≤48	0,77	111	44	17	34	4	18	76,4	14	6,9	15	6,9	29	14	573	265
25,28	ZV418S_K402_0250 ME20	3600	3300	5500	≤32	0,87	111	44	17	34	4	18	76,4	13	6,9	15	6,9	26	14	573	265
25,28	ZV418S_K402_0250 ME30	3500	3300	5000	≤38	0,79	111	44	17	34	4	18	76,4	13	6,9	15	6,9	26	14	573	265
27,77	ZV418S_K402_0280 ME20	3600	3300	5500	≤32	0,79	111	44	17	34	4	18	76,4	14	6,9	15	6,9	29	14	573	265
27,77	ZV418S_K402_0280 ME30	3500	3300	5000	≤38	0,72	111	44	17	34	4	18	76,4	14	6,9	15	6,9	29	14	573	265
32,39	ZV418S_K403_0320 ME20	3600	3300	5500	≤24	0,68	111	56	28	34	4	18	76,4	12	6,9	12	6,9	15	14	462	265
33,68	ZV418S_K402_0340 ME20	3600	3300	5500	≤24	0,65	111	44	17	34	4	18	76,4	10	6,9	12	6,9	19	14	467	265
34,76	ZV418S_K402_0350 ME20	3600	3300	5500	≤32	0,63	111	44	17	34	4	18	76,4	14	6,9	15	6,9	29	14	573	265
34,76	ZV418S_K402_0350 ME30	3500	3300	5000	≤38	0,58	111	44	17	34	4	18	76,4	14	6,9	15	6,9	29	14	573	265
35,72	ZV418S_K403_0360 ME20	3600	3300	5500	≤24	0,62	111	56	28	34	4	18	76,4	13	6,9	13	6,9	17	14	509	265
39,05	ZV418S_K403_0390 ME20	3600	3300	5500	≤24	0,56	111	56	28	34	4	18	76,4	14	6,9	15	6,9	18	14	557	265
40,51	ZV418S_K402_0410 ME20	3600	3300	5500	≤24	0,54	111	44	17	34	4	18	76,4	8,1	6,9	9,7	6,9	16	14	370	265
44,54	ZV418S_K403_0450 ME20	3600	3300	5500	≤24	0,49	111	56	28	34	4	18	76,4	14	6,9	15	6,9	21	14	573	265
46,31	ZV418S_K402_0460 ME20	3600	3300	5500	≤24	0,48	111	44	17	34	4	18	76,4	14	6,9	15	6,9	26	14	573	265
48,94	ZV418S_K403_0490 ME20	3600	3300	5500	≤24	0,45	111	56	28	34											

i	Modelo	$n_{1\max DB}$	$n_{1\max ZV}$	$d_{MW}$	$v_{f2\max ZB}$	$\Delta s$	$\Delta s_{redl}$	$\Delta s_{redl}$	$C_{lin}$	$m_n$	$z$	$d_0$	$F_{f2N,S}$	$F_{f2N,E}$	$F_{f2accS}$	$F_{f2accE}$	$F_{f2NOT,S}$	$F_{f2NOT,E}$	$M_{2accS}$	$M_{2accE}$	
		EL1,2	EL3,4,5,6	[min <sup>-1</sup> ]	[min <sup>-1</sup> ]	[mm]	[m/s]	[μm]	[μm]	[μm]	[N/ μm]	[mm]	[mm]	[kN]	[kN]	[kN]	[kN]	[kN]	[Nm]	[Nm]	
<b>ZV4K4 (<math>F_{v2acc,max} = 15 \text{ kN}</math>)</b>																					
134,4	ZV418S_K403_1340 ME20	3600	3300	5500	$\leq 24$	0,16	111	56	28	34	4	18	76,4	14	6,9	15	6,9	29	14	573	265
136,1	ZV418S_K403_1360 ME10	3600	3300	5500	$\leq 19$	0,16	111	56	28	34	4	18	76,4	14	6,9	15	6,9	21	14	573	265
179,1	ZV418S_K403_1790 ME20	3600	3300	5500	$\leq 24$	0,12	111	56	28	34	4	18	76,4	14	6,9	15	6,9	26	14	573	265
181,4	ZV418S_K403_1810 ME10	3600	3300	5500	$\leq 19$	0,12	111	56	28	34	4	18	76,4	14	6,9	15	6,9	26	14	573	265
215,4	ZV418S_K403_2150 ME20	3600	3300	5500	$\leq 24$	0,10	111	56	28	34	4	18	76,4	11	6,9	13	6,9	22	14	508	265
218,2	ZV418S_K403_2180 ME10	3600	3300	5500	$\leq 19$	0,10	111	56	28	34	4	18	76,4	11	6,9	13	6,9	22	14	508	265
271,6	ZV418S_K403_2720 ME10	3600	3300	5500	$\leq 19$	0,08	111	56	28	34	4	18	76,4	9,7	6,9	12	6,9	19	14	445	265



## 12.3 Esquemas de dimensiones

Este capítulo contiene la información sobre las dimensiones de los accionamientos de cremallera con adaptadores de motor.

La medida  $az$  en las tablas de dimensiones es válida para cremalleras STOBER. En general se aplica lo siguiente:  $az = \frac{1}{2} d_0 + h_0 + x * m_n$

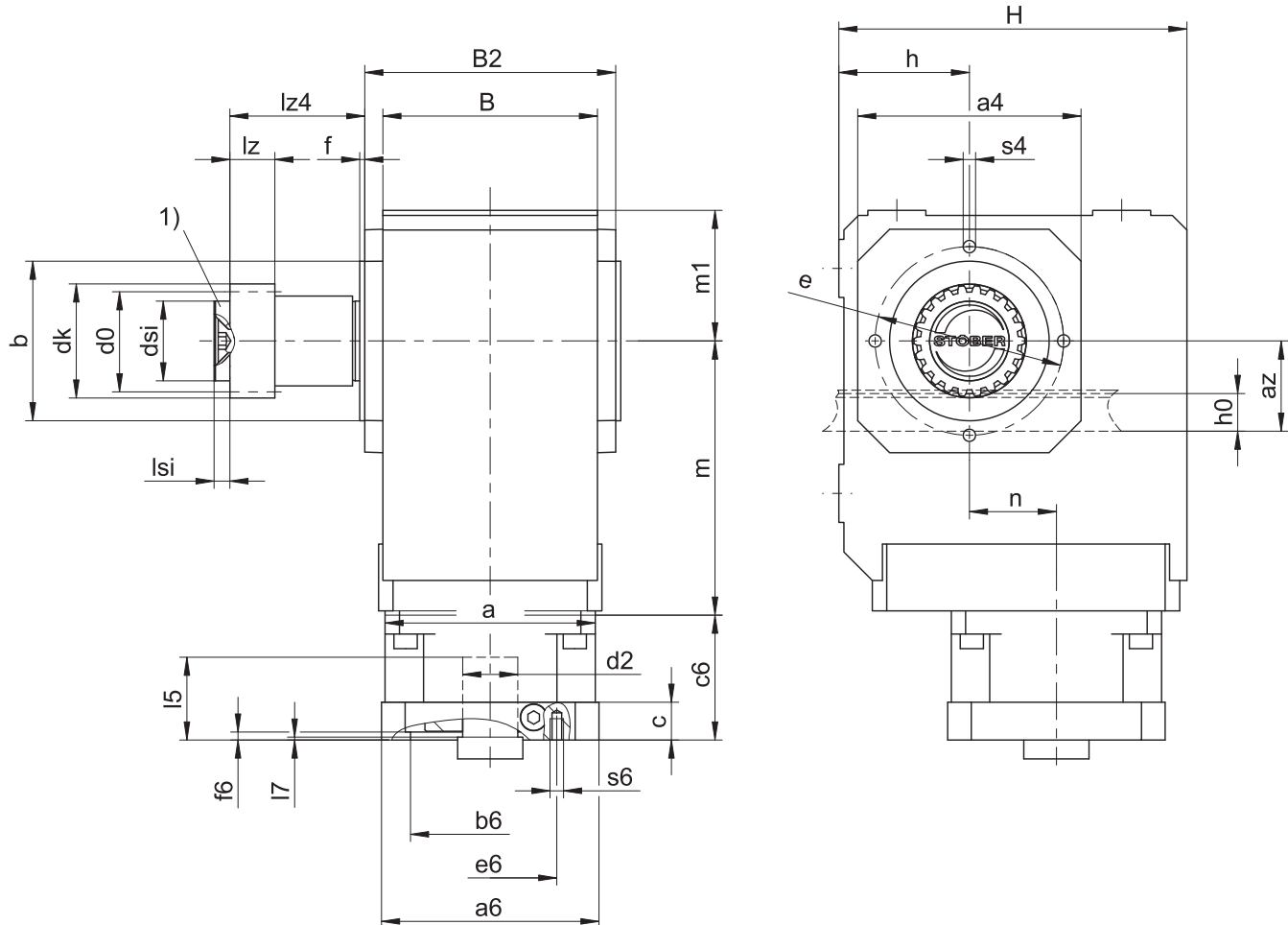
Piñón del accionamiento de cremallera con dentado helicoidal (ascendente a la izquierda  $19^\circ 31' 42''$ ). La calidad del dentado del piñón es 6.

Las tolerancias de fundición o bien la suma de las tolerancias individuales pueden provocar que las medidas sobrepasen las especificaciones de ISO 2768-mK.

Nos reservamos el derecho de realizar cambios en las dimensiones en pro del desarrollo tecnológico.

Los modelos 3D de nuestros accionamientos estándar se pueden descargar en <https://configurator.stober.de/en-US/>.

### 12.3.1 Posición de piñón E



1) Seguro axial (opcional)

#### Medidas salida

Modelo	$m_n$	$a_z$	$\square a_4$	$\emptyset b$	B	B2	$\emptyset d_0$	$\emptyset d_k$	$\emptyset d_{s1}$	$\emptyset e$	f	h	$h_0$	H	$l_z$	$l_{z4}$	$l_{si}$	$m_1$	$s_4$	x
ZV220SEK102_	2	44,02	105	$75_{j6}$	90	106	42,44	47,90	30	90	3,0	60	22	160	26	50,5	6	60	M8	0,4
ZV225SEK202_	2	49,33	116	$82_{j6}$	115	134	53,05	58,52	45	100	3,0	65	22	190	26	67,5	8	65	M8	0,4
ZV225SEK203_	2	49,33	116	$82_{j6}$	115	134	53,05	58,52	45	100	3,0	65	22	190	26	67,5	8	65	M8	0,4
ZV318SEK202_	3	55,55	116	$82_{j6}$	115	134	57,30	65,01	45	100	3,0	65	26	190	31	67,5	8	65	M8	0,3
ZV318SEK203_	3	55,55	116	$82_{j6}$	115	134	57,30	65,01	45	100	3,0	65	26	190	31	67,5	8	65	M8	0,3
ZV225SEK302_	2	49,33	132	$95_{j6}$	130	146	53,05	58,52	45	115	3,0	75	22	213	26	68,5	8	75	M8	0,4
ZV225SEK303_	2	49,33	132	$95_{j6}$	130	146	53,05	58,52	45	115	3,0	75	22	213	26	68,5	8	75	M8	0,4
ZV318SEK302_	3	55,55	132	$95_{j6}$	130	146	57,30	65,01	45	115	3,0	75	26	213	31	68,5	8	75	M8	0,3
ZV318SEK303_	3	55,55	132	$95_{j6}$	130	146	57,30	65,01	45	115	3,0	75	26	213	31	68,5	8	75	M8	0,3
ZV322SEK402_	3	62,21	152	$110_{j6}$	148	173	70,03	78,35	55	130	3,5	90	26	240	31	93,0	10	90	M10	0,4
ZV322SEK403_	3	62,21	152	$110_{j6}$	148	173	70,03	78,35	55	130	3,5	90	26	240	31	93,0	10	90	M10	0,4
ZV418SEK402_	4	74,40	152	$110_{j6}$	148	173	76,40	86,77	55	130	3,5	90	35	240	41	93,0	10	90	M10	0,3
ZV418SEK403_	4	74,40	152	$110_{j6}$	148	173	76,40	86,77	55	130	3,5	90	35	240	41	93,0	10	90	M10	0,3

Modelo	ME10			ME20			ME30			ME40		
	a	m	n	a	m	n	a	m	n	a	m	n
ZV2_K102_	□98	124	36,0	□115	128	36,0	—	—	—	—	—	—
ZV2_K202_	□98	143	46,0	□115	147	46,0	□145	149	46,0	—	—	—
ZV2_K203_	Ø140	180	46,0	—	—	—	—	—	—	—	—	—
ZV2_K302_	Ø140	163	52,5	□115	167	52,5	□145	169	52,5	—	—	—
ZV2_K303_	Ø140	200	52,5	Ø160	210	16,0	—	—	—	—	—	—
ZV3_K202_	□98	143	46,0	□115	147	46,0	□145	149	46,0	—	—	—
ZV3_K203_	Ø140	180	46,0	—	—	—	—	—	—	—	—	—
ZV3_K302_	Ø140	163	52,5	□115	167	52,5	□145	169	52,5	—	—	—
ZV3_K303_	Ø140	200	52,5	Ø160	210	16,0	—	—	—	—	—	—
ZV3_K402_	—	—	—	Ø160	187	60,0	□145	189	60,0	□190	192	60,0
ZV3_K403_	Ø140	220	60,0	Ø160	230	23,0	—	—	—	—	—	—
ZV4_K402_	—	—	—	Ø160	187	60,0	□145	189	60,0	□190	192	60,0
ZV4_K403_	Ø140	220	60,0	Ø160	230	23,0	—	—	—	—	—	—

**Ejemplos de medidas de conexión del motor**

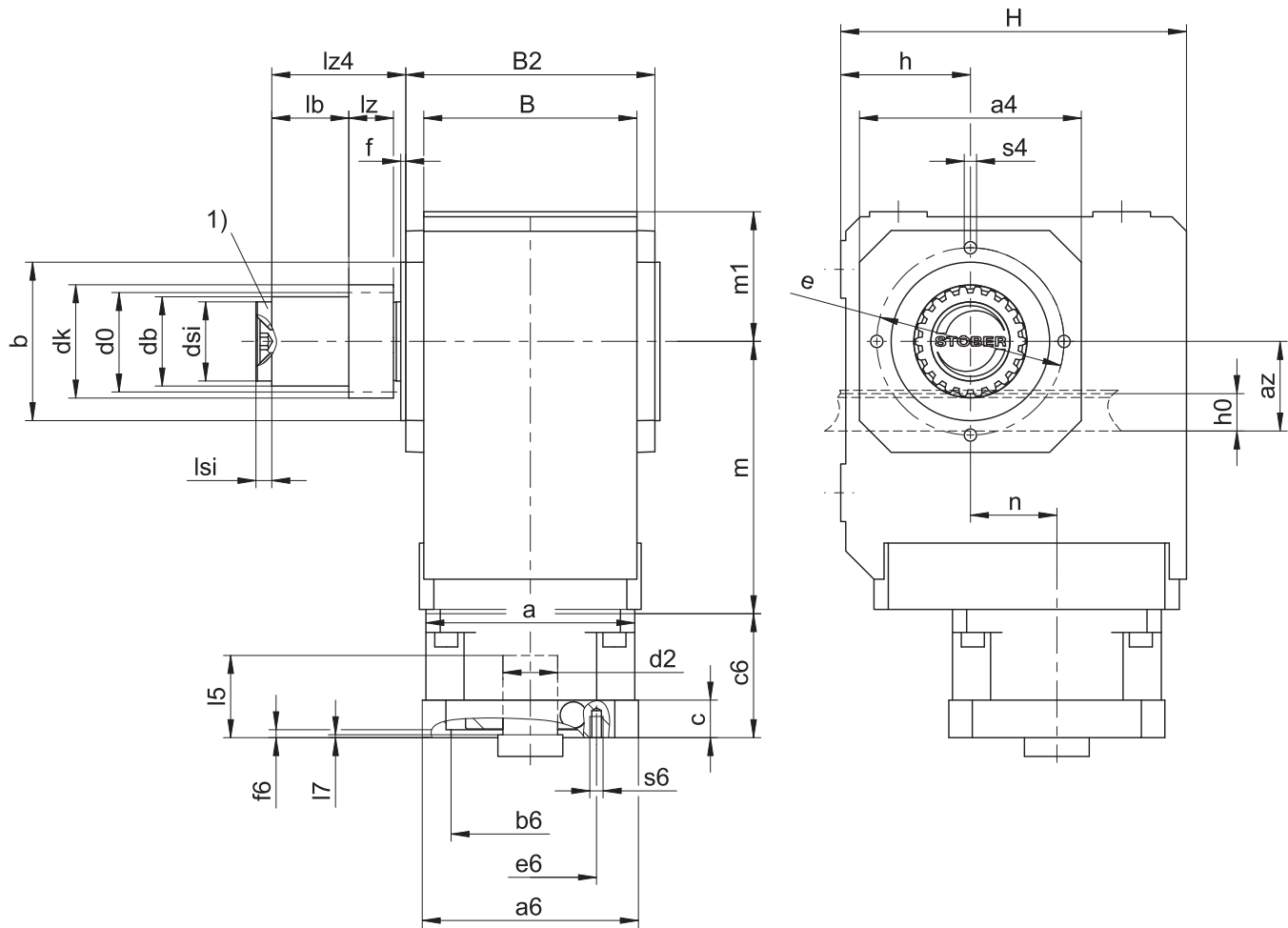
Modelo	Øb6	Øe6	Ød2max	l5	□a6	c	c6	f6	l7	s6
ME10	95 <sup>H7</sup>	115	19	41	100	21	61	4,0	3,0	M8
ME20	110 <sup>H7</sup>	130	32	53	120	24	74	4,0	3,5	M8
ME30	130 <sup>H7</sup>	165	38	62	150	26	86	5,5	4,5	M10
ME40	180 <sup>H7</sup>	215	48	82	204	35	123	5,5	5,5	M12

La tabla de arriba contiene ejemplos de medidas de la conexión del motor para el adaptador de motor ME.

**Tenga en cuenta que las medidas c6 e l5 se alargan correspondientemente cuando se alarga la medida c.**

Encontrará las medidas de conexión del motor para los adaptadores de motor ME en el STOBER Configurator en <https://configurator.stoeber.de/en-US/>. Allí podrá descargar directamente un modelo 3D de su accionamiento.

### 12.3.2 Posición de piñón S



1) Seguro axial (opcional)

#### Medidas salida

Modelo	mn	az	$\square a4$	$\emptyset b$	B	B2	$\emptyset d0$	$\emptyset db$	$\emptyset dk$	$\emptyset ds1$	$\emptyset e$	f	h	$h0$	H	$lb$	$lz$	$l4$	$lsi$	$m1$	$\emptyset s4$	x
ZV220SSK102_	2	44,02	105	$75_{\text{j6}}$	90	106	42,44	38	47,90	30	90	3,0	60	22	160	12,5	26	50,5	6	60	M8	0,4
ZV225SSK202_	2	49,33	116	$82_{\text{j6}}$	115	134	53,05	50	58,52	45	100	3,0	65	22	190	34,5	26	67,5	8	65	M8	0,4
ZV225SSK203_	2	49,33	116	$82_{\text{j6}}$	115	134	53,05	50	58,52	45	100	3,0	65	22	190	34,5	26	67,5	8	65	M8	0,4
ZV318SSK202_	3	55,55	116	$82_{\text{j6}}$	115	134	57,30	50	65,01	45	100	3,0	65	26	190	29,5	31	67,5	8	65	M8	0,3
ZV318SSK203_	3	55,55	116	$82_{\text{j6}}$	115	134	57,30	50	65,01	45	100	3,0	65	26	190	29,5	31	67,5	8	65	M8	0,3
ZV225SSK302_	2	49,33	132	$95_{\text{j6}}$	130	146	53,05	50	58,52	45	115	3,0	75	22	213	34,5	26	68,5	8	75	M8	0,4
ZV225SSK303_	2	49,33	132	$95_{\text{j6}}$	130	146	53,05	50	58,52	45	115	3,0	75	22	213	34,5	26	68,5	8	75	M8	0,4
ZV318SSK302_	3	55,55	132	$95_{\text{j6}}$	130	146	57,30	50	65,01	45	115	3,0	75	26	213	29,5	31	68,5	8	75	M8	0,3
ZV318SSK303_	3	55,55	132	$95_{\text{j6}}$	130	146	57,30	50	65,01	45	115	3,0	75	26	213	29,5	31	68,5	8	75	M8	0,3
ZV322SSK402_	3	62,21	152	$110_{\text{j6}}$	148	173	70,03	62	78,35	55	130	3,5	90	26	240	53,5	31	93,0	10	90	M10	0,4
ZV322SSK403_	3	62,21	152	$110_{\text{j6}}$	148	173	70,03	62	78,35	55	130	3,5	90	26	240	53,5	31	93,0	10	90	M10	0,4
ZV418SSK402_	4	74,40	152	$110_{\text{j6}}$	148	173	76,40	62	86,77	55	130	3,5	90	35	240	43,5	41	93,0	10	90	M10	0,3
ZV418SSK403_	4	74,40	152	$110_{\text{j6}}$	148	173	76,40	62	86,77	55	130	3,5	90	35	240	43,5	41	93,0	10	90	M10	0,3

Modelo	ME10			ME20			ME30			ME40		
	a	m	n	a	m	n	a	m	n	a	m	n
ZV2_K102_	□98	124	36,0	□115	128	36,0	—	—	—	—	—	—
ZV2_K202_	□98	143	46,0	□115	147	46,0	□145	149	46,0	—	—	—
ZV2_K203_	Ø140	180	46,0	—	—	—	—	—	—	—	—	—
ZV2_K302_	Ø140	163	52,5	□115	167	52,5	□145	169	52,5	—	—	—
ZV2_K303_	Ø140	200	52,5	Ø160	210	16,0	—	—	—	—	—	—
ZV3_K202_	□98	143	46,0	□115	147	46,0	□145	149	46,0	—	—	—
ZV3_K203_	Ø140	180	46,0	—	—	—	—	—	—	—	—	—
ZV3_K302_	Ø140	163	52,5	□115	167	52,5	□145	169	52,5	—	—	—
ZV3_K303_	Ø140	200	52,5	Ø160	210	16,0	—	—	—	—	—	—
ZV3_K402_	—	—	—	Ø160	187	60,0	□145	189	60,0	□190	192	60,0
ZV3_K403_	Ø140	220	60,0	Ø160	230	23,0	—	—	—	—	—	—
ZV4_K402_	—	—	—	Ø160	187	60,0	□145	189	60,0	□190	192	60,0
ZV4_K403_	Ø140	220	60,0	Ø160	230	23,0	—	—	—	—	—	—

**Ejemplos de medidas de conexión del motor**

Modelo	Øb6	Øe6	Ød2max	l5	□a6	c	c6	f6	l7	s6
ME10	95 <sup>H7</sup>	115	19	41	100	21	61	4,0	3,0	M8
ME20	110 <sup>H7</sup>	130	32	53	120	24	74	4,0	3,5	M8
ME30	130 <sup>H7</sup>	165	38	62	150	26	86	5,5	4,5	M10
ME40	180 <sup>H7</sup>	215	48	82	204	35	123	5,5	5,5	M12

La tabla de arriba contiene ejemplos de medidas de la conexión del motor para el adaptador de motor ME.

**Tenga en cuenta que las medidas c6 e l5 se alargan correspondientemente cuando se alarga la medida c.**

Encontrará las medidas de conexión del motor para los adaptadores de motor ME en el STOBER Configurator en <https://configurator.stoeber.de/en-US/>. Allí podrá descargar directamente un modelo 3D de su accionamiento.

## 12.4 Denominación de tipo

Este capítulo contiene información sobre la denominación de tipo y las opciones pertinentes.

Los datos de pedido que no forman parte de la denominación de tipo se incluyen al final del capítulo.

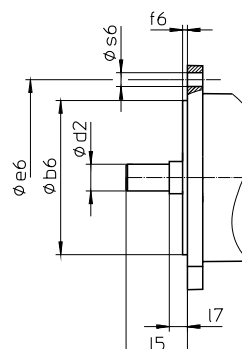
### Código de ejemplo

Z	V	3	22	S	S	K	4	0	2	V	G	0084	ME30
---	---	---	----	---	---	---	---	---	---	---	---	------	------

### Explicación

Código	Denominación	Versión
Z	Tipo	Accionamiento de cremallera
V	Versión	Piñón insertable
3	Módulo estándar	$m_n = 3 \text{ mm}$ (ejemplo)
22	Número de dientes	$z = 22$ (ejemplo)
S	Dentado	con dentado helicoidal (ascendente a la izquierda $19^\circ 31' 42''$ )
E	Posición del piñón	Extremo del eje
S		Reborde del eje
K	Tipo	Reductor cónico
4	Tamaño	4 (ejemplo)
0	Generación	Generación 0
1		Generación 1
2	Etapas	2 etapas
3		3 etapas
V	Eje	Eje macizo
G	Carcasa	Círculo de agujeros roscados
0084	Número característico de reducción ( $i_x$ 10 redondeado)	$i = 8,377$ (ejemplo)
ME30	Adaptador de motor	Adaptador de motor ME30 (ejemplo) con acoplamiento EasyAdapt
MQ		Adaptador de motor cuadrado con acoplamiento enchufable sin holgura
MB <sup>1</sup>		Adaptador de motor ServoStop con freno

Para completar la denominación de tipo, indique también la siguiente información al hacer el pedido:



- Tipo de motor o dimensiones del motor:

Para elegir la conexión de motor adecuada, seleccione su motor o las dimensiones de la conexión del motor en el STOBER Configurator en <https://configurator.stoeber.de/en-US/>.

- Para la posición de montaje, véase el capítulo [▶ 12.5.6]
- Montaje del eje macizo: lado 3 o 4 del reductor
- Círculo de agujeros roscados: lado 3 o 4 del reductor
- Juego de giro: estándar/categoría II/categoría I. Juego de giro de categoría II y categoría I con un suplemento de precio.
- Seguro axial (opcional), véase el capítulo [▶ 12.3]
- Para la posición del acceso al tornillo de apriete, véase el capítulo [▶ 12.5.8]
- ZV\_K102\_, ZV\_K202\_, ZV\_K302\_, ZV\_K402\_: seguro de piñón para adaptador de motor (opcional)

- Sellado doble para adaptador de motor ME (opcional)

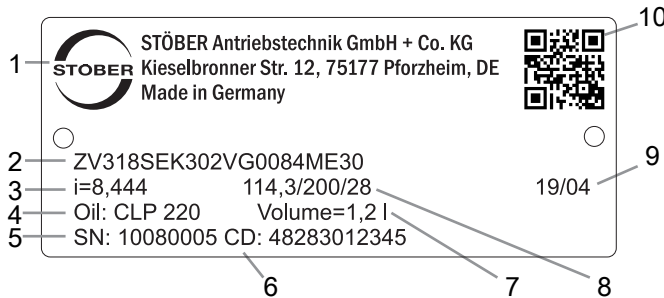
Los lados del reductor se explican en el capítulo [▶ 12.5.6]

Este catálogo de productos incluye toda la información relacionada con los accionamientos de cremallera con adaptador de motor.

Encontrará todas las opciones de entrada disponibles bajo petición en el capítulo [▶ 12.5.1].

## 12.4.1 Placa de características

En la siguiente figura se explica a modo de ejemplo la placa de características de un reductor.



Código	Denominación
1	Denominación del fabricante
2	Denominación de tipo
3	Transmisión del reductor
4	Especificación del lubricante
5	Número de serie del reductor
6	Datos específicos del cliente
7	Cantidad de llenado de lubricante
8	Medidas del adaptador de motor
9	Fecha de fabricación (año/semana)
10	Código QR (enlace a la información de producto)

### 12.4.1.1 Documentos aplicables

Puede ver o descargar los documentos aplicables para el producto introduciendo el número de serie que aparece en la placa de características del producto en la siguiente dirección de Internet:

<https://id.stober.com>

Alternativamente, con un dispositivo móvil adecuado puede escanear el código QR de la placa de características del producto y de este modo acceder a los documentos aplicables.

## 12.5 Descripción del producto

### 12.5.1 Opciones de entrada

Este capítulo incluye todas las opciones de entrada disponibles:

Adaptador de motor ME



N.º de id. del catálogo de productos 443137\_es

Servomotor síncrono EZ



N.º de id. del catálogo de productos 443286\_en

Adaptador de motor MB



Bajo petición

Motor Lean LM



Bajo petición

Puede encontrar los catálogos de productos correspondientes en <http://www.stoeber.de/es/downloads/>

Introduzca el n.º de id. del catálogo de productos en el campo Termine di ricercaérmino de búsqueda.

Accionamientos de cremallera con reductores K de juego reducido también disponibles bajo demanda. Para ello, envíenos un correo electrónico a sales@stoeber.de.

### 12.5.2 Adaptador de motor con acoplamiento EasyAdapt (ME)

Este capítulo contiene la descripción del acoplamiento EasyAdapt.

#### Propiedades:

- Montaje sencillo y rápido del motor
- Acoplamiento de compresión patentado y robusto con función de expansión
- Momentos de inercia mínimos para el máximo dinamismo
- Equilibrado para un funcionamiento suave y sin vibraciones, incluso con un régimen de revoluciones elevado
- Amplia selección de diámetros y longitudes del eje del motor
- Sin fallos gracias al centrado exacto del motor



Fig. 1: Acoplamiento EasyAdapt

## 12.5.3 Adaptador de motor cuadrado con acoplamiento enchufable sin holgura (MQ)

Este capítulo contiene la descripción del acoplamiento enchufable sin holgura (acoplamiento de garras).

**Propiedades:**

- Montaje sencillo y rápido del motor
- El motor se puede desmontar en cualquier posición
- Con compensación longitudinal térmica integrada, compensa las dilataciones lineales del eje del motor
- Eje del motor desacoplado de las fuerzas axiales
- Equilibrado para un funcionamiento suave y sin vibraciones, incluso con un régimen de revoluciones elevado
- Amplia selección de diámetros y longitudes del eje del motor
- Sin fallos gracias al centrado exacto del motor



Fig. 2: Acoplamiento enchufable sin holgura

Todos los datos técnicos y combinaciones con nuestros reductores pueden encontrarse en <https://configurator.stoeber.de/en-US/>.

## 12.5.4 Cremallera

La cremallera empleada debe tener dentado ascendente a la derecha ( $19^{\circ} 31' 42''$ ) y no debe superarse la capacidad de carga.

Cuando utilice una cremallera de STOBER, tenga en cuenta también la planificación de proyecto en el capítulo [▶ 13.6].

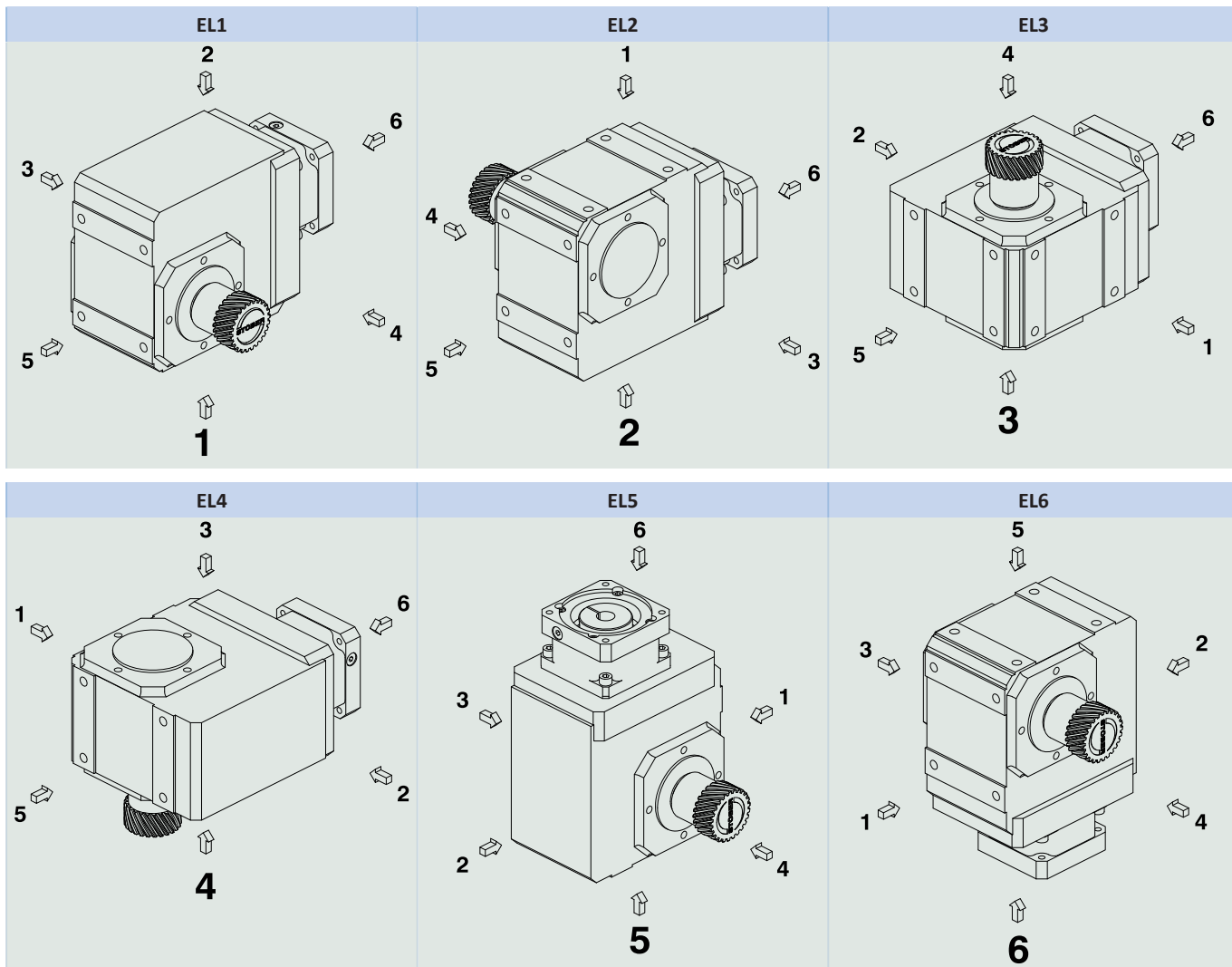
## 12.5.5 Condiciones de montaje

Los pares de giro y las fuerzas que se indican solo son válidos si se utilizan tornillos de la clase de resistencia 10.9 para fijar el reductor en el lado de la máquina. Adicionalmente, la carcasa del reductor debe adaptarse en el borde de ajuste. La adaptación en el lado de la máquina debe ser H7.

## 12.5.6 Posiciones de montaje

En la tabla siguiente se muestran las posiciones de montaje estándar.

Los números indican los lados del reductor. La posición de montaje se define por medio del lado del reductor que está orientado hacia abajo.



Debido a que la cantidad de llenado de refrigerante de los reductores depende de la posición de montaje, esta se debe indicar al realizar el pedido.

## 12.5.7 Lubricantes

STOBER carga los reductores con la cantidad y el tipo de lubricante que se indican en la placa de características. La cantidad de llenado y la estructura de los reductores dependen de la posición de montaje.

¡Los reductores únicamente se deben colocar en la posición de montaje para la cual están diseñados! Antes de reposicionar los reductores, es obligatorio consultar a STOBER. De lo contrario, STOBER no asumirá ninguna responsabilidad en relación con los reductores.

Lubricantes para el uso en la industria alimentaria disponibles bajo petición.

### 12.5.7.1 Lubricación del accionamiento de cremallera

Asegure una lubricación permanente con los lubricantes recomendados en el capítulo [\[> 13.5.1\]](#).

## 12.5.8 Posición del acceso al tornillo de apriete



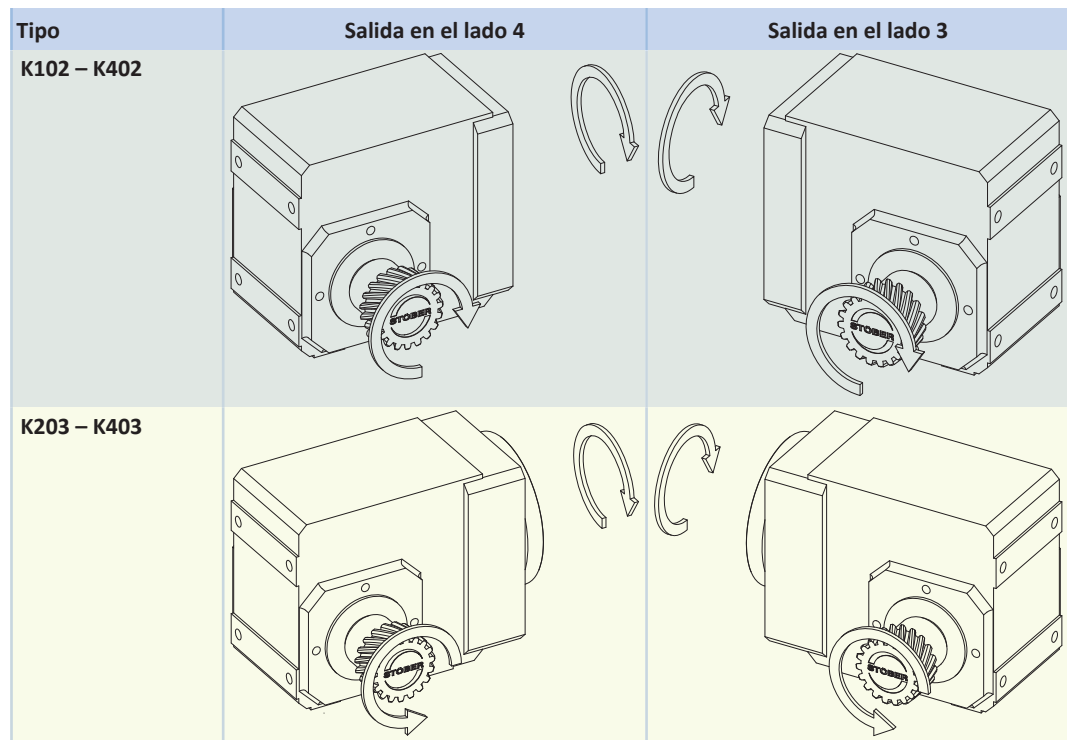
Indique las diferencias correspondientes a su reductor cuando realice el pedido.

Tenga en cuenta que el orificio de acceso del tornillo de apriete también gira al girar el reductor a otra posición de montaje.

## 12.5.9 Otras características del producto

Característica	Valor
Temperatura máx. admisible del reductor (en la superficie del reductor)	≤ 80 °C
Pintura	Negro RAL 9005
Directiva ATEX 2014/34/UE (opcional)	No adecuado.
Categoría de protección: <sup>2</sup>	
Reducer planetario	IP65
Piñón/Cremallera	IPXX

## 12.5.10 Sentido de giro



Las imágenes corresponden a la posición de montaje EL1.

<sup>2</sup>tenga en cuenta la categoría de protección de todos los componentes.

## 12.6 Diseño

Utilice nuestro software de diseño SERVOsoft para proyectar sus accionamientos. Descargue SERVOsoft gratuitamente tras registrarse en <https://www.stoeber.de/es/servicios/informacion-servosoft/>.

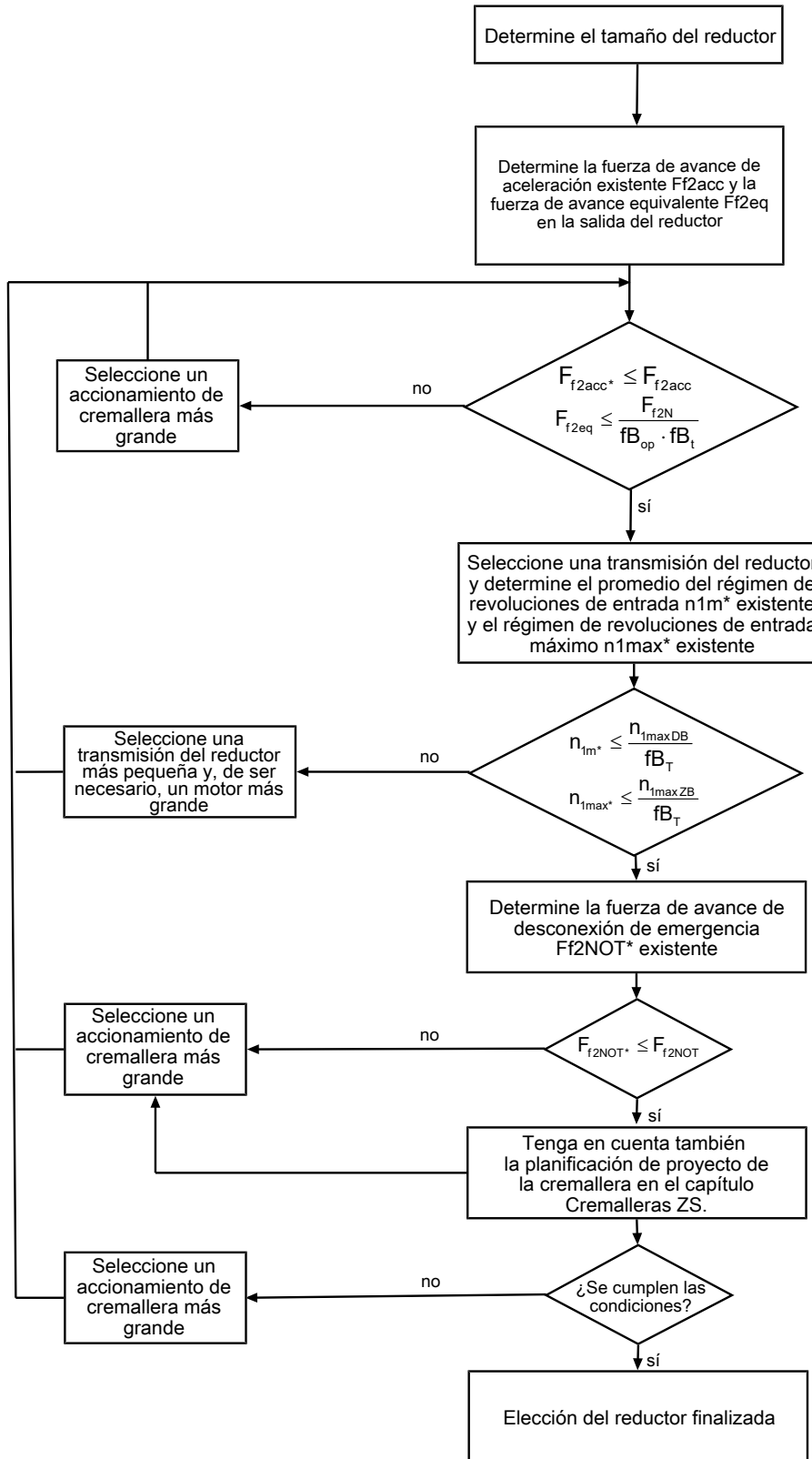
Este es el método más cómodo y seguro para seleccionar el accionamiento, ya que aquí se representa y evalúa la curva completa de par de giro-régimen de revoluciones de la aplicación en la curva característica del motorreductor.

En este capítulo solo se pueden tener en consideración valores límite para puntos de trabajo concretos si la elección del accionamiento se lleva a cabo manualmente.

Los símbolos de fórmula correspondientes a los valores que están realmente presentes en la aplicación están marcados con un asterisco \*.

Los símbolos de las fórmulas se explican en el capítulo [▶ 14.1].

## 12.6.1 Elección del accionamiento

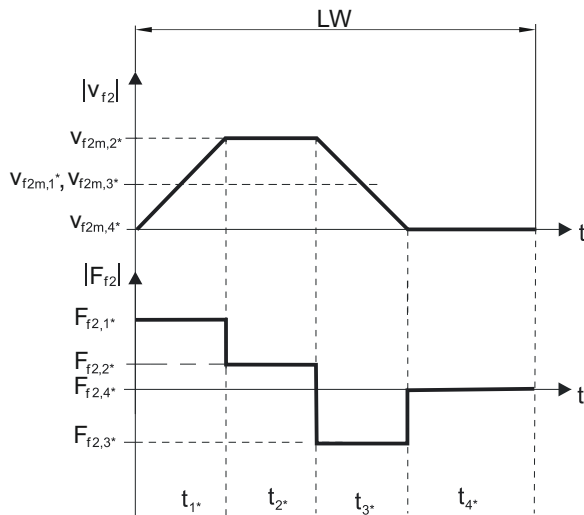


Consulte los valores para  $i$ ,  $n_{1\max DB}$ ,  $n_{1\max ZB}$ ,  $F_{f2acc}$ ,  $F_{f2N}$  y  $F_{f2NOT}$  en las tablas de selección. Las fuerzas dependen de la posición del piñón (E o S). Los regímenes de revoluciones dependen parcialmente de la posición de montaje.

Consulte los valores para  $fB_T$ ,  $fB_{op}$  y  $fB_t$  en las tablas correspondientes de este capítulo.

### Ejemplo de servicio cíclico

Los siguientes cálculos se refieren a la representación de la potencia en la salida de acuerdo con el siguiente ejemplo:



### Cálculo de la fuerza de avance de aceleración máxima existente

$$F_{f2acc*} = m \cdot a \cdot F_L$$

### Cálculo del promedio del régimen de revoluciones de entrada existente

$$n_{fm*} = \frac{v_{f2m*} \cdot i}{d_0 \cdot \pi}$$

$$v_{f2m*} = \frac{|v_{f2m,1*}| \cdot t_{1*} + \dots + |v_{f2m,n*}| \cdot t_{n*}}{t_{1*} + \dots + t_{n*}}$$

Si  $t_{1*} + \dots + t_{3*} \geq 6$  min, determine  $v_{2m*}$  sin la pausa  $t_{4*}$ .

Consulte los valores para la transmisión del reductor i en las tablas de selección.

### Cálculo de la fuerza de avance de desconexión de emergencia existente

$$F_{f2NOT*} = m \cdot a_{NOT} + F_L$$

### Cálculo de la fuerza de avance equivalente existente

$$F_{f2eq*} = \sqrt[3]{\frac{|v_{f2m,1*}| \cdot t_{1*} \cdot |F_{f2,1*}|^3 + \dots + |v_{f2m,n*}| \cdot t_{n*} \cdot |F_{f2,n*}|^3}{|v_{f2m,1*}| \cdot t_{1*} + \dots + |v_{f2m,n*}| \cdot t_{n*}}}$$

### Factores de servicio

Modo de servicio	$f_{B_{op}}$
Servicio continuo fijo	1,00
Servicio cíclico	1,25
Servicio cíclico con carga reversible	1,40

Tiempo de funcionamiento	$f_B$
Tiempo de funcionamiento diario $\leq 8$ h	1,00
Tiempo de funcionamiento diario $\leq 16$ h	1,15
Tiempo de funcionamiento diario $\leq 24$ h	1,20

Temperatura		$f_{B_T}$
Refrigeración del motor	Temperatura ambiente	
Motor con ventilación externa	$\leq 20^\circ\text{C}$	0,9
	$\leq 30^\circ\text{C}$	1,0
	$\leq 40^\circ\text{C}$	1,15
Motor con refrigeración por convección	$\leq 20^\circ\text{C}$	1,0
	$\leq 30^\circ\text{C}$	1,1
	$\leq 40^\circ\text{C}$	1,25

**Indicaciones**

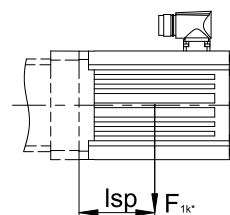
- No se debe exceder la temperatura máxima admisible del reductor (véase el capítulo Otras características del producto), ya que se podrían producir daños.
- En las situaciones de frenado con régimen de revoluciones máximo (p. ej., si se produce una caída de tensión o durante la instalación de la máquina), se deben tener en cuenta las fuerzas de avance admisibles del reductor ( $F_{f2acc}$ ,  $F_{f2NOT}$ ) que se indican en las tablas de selección.

**12.6.2 Pares de vuelco admisibles en la entrada del reductor**

Si va a montar el motor en posición horizontal, compruebe antes del montaje en un reductor STOBER que no se supere el par de vuelco admisible en la entrada del reductor. En este capítulo encontrará información al respecto.

Calcule el par de vuelco existente según sigue:

$$M_{1k*} = F_{1k*} \cdot l_{sp} \leq M_{1k}$$



Modelo	$M_{1k}$ [Nm]
ME10	25
ME20	60
ME30	125
ME40	250
ME50	600

**12.7 Otros documentos**

Encontrará más documentos relacionados con el producto en  
<http://www.stoeber.de/es/downloads/>

Introduzca el n.º de id. de la documentación en el campo Termine di ricercaérmino de búsqueda.

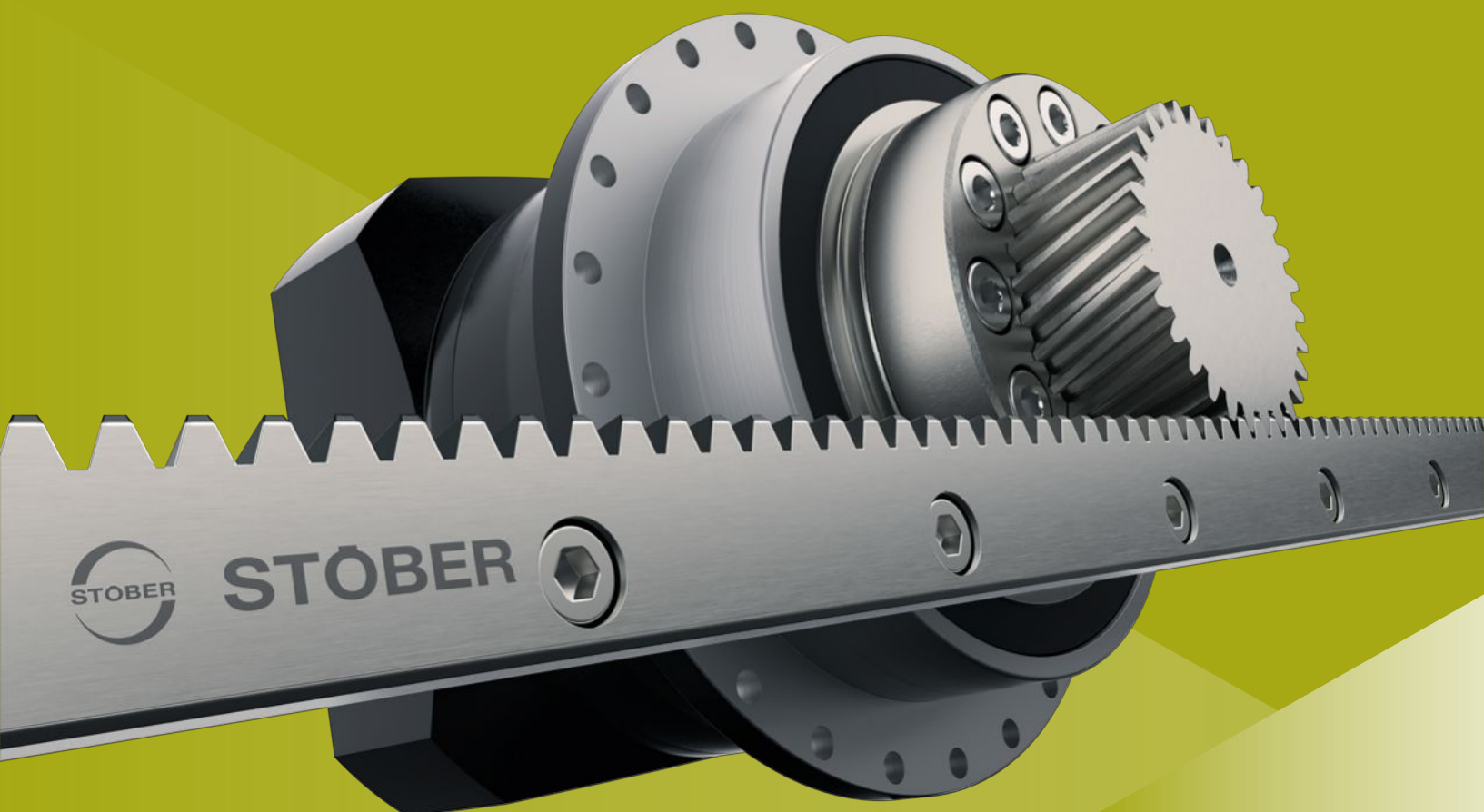
Documentación	N.º de id.
Instrucciones de operación reductores, motorreductores K	443364_es
Instrucciones de operación cremalleras	443392_es



## **13 Cremalleras ZS**

### **Índice**

13.1 Vista general .....	206
13.2 Tablas de selección.....	207
13.3 Esquemas de dimensiones .....	208
13.4 Denominación de tipo.....	209
13.4.1 Placa de características .....	209
13.5 Descripción del producto .....	209
13.5.1 Lubricantes.....	209
13.5.2 Accesorios .....	210
13.6 Diseño .....	210
13.6.1 Elección del accionamiento.....	211
13.6.2 Fuerzas de avance admisibles en función del número de dientes del piñón.....	212
13.7 Otros documentos .....	213



13

## Cremalleras

ZS

### 13.1 Vista general

Coordinadas con precisión: cremalleras de precisión para accionamientos STOBER

#### Características

- |  |   |
|--|---|
| Dentado helicoidal                             | ✓ |
| Acero templado y revenido según especificación | ✓ |
| STOBER   |   |
| Endurecido y pulido                            | ✓ |
| Calidad del dentado 6 según DIN 3962-1         | ✓ |
| Longitud 500 y 1000 mm                         | ✓ |

#### Características técnicas

$m_n$	2 – 6 mm
$F_{f,max}$	12,6 – 83,1 kN
$F_{sv}$	8 – 192,5 kN

## 13.2 Tablas de selección

Las fuerzas especificadas en las tablas de selección son válidas para:

- Montaje sin tensiones
- Lubricación permanente
- Calidad del dentado del piñón al menos 6, templado

Tenga en cuenta las fuerzas del dentado  $F_f$  y  $F_{f,\text{NOT}}$  en el capítulo [► 13.6.2], que dependen del número de dientes del piñón.

Los símbolos de las fórmulas se explican en el capítulo [► 14.1].

$m_n$ [mm]	$I_{zs}$ [mm]	Modelo	$F_{f,\text{max}}$ [kN]	$F_{sv}$		$m$ [kg]
				LA125PIN [kN]	LA62,5 [kN]	
2	500,00	ZS2S0500SQ6VG	12,6	8,5	8,0	12,5
2	1000,00	ZS2S1000SQ6VG	12,6	13,5	18,0	22,0
3	500,00	ZS3S0500SQ6VG	22,5	16,0	15,5	23,0
3	1000,00	ZS3S1000SQ6VG	22,5	25,0	33,5	41,0
4	506,67	ZS4S0500SQ6VG	38,7	31,0	25,0	42,0
4	1000,00	ZS4S1000SQ6VG	38,7	45,5	55,0	71,5
5	500,00	ZS5S0500SQ6VG	60,0	38,5	38,5	55,0
5	1000,00	ZS5S1000SQ6VG	60,0	61,0	83,0	99,5
6	500,00	ZS6S0500SQ6VG	83,1	72,5	75,0	105,5
6	1000,00	ZS6S1000SQ6VG	83,1	116,0	163,0	192,5

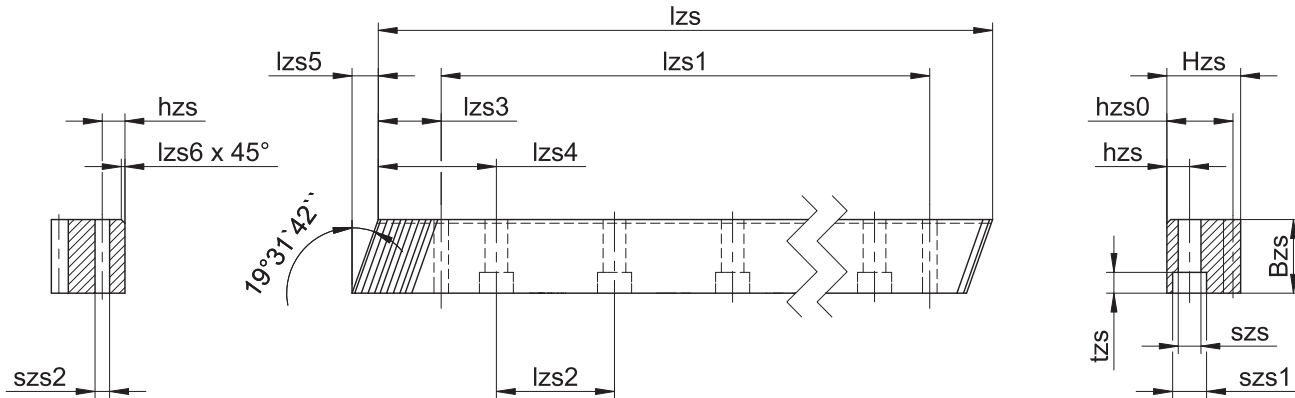
## 13.3 Esquemas de dimensiones

Este capítulo contiene información sobre las dimensiones de las cremalleras.

- Error de paso total  
 $\leq 36 \mu\text{m}$  para longitud de cremallera  $lzs = 1000 \text{ mm}$   
 $\leq 32 \mu\text{m}$  para longitud de cremallera  $lzs = 500 \text{ mm}$
- Perfil pulido en todos los lados

Encontrará información sobre las cremalleras de montaje en el capítulo [▶ 13.5.2]

Nos reservamos el derecho de realizar cambios en las dimensiones en pro del desarrollo tecnológico. Los modelos 3D de nuestros accionamientos estándar se pueden descargar en <https://configurator.stober.de/en-US/>.



Modelo	mn	z	lzs	Bzs	Hzs	hzs	hzs0	lzs1	lzs2	lzs3	lzs4	lzs5	lzs6	szs	szs1	szs2	tzs
ZS2S0500SQ6VG	2	75	500,00	24	24	8	22	436,6	62,5	31,7	62,5	8,5	2	7	11	5,7	7
ZS2S1000SQ6VG	2	150	1000,00	24	24	8	22	936,6	62,5	31,7	62,5	8,5	2	7	11	5,7	7
ZS3S0500SQ6VG	3	50	500,00	29	29	9	26	430,0	62,5	35,0	62,5	10,3	2	10	15	7,7	9
ZS3S1000SQ6VG	3	100	1000,00	29	29	9	26	930,0	62,5	35,0	62,5	10,3	2	10	15	7,7	9
ZS4S0500SQ6VG	4	38	506,67	39	39	12	35	433,0	62,5	33,3	62,5	13,8	2	12	18	9,7	11
ZS4S1000SQ6VG	4	75	1000,00	39	39	12	35	933,4	62,5	33,3	62,5	13,8	2	12	18	9,7	11
ZS5S0500SQ6VG	5	30	500,00	49	39	12	34	425,0	62,5	37,5	62,5	17,4	3	14	20	11,7	13
ZS5S1000SQ6VG	5	60	1000,00	49	39	12	34	925,0	62,5	37,5	62,5	17,4	3	14	20	11,7	13
ZS6S0500SQ6VG	6	25	500,00	59	49	16	43	425,0	62,5	37,5	62,5	20,9	3	18	26	15,7	17
ZS6S1000SQ6VG	6	50	1000,00	59	49	16	43	925,0	62,5	37,5	62,5	20,9	3	18	26	15,7	17

## 13.4 Denominación de tipo

Este capítulo contiene información sobre la denominación de tipo de una cremallera y las opciones pertinentes.

### Código de ejemplo

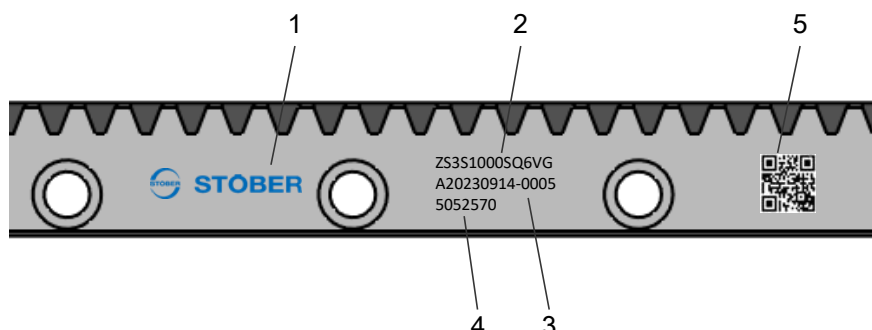
ZS	4	S	1000	S	Q6	V	G
----	---	---	------	---	----	---	---

### Explicación

Código	Denominación	Versión
ZS	Tipo	Cremallera
4	Módulo estándar	$m_n = 4 \text{ mm}$ (ejemplo)
S	Dentado	Con dentado helicoidal (ascendente a la derecha 19° 31' 42")
0500	Longitud	1000 mm (ejemplo)
1000		
S	Orificios de fijación	Estándar
Q6	Calidad del dentado	Calidad 6 según DIN 3962-1
V	Material	Acero templado y revenido según especificación STOBER
G	Tratamiento térmico	Templado

### 13.4.1 Placa de características

En la siguiente figura se explica a modo de ejemplo la placa de características de una cremallera.



Código	Denominación
1	Denominación del fabricante
2	Denominación de tipo
3	Número de producción de la cremallera
4	N.º de id.
5	Código QR (enlace a la información de producto)

## 13.5 Descripción del producto

### 13.5.1 Lubricantes

STOBER recomienda los siguientes lubricantes para los accionamientos de cremallera:

- Klüber Microlube GB 0
- Klüber Structovis AHD
- Grasa de larga duración Oest LT 200
- BP Energrease LS EP 00
- DEA Glissando 6833 EP 00
- Fuchs Lubritech Gearmaster ZSA
- Molykote G-Rapid plus 3694

## 13.5.2 Accesorios

### 13.5.2.1 Accesorios lubricantes

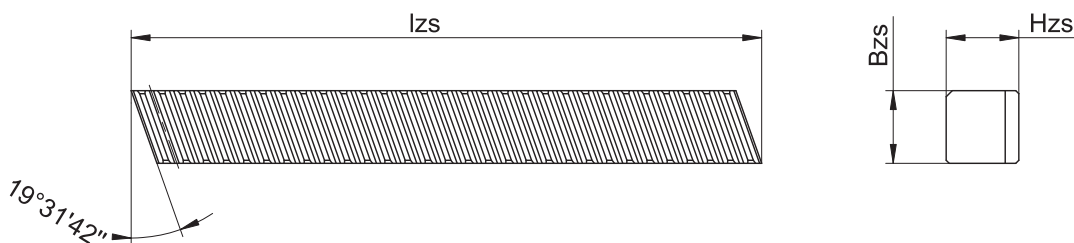
#### Fuentes de suministro

Los accesorios lubricantes pueden adquirirse en las siguientes empresas:

DLS Schmiersysteme GmbH <a href="https://www.dls-schmiersysteme.de/">https://www.dls-schmiersysteme.de/</a>	Gruetzner GmbH <a href="https://g-lube.com/de/">https://g-lube.com/de/</a>
STW - Kim Friedrich GmbH <a href="https://schmiertechnikwerk.com/">https://schmiertechnikwerk.com/</a>	perma-tec GmbH & Co KG <a href="https://www.perma-tec.com/">https://www.perma-tec.com/</a>

### 13.5.2.2 Cremallera de montaje

Este capítulo contiene información sobre las dimensiones de las cremalleras de montaje.



n.º de id.	mn	lzs	z	Bzs	Hzs	m
5052582	2	200	30	24	24	0,82 kg
5052583	3	200	20	29	29	1,16 kg
5052584	4	200	15	39	39	2,13 kg
5052585	5	200	12	49	39	2,60 kg
5052586	6	200	10	59	49	3,96 kg

## 13.6 Diseño

Utilice nuestro software de diseño SERVOSoft para proyectar sus accionamientos. Descargue SERVOSoft gratuitamente tras registrarse en <https://www.stoeber.de/es/servicios/informacion-servosoft/>.

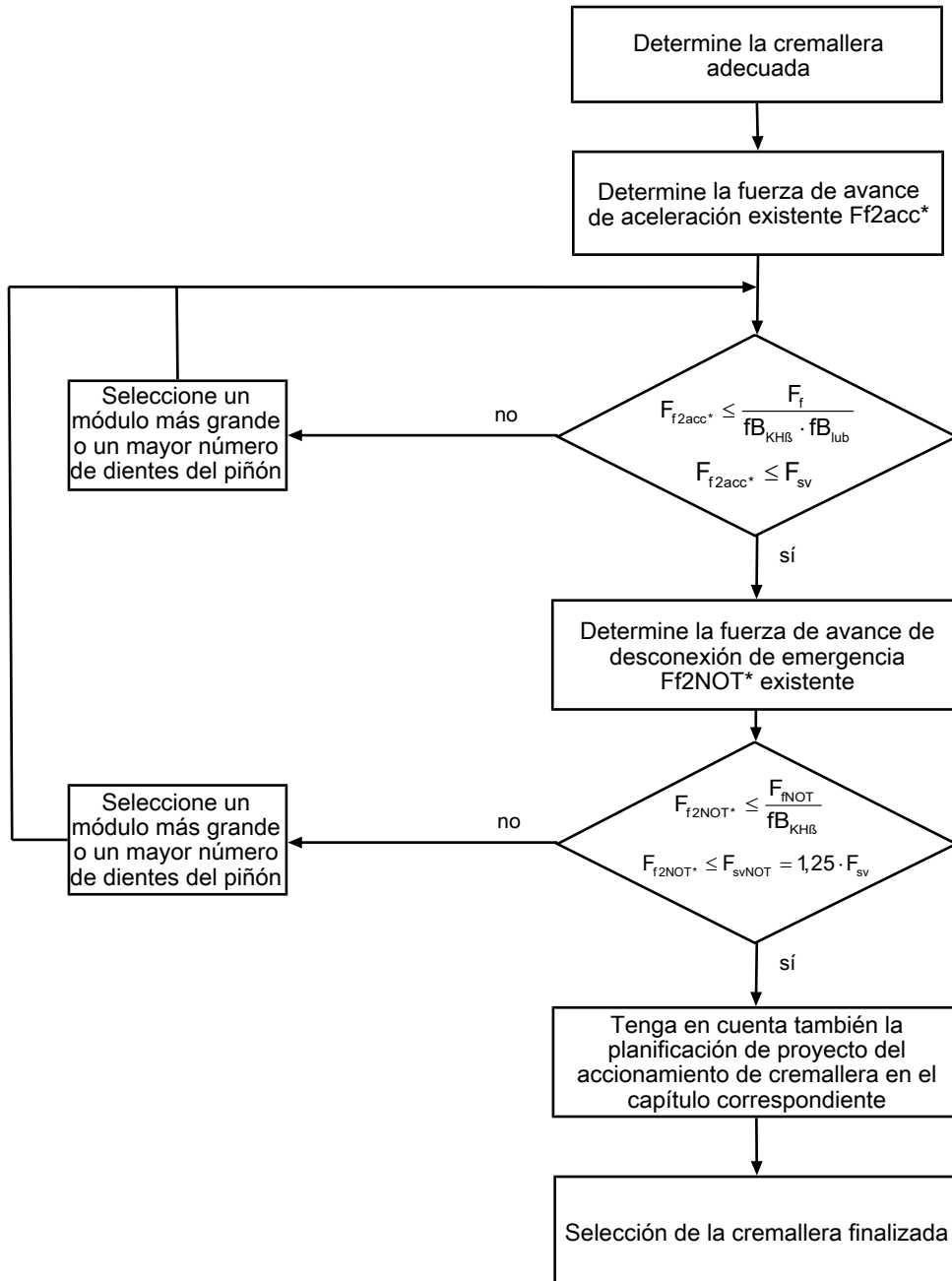
Este es el método más cómodo y seguro para seleccionar el accionamiento, ya que aquí se representa y evalúa la curva completa de par de giro-régimen de revoluciones de la aplicación en la curva característica del motorreductor.

En este capítulo solo se pueden tener en consideración valores límite para puntos de trabajo concretos si la elección del accionamiento se lleva a cabo manualmente.

Los símbolos de fórmula correspondientes a los valores que están realmente presentes en la aplicación están marcados con un asterisco \*.

Los símbolos de las fórmulas se explican en el capítulo [► 14.1].

### 13.6.1 Elección del accionamiento



Consulte los valores para  $F_{sv}$  en las tablas de selección.

Consulte los valores para  $fB_{KHB}$ ,  $fB_{lub}$ ,  $F_f$  y  $F_{inot}$  en la tabla correspondiente de este capítulo.

#### Cálculo de la fuerza de avance de aceleración máxima existente

$$F_{f2acc^*} = m \cdot a^* + F_{L^*}$$

#### Cálculo de la fuerza de avance de desconexión de emergencia existente

$$F_{f2NOT^*} = m \cdot a_{NOT^*} + F_{L^*}$$

## Factores de servicio

Distribución de cargas	Versión del rodamiento		$f_{B_{KHB}}$
	S	V	
ZTRSPH	S		1,1
	V		1,1
ZTRSPHQ	S		1,1
ZTRSPHV	S		1,1
ZTRPH	S		1,2
	V		1,2
ZTRPHV	S		1,2
ZRPH	S		1,2
	V		1,2
ZVP	S		1,5
	D		1,3
ZVPE	S		1,8
ZVKS	-		1,2
ZVKL	-		1,5
ZVK	-		1,2

Lubricación	permanente	$f_{B_{lub}}$	mensualmente
		diariamente	
$v_{f2\max ZB} \leq 1 \text{ m/s}$	1,0	1,1	5
$v_{f2\max ZB} \leq 2 \text{ m/s}$	1,05	1,3	5
$v_{f2\max ZB} \leq 3 \text{ m/s}$	1,1	1,5	5
$v_{f2\max ZB} \leq 5 \text{ m/s}$	1,25	1,9	5

## 13.6.2 Fuerzas de avance admisibles en función del número de dientes del piñón

Fuerza de avance admisible  $F_f$  en kN:

$z_{pin}$	$m_n = 2 \text{ mm}$	$m_n = 3 \text{ mm}$	$m_n = 4 \text{ mm}$	$m_n = 5 \text{ mm}$	$m_n = 6 \text{ mm}$
12	5,8	10,4	19,3	30,8	45,3
13	6,4	11,7	21,2	34,0	50,3
14	7,1	12,8	23,7	37,9	55,2
15	8,1	14,4	26,2	42,0	61,4
16	8,6	15,5	28,0	44,2	64,4
17	9,1	16,5	30,0	47,4	69,3
18	9,8	17,4	31,4	50,3	73,6
19	10,4	18,4	33,4	53,5	77,5
20	11,0	19,3	35,2	55,2	79,2
21	11,5	20,6	36,8	57,9	79,8
22	12,2	21,3	37,3	57,9	80,3
23	12,3	21,6	37,3	57,9	80,3
24	12,4	21,9	37,4	58,0	80,5
25	12,4	21,9	37,6	58,3	81,0
26	12,4	21,9	37,7	58,6	81,0
27	12,4	21,9	37,8	58,6	81,1
28	12,5	22,0	38,0	58,6	81,5
29	12,5	22,0	38,1	58,7	81,5
30	12,5	22,1	38,2	58,9	81,6
31	12,5	22,1	38,3	59,1	81,9
32	12,5	22,1	38,3	59,4	81,9
33	12,6	22,3	38,3	59,6	82,6
34	12,6	22,3	38,3	59,6	82,6
35	12,6	22,4	38,3	59,6	82,6
36	12,6	22,4	38,3	59,6	82,8

$z_{pin}$	$m_n = 2 \text{ mm}$	$m_n = 3 \text{ mm}$	$m_n = 4 \text{ mm}$	$m_n = 5 \text{ mm}$	$m_n = 6 \text{ mm}$
37	12,6	22,4	38,4	59,7	82,8
38	12,6	22,4	38,5	59,9	82,8
39	12,6	22,4	38,6	60,0	83,1
40	12,6	22,5	38,7	60,0	83,1

Fuerza de avance de desconexión de emergencia admisible  $F_{fNOT}$  en kN:

$z_{pin}$	$m_n = 2 \text{ mm}$	$m_n = 3 \text{ mm}$	$m_n = 4 \text{ mm}$	$m_n = 5 \text{ mm}$	$m_n = 6 \text{ mm}$
12	11,6	20,8	38,6	61,6	90,6
13	12,8	23,4	42,4	68,0	100,6
14	14,2	25,6	47,4	75,8	110,4
15	16,2	28,8	52,4	84,0	122,8
16	17,2	31,0	56,0	88,4	128,8
17	18,2	33,0	60,0	94,8	138,6
18	19,6	34,8	62,8	100,6	147,2
19	20,8	36,8	66,8	107,0	155,0
20	22,0	38,6	70,4	110,4	158,4
21	23,0	41,2	73,6	115,8	159,6
22	24,4	42,6	74,6	115,8	160,6
23	24,6	43,2	74,6	115,8	160,6
24	24,8	43,8	74,8	116,0	161,0
25	24,8	43,8	75,2	116,6	162,0
26	24,8	43,8	75,4	117,2	162,0
27	24,8	43,8	75,6	117,2	162,2
28	25,0	44,0	76,0	117,2	163,0
29	25,0	44,0	76,2	117,4	163,0
30	25,0	44,2	76,4	117,8	163,2
31	25,0	44,2	76,6	118,2	163,8
32	25,0	44,2	76,6	118,8	163,8
33	25,2	44,6	76,6	119,2	165,2
34	25,2	44,6	76,6	119,2	165,2
35	25,2	44,8	76,6	119,2	165,2
36	25,2	44,8	76,6	119,2	165,6
37	25,2	44,8	76,8	119,4	165,6
38	25,2	44,8	77,0	119,8	165,6
39	25,2	44,8	77,2	120,0	166,2
40	25,2	45,0	77,4	120,0	166,2

## 13.7 Otros documentos

Encontrará más documentos relacionados con el producto en  
<http://www.stoeber.de/es/downloads/>

Introduzca el n.º de id. de la documentación en el campo Termine di ricercaérmino de búsqueda.

Documentación	N.º de id.
Instrucciones de operación cremalleras	443392_es



## **14 Anexo**

### **Índice**

14.1 Símbolos de las fórmulas .....	216
14.2 Marcas.....	217
14.3 Condiciones de compra y entrega.....	217
14.4 Pie de imprenta .....	217

## 14.1 Símbolos de las fórmulas

Los símbolos de fórmula correspondientes a los valores que están realmente presentes en la aplicación están marcados con un asterisco \*.

Símbolos de las fórmulas	Unidad	Explicación
$a^*$	$\text{m/s}^2$	Aceleración
$a_{\text{NOT}^*}$	$\text{m/s}^2$	Aceleración de desconexión de emergencia
$C_{\text{lin}}$	$\text{N}/\mu\text{m}$	Rigidez total lineal del muelle
$d_0$	mm	Diámetro primitivo
$d_{\text{MW}}$	mm	Diámetro del eje del motor
$\Delta s$	mm	Juego lineal resultante del juego de giro del reductor
$\Delta s_{\text{red}}$	mm	Juego lineal reducido resultante del juego de giro del reductor
$F_{1k^*}$	N	Cargas estáticas y dinámicas existentes en la aplicación debidas al peso del motor, la aceleración de masas y vibraciones en la entrada del reductor
$fB_{\text{KH}\delta}$	—	Factor de servicio de la distribución de cargas (tiene en cuenta la distribución desigual de cargas en la anchura del diente)
$fB_{\text{lub}}$	—	Factor de servicio de la lubricación
$fB_{\text{op}}$	—	Factor de servicio modo de servicio
$fB_t$	—	Factor de servicio tiempo de funcionamiento
$fB_T$	—	Factor de servicio temperatura
$F_f$	kN	Fuerza de avance admisible
$F_{f,\text{max}}$	kN	Fuerza de avance máxima admisible
$ F_{f2} $	kN	Valor de la fuerza de avance en la salida
$F_{f2,1^*} - F_{f2,4^*}$	kN	Fuerza de avance existente en el intervalo de tiempo correspondiente (1 hasta 4)
$F_{f2,n^*}$	kN	Fuerza de avance existente en el intervalo de tiempo n
$F_{f2\text{acc}}$	kN	Fuerza de avance de aceleración admisible en la salida del reductor
$F_{f2\text{acc}^*}$	N	Fuerza de avance de aceleración existente en la salida del reductor
$F_{f2\text{accE}}$	kN	Fuerza de avance de aceleración admisible en la salida del reductor, posición de piñón E
$F_{f2\text{accS}}$	kN	Fuerza de avance de aceleración admisible en la salida del reductor, posición de piñón S
$F_{f2\text{eq}}$	kN	Fuerza de avance equivalente en la salida del reductor
$F_{f2\text{eq}^*}$	kN	Fuerza de avance equivalente existente en la salida del reductor
$F_{f2N}$	kN	Fuerza de avance nominal en la salida del reductor con $n_1 = 500 \text{ rpm}$
$F_{f2N,E}$	kN	Fuerza de avance nominal en la salida del reductor con $n_1 = 500 \text{ rpm}$ , posición de piñón E
$F_{f2N,S}$	kN	Fuerza de avance nominal en la salida del reductor con $n_1 = 500 \text{ rpm}$ , posición de piñón S
$F_{f2\text{NOT}}$	kN	Fuerza de avance de desconexión de emergencia del reductor en la salida del reductor para un máximo de 1000 cambios de carga
$F_{f2\text{NOT}^*}$	kN	Fuerza de avance de desconexión de emergencia existente en la salida del reductor
$F_{f2\text{NOT,E}}$	kN	Fuerza de avance de desconexión de emergencia del reductor en la salida del reductor para un máximo de 1000 cambios de carga, posición del piñón E
$F_{f2\text{NOT,S}}$	kN	Fuerza de avance de desconexión de emergencia del reductor en la salida del reductor para un máximo de 1000 cambios de carga, posición del piñón S
$F_{\text{fNOT}}$	kN	Fuerza de avance de desconexión de emergencia para un máximo de 1000 cambios de carga
$F_{L^*}$	N	Fuerza de carga existente
$F_{sv}$	kN	Fuerza de avance transmisible de la unión atornillada
$F_{svLA125PIN}$	kN	Fuerza de avance transmisible de la unión atornillada con distancia entre taladros de 125 mm con pasador
$F_{svLA62,5}$	kN	Fuerza de avance transmisible de la unión atornillada con distancia entre taladros de 62,5 mm
$F_{svLA62,5PIN}$	kN	Fuerza de avance transmisible de la unión atornillada con distancia entre taladros de 62,5 mm con pasador

Símbolos de las fórmulas	Unidad	Explicación
$F_{SVNOT}$	kN	Fuerza de avance de desconexión de emergencia transmisible de la unión atornillada para un máximo de 1000 cambios de carga
$i$	—	Transmisión del reductor
$l_zs$	mm	Longitud de la cremallera
$m^*$	kg	Masa que se va a acelerar
$M_{1k}$	Nm	Par de vuelco admisible en la entrada del reductor
$M_{1k^*}$	Nm	Par de vuelco existente en la entrada del reductor
$M_{2acc}$	Nm	Par de aceleración máximo admisible en la salida del reductor
$M_{2accE}$	Nm	Par de aceleración máximo admisible en la salida del reductor, posición de piñón E
$M_{2accS}$	Nm	Par de aceleración máximo admisible en la salida del reductor, posición de piñón S
$m_n$	mm	Módulo estándar
$n_{1m^*}$	rpm	Promedio del régimen de revoluciones de entrada existente
$n_{1max^*}$	rpm	Régimen de revoluciones de entrada máximo existente
$n_{1maxDB}$	rpm	Régimen de revoluciones de entrada máximo admisible del reductor en servicio continuo
$n_{1maxDBEL1,2}$	rpm	Régimen de revoluciones de entrada máximo admisible del reductor en servicio continuo Posición de montaje EL1, EL2
$n_{1maxDBEL3,4,5,6}$	rpm	Régimen de revoluciones de entrada máximo admisible del reductor en servicio continuo Posición de montaje EL3, EL4, EL5, EL6
$n_{1maxZB}$	rpm	Régimen de revoluciones de entrada máximo admisible del reductor en servicio cíclico
$t$	s	Tiempo
$t_{1^*} - t_{4^*}$	s	Duración del intervalo de tiempo correspondiente (de 1 a 4)
$t_n^*$	s	Duración del intervalo de tiempo n
$ v_{f2} $	m/s	Valor de la velocidad de avance
$v_{f2m^*}$	m/s	Promedio de velocidad de avance existente
$v_{f2m,1^*} - v_{f2m,4^*}$	m/s	Promedio de velocidad de avance existente en el intervalo de tiempo correspondiente (1 hasta 4)
$v_{f2m,n^*}$	m/s	Promedio de velocidad de avance existente en el intervalo de tiempo n
$v_{f2maxZB}$	m/s	Velocidad de avance máxima en la salida del reductor con $n_{1maxZB}$
$x$	mm	Factor de desplazamiento de perfil
$z$	—	Número de dientes
$z_{pin}$	—	Número de dientes del piñón

## 14.2 Marcas

Los siguientes nombres son marcas o marcas registradas de STOBER:

EasyAdapt®

EasyAdapt® es una marca registrada de STÖBER Antriebstechnik GmbH + Co. KG

FlexiAdapt®

FlexiAdapt® es una marca registrada de STÖBER Antriebstechnik GmbH + Co. KG

## 14.3 Condiciones de compra y entrega

Encontrará nuestras condiciones de compra y entrega actualizadas en <http://www.stoeber.de/es/gtc>.

## 14.4 Pie de imprenta

Catálogo de accionamientos de cremallera ID 443137\_es.

Encontrará los archivos PDF actuales en Internet en <http://www.stoeber.de/es/downloads/>.







STÖBER Antriebstechnik GmbH + Co. KG  
Kieselbronner Straße 12  
75177 Pforzheim  
Alemania  
Tel. +49 7231 582-0  
[mail@stoeber.de](mailto:mail@stoeber.de)  
[www.stober.com](http://www.stober.com)

Teléfono de atención  
+49 7231 582-3000

Reservado el derecho de realizar modificaciones técnicas

ID 443137\_es.06 04/2024

